МОСКОВСКИЙ ГОСУДАРСТВЕННЫЙ УНИВЕРСИТЕТ имени М.В.ЛОМОНОСОВА ХИМИЧЕСКИЙ ФАКУЛЬТЕТ

На правах рукописи

Кузенкова Анастасия Сергеевна

Двойные карбонаты Pu(V) и Np(V) с катионами щелочных и щёлочноземельных металлов: исследование структуры и поведения в водных растворах

1.4.13 Радиохимия

ДИССЕРТАЦИЯ

на соискание ученой степени кандидата химических наук

Научный руководитель:

кандидат химических наук Романчук Анна Юрьевна

Оглавление

Список сокращений и условных обозначений	4
Введение	5
Глава 1. Литературный обзор	11
1.1 Особенности электронной структуры актинидов	11
1.2 Поведение актинидов в водных растворах	
1.2.1 Поведение плутония в водных растворах	
1.3 Карбонаты плутония и нептуния	
1.4 Термодинамические расчёты	
1.5 Выводы из литературного обзора	
Глава 2. Экспериментальная часть	56
2.1 Подготовка рабочих растворов Np и Pu	
2.2 Синтез твёрдых карбонатов нептуния	56
2.2.1 Осаждение двойных карбонатов Np(V) с катионами щелочны	
2.2.2 Синтез двойных карбонатов Np(V) с катионами щёлочноземе металлов	ельных
2.3 Синтез твёрдых фаз карбонатов плутония	
2.3.1 Исследование поведения Pu(VI) в водных растворах	
2.3.2 Осаждение двойных карбонатов Pu(V) с катионами щелочны	
из растворов Pu(VI)	
2.4 Характеризация твёрдых фаз	
2.4.2 Определение областей когерентного рассеяния	
2.5 Исследование растворимости твёрдых фаз	65
2.5.1 Проведение экспериментов по исследованию растворимости	
2.5.2 Расчёт константы растворимости	66
Глава 3. Результаты и их обсуждение	67
3.1 Двойные карбонаты Np(V) с одновалентными катионами	67
3.2 Определение условий образования двойных карбонатов Np(V) с	
щелочноземельных металлов	
3.3 Определение константы равновесия реакции растворения Mg _{0,5} N	$pO_2CO_3.101$

(Тписок литературы
В	Выводы
Ваключение141	
	3.8 Определение области термодинамической стабильности фазы $KPuO_2CO_3$ 138
	3.7 Синтез двойных карбонатов пятивалентного плутония из растворов Pu(V)
	3.6 Уточнение механизмов образования карбоната Pu(V) из растворов Pu(VI) 125
	3.5 Поведение Pu(VI) в водных растворах при повышенной температуре 121
	3.5 Поведение Pu(VI) в водных растворах
	3.4 Сравнение структур и свойств соединений двойных карбонатов Np(V) 110

Список сокращений и условных обозначений

водн – водная фаза

Д2ЭГФК – ди(2-этилгексил)фосфорная кислота

ЖСС – жидкостно-сцинтилляционная спектрометрия

ИО – ионный обмен

ИСП-МС – масс-спектрометрия с индуктивно связанной плазмой

КЧ – координационное число

МПВ – модельная природная вода

нкр – нанокристаллическая твёрдая фаза

ОКР – область когерентного рассеяния

ПШПВ – полуширина на полувысоте пика

ПЭМВР – просвечивающая электронная микроскопия с высоким разрешением

РАО – радиоактивные отходы

РД – рентгеновская дифракция

РЭМ – растровая электронная микроскопия

РФА – рентгенофазовый анализ

тв – твёрдая фаза

ТГА – термогравиметрический анализ

ТГ/ДСК – термогравиметрия и дифференциальная сканирующая калориметрия

ЭДС – энергодисперсионный рентгеновский анализ

EXAFS — спектроскопия протяженной тонкой структуры рентгеновского поглощения

Ksp, Ks – произведение растворимости/константа растворимости

NEA – агенство по ядерной энергетике (Nuclear Energy Agency)

SE и BSE – электронные изображения во вторичных и обратно рассеянных электронах

SIT теория – теория с учетом специфических ионных взаимодействий

TRIS – 2-амино-2-(гидроксиметил)-пропан-1,3-диол

XAFS – спектроскопия рентгеновского поглощения

XANES – околокраевая структура спектроскопии рентгеновского поглощения

Введение

Актуальность темы исследования

Среди приоритетных направлений развития ядерной энергетики особое значение имеет разработка надежных технологий захоронения радиоактивных отходов (РАО). Одним из перспективных способов является размещение РАО в устойчивых геологических формациях [1-4]. При проектировании таких объектов неблагоприятные необходимо учитывать возможные сценарии, поступление воды в пункт захоронения и последующую миграцию радионуклидов в окружающую среду [5]. Для обеспечения долговременной безопасности требуется прогнозное моделирование процессов миграции радионуклидов из мест захоронения, что, в свою очередь, предполагает установление закономерностей и количественных характеристик их взаимодействия с компонентами инженерных барьеров и вмещающих пород. Определение состава и растворимости твёрдых фаз позволяет установить максимально возможные концентрации радионуклидов в загрязнённых водах.

Исследование химических свойств плутония и нептуния осложнено из-за возможности протекания окислительно-восстановительных реакций, что связано с особенностями электронной структуры f-элементов. Так, в восстановительной среде наиболее стабильны Pu(III, IV) и Np(III, IV), а в окислительной среде -Pu(V, VI) и Np(V, VI), которые существуют в растворах в виде актиноил катиона AnO_2^+ и актинил катиона AnO_2^{2+} (An = Pu, Np). При этом, нептуний наиболее стабилен в пятивалентной форме, в то время как плутоний - более чувствителен к окислительно-восстановительным условиям и способен присутствовать в нескольких степенях окисления одновременно. В природных водах самым распространённым анионом является карбонат, а преобладающими катионами — ионы щелочных и щёлочноземельных элементов. Ввиду радиотоксичности и сложности работы с актинидами, их соединения остаются малоизученными.

Степень разработанности темы исследования

Несмотря на наличие работ по исследованию структур двойных карбонатов Np(V) и Pu(V), зачастую данные об этих соединениях разрознены и не согласованы.

На сегодняшний день есть только две решённые и описанные с достаточной достоверностью структуры: $LiNpO_2CO_3 \cdot 2H_2O$ [6] и $NH_4NpO_2CO_3$ [7]. К тому же, большинство работ посвящено исследованию соединений двойных карбонатов Np(V) и Pu(V) с катионами щелочных металлов, а для щёлочноземельных металлов есть лишь одна работа, описывающая только предположение о возможности синтеза этих соединений [8].

В термодинамических данных по соединениям двойных карбонатов пятивалентных актинидов также существуют значительные пробелы. На сегодняшний день известно лишь несколько констант равновесия растворения (произведение растворимости, ПР) соединений нептуния с катионами щелочных металлов [9,10] и отсутствуют данные об аналогичных соединениях двойных карбонатов Pu(V). Данная проблема может быть связана с экспериментальными сложностями при установлении термодинамических параметров в системах с актинидами и карбонат-ионами.

Цель и задачи исследования

Целью работы является определение условий формирования, кристаллической структуры и растворимости в водных растворах двойных карбонатов Pu(V) и Np(V) с катионами щелочных и щёлочноземельных металлов.

Для достижения поставленной цели решались следующие задачи:

- Установление условий формирования двойных карбонатов Np(V) с катионами K^+ , Na^+ , Ca^{2+} и Mg^{2+} , установление их кристаллической структуры и морфологии.
- Экспериментальное определение произведения растворимости $Ca_{0,5}NpO_2CO_3$, $Mg_{0,5}NpO_2CO_3$ и $KNpO_2CO_3$.
- Определение условий формирования двойных карбонатов пятивалентного плутония из растворов Pu(V) и Pu(VI).

Научная новизна

- Впервые установлены структуры ромбического карбоната Np(V) состава $NaNpO_2CO_3 \cdot 3H_2O$, гексагонального карбоната Np(V) состава $KNpO_2CO_3$ и уточнена структура гексагонального $KPuO_2CO_3$.
- Впервые получены твёрдые фазы двойного карбоната Np(V) с катионами Ca^{2+} и Mg^{2+} . Проведён рентгеноструктурный анализ и определены параметры кристаллической ячейки для соединений: $Ca_{0,5}NpO_2CO_3\cdot 4H_2O$ и $Mg_{0,5}NpO_2CO_3\cdot 6H_2O$. Впервые получено соединение $Mg_{0,5}PuO_2CO_3$.
- Экспериментально определены произведения растворимости для синтезированных соединений: $Ca_{0,5}NpO_2CO_3\cdot 4H_2O$, $Mg_{0,5}NpO_2CO_3\cdot 6H_2O$, $KNpO_2CO_3$.
- Установлена область стабильности двойного карбоната Pu(V)-калия в диапазоне.

Теоретическая и практическая значимость работы

Для создания модели долгосрочного поведения плутония и нептуния в ближней и дальней зонах хранилищ РАО получены сведения о структуре двойных карбонатов Np(V) и Pu(V), которые могут образоваться при взаимодействии с природными водами и компонентами инженерных барьеров. Установлены условия образования этих фаз, а также определены термодинамические параметры, необходимые для описания растворимости двойных карбонатов нептуния $Ca_{0.5}NpO_2CO_3\cdot 4H_2O$, $Mg_{0.5}NpO_2CO_3\cdot 6H_2O$, $KNpO_2CO_3$.

Методология и методы исследования

Основным методом синтеза двойных карбонатов пятивалентных актинидов было прямое химическое осаждение из раствора, содержащего Np или Pu, в присутствии карбонатов. Пpи этом в процессе синтеза проводилась постоянная характеризация растворов с контролем концентраций плутония и нептуния при помощи жидкостно-сцинтилляционной спектрометрии (ЖСС), определение их физико-химических форм спектрофотометрией в видимом и ближнем

инфракрасном (ИК) диапазоне, определение степени окисления плутония методом экстракции, а также постоянный мониторинг значений рН и Eh.

Результирующие твёрдые фазы были охарактеризованы методами синхротронной рентгеновской дифракции (РД), спектроскопии рентгеновского поглощения (XANES, EXAFS), термогравиметрии (ТГА) и дифференциальной сканирующей калориметрии (ДСК), просвечивающей и растровой электронной микроскопии (ПЭМ и РЭМ), рентгеноспектрального микроанализа (РСМА), спектроскопии комбинационного рассеяния.

Исследование растворимости твёрдых фаз проводилось в режиме недонасыщения с постоянным контролем концентрации компонентов при помощи ЖСС и масс-спектрометрии с индуктивно связанной плазмой. Проводилось определение физико-химических форм актинидов в системе при помощи спектрофотометрии, постоянно контролировалось значение рН и Еh в системе, а также контролировалось состояние твёрдой фазы.

Основные положения, выносимые на защиту

- Двойной карбонат Np(V) с Na⁺ состава NaNpO₂CO₃·3H₂O, представляет собой слоистую структуру, образованную анионными ромбическими слоями $[NpO_2CO_3]_n^{n-}$ (с симметрией примитивной прямоугольной решётки Браве) и межслоевыми гидратированными катионами $[Na(H_2O)_3]_n^{n+}$, а двойной карбонат Np(V) с K⁺ состава KNpO₂CO₃ имеет гексагональную слоистую структуру с анионными слоями $[NpO_2CO_3]^-$ и катионами K⁺ между ними.
- Соединения $Ca_{0,5}NpO_2CO_3\cdot 4H_2O$ с ромбической решеткой и $Mg_{0,5}NpO_2CO_3\cdot 6H_2O$ с моноклинной решеткой могут быть получены методом ионного обмена из фазы $NaNpO_2CO_3\cdot 3H_2O$ в растворах хлоридов двухвалентных катионов.
- В ряду двойных карбонатов Np(V) с катионами Na^+ , K^+ , Mg^{2+} и Ca^{2+} соединение $KNpO_2CO_3$ обладает наибольшей термодинамической стабильностью.
- Соединения $KPuO_2CO_3$ и $Mg_{0,5}PuO_2CO_3$ могут быть получены методом медленного химического осаждения из раствора Pu(VI).

Соответствие паспорту научной специальности

Диссертационная работа соответствует паспорту специальности 1.4.13 Радиохимия по следующим областям исследований: Соединения радиоактивных элементов. Синтез. Строение. Свойства. Окислительно-восстановительные реакции радиоактивных элементов. Состояние и распределение радионуклидов в различных фазах. Процессы фазообразования и коллоидообразования. Формы существования и миграции радионуклидов в природных средах. Научные основы радиохимической технологии и проблемы обращения с радиоактивными отходами.

Степень достоверности

Достоверность полученных результатов определяется использованием современного оборудования, воспроизводимостью полученных результатов и соответствием расчётных и экспериментальных результатов.

Личный вклад автора заключается в критическом обзоре литературных данных, постановке задач; проведении экспериментальных работ по синтезу двойных карбонатов Np(V) и Pu(V), проведении экспериментов по растворимости; анализе термодинамическом моделировании растворимости; обработке экспериментальных данных, числе, результатов спектроскопии просвечивающей рентгеновского поглощения, И растровой электронной микроскопии, рентгеновской дифракции, термогравиметрии, спектроскопии комбинационного рассеяния; обобщении И систематизации результатов, подготовке публикаций по выполненной работе. Решение структур полученных соединений проводилось совместно с сотрудниками кафедры неорганической химии Химического факультета МГУ к.х.н., с.н.с. Цымбаренко Д.М. и Шаульской М.Д. Личный вклад автора в совместных публикациях преимущественно основополагающий.

Апробация работы

Результаты диссертационной работы были представлены в виде стендовых и устных докладов на следующих российских и международных научных конференциях: Международная научная конференция студентов, аспирантов и

молодых учёных «Ломоносов», 2023 (Москва, Россия); Международная конференция «Синхротронное излучение и лазеры на свободных электронах» (СИ и ЛСЭ – 2024) (Новосибирск, Россия); Всероссийская школа-конференция «Актуальные проблемы неорганической химии: синхротронные и нейтронные методы в химии современных материалов» 2022 (Московская область, Россия); Международный форум природоподобных технологий: Курчатовский форум синхротронных и нейтронных исследований (Курчатов ФСНИ-2023) (Москва, Россия); XXIII межвузовская молодежная научная школа-конференция имени Б. С. Ишханова "Концентрированные потоки энергии в космической технике, электронике, экологии и медицине" (Москва, Россия); Школа молодых ученых «Научные основы завершающих стадий ядерного топливного цикла» (Московская область, Россия); Российская конференция по радиохимии «Радиохимия 2022» (Санкт-Петербург, Россия), «Радиохимия 2025» (Красноярск, Россия); Goldschmidt 2023 (Лион, Франция); 10th International Conference on Nuclear and Radiochemistry (NRC10) 2024 (Брайтон, Англия); XXII Менделеевский съезд по общей и прикладной химии 2024 (Федеральная территория «Сириус», Россия).

Публикации

Основные результаты, положения и выводы диссертации изложены в 4 статьях в рецензируемых научных изданиях, рекомендованных для защиты в МГУ имени М.В.Ломоносова по специальности и отрасли наук.

Структура и объём работы

Диссертационная работа изложена на 153 страницах печатного текста и состоит из введения, обзора литературы, экспериментальной части, обсуждения результатов, заключения, выводов и списка цитируемой литературы. Список цитируемой литературы содержит 147 наименований. Работа содержит 12 таблиц и 64 рисунка.

Глава 1. Литературный обзор

1.1 Особенности электронной структуры актинидов

Актиниды представляют особый интерес к изучению из-за особенностей их электронной структуры. Атомные орбитали 5f и 6d, очень близки по энергии и способны участвовать в образовании связи. Конфигурации основного состояния от протактиния до нептуния занимают обе орбитали $5f^n6d^17s^2$ (n = 2 – 4), тогда как конфигурация $5f^n7s^2$, аналогичная ряду лантаноидов, описывает основное состояние Pu (n = 6) и последующих членов (n = 7–14).

Особенность химии плутония заключается в том, что он может присутствовать в растворе одновременно в нескольких степенях окисления (III, IV, V и VI). Кроме того, было доказано существование Pu(VII) [11,12], а недавние исследования показали возможность существования Pu(VIII) [13–15], так как плутоний имеет 8 валентных электронов 5f⁶7s². В 2017 году было также подтверждено существование органометаллических комплексов Pu(II) [16].

Эти свойства объясняются особенностями электронной конфигурации плутония. Изолированные атомы Pu содержат 8 валентных электронов с конфигурацией 5f⁶7s². Различие в энергии 6d и 5f орбиталей очень незначительно, и это приводит к «конкуренции» между конфигурациями 5fⁿ7s² и 5fⁿ⁻¹7s²6d¹ в образовании молекулярных связей. Согласно «концепции актинидов» Сиборга, 5f оболочка элементов после актиния начинает заполняться таким образом, что электронные конфигурации актинидов и лантаноидов должны быть совершенно аналогичными, а элементы этих двух семейств должны вести себя одинаково [17]. Причина различия между «лёгкими» актинидами (до Am) и лантаноидами связана с большей радиальной протяжённостью 5f орбиталей, по сравнению с 4f (Рисунок 1). Сложная электронная структура плутония была объектом исследований для учёных теоретиков более 50 лет. Арко с соавторами [18] представил наиболее свежий взгляд на электронную структуру актинидов, включая плутоний. Актиниды имеют заполненную 5f электронную оболочку, аналогично редкоземельным элементам с заполненной 4f электронной оболочкой. При этом 5f электроны более

лёгких актинидов по своему поведению больше похожи на 5d электроны переходных металлов, чем на 4f редкоземельных.

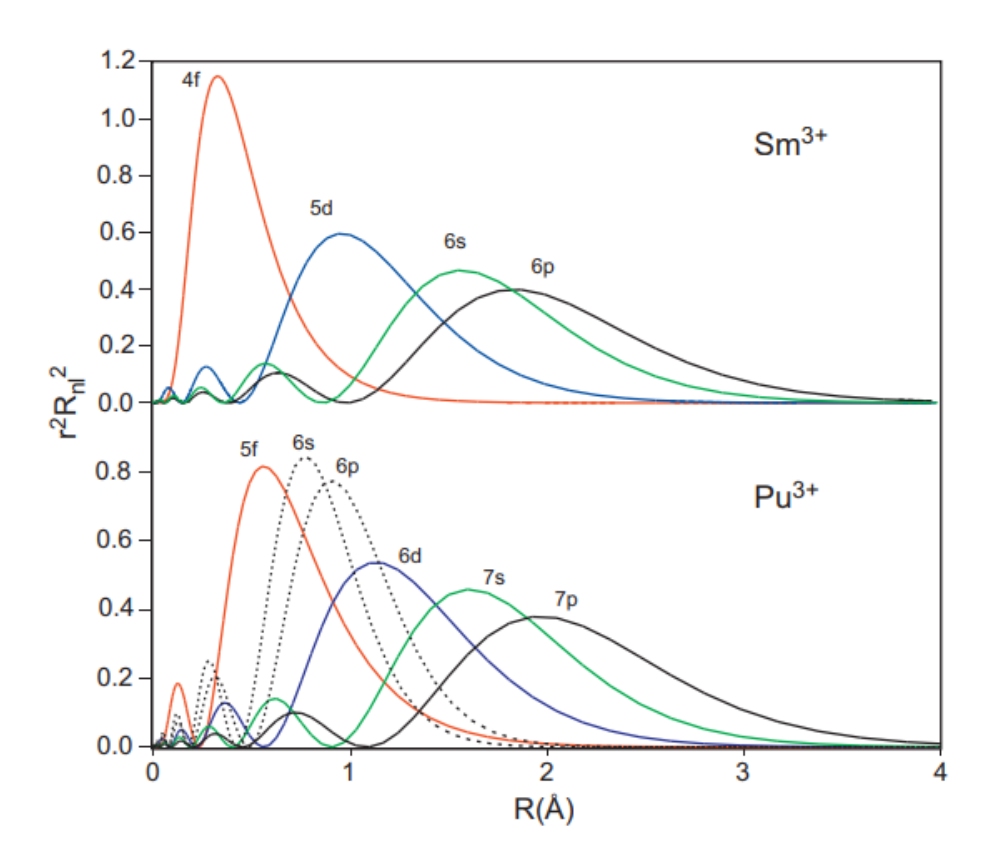


Рисунок $1 - \Phi$ ункция радиального распределения Pu^{3+} и Sm^{3+} [19]

В легких актинидах, вплоть до плутония, каждый дополнительный 5fэлектрон (как и каждый d-электрон в переходных металлах) переходит в зону
проводимости, где увеличивает силы химической связи, сближая атомы и приводя
к уменьшению атомного объема. Начиная с америция, электроны 5f ведут себя как
электроны 4f редкоземельных элементов, локализуясь в каждом узле решетки и
становясь химически инертными. При отсутствии вклада 5f в связь, атомный объем
америция внезапно увеличивается и лишь слегка сжимается с увеличением
атомного номера, поскольку 5f-электроны остаются локализованными в
оставшейся части ряда. Как показано на Рисунок 2, такое поведение похоже на
поведение лантаноидов. Легкие актиниды не обладают локальными моментами и
все валентные электроны находятся в зоне проводимости, тогда как тяжелые
актиниды и лантаноиды обычно обладают локальными моментами.

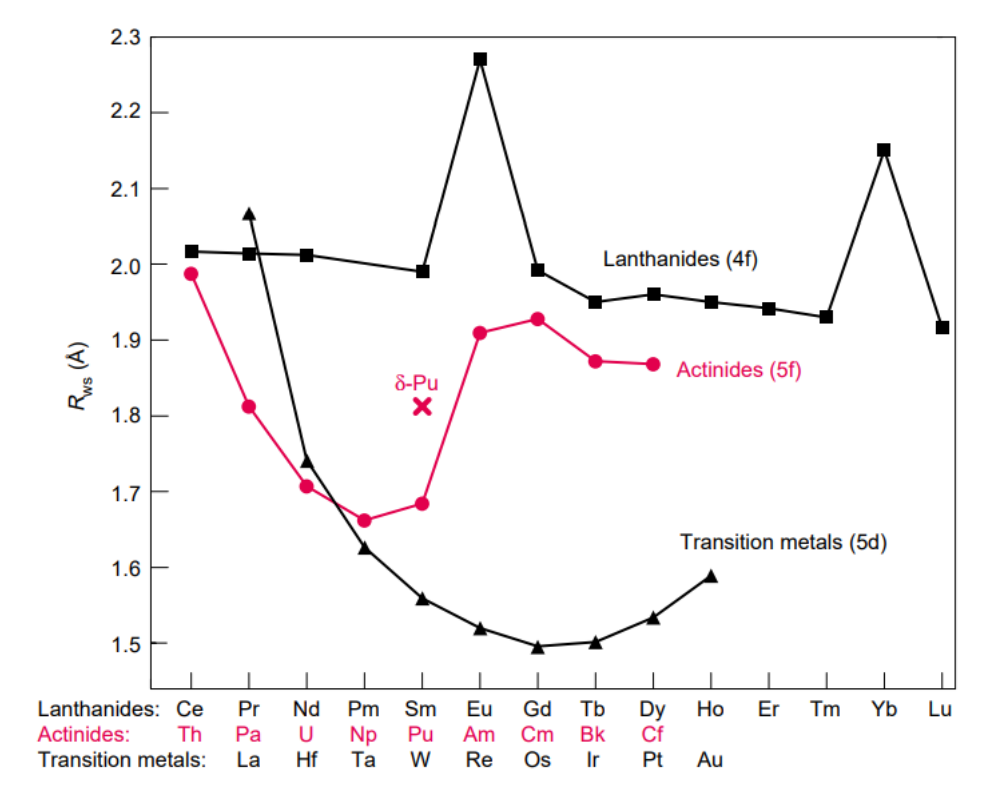


Рисунок 2 — Радиус Вигнера-Зейтца для актинидов, по сравнению с лантаноидами и 5d-переходными металлами [20]

1.2 Поведение актинидов в водных растворах

1.2.1 Поведение плутония в водных растворах

Химия плутония в водном растворе уникальна и богата. Пять степеней окисления: Pu(III), Pu(IV), Pu(V), Pu(VI) и Pu(VII) можно получить и стабилизировать в водном растворе при соответствующих условиях. Низшие степени окисления Pu(III) и Pu(IV) обычно более стабильны в кислом растворе, тогда как более высокие степени окисления Pu(VI) и Pu(VII) предпочтительнее в щелочных условиях. Четырехвалентный плутоний является наиболее стабильным и, следовательно, наиболее изученным, за ним следует плутоний в трехвалентном и шестивалентном состояниях. Пятивалентный плутоний наиболее стабилен в разбавленных состояниях в растворах с близкими к нейтральному значениями рН. Хотя Pu(V) был обнаружен наряду с другими распространенными степенями окисления, исследования растворимых комплексов этой степени окисления не получили широкого распространения до 1990-х годов, когда поведение плутония в матрицах окружающей среды приобрело важное значение.

В сильнокислых условиях, не образующих комплексы, например, в растворах хлорной кислоты, как Pu(III), так и Pu(IV) существуют в виде простых гидратированных ионов Pu^{3+} или Pu^{4+} , сохраняющих свой общий формальный заряд. Катионы пятивалентного и шестивалентного плутония имеют настолько большие положительные заряды, что в водном растворе они образуют уникальный класс диоксо-катионов PuO_2^+ и PuO_2^{2+} , которые обычно называют плутоноил- и плутонил-ионами соответственно. По оценкам, эффективные заряды этих плутонильных катионов составляют 2,2 и 3,3 соответственно [21]. Семивалентный плутоний нестабилен в кислом растворе и может быть получен только в условиях сильнощелочного раствора. В щелочных условиях семивалентный плутоний образует тетраоксо-форму PuO_4^- , которая всегда координируется с гидроксидионами, образуя $PuO_4OH_2^{3-}$.

Существование диоксо-ионов в Pu(V) и Pu(VI) (PuO_2^+ и PuO_2^{2+} соответственно) первоначально было основано на кристаллографических данных твёрдых соединений плутония. Для Pu(VI) данные рентгенофазового анализа ($P\Phi A$) структур $NaPuO_2(O_2CCH_3)_3$ и $Cs_2PuO_2Cl_4$ подтвердили, что соединения изоструктурны соответствующим аналогам урана, нептуния и америция и содержат линейное звено PuO_2^{2+} [22]. Для Pu(V) также была определена формула PuO_2^+ благодаря существованию PuO_2^+ в структуре $KPuO_2CO_3$ [23] и отчасти из-за окислительно-восстановительной пары Pu(VI)/Pu(V), реакция в которой обратима и не зависит от концентрации ионов водорода (за исключением сдвига потенциала вследствие гидролиза). Это свидетельствовало об отсутствии структурной перестройки при окислительно-восстановительном процессе и, следовательно, о том, что содержание кислорода в обоих ионах одинаково.

Недавние исследования спектроскопии рентгеновского поглощения и колебательной спектроскопии обеспечивают более подробную характеристику растворимых форм ионов плутония во всех степенях окисления. В некомплексообразующих кислых условиях Pu(III), Pu(IV), Pu(V) и Pu(VI) координируются молекулами воды, в результате чего образуются гидратированные катионы $Pu(OH_2)_n^{3+}$, $Pu(OH_2)_n^{4+}$, $PuO_2(OH_2)_n^{+}$, $PuO_2(OH_2)_n^{2+}$ соответственно

(Рисунок 3 – Структуры акваионов Pu(III), Pu(IV), Pu(V), Pu(VI) Pu(VII) в водных растворах. Структурный анализ в растворе с использованием EXAFSспектроскопии (спектроскопия протяженной тонкой структуры рентгеновского поглощения) был использован для определения количества координированных молекул воды (n) и расстояний Pu-O в аква-ионах [24,25]. Аква-ионы Pu(V) и Pu(VI), согласно данным EXAFS, содержат две короткие плутонильные связи Pu=O длиной 1,81(1) и 1,75(1) Å соответственно, что согласуется с предположениями для диоксо-ионов. Каждое плутонильное звено координируется четырьмя или пятью молекулами воды на расстоянии Pu-O 2,47(1) и 2,41(1) Å для Pu(V) и Pu(VI) соответственно [25]. Аналогичные исследования аква-ионов UO_2^{2+} , NpO_2^{2+} и NpO_2^{+} показывают, что координационное число 5 является наиболее распространенным для представленных катионов [26]. Теоретический анализ XANES (околокраевая структура спектроскопии рентгеновского поглощения) В сочетании экспериментальными данными позволил по-новому взглянуть на электронную структуру этих ионов, особенно на природу связывающих взаимодействий между плутонием и аксиальными атомами кислорода Pu=O в аква-ионах PuO_2^+ и PuO_2^{2+} [27].

Ионы Pu(VII) содержат кратные связи Pu=O, а также полиоксо-ионы с четырьмя и более оксо-группами, в зависимости от условий растворения. Обратимое паре Pu(VII/VI) аналогично обратимому восстановление восстановлению Pu(VI/V), что подтверждает образование полиоксо-иона. Был предложен ряд анионных полиоксо форм Pu(VII), которые образуются в диапазоне концентраций гидроксидов от 0,5 до 18 M И включают $PuO_4(OH_2)_2$: $PuO_4(OH)(OH_2)^{2-}$, $PuO_4(OH)_2^{3-}$, $PuO_5(OH)^{4-}$ или PuO_6^{5-} , в зависимости от концентрации [28–30]. Из предложенных соединений только $PuO_4(OH)_2^{3-}$ имеет известный аналог в химии нептуния $NpO_4(OH)_2^{3-}$ [31], который имеет весьма необычную геометрию с четырьмя короткими связями Np=O в квадратной плоскости и двумя аксиальными лигандами ОН- [31–33].

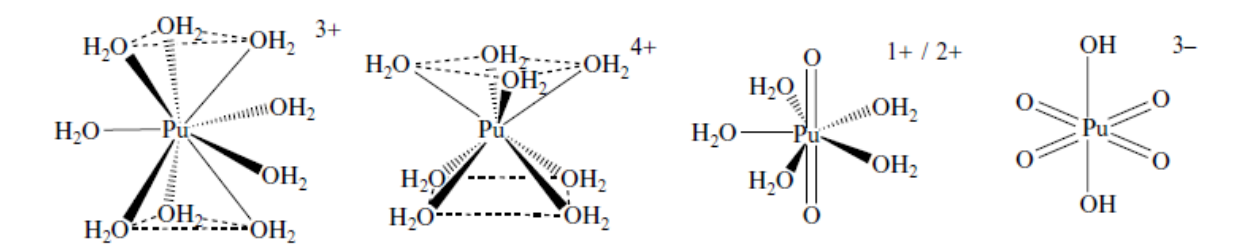


Рисунок 3 — Структуры акваионов Pu(III), Pu(IV), Pu(V), Pu(VI) Pu(VII) в водных растворах [22]

В умеренно кислых растворах Pu(V) неустойчив к реакциям диспропорционирования. Ожидается, что диспропорционирование Pu(V) на Pu(VI) и Pu(IV) или Pu(III) будет происходить по одному из двух возможных механизмов. Изучая скорость диспропорционирования Pu(V) в 0,5 М HCl, Конник [34] показал, что реальный механизм состоит из медленной реакции (1) в сочетании с быстрым равновесием (2).

$$PuO_2^+ + Pu^{3+} + 4H^+ \rightleftarrows 2Pu^{4+} + 2H_2O$$
 (медленная) (1)

$$PuO_2^+ + Pu^{4+} \rightleftarrows Pu^{3+} + PuO_2^{2+}$$
 (быстрая) (2)

с суммарной реакцией

$$3PuO_2^+ + 4H^+ \rightleftarrows Pu^{3+} + 2PuO_2^{2+} + 2H_2O$$
 (3)

Конник указывал, что диспропорционирование Pu(V) в условиях его эксперимента происходит по механизму уравнения (3), но при очень низких концентрациях Pu(III) механизм обязательно должен измениться на тот, который представлен уравнением (4).

$$2PuO_2^+ + 4H^+ \rightleftarrows Pu^{4+} + PuO_2^{2+} + 2H_2O$$
 (4)

Таким образом, уравнения (3) и (4) представляют собой предельные случаи диспропорционирования Pu(V), а реальный путь реакции зависит от степеней окисления плутония, присутствующих в растворе [34]. Использование уравнений (3) или (4) широко цитировалось в литературе, но оригинальные предостережения Конника об их тесной связи с условиями реакций не всегда учитывались. Без этого понимания уравнения (3) и (4) выглядели бы противоречивыми, поскольку они не предсказывают одни и те же продукты реакции (Pu³⁺ в (3) и Pu⁴⁺ в (4)). Во многих условиях реакций, встречающихся в лаборатории, диспропорционирование Pu(V)

может следовать обоим механизмам, и в этом случае ни одно уравнение 3 или 4 само по себе не описывает на достоверном уровне диспропорционирование Pu(V). Это кажущееся несоответствие подробно обсуждалось Сильвером [35–39], который показал, что реакция диспропорционирования при любых конкретных условиях раствора может быть выражена как линейная комбинация этих двух предельных случаев.

Примечательно, что обе реакции диспропорционирования Pu(V) имеют константы равновесия четвертого порядка и зависят от концентрации ионов водорода. Это иллюстрирует, почему растворы Pu(V) стабильны только при рH, близком к нейтральному, когда концентрация ионов водорода низкая. Многие исследователи использовали это наблюдение для приготовления растворов Pu(V) в отсутствие других степеней окисления [40–43]. Рабидо изучал кинетику и механизм реакции Pu(V)/Pu(VI) в условиях отсутствия Pu(III) [44].

Растворы Pu(VI) обычно готовят окислением в концентрированной $HClO_4$ при высокой температуре [45]. Кислые растворы PuO_2^{2+} в отсутствие комплексообразователей имеют желтый или оранжевый цвет. Нитрат шестивалентного плутония также можно получить путем нагревания растворов плутония в азотной кислоте почти до сухого состояния при температуре около 170° C. После охлаждения нитратного расплава образуется стеклообразное твердое вещество, которое является очень стабильной формой хранения Pu(VI) и легко растворяется в водных растворах [46].

В растворах HClO₄ Pu(VI) нестабилен по отношению к восстановлению, индуцированному α -частицами. При миллимолярных или более высоких концентрациях плутония, при значениях pH примерно от 0 до 2, скорость восстановления составляет примерно от 1,2 до 2,0% от общего количества плутония в день [47]. При очень низких концентрациях плутония (2,2·10⁻⁵ M) скорости значительно медленнее. Сообщалось также, что ионы хлорида ингибируют α -восстановление Pu(VI) по аналогии с Pu(IV) [47].

Ньютон с соавторами [43] в своих исследованиях показали, что восстановление Pu(VI) соответствует реакции первого порядка, при этом в качестве

восстановителей выступают продукты радиолиза воды. Pu(V), в свою очередь, диспропорционирует с уравнением скорости процесса второго порядка, при этом в растворе появляются Pu(V) и коллоидный Pu(IV):

$$2Pu(V) \rightleftharpoons Pu(VI) + Pu(IV)$$
 (5)

Однако Хашке и Оберсби [48] представили экспериментальные данные из работы [43] в графическом виде и указали, что как реакция восстановления Pu(VI), так и диспропорционирование Pu(V) будут подчиняются закону скорости второго порядка. На основе этих данных, они пришли к выводу, что Pu(VI) будет диспропорционировать согласно следующему уравнению с последующим быстрым восстановлением Pu(VII) водой:

$$2Pu(VI) \rightleftharpoons Pu(VII) + Pu(V) \tag{6}$$

Дальнейшие исследования механизма восстановления Pu(VI) [49,50] не прояснило этот вопрос. Однако, в обзорной работе Шилова с соавторами [51] подробно изучили ряд работ, посвящённых исследованию восстановления и диспропорционирования плутония в высоких степенях окисления. Авторы Pu(VI) утверждают, что гипотеза TOM, ЧТО В кислых растворах диспропорционирует в Pu(VII) и Pu(V), не может быть принята из-за высокого окислительно-восстановительного потенциала пары Pu(VII)/(VI). Плутоний(VI) восстанавливается в результате радиационно-химических реакций, вызванных его α-излучением, и образования димера (так называемый эксимер) возбужденного иона Pu(VI) с невозбужденным ионом Pu(VI), который быстро распадается на Pu(V) и H_2O_2 . Плутоний(V), в свою очередь, в дальнейшем или претерпевает реакцию диспропорционирования, или при высоких концентрациях плутония в растворе может участвовать в радиационно-химических процессах.

Гидролиз Pu(VI) занимает промежуточное положение между гидролизом Pu(III) и Pu(IV), что соответствует его эффективному заряду 3,2. Тананаев [52] был одним из первых, кто изучал поведение Pu(VI) и Am(VI) в водных растворах и образование различных гидролизных форм при помощи спектрофотометрии в видимом и ближнем ИК диапазоне. Автор отметил, что интенсивность пика поглощения на длине волны 831 нм, принадлежащего к плутонил-иону PuO_2^{2+} ,

постепенно уменьшается с увеличением pH и при концентрации [LiOH] = $7.5 \cdot 10^{-3}$ пик полностью исчезает. Кроме того, с увеличением концентрации анионов OH⁻, автор отметил появление двух других пиков поглощения на длинах волн 850 нм и 865 нм, а при ещё большем увеличении pH пики поглощения исчезают. В результате автор сделал вывод о возможном существовании нескольких гидролизных форм Pu(VI) в разбавленных растворах ([Pu(VI)] = $1.25 \cdot 10^{-3}$ M) с различными значениями pH. В работе отмечается, что при повышении концентрации актинида ожидается полимеризация, а также возможно дальнейшее осаждение Pu(VI) из раствора с увеличением концентрации OH⁻.

Пашалидис с соавторами [53] изучали гидролиз ²⁴²Pu(VI), используя спектроскопию поглощения с контролем pH в растворах 1 M NaClO₄ в диапазоне рН от 1 до 6. Первая константа гидролиза $\lg \beta_1 = 8,69 \pm 0,07$ была найдена для реакции $PuO_2^{2+} + OH^- \rightleftarrows PuO_2(OH)^+$, которую, с использованием литературных данных, экстраполировали на нулевую ионную силу и определили значение константы при I = 0, которое оказалось равным $\lg \beta_I = 8.84 \pm 0.3$. Константа образования второй гидролизной формы (PuO₂(OH)₂) также была подсчитана авторами и оказалась равной $\lg \beta_2 = 17,58 \pm 0,2$, однако авторы отмечают достаточно маленькую область стабильности этой гидролизной формы. Как и в описанной выше работе, авторы отметили образование полимеров Pu(VI) при увеличении $[PuO_2^{2+}]$ и значений pH в растворе. На год позже Пашалидис с соавторами [54] снова изучали гидролиз Pu(VI) в атмосфере аргона при более высоких значениях рН (от 4,5 до 9,0) в 0,1 М NaClO₄ в контакте с твёрдой фазой плутония $PuO_2CO_3(тв)$, которая изменилась со временем на $PuO_2(OH)_2(TB)$. Авторы определили основные гидролизные формы Pu(VI) как PuO₂OH⁺ в около нейтральных и PuO₂(OH)₂(водн) в слабо щелочных растворах. Были найдены константы стабильности этих двух гидролизных форм, которые согласуются с данными, найденными ранее: $1g\beta_{11}=8,10\pm0,15$ и $1g\beta_{12}=14,25\pm0,18$. Авторы сравнили первую константу с известными литературными данными для UO_2OH^+ ($\lg\beta_{II}=8.4\pm0.03$) и также отметили согласование результатов.

Работа Райли с соавторами [55] была посвящена исследованию различных гидролизных форм Pu(VI) в диапазоне концентраций $10^{-2}-10^{-5}$ М. Свежеприготовленный раствор Pu(VI) добавлялся к 5 мл 0,1 М NaNO₃ и титровался стандартизированным раствором 0,1 М или 0,01 М NaOH при постоянном измерении значений pH. В процессе титрования были измерены спектры поглощения. Концентрация Pu(VI) в растворе определялась путём расчёта кривой титрования $\frac{d(o65 \pm em \ Tutpohahra)}{d(p[H])}$ и предполагая, что разность между двумя максимами соответствует двум эквивалентам добавленного титранта. Всего было проведено 10 титрований для концентраций 1-10 мМ в диапазоне pH=2,7-8,4. Также было проведено титрование Pu(VI) 0,1 - 0,5 мМ в диапазоне pH=3,7-7,8. По результатам экспериментов, на кривых титрования наблюдается две точки перегиба: в нуле и в двух эквивалентах добавленного основания (в расчёте на молярные эквиваленты плутонила, Pucyhok 4).

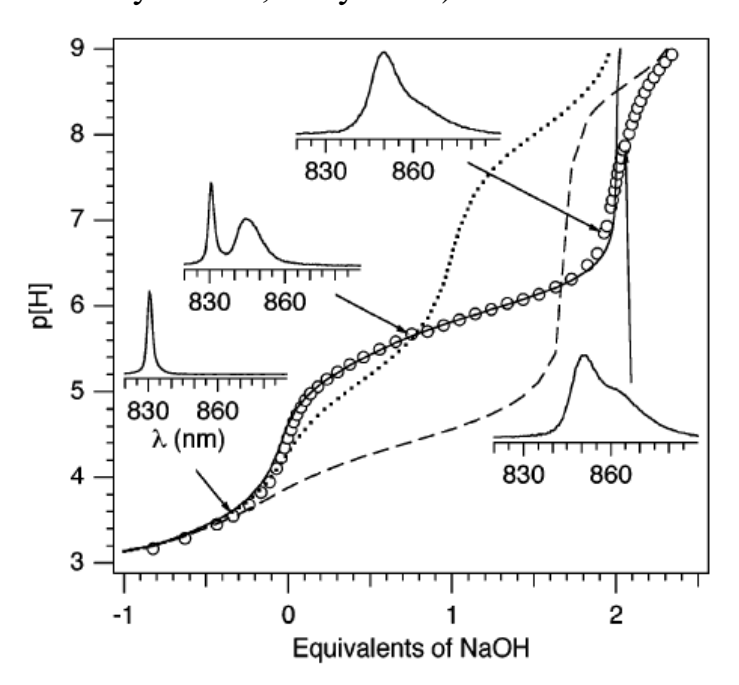


Рисунок 4 — Потенциометрическое титрование Pu(VI) раствором NaOH. Спектры поглощения, измеренные во время титрования, показаны на врезках. $[Pu(VI)] = 1 \text{ мM}, I = 0.10 \text{ M NaNO}_3, T = 25 °C. (кружки) - экспериментальные данные; (сплошная линия) - аппроксимация; (точечная линия) – теоретический расчёт с использованием литературных констант гидролиза <math>Pu(VI)$; (пунктирная

линия) – теоретический расчёт с использованием литературных констант

гидролиза U(VI) [55]

Первая точка перегиба соответствует нейтрализации избытка кислоты в маточном растворе Pu(VI). Вторая точка перегиба соответствует образованию формы $(PuO_2)_m(OH)_n^{(2m-n)+}$. Комбинация потенциальных физико-химических гидролизных форм, использованная для моделирования полученных результатов, включала моно-, ди- и трёхъядерные комплексы, образованных в соответствии с реакцией:

$$mPuO_2^{2+} + nH_2O \rightleftharpoons (PuO_2)_m(OH)_n^{(2m-n)+} + nH^+,$$
 (7)

причём данная реакция могла проходить как единожды, так и многократно.

По результатам потенциометрии авторы предположили существование $(PuO_2)_2(OH)_2^{2+}$ и $(PuO_2)_2(OH)_4^0$ в диапазоне концентраций Pu(VI) в растворе $10^{-2}-10^{-3}$ М. Молярное отношение гидроксидов плутония к общей концентрации плутония вычисляется по формуле:

$$\bar{n} = \frac{[H^+] - [H]_{tot}}{[Pu]_{tot}} \tag{8}$$

где [H]_{tot} и [Pu]_{tot} – общие концентрации кислоты и плутония соответственно. На графике зависимости \bar{n} от рН было показано, что видообразование в системе с концентрацией Pu(VI) выше 0,5 мМ отличается от форм, образованных в растворах при более низких концентрациях. Высокое значение \bar{n} при одинаковых рН для разных концентраций Ри подтверждает образование полимерных частиц. В диапазоне >1 мМ потенциометрическое титрование лучше всего согласуется с образованием $(PuO_2)_2(OH)_2^{2+}$ и $(PuO_2)_2(OH)_4^0$. Авторы отметили, что мономеры образуются только в растворах с $[Pu(VI)] = 10^{-4} \, M$ и имеют формулы PuO_2OH^+ и $PuO_2(OH)_2{}^0$. Для всех предложенных гидролизных форм плутония были получены оптические спектры поглощения, измеренные в процессе потенциометрического титрования. При низких значениях рН спектры показывают характерную линию для PuO_2^{2+} при 830 нм. Интенсивность этого пика, а, следовательно, и концентрация, уменьшаются с увеличением рН по мере протекания гидролиза. Первая гидролизная форма была обнаружена на длине волны 845 нм с коэффициентом экстинкции $270 \pm 10 \text{ см}^{-1} \cdot \text{M}^{-1}$, что соответствует $(\text{PuO}_2)_2(\text{OH})_2^{2+}$. При pH = 6.85 Pu(VI) полностью гидролизуется и появляется вторая полоса

поглощения при 850 нм, соответствующая $(PuO_2)_2(OH)_4^0$. Дальнейшее повышение рН и гидролиза Pu(VI) даёт дополнительную полосу поглощения при 864 нм, что соответствует $PuO_2(OH)_3^-$. При более низких концентрациях плутония (10^{-4} M) спектры поглощения были менее информативными, так как находились близко к пределу обнаружения данного метода. В 0,2 мМ растворе Pu(VI) первая гидролизная форма была обнаружена на длине волны 842 нм и соответствует PuO_2OH^+ . Спектр раствора Pu(VI) с pH = 7.95 при 0.2 мМ показывает наличие сразу двух полос поглощения: при 842 нм и при 850 нм. Авторы отмечают, что при малых концентрациях плутония отсутствует полоса поглощения на 845 нм, вместо неё максимум поглощения смещается в сторону бОльших длин волн, к пику 850 нм. Стоит отметить, что авторы указали на восстановление шестивалентного плутония до Pu(V) с течением времени. Так, по результатам жидкостно-сцинтилляционной спектрометрии (ЖСС) концентрация Pu(VI) снизилась на 11% за 13 дней и появился заметный пик 569 нм, соответствующий Pu(V). Авторы отмечают, что изменение значений рН в исследуемых растворах могут быть объяснены изменением степени окисления плутония и изменением концентрации Pu(VI).

В работе Чо с соавторами [56] при помощи спектрофотомерии изучалось образование водных физико-химических форм плутония. Основное внимание было уделено влиянию Pu(V), полученного при восстановлении Pu(VI), на стабильность гидролизных форм Pu(VI). Для обнаружения следовых количеств ионов PuO_2^+ к спектрофотометру была подключена капиллярная ячейка с длиной оптического пути 100 см. Как следствие улучшенной чувствительности детектирования, полоса поглощения при 569 нм, относящаяся к Pu(V), детектировалась уже в течение одного дня после приготовления образца из чистого раствора Pu(VI). Первая была $(PuO_2)_2(OH)_2^{2+}$ обнаруженная гидролизная форма плутония концентрациях плутония 0,1-0,12 мМ и в слабокислых условиях (рН 5-6). Константа образования $(PuO_2)_2(OH)_2^{2+}$ была определена как $\lg *\beta'_{22} = -7,34 \pm 0,22$ в 0,01 M NaClO₄. Эта двуядерная гидролизная форма была нестабильна и исчезала в течение одного месяца после начала эксперимента в заданных условиях. В диапазоне нейтральных значений рН образовывалась вторая гидролизная форма

 $PuO_2(OH)_2(водн)$ или $(PuO_2)_2(OH)_4(водн)$ с полосой поглощения на длине волны 850 нм и оставалась стабильной более одного года. Со временем авторы наблюдали образование ассиметричного плеча в районе 860 нм, которое по предположению авторов может относиться к $PuO_2(OH)_3$. Образование первой гидролизной формы в виде $(PuO_2)_2(OH)_2^{2+}$, а не $PuO_2(OH)^+$ как в работах, рассмотренных выше, авторы объяснили увеличением концентрации плутония, использованного в данной работе, что поспособствовало образованию димеров, вместо ожидаемых мономеров.

В следующей работе Чо с соавторами [57] сконцентрировались на изучении мономеров Pu(VI) при помощи спектрофотометрии. Чтобы исключить образование полимерных частиц, концентрацию плутония в этот раз использовали ниже 50 мкМ. К тому же авторы учли постепенное восстановление плутония и добавили окислитель NaOCl для поддержания степени окисления Pu(VI). Следовые количества Pu(V) контролировались путем измерения окислительновосстановительного потенциала и спектроскопии поглощения с использованием капиллярной ячейки с длиной оптического пути 100 см. Определенные молярные коэффициенты поглощения (ϵ , M^{-1} ·см⁻¹) составляли 272 \pm 26 и 436 \pm 33 для частиц $PuO_2(OH)^+$ и $PuO_2(OH)_2(BOДH)$, соответственно. Были подсчитаны константы образования мономерных гидролизных форм Pu(VI) при ионной силе 0,01M NaClO₄:

$$lg*\beta'_1$$
 (для $PuO_2(OH)^+$) = - 5,8 ± 0,3,
 $lg*\beta'_2$ (для $PuO_2(OH)_2(BOДH)$) = - 13,4 ± 0,2
 $lg*\beta'_3$ (для $PuO_2(OH)_3^-$) = - 24,3 ± 0,8.

При сравнении полученных констант с известными в литературе константами образования мономерных гидролизных форм для U(VI) авторы заметили небольшие отклонения, которые не смогли объяснить.

Рао с соавторами [58] сконцентрировались на изучении гидролиза Pu(VI) при переменных температурах (283 – 343 K) с использованием потенциометрии, микрокалориметрии и спектрофотометрии. Полученные данные авторы описали при помощи трёх реакций гидролиза: $mPuO_2^{2+} + nH_2O \rightleftharpoons (PuO_2)_m(OH)_n^{(2m-n)+} + nH^+$,

в которых (n,m) = (1,1), (2,2) или (5,3). Обнаруженные авторами гидролизные формы отлично согласуются с работами, рассмотренными выше. Константы равновесия (* $\beta_{n,m}$) были определены при помощи потенциометрии при температурах 283, 298, 313, 328 и 343 К. При повышении температуры с 283 до 343 К, константы * $\beta_{1,1}$, * $\beta_{2,2}$ и * $\beta_{5,3}$, увеличились на 1, 1,5 и 4 порядка соответственно. Усиление гидролиза при повышенных температурах авторы связывают со значительным увеличением степени ионизации воды при повышении температуры.

1.2.2 Поведение нептуния в водных растворах

Нептуний существует в водном растворе в виде ионов со степенями окисления от +3 до +7. Эти степени окисления могут изменяться в результате реакций восстановления и окисления, а также реакции диспропорционирования Np(V). На стабильность степени окисления сильно влияют такие факторы, как присутствие окислителя или восстановителя, кислотность раствора, присутствие комплексообразующего лиганда и концентрация самого нептуния в растворе. Трехвалентный четырехвалентный нептуний существуют виде гидратированных катионов Np^{3+} и Np^{4+} . В кислых растворах без лиганда Np^{3+} быстро окисляется на воздухе до Np⁴⁺. Даже в умеренно кислых растворах Np⁴⁺ подвергается значительному гидролизу. Np(III) и Np(IV) образуют нерастворимые гидроксиды в водных растворах низкой кислотности, а гидроксид Np(III) легко окисляется на воздухе до гидроксида Np(IV). Ион пятивалентного нептуния, который является наиболее стабильной степенью окисления в растворе, и ион шестивалентного нептуния ведут себя как сильные кислоты Льюиса, и в кислом растворе эти ионы существуют в форме NpO_2^+ и NpO_2^{2+} (для Np(V) и Np(VI)соответственно). NpO_2^{2+} стабилен в кислом растворе, но относительно легко восстанавливается до NpO_2^+ . Np(V) и Np(VI) образуют гидроксиды в нейтральных и основных растворах. Растворимость этих гидроксидов в водном растворе выше, чем у гидроксида Np(IV).

Пятивалентный ион NpO_2^+ стабилен и диспропорционирует лишь в очень кислых растворах. NpO_2^+ диспропорционирует до Np^{4+} и NpO_2^{2+} посредством реакции (9). Степень диспропорционирования усиливается, когда кислотность раствора и концентрация NpO_2^+ высоки:

$$2NpO_{2}^{+} + 4H^{+} \rightleftharpoons Np^{4+} + NpO_{2}^{2+} + 2H_{2}O$$

$$K_{\partial ucnp.} = [Np^{4+}][NpO_{2}^{2+}]/[NpO_{2}^{+}]^{2}[H^{+}]^{4}$$
(9)

Константа равновесия увеличивается с добавлением в раствор реагентов, образующих комплексы с Np^{4+} и NpO_2^{2+} . Например, было показано, что $K_{\partial ucnp.} = 4 \cdot 10^{-7}$ для Np(V) в 1 М HClO₄ и $K_{\partial ucnp} = 2, 4 \cdot 10^{-2}$ для Np(V) в 1 М растворе H_2SO_4 [59]. Хиндман с соавторами [60] изучали реакцию (10) в среде HClO₄ с варьированием ионной силы раствора и температуры.

$$Np(IV) + Np(VI) \rightleftharpoons 2Np(V)$$
 (10)

На основании полученных данных авторы предположили, что скорость реакции диспропорционирования уравнения (9) выражается уравнением (11).

$$-d[NpO_2^+]/dt = k[NpO_2^+][H^+]^2$$
(11)

Многие научные группы работали над изучением констант образования гидроксо-комплексов нептуния [61]. В исследованиях гидролиза оксокомплекса с проведением экспериментов по растворимости [62–64] были получены меньшие константы, чем в более ранних исследованиях [65–70], что, вероятно, связано с карбонатным комплексообразованием в процессе растворения. Нек с соавторами [64] изучили гидролиз иона NpO_2^+ при 298 K, проводя эксперименты по определению растворимости в диапазоне pH 7 – 14 в 0,1, 1,0 и 3,0 M растворах $NaClO_4$ в атмосфере аргона, не содержащей CO_2 . В 0,1 M $NaClO_4$ осадок гидроксида Np(V) оставался аморфным (зелёного цвета) в течение нескольких месяцев, тогда как в 1,0 M $NaClO_4$ осадок переходил из аморфного в более стабильное состаренное состояние (белого цвета) за сравнительно короткое время. В 3,0 M $NaClO_4$ изначально образуется состаренная фаза $NpO_2OH(TB)$. С использованием теории специфического ионного взаимодействия (SIT) были рассчитаны термодинамические константы: при I=0 $1gK_{sp}=-8,76\pm0,05$ для аморфного $NpO_2(OH)_2(am)$, $1gK_{sp}=-9,44\pm0,10$ для состаренного $NpO_2(OH)_2(TB)$,

 $\lg\beta_1 = 2.7 \pm 0.2$ для гидролизных форм NpO₂OH и $\lg\beta_2 = 4.35 \pm 0.15$ для NpO₂(OH)₂. (свежеосаждённые NpO_2OH Твердые соединения И состаренные анализировались на предмет возможного включения ионов натрия в структуру, однако кривые растворимости, полученные для двух твердых веществ в 1,0 М NaClO₄, убедительно свидетельствуют 0 TOM. что они имеют схожую стехиометрию.

1.3 Карбонаты плутония и нептуния

Карбонаты плутония представляют особый интерес для изучения в контексте обсуждения поведения плутония в окружающей среде, включая аспекты минералогии актинидов и изоляции ядерных отходов. Схемы разделения на основе карбоната, используются свойства которых зависящие OT pН комплексообразования этого лиганда, были предложены в качестве альтернативы процессам кислотной или органической экстракции отработавшего ядерного топлива [71]. Некоторые особенности карбонатного комплексообразования являются общими для различных ионов плутония. Актинильные ионы PuO_2^+ и PuO_2^{2+} имеют пентагональную и гексагональную бипирамидальную структуру, в которой линейная трехатомная единица О=Ап=О образует ось пентагонально- или гексагонально-бипирамидального координационного полиэдра по отношению к карбонато- и аква-атомам кислорода, связанным с металлическим центром. Помимо хелатирования иона плутония, карбонатные лиганды часто образуют водородные связи с водой внешней сферы или противоионами, образуя цепочки и слои в твердотельных структурах. Для всех степеней окисления константы устойчивости исходного монокарбонатного комплекса известны с наибольшей точностью, поскольку ИХ можно определить спектрофотометрически по уменьшению/смещению характеристической полосы поглощения аква-иона. Термодинамические константы предельных карбонатокомплексов лучше известны из исследований растворимости и карбонатного титрования, чем константы, соответствующие промежуточным соединениям, поскольку первые обычно имеют большие области стабильности. Промежуточные карбонатные комплексы не

охарактеризованы ни по одной из степеней окисления. В нескольких обзорах по карбонатам актинидов и химии окружающей среды подробно описаны карбонатные комплексы плутония [71–76].

Карбонатные комплексы трехвалентного плутония обычно быстро окисляются до четырехвалентных соединений. В водных растворах Pu(III) отмечено ступенчатое образование карбонатных комплексов $Pu(CO_3)^+$ и $Pu(CO_3)_2^-$. Могут образовываться дополнительные карбонатные и гидроксокарбонатные комплексы, которые окисляются до Pu(IV). Константы образования $\lg_{10} \beta_1 = 7,5$ и $\lg_{10} \beta_2 = 12,4$ были оценены при низкой ионной силе (0,1-0,5 M) [77]. Эти значения не были проверены, но согласуются с хорошо известными константами карбонатокомплексов Am(III) [78].

Четырехвалентный плутоний, вероятно, образует ступенчатые комплексы $Pu(CO_3)_n^{4-2n}$ (n = 1–5) с увеличением pH раствора и концентрации карбоната [64]. Монокарбонат Pu(IV) формулы $Pu(CO_3)^{2+}$ получают добавлением карбоната к кислым растворам иона или опосредованным карбонатом растворением твердых гидроксидов или оксидов. Константа образования $Pu(CO_3)^{2+}$ составляет lg_{10} $\beta_I = (17,0 \pm 0,7)$ [79,80]. Учитывая общепринятое гидратное число Pu(IV), равное восьми, этот комплекс, вероятно, имеет шесть дополнительных молекул воды во внутренней координационной сфере. В концентрированных карбонатных растворах $Pu(CO_3)_4^{4-}$ находится в равновесии с $Pu(CO_3)_5^{6-}$.

Капдевила с соавторами [81] изучали образование карбонатного комплекса формулы $Pu(CO_3)_5^{6-}$ методом электронной абсорбционной спектроскопии с различной ионной силой. Изучив равновесие в уравнении (12), им удалось определить константу равновесия реакции $lg_{10}K_5 = -(1,36 \pm 0,09)$, а также константу образования комплекса lg_{10} $\beta_5 = (35,8 \pm 1,3)$ в 3 М растворе NaClO₄. В обзоре NEA предлагается константа при нулевом значении ионной силы lg_{10} $\beta_5 = (36,65 \pm 1,13)$ [61]. Путем объединения значения β_5 с константой равновесия K_5 для уравнения (12) константа образования $Pu(CO_3)_4^{4-}$ при нулевой ионной силе оказалась равной lg_{10} $\beta_4 = (37,0 \pm 1,1)$ [61].

$$Pu(CO_3)_4^{4-} + CO_3^{2-} \rightleftarrows Pu(CO_3)_5^{6-}$$
 (12)

Твердые карбонаты Pu(IV) общей формулы $M_xAn(CO_3)_y \cdot nH_2O$ были синтезированы с различными катионами ($M = Na^+, K^+, NH_4^+, C(NH_2)_3^+; y = 4, 5, 6,$ 8) путем осаждения из растворов. Например, $[Na_6Pu(CO_3)_5]_2 \cdot Na_2CO_3 \cdot 33H_2O_3$ 2,5 M раствора Na_2CO_3 кристаллизовали ИЗ И охарактеризовали монокристаллическим рентгеноструктурным анализом [82]. Структура содержит ион $Pu(CO_3)_5^{6-}$, который можно рассматривать как псевдогексагональную бипирамиду с тремя лигандами CO_3^{2-} в экваториальной плоскости и двумя в аксиальных положениях, как показано на Рисунок 5. Данные XAFS для Pu(IV) в 2,5 М растворе Na₂CO₃ позволили определить длины связей и координационные соответствуют аксиальным расстояниям хорошо несвязывающим Ри-С и расстояниям Ри-О в экваториальной плоскости, составляющие 2,42(1), 2,87(1) и 4,12(1) Å соответственно, обнаруженные в структуре иона $Pu(CO_3)_5^{6-}$. В зависимости от условий реакции образовываться зеленые аморфные порошки составов $K_4Pu(CO_3)_4 \cdot nH_2O$, $K_6Pu(CO_3)_5\cdot nH_2O,\ K_8Pu(CO_3)_6\cdot nH_2O$ и $K_{12}Pu(CO_3)_8\cdot nH_2O$ [83]. Поскольку Кларк с соавторами определил ион $Pu(CO_3)_5^{6-}$ как «предельную» форму, то разумно предположить, что две последних твердых фазы будут иметь формулу $[K_6Pu(CO_3)_5][K_2CO_3]\cdot nH_2O$ и $[K_6Pu(CO_3)_5][K_2CO_3]_3\cdot nH_2O$. Натриевые соли с формулами $Na_4Pu(CO_3)_4 \cdot 3H_2O$, $Na_6Pu(CO_3)_5 \cdot 2H_2O$ и $Na_6Pu(CO_3)_5 \cdot 4H_2O$ также описаны как светло-зеленые кристаллические соединения, которые деградируют на воздухе [83]. Аналогично сообщается о соединениях (NH₄)₄Pu(CO₃)₄·4H₂O и $[Co(NH_3)_6]_2Pu(CO_3)_5 \cdot 5H_2O$ [84].

Рисунок 5 — Структуры аквакомплексов Pu(IV) с карбонат-анионами [22]

Карбонатные комплексы пятивалентного плутония получают добавлением растворов карбонатов щелочных металлов к слабокислым растворам PuO_2^+ или одноэлектронным восстановлением карбонатных комплексов Pu(VI). Методом спектрофотометрии обнаружены моно- и трикарбонатные комплексы $PuO_2(CO_3)^-$ и $PuO_2(CO_3)_3^{5-}$ и определены константы их образования. Напротив, бикарбонатный комплекс $PuO_2(CO_3)_2^{3-}$ обнаружен не был и его существование только предполагается. С помощью чувствительной лазерной фотоакустической спектроскопии была определена константа образования $\lg_{10} \beta_I = (4.6 \pm 0.04)$ для $PuO_2(CO_3)^-$ [85]. Константа образования $PuO_2(CO_3)_3^{4-}$ была рассчитана с использованием уравнения Нернста из реакции обратимого восстановления шестивалентного $PuO_2(CO_3)_3^{4-}$ при 339 мВ (относительно стандартного водородного электрода) в 1 М Na₂CO₃ с использованием данных об известных константах образования карбонатов Np(V), которая оказалась равной $\lg_{10} \beta_3 = 7.5$ [86,87]. Эти растворы, вероятно, изоструктурны соответствующим комплексам $NpO_2(CO_3)(OH_2)^{3-}$ и $NpO_2(CO_3)_3^{5-}$, которые были охарактеризованы с помощью EXAFS спектроскопии и проиллюстрированы в работах [88]. Эти комплексы имеют общую актинил-карбонатную структуру с аксиальными звеньями O=An=O с длинами связи 1,85 Å и бидентатными атомами кислородов карбоната и воды, расположенными в экваториальной плоскости с образованием пятиугольного или гексагонального бипирамидального координационного полиэдра при средних расстояниях связи 2,45 и 2,42 Å соответственно. Спектры оптического поглощения не позволяют предположить, что бискарбонатный комплекс $PuO_2(CO_3)_2^{3-}$ в какихлибо условиях является преобладающей формой в растворе, что согласуется с небольшой разницей между константами стабильности для моно- и трис-форм, что предполагает очень маленькое поле стабильности для этой промежуточной формы. Смешанные гидроксокарбонатные комплексы были предложены для Np(V) [89], но существование аналогичных форм Pu(V) всё ещё не подтверждены.

Твердые вещества карбоната Pu(V), впервые были получены в 1954 году, тогда и была определена структура $KPuO_2CO_3$ из порошковой дифрактограммы [23]. Гораздо больше данных имеется для аналогичных солей карбонатов Np(V),

 $MNpO_2CO_3$ и $M_3NpO_2(CO_3)_2$, где M – ион щелочного металла или аммония [8,90– Представленные соединения демонстрируют структурные связанные с сходством размеров гидратированных ионов, таких как $K^{\scriptscriptstyle +}$ и $NpO_2^{\scriptscriptstyle +}$, а также со степенью гидратации. Например, для $MNpO_2CO_3$, где в ряду $M = Cs^+$, Rb^+ , NH_4^+ , K^+ , Na^+ и Li^+ , внутри слоя $NpO_2CO_3^-$ на границе калий–натрий наблюдается фазовый переход из гексагональной в орторомбическую. Обе твердые фазы содержат слои актинил-карбоната, при этом гексагональные слои переходят в орторомбические смещением цепочек актинильных звеньев за счет полутрансляции вдоль кристаллографической оси (Рисунок 6). Орторомбическая структура (Рисунок 6б) более открыта, чем гексагональная структура (Рисунок 6а), которая, по-видимому, обеспечивает более тесные контакты, необходимые для более мелких катионов натрия и лития.

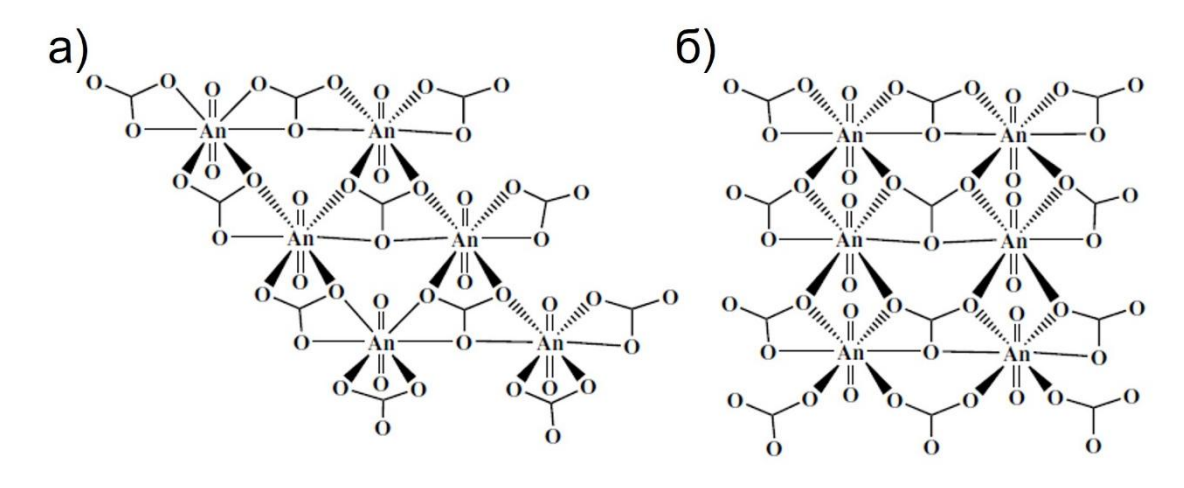


Рисунок 6 – Структуры слоёв карбонатов актинидов с а) гексагональной и б) орторомбической структурой слоя [22]

Бискарбонатное соединение $M_3NpO_2(CO_3)_2$ имеет орторомбическую структуру с псевдогексагональным слоем, аналогичным представленному на рисунке ба, за исключением того, что половина ионов AnO_2^+ в слое анионного карбоната заменена катионами щелочных металлов. Можно предположить, что катионы M^+ и AnO_2^+ образуют чередующиеся цепочки внутри гексагонального слоя, соответствующие составу $[M_{0,5}(AnO_2)_{0,5}(CO_3)]$ внутри слоя, как показано на Рисунок 7. Катионный и анионный слои ориентированы так, что катион щелочного металла M^+ располагается непосредственно над и под линейным ионом AnO_2^+

соседних слоев. Анионный карбонатный слой и катионные слои калия выстраиваются так, что они параллельны кристаллографической оси c, и это обеспечивает взаимодействие M-O=An между слоями и дает максимально упорядоченную структуру [74].

Рисунок 7 — Структура карбонатного слоя, соответствующего составу $[M_{0,5}(AnO_2)_{0,5}(CO_3)]\ [22]$

Карбонатные комплексы шестивалентного плутония изучались в первую очередь как продолжение химии уранил-карбоната. Образование карбонатных комплексов Pu(VI) увеличивается с увеличением pH и концентрации карбонатов. Пашалидис и др. [100] изучили растворимость как UO_2CO_3 , так и PuO_2CO_3 в водных карбонатных растворах и определили константы равновесия образования $PuO_2(CO_3)$, $PuO_2(CO_3)_2^{2-}$ и $PuO_2(CO_3)_3^{4-}$. Полученные результаты хорошо согласуются с более ранними исследованиями твердых соединений урана, нептуния и плутония $AnO_2(CO_3)$ в работах Ульмана и Шрайнера [101] и твердых соединений $PuO_2(CO_3)$ в работах Робуша и Виторге [102].

Оба комплекса: $PuO_2(CO_3)(водн.)$, и $PuO_2(CO_3)_3^{4-}$ были обнаружены спектрофотометрически. Несмотря на то что формы $AnO_2(CO_3)_2^{2-}$ были обнаружены спектрофотометрически для U(VI) и Np(VI), область стабильности соответствующего аналога $PuO_2(CO_3)_2^{2-}$ оказалась настолько мала, что данное соединение экспериментально обнаружено не было. Спектрофотометрические и калориметрические исследования образования монокарбонатного комплекса гидроксида Pu(VI) показали, что карбонат может конкурировать с гидроксидом в

координации с плутонием [103]. Последующие исследования растворимости и дополнительные спектрофотометрические данные позволили получить константу образования $\lg_{10}\beta_I = (8,7\pm0,3)$ для $PuO_2(CO_3)$ в 0,1 М NaClO₄ [100]. Порошковая рентгеновская дифракция и XAFS исследования соответствующего твердого вещества $PuO_2(CO_3)$ показывают, что он изоструктурен $UO_2(CO_3)$ [104]. Эта твёрдая фаза имеет слоистую структуру, где локальным координационным окружением иона плутонила является гексагональное бипирамидальное расположение атомов кислорода с плутонильными звеньями, перпендикулярными ромбической плоскости [74]. Каждый атом плутония образует экваториальных связей с атомами кислорода четырех карбонатных лигандов: две бидентатно и две монодентатно. Орторомбическая плоскость идентична показанной на Рисунок 7.

Анализ EXAFS и рентгеноструктурный анализ монокристаллов показывают, что анион $PuO_2(CO_3)_3^{4-}$ изоструктурен аналогу уранила, который имеет псевдогексагональную пирамидальную координационную геометрию. Было обнаружено, что расстояние в аксиальной плоскости Pu=O составляет 1,74Å со средним расстоянием Pu-O в экваториальной плоскости до карбонатных лигандов 2,45Å [105,106]. Константа стабильности $PuO_2(CO_3)_3^{4-}$ была определена на основе растворимости, калориметрии и спектрофотометрических исследований и составляет Ig_{10} $\beta_3 = (18,2 \pm 0,4)$ в 0,1 М электролитах [101,102]. Пашалидис и др. определили значение (17,8 ± 0,2) в 0,1 М растворе Ioleta NEA пересчитали их значение, чтобы исправить систематическую ошибку, и получили (18,4 ± 0,2) [107].

В отличие от химии уранилкарбоната, где бискарбонат $UO_2(CO_3)_2^{2-}$ и его олигомер $(UO_2)_3(CO_3)_6^{6-}$ являются основными формами [108], бискарбонатплутонильный комплекс $PuO_2(CO_3)_2^{2-}$ имеет маленькую область стабильности и ни он, ни олигомер $(PuO_2)_3(CO_3)_6^{6-}$ так и не были охарактеризованы. Подобно шестивалентным гидроксидам, реакции олигомеризации, по-видимому, резко замедляются в ряду от урана к плутонию. Было предложено существование смешанных олигомеров $(UO_2)_2(PuO_2)(CO_3)_6^{6-}$ и $(UO_2)(PuO_2)_2(CO_3)_6^{6-}$ на основе исследований оптического поглощения [76]. Аналогичным образом, другие

полимерные формы, известные для уранила $(UO_2)_2(CO_3)(OH)_3$ -, $(UO_2)_3O(OH)_2(HCO_3)^+$ и $(UO_2)_{11}(CO_3)_6(OH)_{12}^{2-}$ в условиях высокой концентрации ионов металлов или высокой ионной силы [109], не были обнаружены для плутонила.

Ницше с соавторами [110] исследовал поведение Pu(III, IV, V и VI) в растворе с составом, имитирующим условия глубинного захоронения РАО WIPP (Нью Мексико, США). В состав раствора входят различные катионы (Ca^{2+} , Mg^{2+} , Na^+ и K^+) и анионы (Cl⁻, SO₄²⁻, Br⁻), в том числе карбонат-анионы. Преимущественно раствор состоит из катионов Na^+ и анионов Cl^- при pH = 7. Поведение каждой степени окисления плутония исследовалось отдельно. Начальная концентрация актинида в растворе варьировалась от $1,3\cdot10^{-4}$ до $5,1\cdot10^{-4}$ М. Авторы наблюдали окислительно-восстановительное поведение плутония в растворе и выпадение различных осадков до достижения равновесного состояния системы (в течение ~350 дней). По достижении равновесного состояния системы, общая концентрация плутония в растворе была в диапазоне от $3 \cdot 10^{-8}$ до $7.6 \cdot 10^{-7}$ М. Во всех растворах через 350 дней доминирующей степенью окисления был Pu(VI). Кроме того, в растворе, где начальная степень окисления была Pu(VI) через 328 дней наблюдалось присутствие около 28% Pu(V), а в растворе с начальным Pu(V) - 18%Pu(V) (Рисунок 8). Авторы предполагают, что высокие степени окисления плутония в качестве продуктов реакции во всех экспериментах обусловлены альфарадиолизом раствора. Образовавшиеся твёрдые фазы во всех экспериментах были характеризованы методом РФА. Из растворов с начальной степенью окисления Pu(III, IV), по мнению авторов, образуется «полимер Pu(IV)», как, по видимому, авторы описывают наночастицы PuO_2 . Из растворов PuO_2^+ и PuO_2^{2+} , по мнению авторов, образуется карбонат Pu(V), причём из-за высокого содержания Na⁺ в растворе, авторы делают вывод о составе твёрдой фазы как о NaPuO₂CO₃ моноклинной структуры.

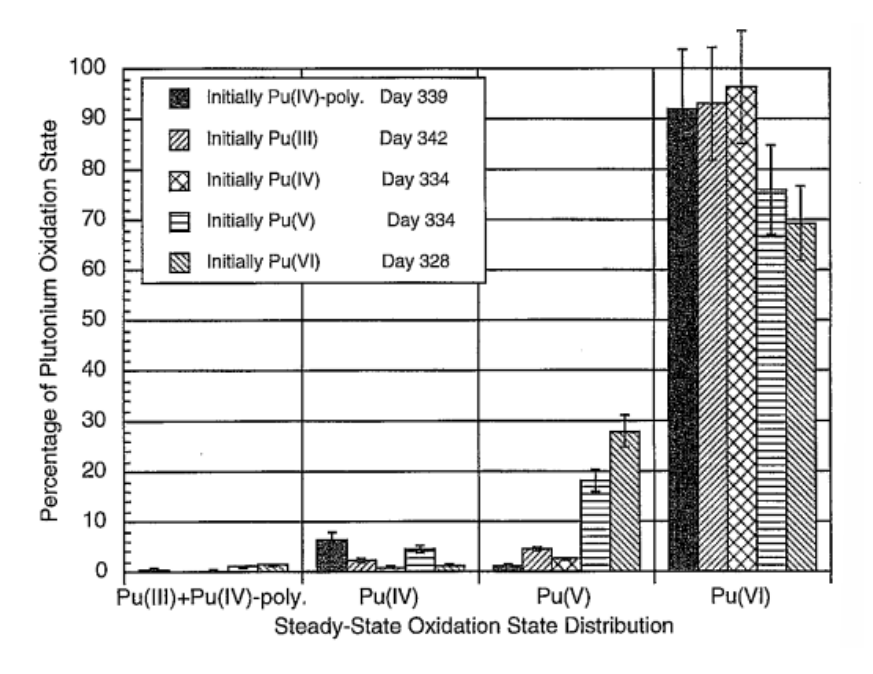


Рисунок 8 — Распределение степеней окисления плутония в равновесном состоянии в растворах,

имитирующих условия глубинного захоронения РАО [110]

В работе Квашниной с соавторами [111] изучалось образование наночастиц PuO_2 из Pu(VI) в щелочных условиях при pH=11 и pH=8. Было обнаружено, что реакция протекает с образованием промежуточной твёрдой фазы. Показано, что эта промежуточная фаза содержит Pu(V) и имеет схожую с $NH_4PuO_2CO_3$ структуру. При проведении эксперимента при pH=8 авторы заметили такую же кинетику осаждения, как и при pH=11, разница отмечалась только в количестве промежуточной фазы.

Растворимость карбоната Pu(VI) в соляных растворах была исследована Райли с соавторами [55]. Синтезированная твёрдая фаза PuO_2CO_3 помещалась в растворы NaCl и $NaClO_4$ с различной ионной силой в присутствии карбонатов. С использованием термодинамического моделирования авторы вычислили константу растворимости PuO_2CO_3 при нулевой ионной силе $(lgK^0_{s,0} = -14,82\pm0,05)$.

Для Np в литературе присутствует значительно больше информации о карбонатах в твердой фазе. Первой публикацией, посвященной химии нептуния в карбонатных средах, была статья Нигон и соавторов [112]. В работе обсуждался синтез карбонатов Pu(V), Am(V) и Np(V) путём осаждения из растворов карбонатов калия, натрия, рубидия или аммония. Полученные твёрдые фазы были исследованы

методом РФА, однако детально структуры соединений не были описаны. Авторы говорят, что соединения состава RbAmO₂CO₃ и NH₄AmO₂CO₃ имеют гексагональную структуру. Твёрдые фазы двойных карбонатов Am(V), Np(V) и Pu(V) с калием, по мнению авторов, должны иметь орторомбическую структуру, что отличается от ранее полученных данных для соединения KPuO₂CO₃ [23]. В случае же натриевых карбонатов с Pu(V) и Np(V) по результатам рентгеновской дифракции образуются фазы с моноклинной структурой. Горбенко-Германов и Зенкова осаждали твердые фазы состава M-Np(V)-CO₃ (где M = K, Cs) разной стехиометрии, в том числе K_3 NpO₂(CO₃)₂(тв), но фазы оказались метастабильны [113].

В работе Кенана и Крузе [114] гексагональные соединения КАmO₂CO₃ и KNpO₂CO₃ синтезируются путём осаждения из пятивалентных форм при помощи 0,1 M раствора K_2 CO₃ при pH=7. Во всех синтезах мгновенно образуется слегка окрашенный осадок, после чего раствор с осадком держался при температуре 90°C на 3-4 часа. Получившиеся осадки были промыты несколько раз при помощи 0,01 M KHCO₃, а после несколько раз промыт сначала при помощи этилового спирта, а затем при помощи ацетона и высушен в течение ночи. Структура полученных соединений представляет собой слои [AnO₂CO₃] (An = Am или Np), соединённые между собой катионами K^+ . Компонент AnO₂+ является линейным и параллелен оси c. Авторы отмечают, что с изменением актинида ось c уменьшается вследствие сжатия. Отсутствие изменения оси a не удивительно, так как карбонатные кислороды слабо координированы с центральным атомом, в отличии от кислородов, расположенных на расстоянии 1,94 Å. Авторы делают вывод, что изменение длины оси c наблюдается вследствие изменения расстояния в аксиальной плоскости Np=O 1,98 Å и Am=O 1,92 Å.

В работах Волкова с соавторами 1974 года [95–97] образцы состава $K_3NpO_2(CO_3)_2\cdot xH_2O$ синтезировались путём смешивания водных растворов пятивалентного нептуния и карбоната калия различных концентраций (применялся как прямой, так и обратный порядок добавления реактивов). Осадок выдерживали в маточном растворе в течение 1-2 суток, а затем отделяли от маточного раствора

центрифугированием. Осадок карбонатного соединения пятивалентного нептуния с калием, осаждённый из 0,1-0,2 М раствора K_2CO_3 промывался только ацетоном, а соединения, получаемые в более концентрированных растворах карбоната, быстро промывали 3-4 раза $0.1~{\rm M}~{\rm K}_2{\rm CO}_3$ и по два раза спиртом и эфиром. Далее соединения сушили на воздухе при комнатной температуре. В результате одинакового получались соединения состава, НО различных структур: модификация A - B растворах K_2CO_3 в диапазоне концентраций 1.8 - 5.6 M, а модификация B - B диапазоне концентраций 0.8 - 1.5 M. Авторы отмечают, что форма А также образуется в условиях, при которых в статье Горбенко-Германова [113] по данным химического анализа образуется фаза $K_5NpO_2(CO_3)_3$.

По результатам химического анализа у формы A содержание калия и CO_3^{2-} является повышенным при низком содержании нептуния, но при этом состав формы A не отвечает составу $K_5NpO_2(CO_3)_3$. Авторы выдвигают два объяснения:

- 1) Форма A является кристаллической модификацией соединения $K_3NpO_2(CO_3)_2$, а отклонение результатов химического анализа связано с захватом и неполным удалением K_2CO_3 из осадков.
- 2) Форма A соответствует соединению $K_5NpO_2(CO_3)_3$, а отклонение от стехиометрического содержания в ней компонентов наблюдается из-за разрушения этого соединения при подготовке к анализу.

Авторы склоняются к первому объяснению, так как дифракционная картина формы A остаётся неизменной при различных концентрациях K_2CO_3 , то есть избыток карбоната калия не входит в кристаллическую решётку формы A.

В непромытых осадках присутствует кристаллический $K_2CO_3\cdot 1,5H_2O$. После промывки его не удаётся найти рентгенографически, но возможно он входит в осадок в рентгеноаморфном состоянии, а повышенный захват карбоната калия формой A связан с мелкодисперсностью осадка. Кривые титрования форм A и В подобны, но различаются соотношением эквивалентов кислоты, израсходованных на титрование CO_3^{2-} и $[NpO_2CO_3]^-$, что согласуется и с данными химического анализа осадков. Эти факты указывают на неравноценность связи двух групп CO_3^{2-} в дикарбонатных соединениях нептуния.

В разбавленных растворах $0.2 \, \text{M}$ $K_2 \text{CO}_3$ образуется твёрдая фаза изоструктурная $\text{KNpO}_2 \text{CO}_3$ ($\text{pH} \approx 6$) с вариациями параметра с от образца к образцу. Количество воды в монокарбонате было переменно и имеет цеолитную природу. В работах авторов изучалось содержание воды в монокарбонатах нептуния (позже аналогичное поведение наблюдалось для плутония и америция), полученных электрохимическим восстановлением Np(VI) в растворе карбоната калия (при электролизе в $0.1-0.2 \, \text{M} \, \text{K}_2 \text{CO}_3$ образуются фазы с гексагональной решёткой изоструктурные $\text{KNpO}_2 \text{CO}_3 \cdot \text{nH}_2 \text{O}$), а также добавлением раствора $\text{K}_2 \text{CO}_3$ к азотнокислому раствору Np(V). Установлено, что параметр c гексагональной решётки имеет непостоянное значение и изменяется в зависимости от способа получения, влажности, температуры и времени выдержки при различных условиях. При этом характер изменения достаточно сложный. Циклическое нагревание и увлажнение одного и того же образца указывают на обратимость процесса. Наблюдаемое изменение соответствует внедрению молекул воды между слоями $[\text{NpO}_2 \text{CO}_3]$.

Авторы отмечают, что наличие цеолитных свойств у монокарбонатов позволяет иначе интерпретировать некоторые результаты. Так, например, в статье Кенана и Крузе 1964 года [114] рассматриваемое актинидное сжатие при изменении параметра c для монокарбонатов разных актинидов, теряет смысл.

Помимо соединений нептуния, авторы в своей работе [95–97] провели синтез соединений $K_3AmO_2(CO_3)_2 \cdot xH_2O$ (Модификация A была получена в 4,7 М K_2CO_3 и модификация B — в растворах 1 и 2,3 М карбоната калия) и $K_3PuO_2(CO_3)_2 \cdot xH_2O$, синтезированного в 1 М K_2CO_3 . Анализ дифракционной картины модификаций A и B указывает на их индивидуальность и родственность в то же время. В Амодификации все линии, за исключением первой диффузной, хорошо индуцируются на основе гексагональной ячейки. Интенсивность диффузной линии изменяется от образца к образцу, что авторы связывают с возможным наличием второй фазы, но и не исключают возможную принадлежность диффузной линии к структуре дикарбонатов.

Все рефлексы модификаций А были проиндуцированы в ромбической ячейке с различными параметрами для $K_3NpO_2(CO_3)_2 \cdot nH_2O$ и $K_3AmO_2(CO_3)_2 \cdot nH_2O$, при этом первая линия (011) и четвёртая (022) взаимосвязаны и относятся к одной серии плоскостей. Отношение осей b/a в ромбической ячейке равно $\sqrt{3}$, поэтому совпадение соответствующих d(hkl) является следствием гексагональности или псевдогексагональности кристаллов формы A.

В соединениях формы В наблюдается наличие дополнительных линий, большинство из которых не подчиняется гексагональному мотиву. Рентгенограмму можно проиндуцировать в ромбической ячейке с параметрами, близкими для соответствующих соединений в А-модификации. Различие двух модификаций связано с понижением симметрии кристаллической решётки формы В, отклонении отношения b/a от $\sqrt{3}$ и появлении рефлексов d(hkl), не подчиняющихся объёмноцентрированному мотиву.

При нагревании образцов модификации А ромбической структуры до 200° С наблюдается уменьшение параметров a и b, при этом увеличивается c. Авторы связывают этот факт с удалением молекул воды из структуры. Для соединений модификации В не обнаружено заметных изменений параметров при нагревании. При 450° С наблюдается фазовый переход из модификации В в А.

В следующей работе Волкова [94] проводился синтез соединений LiNpO₂CO₃ и NaNpO₂CO₃. Анализ рентгенограмм данных соединений показывает, что они изоструктурны друг другу, но неизоструктурны гексагональному KNpO₂CO₃. Это возможно вследствие различного наложения одинаковых по строению слоёв $[NpO_2CO_3]^-$ или вследствие различия их строения. Пространственная группа по погасаниям определяется как *Pnnn* для лития и *Pnmn* для натрия. Однако, такое сочетание элементов симметрии не удовлетворяет строению слоя $[NpO_2CO_3]^-$. Наиболее вероятно, что пространственная группа будет *Pmmn* или $Pm2_1n$. Из двух вариантов авторы отдают предпочтение второй группе. Слои $[NpO_2CO_3]^-$ удерживаются практически через систему контактов натрий — кислород группы NpO_2^+ .

В ряду монокарбонатов пятивалентного нептуния с Cs, Rb, NH₄, K, Na, Li на границе калий — натрий происходит морфотропное превращение структуры слоя $[NpO_2CO_3]^-$ из гексагонального в ромбический, которые могут легко трансформироваться друг в друга вследствие сдвига цепочек атомов на половину трансляции вдоль оси a (Рисунок 9).

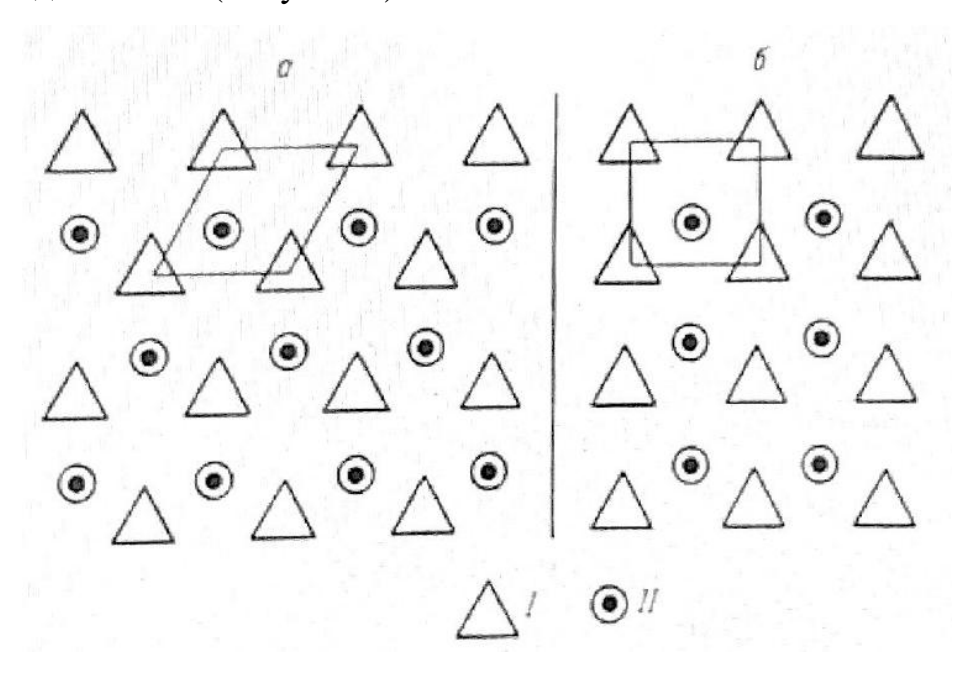


Рисунок 9 — Схема координации групп CO₃²⁻ в карбонатных комплексах пяти- и шестивалентных актинидов.

Обозначения: $I - CO_3^{2-}$ -группа, $II - NpO_2^+$ [94]

Расстояние между слоями в структурах лития и натрия относительно большое (5,07 Å и 5,34 Å), несмотря на малые ионные радиусы лития (0,68 Å) и натрия (0,98 Å). Следовательно, структура ромбических кристаллов является довольно рыхлой, по сравнению с гексагональными. Слабая сила связи между анионными и катионными слоями позволяет молекулам воды проникать между слоями и образовывать различные гидратные модификации.

Различные гидратные модификации двойных карбонатов Np(V) с натрием были изучены в следующей работе Волкова с соавторами [91]. Осадки состава $Na_{0,6}NpO_2(CO_3)_{0,8}\cdot xH_2O$ получали путём титрования раствора нептуноила раствором $NaHCO_3$ до соотношения $NaHCO_3$:Np(V)=1,5-1,6. Была установлена формула полученного соединения как $Na_{0,6}NpO_2(CO_3)_{0,8}\cdot 2,5H_2O$. Авторы сообщают, что соединение неустойчиво и в растворе 1 M $NaNO_3$ с pH=8-9,

доведённым раствором карбоната натрия, превращается в монокарбонат с понижением рН до 6. Авторами были предприняты попытки получить соединения с Li, K, NH₄ которые не увенчались успехом.

Было отмечено, что при нагревании исходной фазы в интервале от 60° С до 390° С существует одна фаза переменного состава $Na_{0,6}NpO_2(CO_3)_{0,8}\cdot nH_2O$ $(0,7>n\geq 0)$. При нагревании параметры решётки a и c остаются постоянными, что говорит о сохранении структуры слоя $[NpO_2CO_3]^-$. При этом, в данных соединениях соотношение $Np:CO_3=1,25$, откуда следует, что часть атомов нептуния не помещается в анионный слой и занимает часть позиций натрия в катионном слое в виде иона NpO_2^+ .

При нагревании образца наблюдается перераспределение интенсивностей линий, что авторы обуславливают смещением атомов в катионном слое или смещением катионного слоя относительно анионного. На основании структурных расчётов формулу соединения при 350° С можно записать в виде $[Na_{0,75}(NpO_2)_{0,25}]^{+} \cdot [NpO_2CO_3]^{-}$.

Авторы отмечают, что непрерывное изменение параметра *b* в значительных пределах обусловлено не только выходом молекул воды, но главным образом смещением катионных и анионных слоёв друг относительно друга, что приводит к закупориванию каналов, через которые выделяется оставшаяся вода, что затрудняет процесс дальнейшей дегидрации. Экспериментально было подтверждено, что отожжёные образцы при высоких температурах ухудшают свою способность к поглощению воды. При этом на данных инфракрасной (ИК) спектрометрии некоторое количество воды присутствует и после нагрева до 350°C, хотя при 390°C соединение полностью разлагается.

В следующей работе Волкова [93] были синтезированы образцы двойных карбонатов нептуния состава $Na_4NpO_2(CO_3)_{2,5} \cdot xH_2O$, $Na_3NpO_2(CO_3)_2 \cdot xH_2O$ и $Rb_3NpO_2(CO_3)_2 \cdot xH_2O$. Осадки с натрием получали путём смешивания растворов Na_2CO_3 с Np(V). Из растворов с концентрацией 0,3-1,7 моль/л выпадает соединение $Na_3NpO_2(CO_3)_2$, а соединение $Na_4NpO_2(CO_3)_{2,5}$ выпадает при взаимодействии гидроокиси Np(V) с раствором 2,4 М Na_2CO_3 . $Rb_3NpO_2(CO_3)_2$

образовывался при смешивании растворов с Rb_2CO_3 от 1 до 3,8 М. По данным ИК спектроскопии видно присутствие воды в результирующих твёрдых фазах.

Рентгенограммы соединений $Na_3NpO_2(CO_3)_2$ и $Na_4NpO_2(CO_3)_{2,5}$ индивидуальны, но имеют значительное сходство. При повышении температуры у соединения $Na_4NpO_2(CO_3)_{2,5}$ от $20^{\circ}C$ до $400^{\circ}C$ наблюдается постепенное обострение диффузных линий (за исключением первой). Одновременное присутствие диффузных и острых линий на рентгенограмме этого соединения свидетельствует, по-видимому, о частичной неупорядоченности кристаллической структуры, степень которой уменьшается с ростом температуры. Для соединения $Na_3NpO_2(CO_3)_2$ с ростом температуры дифракционная картина не меняется вплоть до полного разложения соединения.

При сравнении $Na_4NpO_2(CO_3)_{2,5}$ с $K_3AnO_2(CO_3)_2\cdot nH_2O$ (А-форма, где An=Np, Am) [95] можно сделать вывод о том, что эти соединения изоструктурны, как и соединения $Na_3NpO_2(CO_3)_2$ и В-форма $K_3AnO_2(CO_3)_2\cdot nH_2O$ (в том числе соединение с плутонием), хотя между ними нет полной структурной аналогии.

Соединение $Na_4NpO_2(CO_3)_{2,5}$, по сравнению с $Na_3NpO_2(CO_3)_2$ обладает более высокой симметрией, как и калиевые А-формы, в первом приближении имеет гексагональную решётку. Но при этом остаётся непроиндицирована первая диффузная линия. Её включение требует удвоения параметра а гексагональной ячейки или переход к ромбической. При нагревании наблюдается изменение параметров ячейки.

У соединения $Na_3NpO_2(CO_3)_2$ присутствуют дублетные линии (вместо диффузных) и появляются дополнительные рефлексы, что связано с понижением симметрии кристаллической решётки относительно $Na_4NpO_2(CO_3)_{2,5}$. Но при этом для него сохраняются элементы гексагональной структуры.

В связи с этим, рентгенограмму можно проиндицировать используя метод гомологии при искажении гексагональной ячейки. В первом приближении кристаллическую структуру можно описать в ромбических осях. Но авторы отмечают моноклинное искажение ромбической ячейки. Кроме того, авторы отмечают, что существует набор промежуточных рентгенограмм, полученных в

различных опытах, указывающих на непрерывное изменение дифракционной картины от одного типа к другому.

Рентгенограмму $Rb_3NpO_2(CO_3)_2\cdot xH_2O$ можно приондицировать в псевдокубической ячейке, в гексагональных осях, однако истинная симметрия будет ромбической.

При сравнении параметров псевдогексагональных ячеек a, c соединений $M_3AnO_2(CO_3)_2 \cdot nH_2O$ и $MAnO_2CO_3 \cdot nH_2O$ можно заметить, что они идентичны, как и их объёмы. Для бикарбоната это уместно для одной формульной единицы, а для монокарбоната — для двух. Это даёт основание предполагать наличие родственных фрагментов структуры. Параметр a для монокарбоната не зависит от природы катиона: анионные слои постоянны и катион влияет только на параметр c. Тогда как для бикарбоната параметр изменяется в прямопропорциональной зависимости от ионного радиуса катиона металла. Можно предположить, что в этих структурах катионы входят в состав анионных слоёв, при этом авторы предполагают некоторые различия в способе упаковки слоёв в моно- и дикарбонатах.

Структура соединения $K_3AnO_2(CO_3)_2$ имеет объёмоцентрированный мотив, вероятная пространственная группа — Im2m. Структура состоит из слоёв $[M_{1/2}(AnO_2)_{1/2}CO_3]$. Их можно получить путём упорядоченного замещения половины ионов AnO_2^+ на катионы щелочных металлов. Параллельно оси c образуются бесконечные цепочки атомов —O-An-O-M-O-An-O-. В плоскости ab цепочка — $O(CO_3)$ -An- $O(CO_3)$ -M- $O(CO_3)$ -, где расстояние $An-O(CO_3)$ -М соответствует параметру a.

Переход от ромбической сингонии к гексагонльной является переходом от упорядоченной к разупорядоченной структуре, что наблюдалось в $K_3NpO_2(CO_3)_2$ при 450 °C при переходе из модификации В в модификацию А [95,97]. При этом могут образовываться соединения, степень порядка у которых имеет промежуточное значение между этими двумя структурами. Это обстоятельство является одной из причин непрерывного изменения характера дифракционной картины для различных образцов дикарбонатных соединений.

Структуру $M_4AnO_2(CO_3)_{2,5}$ можно получить из структуры $M_3AnO_2(CO_3)_2$ путём дальнейшего замещения атомов актинидных элементов на атомы щелочных металлов в анионных слоях до соотношения AnO_2^+/M^+ в анионном слое 2/3. Тогда анионный слой будет иметь состав $[M_{1/3}(AnO_2)_{2/3}CO_3]$. Также возможны соединения с промежуточным составом $M_{3+2x}AnO_2(CO_3)_{2+x}$, где $0 \le x \le 0,5$.

При переходе из слоя $[M_{1/2}(AnO_2)_{1/2}CO_3]$ в слой $[M_{1/3}(AnO_2)_{2/3}CO_3]$ должен сохраняться общий мотив структуры, а трансляционная решётка слоя должна претерпевать изменение в сторону повышения её симметрии от ромбической к гексагональной вследствие относительного избытка катионов щелочных металлов в анионном слое. При этом модификация В переходит в модификацию А. Образование типа А может быть обусловлено разупорядоченным размещением AnO_2^+ и M^+ в анионных слоях при соотношении 1:1 или уменьшением соотношения AnO_2^+/M^+ в анионных слоях.

В итоге дифракционную картину типа В образуют соединения $M_3AnO_2(CO_3)_2$ с упорядоченным расположением, а типа A – соединения состава $M_4AnO_2(CO_3)_{2,5}$ или соединения $M_3AnO_2(CO_3)_2$ с разупорядоченным расположением катионов.

Основываясь на полученных данных, авторы делают общий вывод описания карбонатных соединений. Основу структуры карбонатов составляют анионные слои состава [$M_x(AnO_2)_{1-x}CO_3$], где х может меняться в пределах от 0 до 1. Поэтому серию соединений $MAnO_2CO_3 - M_3AnO_2(CO_3)_2 - M_4AnO_2(CO_3)_{2,5} - M_2CO_3$ можно рассматривать как единый генетический ряд с последовательным замещением групп AnO_2^+ в анионном слое на ионы щелочных металлов. Отношение числа групп CO_3^{2-} к общему числу положительных ионов в анионном слое постоянно (Рисунок 10).

Слои смешанного состава можно рассматривать как двумерный твёрдый раствор [AnO_2CO_3] [MCO_3]. Параметр a псевдогексагональной решётки должен зависеть от размеров ионных радиусов, а также соотношения числа катионов металла и актинида в слое. Общий характер изменения параметра a подчиняется закону Вегарда для твёрдых растворов.

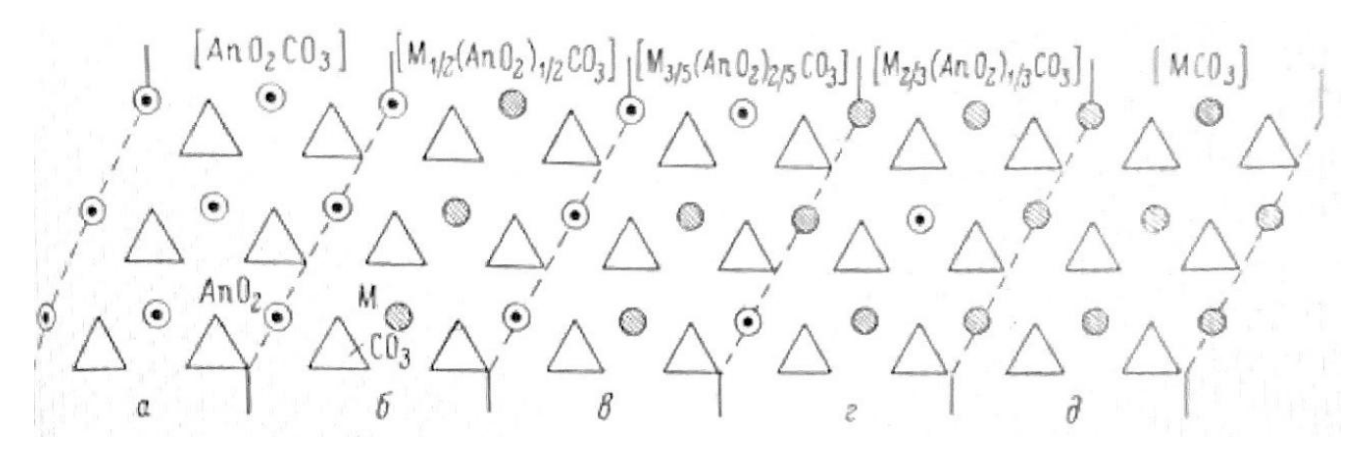


Рисунок 10 — Строение анионных слоёв в соединениях: $MAnO_2CO_3$ (a); $M_3AnO_2(CO_3)_2 \cdot nH_2O$ (б); $M_4AnO_2(CO_3)_{2,5} \cdot nH_2O$ (в); $M_5AnO_2(CO_3)_3$ (г); K_2CO_3 (д) [8]

Кроме того, в своих работах авторы сделали вывод о природе воды в карбонатах. В структуре соединений некоторая часть групп AnO_2^+ может быть замещена на катионы М⁺. Тогда вместо атомов кислорода линейной группы О-Ап-О могут внедряться молекулы воды и образовывать Н₂О-М-Н₂О. На присутствие катионов М в анионных слоях указывает тот факт, что параметр а решётки монокарбонатов не является постоянным и изменяется от образца к образцу. Разброс параметров а связан с непостоянством состава анионных слоёв. Поэтому монокарбонатные соединения должны записываться формулой $M[M_x(AnO_2)_{1-x}CO_3]$. Присутствие части воды между анионными слоями в монокарбонатах и части воды в дикарбонатах является следствием замещения ${\rm AnO_2}^+$ на ${\rm M}^+$ в самих слоях. Эта вода играет роль стабилизирующего фактора сохранения структурных типов моно и дикарбонатов при замещении анктинида на шелочной металл.

В работе Чарушниковой с соавторами [6] светло-голубые гексагональные пластинчатые кристаллы двойного карбоната $LiNpO_2CO_3\cdot 2H_2O$ были получены при нагревании двойного малоната $LiNpO_2C_3H_2O_4\cdot 2H_2O$ в запаянной ампуле под слоем смеси малоната лития и малоновой кислоты при $140^{\circ}C$. По результатам РФА удалось установить, что кристаллы имеют моноклинную структуру с параметрами $a=8,775(1),\ b=5,058(1),\ c=6,643(1)$, пространственная группа Cm. С

использованием другой программы для индицирования дифракционных пиков, структура была описана уже как тригональная с пространственной группой P3m1.

Структура карбоната состоит из нейтральных слоёв [LiNpO₂CO₃H₂O], расположенных перпендикулярно направлению 001, и кристаллических молекул воды. Нептуний скоординирован в гексагональной бипирамиде, окружён тремя CO_3^{2-} и тремя Li^+ . Каждый карбонатный анион координируется с тремя атомами нептуния бидентатно и монодентатно с тремя атомами лития. Две молекулы воды находятся в структуре: в координационной сфере лития и в пустотах возле слоя.

Соединение $NH_4NpO_2CO_3$ было синтезировано в работе Григорьева с соавторами [115] из комплексов молибдата Np(VI) в гидротермальных условиях. Раствор, содержащий 0,3 М молибдена (MoO_3 был растворён в 1М растворе карбоната гуанидия) и 10^{-3} М $NpO_2(CIO_4)_2$ был нагрет до $150^{\circ}C$ в запаянной стеклянной ампуле. После 200 часов образуется монокристалл в форме тонких гексагональных пластин с пространственной группой $P6_3/mmc$. В структуре соединения каждый катион NpO_2^+ окружён тремя ионами карбоната, в результате чего создаются слои $[NpOCO_3]_n^{n-}$, параллельные плоскости 001.

Кристаллы (NH₄)[NpO₂CO₃] также были получены в работе Неволина с соавторами [7] в ходе длительной гидротермальной обработки Np(VI) в водном растворе аммиака при 250 °C. Рентгеновская дифракция и рентгеновская что фотоэлектронная спектроскопия (РФЭС) показывают, получен был однофазный образец, содержащий только Np(V). Структурные особенности $(NH_4)[NpO_2CO_3]$ были выявлены помощью рентгеновской c дифракции монокристалла и подтверждены методом колебательной спектроскопии. Благодаря набору современных методов и получению монокристалла, авторам удалось установить точную структуру соединения и уточнить параметры решётки.

Синтезу и характеризации карбонатных соединений Np(V) посвящена также Витовой соавторов. работа Стабильные фазы $K[NpO_2CO_3](TB)$ $K_3[NpO_2(CO_3)_2](TB)$ были получены охарактеризованы И различными лабораторными И синхротронными методами [116]. Согласно базе термодинамических констант, для многих фаз в системе Np(V)-CO₃ получены константы устойчивости [117]. Например, в работе Нека и соавторов определены произведения растворимости $NaNpO_2CO_3$ и $Na_3NpO_2(CO_3)_2$ при различных ионных силах [9].

О соединениях двойных карбонатов пятивалентных актинидов с катионами щелочноземельных металлов известно намного меньше. Так, в работе Волкова с соавторами [90] говорится о ионообменных свойствах карбонатов Np(V), Pu(V) и Am(V). Обмен катионов происходит легко и полностью, превращение начинается непосредственно после контакта раствора с твёрдой фазой и в большинстве случаев его можно проследить по изменению цвета осадка. Авторы обращают особое внимание на возможность обмена одновалентных катионов на двухвалентные. Так, был проведён ряд экспериментов по исследованию реакции ионного обмена фазы NaNpO₂CO₃·nH₂O в растворах M^{II} Cl₂ и M^{II} (NO₃)₂ (где $M^{II} = Mg^{2+}$, Ca^{2+} , Ba^{2+} и Sr^{2+}) с образованием соединений состава M^{II} 0,5NpO₂CO₃·nH₂O. По мнению авторов, соединения с двухвалентными катионами образуют несколько гидратных форм и некоторые из них изоструктурны NaNpO₂CO₃·nH₂O. Однако, авторы не приводят подробностей синтеза, а также дифракционных картин и структур для результирующих твёрдых фаз.

В работе Балбони с соавторами [118] изучали соединение карбоната кальция с плутонием. Авторы выбрали барьерный синтез, при котором растворам дают возможность пассивно диффундировать в водный барьерный раствор, так что уровень насыщения целевым минералом достигается медленно. Установка для синтеза состоит из большого стакана объемом 200 мл, в котором находятся два маленьких флакона объемом 2 мл. В эти два флакона помещают по 1,5 мл насыщенных водных растворов $CaCl_2$ и $(NH_4)_2CO_3$. Оставшийся объем каждого стеклянного флакона объемом 2 мл осторожно заполняют подкисленным водным барьерным раствором при pH = 2, и оставляют флаконы открытыми в большом стакане. Затем в стакан объемом 200 мл осторожно добавляют водный барьерный раствор (\approx 150 мл), чтобы минимально повредить открытые флаконы, содержащие растворы $CaCl_2$ и $(NH_4)_2CO_3$. Затем большой стакан накрывают парафильмом для минимизации испарения. В этой экспериментальной установке растворы

постепенно диффундируют из флаконов объемом 2 мл в водный барьерный раствор, образуя многослойную водную систему, которая позволяет целевой фазе в конечном итоге кристаллизоваться. Включение Pu(VI) в кальцит изучали путем добавления исходного раствора Pu(VI) к подкисленному водному барьерному раствору (Рисунок 11).

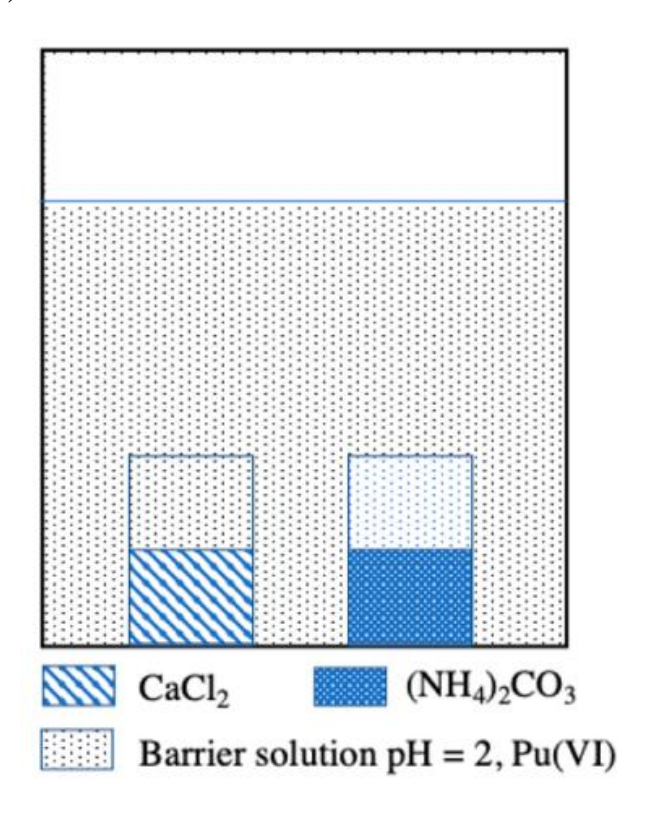


Рисунок 11 — Схема экперимента для синтеза кристаллов кальцита из водных растворов, содержащих Pu(VI). pH барьерного раствора в начальных условиях синтеза составляет \approx 2 и повышается до \approx 7-8 через 2 дня [118]

По результатам экспериментов авторы установили, что Pu(VI) восстанавливается до Pu(V) в процессе синтеза кальцита, при этом Pu находится в искаженном положении Ca в кальците или в местах дефектов в виде карбонатного комплекса Pu(V). Авторами было предложено несколько вариантов возможных структур соединения кальцита с Pu(V) на основании данных спектроскопии рентгеновского поглощения (XAS). Однако, точной структуры представленного соединения так и не было установлено.

1.4 Термодинамические расчёты

В лабораторных Получаемые результате экспериментов константы равновесия реакций определяются в присутствии раствора электролита. При этом не существует «стандартной» ионной среды или ионной силы, предпочтительной для экспериментально определенных констант равновесия. Исторически наиболее популярными средами были NaClO₄ и KNO₃ в высоких концентрациях, в настоящее время в качестве ионной среды также часто используется NaCl. термодинамических расчётов все экспериментально полученные термодинамические константы при различных ионных силах должны быть экстраполированы до нулевой ионной силы.

Растворы с высокой ионной силой являются неидеальными, и эта неидеальность учитывается введением коэффициента активности γ_i , связывающего концентрацию m_i иона i с его «термодинамической концентрацией» или активностью a_i : $a_i = m_i \cdot \gamma_i$. Существует несколько различных эмпирических методов оценки коэффициентов активности. Все эти модели основаны на физико-химических описаниях взаимодействий между растворенными ионами, а иногда и взаимодействий между ионами и растворителем. Тем не менее, до сих пор нет всеобъемлющей теории, позволяющей описывать любые ионные растворы. Пока такая теория недоступна, мы можем полагаться на модели, основанные на теории Дебая-Хюккеля.

Классический закон Дебая-Хюккеля учитывает только дальнодействующие электростатические взаимодействия между ионами противоположного заряда, которые рассматриваются как математические точечные заряды. Закон Дебая-Хюккеля имеет вид $lg\gamma_i = -A \cdot z_i^2 \cdot \sqrt{I_m}$, где A - это константа со значением 0,509 (кг/моль)^{1/2} при 298,15 К и 0,1 МПа, z_i - ионный заряд частиц i, и I_m ионная сила конкретного электролита ($I_m = \frac{1}{2} \sum m_i \cdot z_i^2$).

Диапазон действия закона зависит от электролита (как правило, до $I_m = 0.01$ моль/кг для 1:1 электролитов, и 0.001 для 3:1 электролитов). Были предприняты различные эмпирические попытки «расширить» область применения закона Дебая-Хюккеля.

Введение специфичного для иона «эффективного» диаметра гидратированного иона приводит к расширенному уравнению Дебая-Хюккеля $\lg \gamma_i = -A \cdot z_i^2 \cdot \sqrt{I_m} / (1 + B \cdot \mathring{A}_i \cdot \sqrt{I_m})$, где В - постоянная с значением $0.328 \cdot 10^{10} \, (\text{кг/моль})^{1/2} \cdot \text{м}^{-1}$ при 298,15К и 0,1МПа. Параметр \mathring{A}_i - параметр размера иона или эффективный диаметр иона і. Значения этого параметра для ряда ионов приведены в [119].

Расширенное уравнение Дебая-Хюккеля является точным только в разбавленных растворах, обычно с ионной силой около 0,03, поэтому было разработано несколько расширенных версий, которые используются для расчётов более концентрированных растворов. Они имеют вид: $\lg \gamma_i = -A \cdot z_i^2 \cdot \sqrt{I_m} / (1 + B \cdot \mathring{A}_i \cdot \sqrt{I_m}) + b_i \cdot I_m$, параметры в этом уравнении те же, что и в расширенном уравнении Дебая-Хюккеля, за исключением a_i и b_i . Значения a_i и b_i определяются для каждого иона путем подгонки уравнения к измеренным активностям чистых солевых растворов. Паркхурст использовал это уравнение для солевых растворов в своих работах [120].

Ещё одно уравнение, использованное Хегельсоном [121] и Валери с соавторами [122] своих в работах имеет вид $\lg \gamma_i = -A \cdot z_i^2 \cdot \frac{\sqrt{I_m}}{1+B \cdot \mathring{A}_i \cdot \sqrt{I_m}} + B dot \cdot I_m$. В этом уравнении \mathring{A}_i является параметром размера иона расширенного уравнения Дебая-Хюккеля, а Bdot является параметром температуры и составляет 0,041 при 25°C, 0,0435 при 50°C и 0,046 при 100° [121]. В программном обеспечении EQ3/6 используются значения \mathring{A}_i , установленные Килландом [123], а значения Bdot вычисляются как функция температуры.

Уравнение Дэвиса также широко используется для расчета коэффициентов активности. Это уравнение записывается как: $lg\gamma_i = -A \cdot z_i^2 \cdot \sqrt{I_m} / (1 + \sqrt{I_m}) + A \cdot z_i^2 \cdot C_D \cdot I_m$. Изначально Дэвис [124] предложил значение 0,2 для постоянной C_D , но позже изменил это значение на 0,3 после проверки дополнительных данных для разных электролитов, опубликованных со времени его первоначальной публикации [125]. Член $B \cdot \mathring{A}_i = 1$ предполагается постоянным. Единственный ионспецифический параметр в этом уравнении - это заряд иона, поэтому уравнение

часто используется для необычных ионов, для которых нет ни параметров размера ионов, ни $Å_i$, ни параметров a_i и b_i .

Член Дебая-Хюккеля, который является доминирующим в выражении для коэффициентов разбавленных активности В растворах, учитывает электростатические взаимодействия на больших расстояниях. При более высоких концентрациях раствора также необходимо учитывать неэлектростатические ближние взаимодействия. Обычно это делается путем добавления параметров в выражение Дебая-Хюккеля, как описано выше. Подход, распространяющийся на гораздо более высокие концентрации, - это теория специфического ионного взаимодействия (SIT) $\lg \gamma_i = -A \cdot z_i^2 \cdot \sqrt{I_m} / (1 + 1.5 \sqrt{I_m}) + \sum \epsilon(j,k) \cdot m_k,$ параметр В· $Å_i = 1.5 (кг/моль)^{1/2}$ предполагается постоянным, а $\epsilon(i, k)$ – коэффициент межионного взаимодействия в растворе, который описывает специфические ближние взаимодействия между ионами ј и k, суммируется взаимодействие всех ионов в растворе. В случае лабораторной системы с высокой концентрацией ионной среды (1:1 соль NX) уравнение SIT упрощается до $lg\gamma_M = -A\cdot z_M^2$ · $\sqrt{I_{m}} / (1 + 1.5 \sqrt{I_{m}}) + \epsilon(M, X) \cdot I_{m}$ для катиона M, а также для аниона Y с использованием коэффициента взаимодействия ε(Y, N). Подробное обсуждение уравнения SIT и его связи с подходом Питцера обсуждалось в [126]. Уравнение SIT используется для экстраполяции данных, полученных в лабораторных условиях до нулевой ионной силы. Требуемые коэффициенты $\epsilon(j,\,k)$ можно найти, например в [127], или получить из данных $\lg K$ при различной ионной силе, если это возможно.

Различные расширенные уравнения Дебая-Хюккеля, обсуждаемые выше, присваивают уникальный коэффициент активности данному иону при данной ионной силе независимо от раствора электролита. Например, γ_{HCO_3} - - одинаково в NaCl и KCl при одинаковой ионной силе. Чтобы учесть различия a_{HCO_3} - в NaCl и KCl при одинаковой ионной силе, была введена концепция ионного взаимодействия, где предполагается, что отклонения от идеальности обусловлены слабыми реакциями комплексообразования, например, Na⁺ + HCO₃- \rightleftarrows NaHCO₃(водн), которые описываются константами равновесия. В

отличие от моделей ионных ассоциаций, модели взаимодействия ионов, такие как SIT и подход Питцера, учитывают индивидуальные характеристики электролитов коэффициентами взаимодействия c различными $\varepsilon(i,$ k), т.е. $\varepsilon(HCO_3^-, Na^+) \neq \varepsilon(HCO_3^-, K^+)$, при этом слабый комплекс, такой как NaHCO₃(водн), не будет включен в расчёт при использовании концепции SIT. Как следствие, количество слабых комплексов, включаемых в термодинамическую базу данных, зависит от модели, используемой для расчета коэффициентов активности. Стоит отметить, что не существует однозначной процедуры для отделения слабых комплексов от сильных ионных взаимодействий. Не существует соглашения о том, где устанавливать границу между слабыми и сильными комплексами, которые были бы разными для SIT и подхода Питцера. Кроме того, слабые комплексы при комнатной температуре могут стать сильными комплексами при высоких температурах. Каждую модель стоит рассматривать индивидуально.

1.5 Выводы из литературного обзора

Несмотря на наличие работ по исследованию структур двойных карбонатов Np(V) и Pu(V), на сегодняшний день есть только две решённые и описанные с достаточной достоверностью структуры: $LiNpO_2CO_3 \cdot 2H_2O$ и $NH_4NpO_2CO_3$. В

Таблица 1 представлена краткая выжимка из литературного обзора с описанием известных на сегодняшний день структур двойных карбонатов пятивалентных актинидов. Как можно заметить, часто данные об этих соединениях разрознены и не согласованы. Многие работы были сделаны учёными в 50х годах прошлого столетия и требуют дополнительных исследований с использованием современных аналитических методов. К тому же, большинство работ посвящено исследованию соединений двойных карбонатов Np(V) и Pu(V) с катионами щелочных металлов, а для щёлочноземельных металлов есть лишь одна работа [90], описывающая методику синтеза этих соединений, однако в ней отсуствуют эксперементальные рентгенограммы.

Таблица 1 – Описанные в литературе структуры соединений двойных карбонатов пятивалентных актинидов

Структура	Описание	Ссылка	
NH ₄ PuO ₂ CO ₃	Положение атомов уточнялось из порошковой дифракции и химического анализа. Установлено,	[23]	
KPuO ₂ CO ₃	что соединения имеют пространственную группу $P6_3/mmc$.		
KAmO ₂ CO ₃	Авторы отмечают, что с изменением актинида ось <i>с</i> уменьшается вследствие актинидного сжатия (Np=O 1,98 Å и Am=O 1,92 Å). Установлено, что	[114]	
KNpO ₂ CO ₃	соединения имеют пространственную группу $P6_3/mmc$.	[]	
K ₃ NpO ₂ (CO ₃) ₂ ·xH ₂ O Модификация А			
K ₃ NpO ₂ (CO ₃) ₂ ·xH ₂ O Модификация В	Различие двух модификаций связано с понижением симметрии кристаллической решётки модификации В, отклонении отношения b/a от значения $\sqrt{3}$ и		
K ₃ AmO ₂ (CO ₃) ₂ ·xH ₂ O Модификация А	появлении рефлексов d(hkl), не подчиняющихся объёмноцентрированному мотиву. Установлено, что параметр с гексагональной решётки монокарбоната имеет непостоянное	[95–97]	
K ₃ AmO ₂ (CO ₃) ₂ ·xH ₂ O Модификация В	значение и изменяется в зависимости от многих факторов. Наблюдаемое изменение соответствует внедрению молекул воды между слоями [XO ₂ CO ₃] ⁻ .		
K₃PuO₂(CO₃)₂·хH₂О Модификация В			
Ca _{0,5} NpO ₂ CO ₃	Предложен метод синтеза твёрдой фазы ионным обменом из двойного карбоната Np(V) с одновалентными катионами	[90]	

Продолжение таблицы 1

Структура	Описание			
LiNpO ₂ CO ₃	Соединения изоструктурны друг другу, но неизоструктурны гексагональному KNpO ₂ CO ₃ . Это возможно вследствие различного наложения одинаковых по строению слоёв [XO ₂ CO ₃] ⁻ или вследствие различия их строения. В ряду монокарбонатов пятивалентного нептуния с Cs ⁺ ,			
NaNpO ₂ CO ₃	Rb ⁺ , NH ₄ ⁺ , K ⁺ , Na ⁺ , Li ⁺ на границе калий — натрий происходит морфотропное превращение структуры слоя [NpO ₂ CO ₃] ⁻ из гексагонального в ромбический, которые могут легко трансформироваться друг в друга вследствие сдвига цепочек атомов на половину трансляции вдоль оси <i>a</i> .	[91,94]		
Na _{0,6} NpO ₂ (CO ₃) _{0,8} ·2,5H ₂ O	Структура нестабильна. В интервале от 60°С до 390°С существует одна фаза переменного состава			
Na _{0,6} NpO ₂ (CO ₃) _{0,8} ·xH ₂ O (350°C)	Na _{0,6} NpO ₂ (CO ₃) _{0,8} ·nH ₂ O (0,7>n≥0). часть атомов нептуния не помещается в анионный слой и занимает часть позиций натрия в катионном слое в			
Na _{0,6} NpO ₂ (CO ₃) _{0,8} ·xH ₂ O (100°C)	виде иона NpO ₂ ⁺ . На основании структурных расчётов формулу соединения при 350°C можно записать в виде [Na _{0,75} (NpO ₂) _{0,25}] ⁺ ·[NpO ₂ CO ₃] ⁻			
Na ₄ NpO ₂ (CO ₃) _{2,5} ·xH ₂ O	Основу структуры карбонатов составляют анионные слои состава $[M_x(AnO_2)_{1-x}CO_3]$, где х может меняться в пределах от 0 до 1. Поэтому серию соединений $MAnO_2CO_3 - M_3AnO_2(CO_3)_2$ –			
Na ₄ NpO ₂ (CO ₃) _{2,5} ·xH ₂ O	$M_4AnO_2(CO_3)_{2,5}-M_2CO_3$ можно рассматривать как единый генетический ряд с последовательным замещением групп AnO_2^+ в анионном слое на ионы щелочных металлов. Отношение числа групп CO_3^{2-} к общему числу положительных ионов в анионном			
Na ₃ NpO ₂ (CO ₃) ₂ ·xH ₂ O	слое постоянно. Присутствие части воды между анионными слоями в монокарбонатах и части воды в дикарбонатах является следствием замещения AnO_2^+ на M^+ в	9]		
Rb ₃ NpO ₂ (CO ₃) ₂ ·xH ₂ O	самих слоях. Эта вода играет роль стабилизирующего фактора сохранения структурных типов моно и дикарбонатов при замещении анктинида на щелочной металл.			
LiNpO ₂ CO ₃ ·2H ₂ O	Монокристальный анализ. Структура решена.	[6]		
NH ₄ NpO ₂ CO ₃	Монокристальный анализ. Структура решена.	[7,115]		

В описании термодинамических констант для соединений двойных карбонатов пятивалентных актинидов присутствуют значительные пробелы. На сегодняшний день известно лишь несколько термодинамических констант для соединений нептуния с катионами щелочных металлов и отсутствуют знания о термодинамике двойных карбонатов Pu(V) (Таблица 2). Данная проблема может быть связана с экспериментальными сложностями при установлении термодинамических констант в системах с актинидами и карбонатами.

Таблица 2 – Литературные данные термодинамических констант растворимости соединений двойных карбонатов пятивалентных актинидов

Соединение	Константа растворимости ($\lg K^{\theta}_s$)	Ссылка
NaNpO ₂ CO ₃	$-11,00 \pm 0,07$	[9]
Na ₃ NpO ₂ (CO ₃) ₂	$-14,32 \pm 0,15$	[9]
KNpO ₂ CO ₃	$-10,3 \pm 2,0$	[61]
KNpO ₂ CO ₃	$-13,2 \pm 0,1$	[10]
K ₃ NpO ₂ (CO ₃) ₂	$-15,9 \pm 0,1$	[10]

Глава 2. Экспериментальная часть

2.1 Подготовка рабочих растворов Np и Pu

растворы Np-237 Pu-239 Используемые И непосредственно перед экспериментами переводились в требуемую степень окисления. Рабочий раствор Np представлял собой смесь Np(VI) и Np(V). Для получения Np(V) добавлялась аликвота 0,1 M NaNO₂. Степень окисления актинидов контролировалась при помощи спектрофотометрии в видимом и ближнем ИК диапазоне (UV-1900i, Shimadzu) (Рисунок 12). Рабочий раствор плутония был окислен до Pu(VI) дымящей HClO₄(конц) при температуре 200°С. Для получения раствора Pu(V), шестивалентная форма была медленно восстановлена при помощи разбавленного раствора H_2O_2 при рН 1-3 и постоянном контроле степеней окисления плутония в растворе при помощи спектрофотометрии.

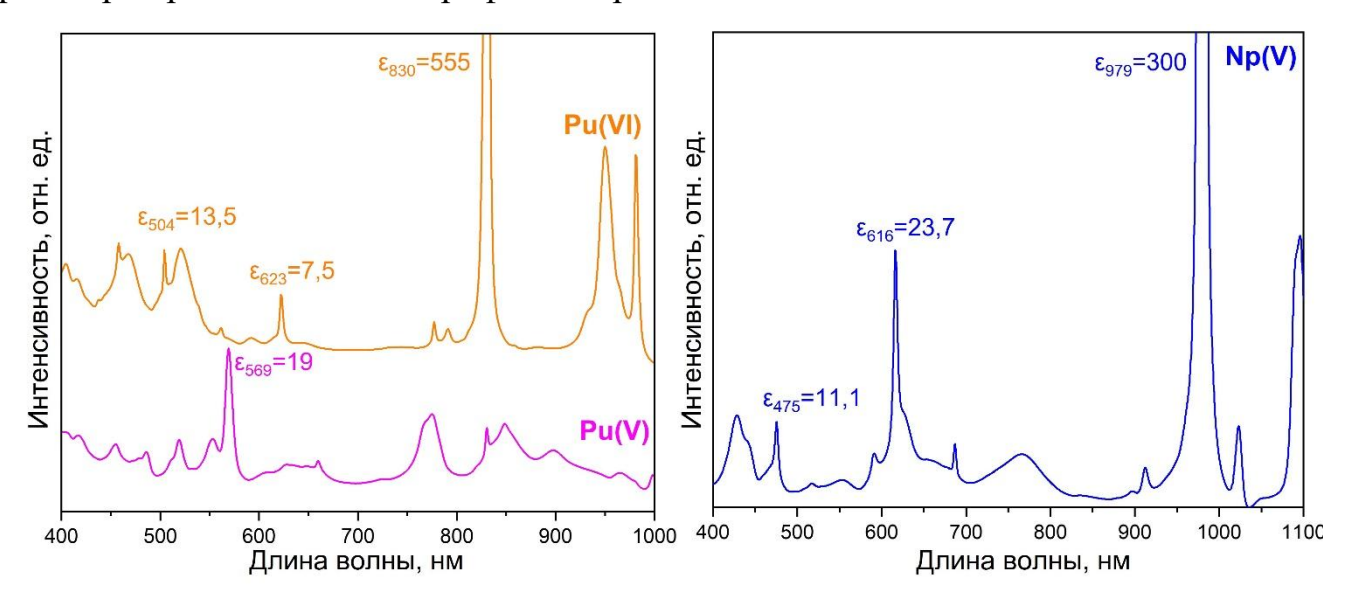


Рисунок 12 – Спектрофотометрия растворов Pu(VI), Pu(V) (a) и Np(V) (б) в видимом и ближнем ИК диапазоне с коэффициентами экстинкции (ε, л/моль·см²)

для основных полос поглощения в 1 M HClO₄

2.2 Синтез твёрдых карбонатов нептуния

Все эксперименты проводились на воздухе при комнатной температуре 22 ± 2 °C.

2.2.1 Осаждение двойных карбонатов Np(V) с катионами щелочных металлов Осаждение двойных карбонатов Np(V) с одновалентными катионами проводилось из растворов Np(V) различных концентраций при смешивании с растворами, содержащими карбонат-анион и различные концентрации катионов металлов (Таблица 3).

Таблица 3 — Условия синтезов двойных карбонатов Np(V) с катионами K^+ и Na^+

Образец	[Np], M	[K], M	[Na], M	[CO ₃ ²⁻], M	Основание	рН
CO ₃ /Np 137	$2,0\cdot 10^{-3}$	-	2,9·10 ⁻¹	2,8·10-1	NaOH	8,8
CO ₃ /Np 2	$4,5\cdot 10^{-3}$	$2,2\cdot 10^{-2}$	$6,8\cdot10^{-2}$	$8,9 \cdot 10^{-3}$	NaOH	7,4
CO ₃ /Np 5	$4,4\cdot 10^{-3}$	$2,2\cdot 10^{-2}$	$7,3\cdot 10^{-2}$	$2,2\cdot 10^{-2}$	NaOH	8,1
CO ₃ /Np 10	$4,4\cdot10^{-3}$	$2,2\cdot 10^{-2}$	$7,7 \cdot 10^{-2}$	$4,4\cdot 10^{-2}$	NaOH	7,3
Na-Np-CO ₃ голубой	7,6·10-3	3,7·10-2	1,1·10 ⁻¹	3,1·10 ⁻²	NaOH	9,1
Na-Np-CO ₃ зелёный	$2,1\cdot 10^{-2}$	1,0.10-2	3,3·10 ⁻¹	2,4·10 ⁻²	NaOH	7,7
CO ₃ /Np 10 + NH ₄	Ионный обмен CO ₃ /Np 10 в среде 0,1 M NH ₄ Cl					

Образец CO_3/Np 137 был получен из исходного раствора Np(V) путем химического осаждения в значительном избытке $NaHCO_3$ с использованием NaOH в качестве осадителя и для доведения до необходимого значения pH. Синтез образцов CO_3/Np 2, CO_3/Np 5 и CO_3/Np 10 также проводили в избытке $NaHCO_3$ в 2, 5 и 10 раз соответственно, при этом раствор гидроксида содержал конкурирующие катионы калия и натрия. Образцы $Na-Np-CO_3$ голубой и зелёный были синтезированы путём осаждения из концентрированного раствора малого объёма Np(V) с добавлением $NaHCO_3$ и использованием NaOH в качестве осадителя и для доведения значений pH. Образец NH_4/Np получали путём осаждения из раствора Np(V) с использованием аммиака $(NH_3\cdot H_2O)$ в качестве осадителя и для установления pH = 8,7. Образец CO_3/Np 10 PNH_4 был получен методом ионного обмена. Синтезированную и промытую фазу PNH_4 0 помещали в среду PNH_4 1 помещали в среду PNH_4 2 помещали в среду PNH_4 3 помещали в среду PNH_4 4 был получен методом ионного обмена. Синтезированную и промытую фазу PNH_4 4 был помещали в среду PNH_4 5 помещали в среду PNH_4 6 помещали в среду $PPNH_4$ 6 помещали в среду PNH_4 6 помещали в среду

Все образцы выдерживались в маточном растворе в течение 1-2 дней в статичном состоянии, без постоянного перемешивания. Во всех синтезах сразу

после смешивания растворов наблюдалось образование осадка белого цвета. Степень осаждения нептуния из растворов контролировалась при помощи измерения активности методом ЖСС и вычислялась по следующей формуле:

Осаждение, % = $(A_0$ - $A_x)/A_0$ ·100%, где A_0 – исходная концентрация актинида в растворе и A_x – концентрация актинида в данный момент времени

Процент осаждения нептуния во всех синтезах был ≥80% и не изменялся в зависимости от времени выдерживания твёрдой фазы в маточном растворе. Результирующие твёрдые фазы промывались 2-3 раза водой для подготовки к дальнейшей характеризации и экспериментам.

2.2.2 Синтез двойных карбонатов Np(V) с катионами щёлочноземельных металлов

Двойные карбонаты Np(V) с катионами Ca^{2+} были синтезированы методами химического осаждения 10^{-4} М Np(V) из раствора 0.05 М $CaCl_2$, осаждением из модельной природной воды, имитирующей пресную воду ($Np/M\PiB_Ca$, Таблица 4) и методом ионного обмена твёрдой фазы $NaNpO_2CO_3$ в среде 0.1 М $CaCl_2$. Двойные карбонаты Np(V) с Mg^{2+} были получены осаждением из модельной природной воды ($Np/M\PiB_Mg$, Таблица 4) и методом ионного обмена твёрдой фазы $NaNpO_2CO_3$ в среде 0.1 М $MgCl_2$. Помимо исследования образования двойных карбонатов Np(V) с щёлочноземельными металлами, был проведён синтез по осаждению с двухвалентным металлом марганца Mn(II). Образование твёрдой фазы двойного карбоната состава Mn(II)-Np(V)- CO_3 проходило путём осаждения из раствора имитанта пресной жёсткой воды с добавлением Mn(II) в систему ($Np/M\PiB_Mn$, Таблица 4).

Проводились эксперименты по исследованию поведения Np(V) в растворах 0,1 M и 0,01 M CaCl₂ при варьировании значений pH в диапазоне от 6 до 12. Значения pH в растворах устанавливались путём добавления необходимого количества 0,1 M и 0,01 M раствора Ca(OH)₂ к растворам 0,1 M и 0,01 M CaCl₂ соответственно. К готовым растворам кальция были добавлены аликвоты Np(V) до достижения концентрации общей нептуния в каждом растворе 10⁻⁴ M. Образование

различных физико-химических форм нептуния в растворе контролировалось в течение эксперимента методом спектрофотометрии в видимом и ближнем ИК диапазоне (UV-1900i, Shimadzu).

При осаждении Np(V) из раствора в ходе синтеза проводился мониторинг значений рН и Еh раствора. Окислительно-восстановительный потенциал (E, мВ) образцов измерялся при помощи комбинированного платинового электрода и хлорсеребряного электрода сравнения (InLab Semi-Micro, Mettler Toledo) и преобразовывался в значение Eh (+207 мВ) с учётом корректировки на потенциал внутреннего электрода сравнения Ag/AgCl в 3 М КСl при T = +22 °C. Измерения каждого образца проводились по 15 минут. Измерения значений рН проводились при помощи комбинированного стеклянного электрода (InLab Redox-Micro, Mettler Toledo), предварительно откалиброванного при помощи стандартных рН буферов. Для контроля содержания Np в растворе в течение всего эксперимента отбиралась аликвота раствора, центрифугировалась для отделения маточного раствора от осадка при 30'000 g (Allegra 64R Centrifuge, Beckman Coulter) в течение 15 минут, а затем надосадочная жидкость измерялась методом ЖСС (Tri-Carb 2810 TR, PerkinElmer; Quantulus GCT 6220, Perkin Elmer).

При синтезе методом ионного обмена, предварительно отделённая и очищенная от маточного раствора твёрдая фаза $NaNpO_2CO_3$ или $KNpO_2CO_3$ помещалась в раствор 0,1 M $CaCl_2$ или $MgCl_2$, тщательно перемешивалась и оставлялась на 3-7 дней. В процессе синтеза надосадочный раствор несколько раз отделялся и заменялся на новый.

Для исследования возможного поведения Np(V) в подземных водах были синтезированы растворы имитанты природных вод [128] с варьированием концентраций катионов Ca^{2+} и Mg^{2+} в растворе (Таблица 4). К модельным растворам добавлялось необходимое количество Np(V), после чего значение pH раствора доводилось при помощи NH_4OH . В процессе осаждения твёрдой фазы из раствора контролировалась концентрация нептуния, а также значения pH и Eh раствора.

Таблица 4 – Составы модельных растворов природных вод и параметры синтезов осаждения двойных карбонатов Np(V) с двухвалентными металлами

Название	Состав	C, M	рН	[Nр] исх, М
Np/MΠB_Mn	NaHCO ₃	$4,6\cdot10^{-3}$		2,5·10 ⁻³
	CaSO4	$1,4\cdot 10^{-3}$	8,4	
	$MnSO_4 \cdot 5H_2O$	$1,7 \cdot 10^{-3}$	0,4	
	KC1	$2,2\cdot 10^{-4}$		
Np/МПВ_Са	NaHCO ₃	$2,6\cdot10^{-3}$	Q 1	3,9·10 ⁻⁴
	CaSO ₄	$6,0\cdot 10^{-3}$		
	$MgSO_4 \cdot 5H_2O$	9,3·10 ⁻⁴	8,1	
	KC1	$2,2\cdot 10^{-4}$		
Np/МПВ_Мg	NaHCO ₃	$4,6\cdot10^{-3}$		3,9·10-4
	CaSO ₄	$1,4\cdot 10^{-3}$	o 2	
	MgSO ₄ ·5H ₂ O	$2,0\cdot 10^{-3}$	8,2	
	KC1	$5,0\cdot 10^{-3}$		

2.3 Синтез твёрдых фаз карбонатов плутония

2.3.1 Исследование поведения Pu(VI) в водных растворах

Исследование образования твёрдых фаз плутония из шестивалентной формы проходило в диапазоне pH от 2 до 12 на воздухе.

В предварительно подготовленные растворы с рН от 2 до 12, значения которых устанавливались при помощи NaOH и HClO₄, добавлялся раствор Pu(VI) до концентрации в итоговом растворе 10⁻⁴ М. В процессе эксперимента, контролировалась концентрация плутония в растворе с использованием ЖСС, значения рН и Еh раствора, физико-химическая форма плутония в растворе при помощи спектрофотометрии в видимом и ближнем ИК диапазоне, а также степень окисления плутония с применением метода жидкость-жидкостной экстракции с Д2ЭГФК ((Ди(2-этилгексил)фосфорная кислота) [129].

Для экстракции в равных объёмах смешивались 0,5 М Д2ЭГФК и аликвота раствора плутония при рН = 0, где значение рН устанавливалось путём добавления 1 М НС1. Раствор тщательно перемешивался в течение двух минут для оптимального распределения плутония, затем фазы разделялись центрифугированием на протяжении 30 секунд при относительном центробежном ускорении 200 g. Активность как органической, так и водной фаз измерялась

отдельно с использованием ЖСС. На основе известных данных для экстракции с $Д2Э\Gamma\Phi K$ [129] известно, что в органическую фазу переходят Pu(IV) и Pu(VI), в то время как в водной фазе остаются Pu(V) и Pu(III).

Процесс осаждения плутония из раствора контролировался от 30 дней, до нескольких лет, в зависимости от скорости количественного осаждения плутония из раствора. В некоторых экспериментах наблюдения за раствором всё ещё продолжаются. В первые дни во всех экспериментах наблюдение за раствором происходило раз в 1-2 дня, а затем количество отборов раствора для исследований выбиралось в зависимости от скорости осаждения плутония. Так, например, если в первые 5-10 дней процент осаждения плутония из раствора возрастал больше, чем на 2-3%, дальнейшие исследования также проводились с периодичностью в 1-3 дня. При долгом отсутствии динамики в процессах осаждения, частота измерений раствора сокращалась вплоть до 1 раза в 6 месяцев.

Были проведены эксперименты при более высоких концентрациях $(1,6\cdot10^{-3}-4\cdot10^{-3}\,\mathrm{M})\,\mathrm{Pu}(\mathrm{VI})$ при различных температурах. Исходный раствор $\mathrm{Pu}(\mathrm{VI})$ доводился до значения $\mathrm{pH}=8-10\,\mathrm{c}$ использованием NaOH, а затем помещался в печь при температуре 50 °C, 75 °C или 210 °C. Несколько экспериментов было проведено с добавлением NaClO для поддержания окислительных значений Eh раствора. Подробно параметры синтезов описаны ниже в Таблица 5. В процессе осаждения из раствора проходил постоянный контроль [Pu] методом ЖСС, мониторинг значений pH и Eh раствора, а также физико-химических форм плутония в растворе с использованием спектрофотометрии.

Таблица 5 – Параметры экспериментов исследования поведения Pu(VI) при повышенных температурах

Название образца	[Pu], M	рН	Температура, °С	[NaClO], M
Pu(VI), pH=8, 50°C	1,6·10-3	7,7	50	_
Pu(VI), pH=8 50°C NaClO	1,6·10-3	7,9	50	2·10-3
Pu(VI), pH=10 50°C	1,6·10-3	10,0	50	_
Pu(VI), pH=10 50°C NaClO	1,6·10-3	10,4	50	2.10-3
Pu(VI), pH=10 75°C	1,8·10-3	9,8	75	_
Pu(VI), pH=10 75°C_2	3,9·10 ⁻³	9,1	75	_
Pu(VI), pH=10 75°C NaClO	3,9·10 ⁻³	9,3	75	2·10-3

Во всех синтезах результирующие твёрдые фазы промывались водой 1-2 раза для проведения дальнейшей характеризации.

2.3.2 Осаждение двойных карбонатов Pu(V) с катионами щелочных металлов из растворов Pu(VI)

Двойные карбонаты Pu(V) с катионами щелочных металлов были получены методом химического осаждения из раствора ~ 10^{-4} M Pu(VI) при постоянном pH. Для поддержания постоянного значения pH были использованы три метода:

- 1) постоянный контроль и доведение до значения pH = 8 10 путём добавления NaOH;
- 2) установление значение pH \approx 7, 8 или 9 и его фиксирование при помощи буфера TRIS (2-амино-2-(гидроксиметил)-пропан-1,3-диол);
 - 3) с использованием карбонатного буфера $Na_2CO_3/NaHCO_3$ при pH=8.

Во всех экспериментах проводился постоянный контроль содержания Ри в растворе методом ЖСС, значений рН и Еh раствора, физико-химических форм плутония при помощи спектрофотометрии и степени окисления Ри методом жидкость-жидкостной экстракции.

2.3.4 Синтез твёрдых фаз плутония из растворов Pu(V) и методом ионного обмена

В работе были предприняты попытки синтеза твёрдых фаз двойных карбонатов Pu(V) с щелочными катионами Na^+ и K^+ .

Синтез твёрдой фазы двойного карбоната Pu(V) с натрием проводили двумя осаждение раствора Pu(V)И методом ионного обмена. методами: ИЗ Свежеприготовленный Pu(V) ($[Pu(V)] \sim 0.01$ М) осаждали с использованием Na₂CO₃ при рН от 5 до 8. В некоторых синтезах применялись NaBrO₃ или NaClO в качестве окислителей ДЛЯ поддержания высокого окислительновосстановительного потенциала и стабилизации Pu(V). Соотношение Pu к Na₂CO₃ в растворе изменялось от 0,09 до 5, при этом наименьшее отношение Pu/Na₂CO₃ высокому рН. Концентрация соответствовало более окислителя варьировалась в диапазоне от $1.6 \cdot 10^{-3}$ M до $2.2 \cdot 10^{-2}$ M. В синтезе методом ионного обмена свежеприготовленная фаза KPuO₂CO₃, полученная методом осаждения из раствора Pu(VI) при постоянном pH = 8, тщательно промывалась и помещалась на 3 дня в 0,1 M раствор NaCl.

Синтез твёрдой фазы двойного карбоната Pu(V) с калием проводился путём осаждения из раствора $6.7\cdot10^{-3}$ M Pu(V) с помощью 0.029 M K_2CO_3 при pH=7.

2.4 Характеризация твёрдых фаз

2.4.1 Определение фазового состава и морфологии образцов

Определение фазового состава, а также морфологии и размеров результирующих твёрдых фаз проводилось набором методов: рентгенофазовый анализ (РФА), просвечивающая электронная микроскопия с высоким разрешением (ПЭМВР) и растровая электронная микроскопия (РЭМ).

Данные синхротронной рентгеновской дифракции твёрдых фаз были получены на станции Белок/РСА [130] Курчатовского источника синхротронного излучения с использованием детектора Rayonix SX165. Исследуемые образцы предварительно помещались и запаивались в кварцевых капиллярах.

Дифракционные картины были получены с использованием монохроматического излучения ($\lambda = 0.745 \text{ Å}$), сфокусированного на образце до размера 400 мкм.

Исследования ПЭМВР проводились с коррекцией аберраций на микроскопе JEM-2100F, на ускоряющем напряжении 200 кВ. Исследуемые образцы предварительно выкапывались на медные сетки и были высушены на воздухе.

Исследования РЭМ проводились на приборе Jeol JSM IT-500 с вольфрамовым термоионным катодом, оснащенного энергодисперсионным спектрометром Oxford X-Max-n. Образцы, предварительно нанесенные на кремниевую подложку, покрывали проводящими углеродными пленками толщиной 20–25 нм в вакуумном испарителе. Электронные изображения во вторичных и обратно рассеянных электронах (SE и BSE соответственно) и аналитические измерения проводили при ускоряющем напряжении 20 кВ. Для энергодисперсионного рентгеновского анализа (ЭДС) на микроскопе Jeol JSM IT-500 ток электронного зонда устанавливался на уровне 0,7 нА, а время экспозиции составляло 60 с.

Спектры комбинационного рассеяния были получены на рамановском спектрометре Renishaw inVia Reflex при длине возбуждающего излуения 633 нм (He-Ne лазер). Лазерный свет фокусировался на образце через объектив с 50-кратным увеличением до размера пятна ~2 мкм. Мощность на образце составляла <1 мВт.

Измерения термогравиметрии и дифференциальной сканирующей калориметрии (ТГ/ДСК) проводились с использованием термоаналитического комплекса Netzsch STA Jupiter 449 F3. Нагрев происходил со скоростью 5°С/мин в диапазоне температур 40°С -1000°С. Для проведения измерений использовались Pt - Rh тигли, а атмосфера представляла собой смесь N_2 –20% об. O_2 с чистотой ω ($N_2 + O_2$) = 99,999%.

Спектроскопия рентгеновского поглощения (XAFS) на краях плутония, нептуния и марганца проводились на станции структурного материаловедения Курчатовского источника синхротронного излучения [131]. Измерение XAFS-спектров Pu и Np L_3 -края проводилось с использованием монохроматизированного Si(220) рентгеновского пучка, который обеспечивал энергетическое разрешение

 $\Delta E/E \approx 2 \times 10^{-4}$. Калибровка по энергии проводилась с использованием спектров XAFS стандартов Zr и Np(V) обработка спектро проводилась в програмном пакете IFEFFIT [132].

2.4.2 Определение областей когерентного рассеяния

Размеры областей когерентного рассеяния исследованных образцов определялись при помощи рентгенографического метода. Величины общих уширений дифракционных максимумов (β') определялись при помощи математического описания рентгеновских максимумов (111), (200), (220), (311), (222), (400), (331), (420), (422), (333), (531), (600) псевдо-функцией Фойгта в программе Origin 2018, после чего величину физического уширения рассчитывали по формуле:

$$\beta = \beta' - s$$
,

где s – инструментальное уширение, вычисленное на основе стандарта LaB₆ по формуле Кальотти [133]. Далее расчёт размеров областей когерентного рассеяния проводили по формуле Шеррера:

$$D_{hkl} = \frac{K\lambda}{\beta_{hkl}(2\theta)\cos(\theta)}$$

где К — фактор формы частиц (принимался равным 1 для сферических частиц), λ — длина волны рентгеновского излучения, β — физическое уширение дифракционного максимума (в единицах радиан), θ — положение дифракционного пика. Относительная погрешность определения размеров ОКР по методу Шеррера составляет 5 — 10%.

2.5 Исследование растворимости твёрдых фаз

2.5.1 Проведение экспериментов по исследованию растворимости

В работе проводилось исследование растворимости двойного карбоната $Mg_{0,5}NpO_2CO_3$, полученного методом ионного обмена $NaNpO_2CO_3$ в растворе 0,1 M $MgCl_2$, а также $KNpO_2CO_3$, полученного методом прямого химического осаждения из раствора. Эксперименты проводились в режиме недонасыщения при

температуре 22 ± 2 °C. Твёрдая фаза $Mg_{0.5}NpO_2CO_3$ помещалась в флаконы, содержащие раствор 0,01 М или 0,05 М NaClO₄ с различными значениями рН в диапазоне от 7 до 10 для. Значения рН устанавливались при помощи добавления 0,01 М NaOH или HClO₄. Предварительно все растворы насыщались углекислым газом путём барботирования воздуха в течение трёх часов. Концентрация растворённого CO_2 была определена при помощи анализатора растворённого неорганического углерода TOC-L (Shimadzu, Япония). Для исследования растворимости двойного карбоната Np(V) с калием, твёрдая фаза $KNpO_2CO_3$ помещалась в растворы 0,01 М $KHCO_3/K_2CO_3$. Соотношение гидрокарбоната к карбонату определяли значение рН в диапазоне от 9 до 10.

В течение всего эксперимента по растворению Mg_{0,5}NpO₂CO₃ и KNpO₂CO₃ контролировались концентрации Np (при помощи метода ЖСС), концентрации Mg или K (методом масс-спектрометрии с индукционно связанной плазмой (ИСП-МС) на приборе Plasma Quant MS Elite, Analytik Jena), а также значения pH и Eh растворов. Образование различных физико-химических форм нептуния в растворе контролировалось при помощи спектрофотометрии в видимом и ближнем ИК диапазоне. Для определения концентраций Np и Mg (или K) в растворе твердая фаза отделалась от раствора путем центрифугирования (30'000g, 15 минут).

2.5.2 Расчёт константы растворимости

Для моделирования полученных данных по растворимости был использован програмный код PHREEQC [134], который работает на основании закона действующих масс с учётом возможных физико-химических форм компонентов в расторе. Для оптимизации полученных констант использовался програмный код MOUSE [135]. Известные константы, использованные при моделировании, были взяты из термодинамической базы данных [136].

Для построения диаграмм Пурбе с учётом полученных и существующих термодинамических баз данных в работе было использовано программное обеспечение Hydra/Medusa.

Глава 3. Результаты и их обсуждение

3.1 Двойные карбонаты Np(V) с одновалентными катионами

На рисунке 13а, б представлены дифрактограммы твёрдых фаз, полученных в результате осаждения из растворов Np(V) с катионами щелочных металлов при варьировании параметров синтеза (Таблица 3). Положения дифракционных максимумов образца CO₃/Np 137, полученного из исходного раствора Np(V) путем химического осаждения в значительном избытке NaHCO₃, частично согласуются с дифракционными пиками твёрдой фазы NaNpO2CO3·хН2O, описанной ранее Волковым с соавторами [98] (Рисунок 13а). Образцы СО₃/Nр 2, СО₃/Nр 5 и СО₃/Nр 10 были синтезированы путём осаждения Np(V) из растворов, содержащих конкурирующие катионы калия и натрия в различном соотношении (Таблица 3) и имеют различные дифракционные картины. По результатам рентгенофазового анализа удалось установить, что образец СО₃/Np 10 является однофазным. Положение основных дифракционных максимумов образца СО₃/Np 10 близко к фазе КNpO₂CO₃ гексагональной сингонии [114]. Согласно данным РД, образцы СО₃/Np 2 и СО₃/Np 5 представляют собой смесь фаз СО₃/Np 10 и СО₃/Np 137 в различном соотношении (Рисунок 13б). Исходя из данных дифракции, фазовый состав образца CO₃/Np 5 - 75 % NaNpO₂CO₃·xH₂O и 25 % KNpO₂CO₃; образца CO₃/Np 2 – 43% NaNpO₂CO₃·хH₂O и 57% KNpO₂CO₃.

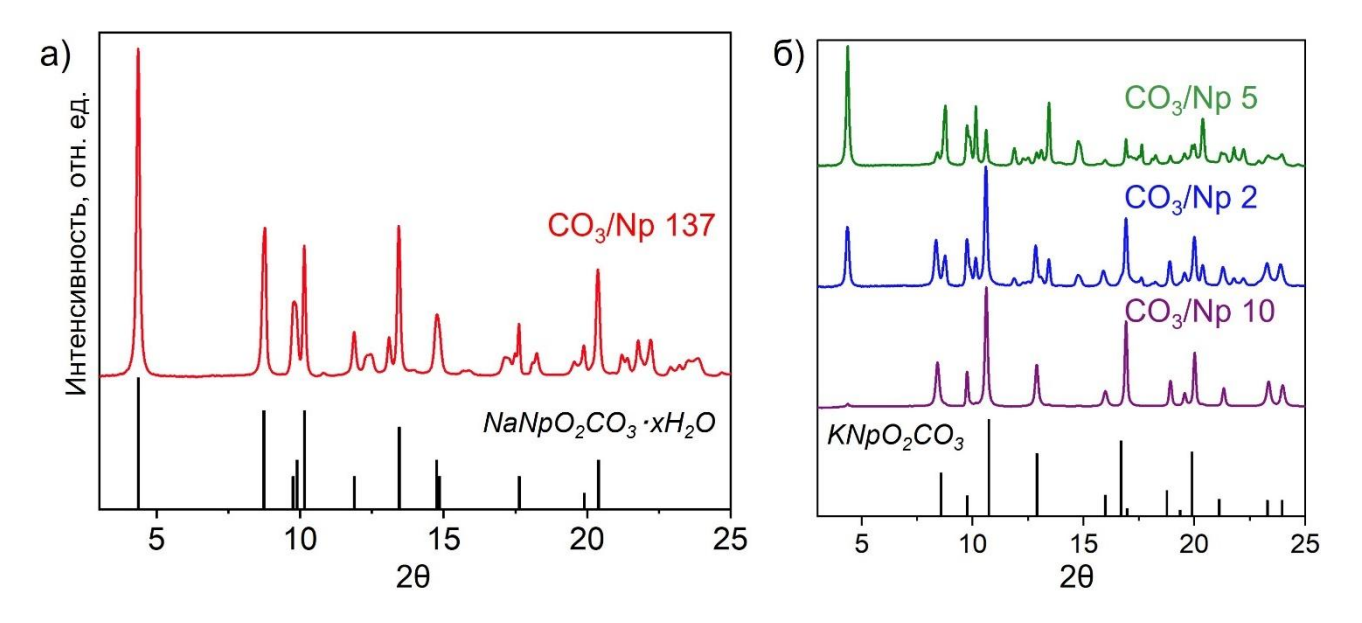


Рисунок 13 — Данные РД (λ =0,75Å) образцов, полученных из раствора Np(V) в присутствии катионов натрия и калия. Столбиками отмечены основные дифракционные отражения фаз NaNpO₂CO₃·xH₂O [98] и KNpO₂CO₃ [114]

В образцах, синтезированных при более высоких стартовых концентрациях Np (более 7·10⁻³ M) «Na-Np-CO₃ голубой» и «Na-Np-CO₃ зелёный» при соотношении [CO₃]/[Np] 4 и 1, соответственно, наблюдалось образование цветных осадков, голубого и зелёного, соответственно. На Рисунок 14 представлены их дифрактограммы. Как видно, образцы не однофазные и представляют собой смесь двойных карбонатов нептуния с калием и натрием, однако остаются также неидентифицированные пики (отмечены красными звёздочками, Рисунок 14). На дифрактограмме образца «Na-Np-CO₃ зелёный» присутствуют уширенные дифракционные максимумы, которые объясняются наличием в осадке аморфного окси-гидроксида Np(V), который и окрашивает осадок в зелёный цвет [137]. Это свидетельствует о том, что при синтезе смешанных карбонатов важно не только соотношение концентраций карбонат аниона и нептуния, но и общая концентрация радионуклида.

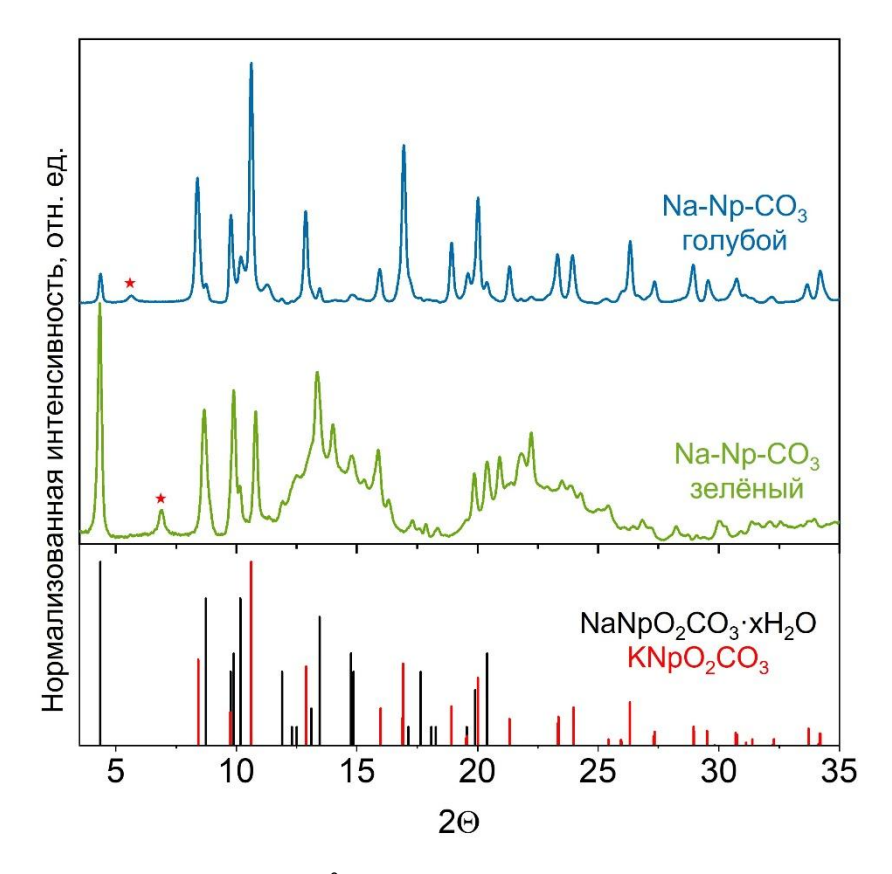


Рисунок 14 – Данные РД (λ=0,75Å) образцов Na-Np-CO₃ голубой и зелёный, полученных из раствора Np(V) в присутствии катионов натрия и калия при повышенной концентрации нептуния в растворе.

Линиями отмечены основные дифракционные отражения фаз $NaNpO_2CO_3 \cdot xH_2O$ [98] и $KNpO_2CO_3$ [114]

Синтез твёрдой фазы двойного карбоната Np(V) с аммонием проводился методом ионного обмена фазы CO_3/Np 10 ($KNpO_2CO_3$) в растворе NH_4Cl . По данным PД (рисунок 15) происходит только частичное замещение катионов $K^+ \rightarrow NH_4^+$. Несмотря на структурную схожесть двойного карбоната Np(V) с калием и аммонием, положения некоторых пиков у них отличается. В данном эксперименте результирующая твёрдая фаза представляет собой смесь этих двух соединений, о чём свидетельствует удвоение некоторых пиков (Рисунок 15). Трудность проведения полного катионного обмена в данной системе может указывать на низкую термодинамическую стабильность аммиачной фазы карбоната Np относительно калиевого аналога. В имеющихся базах данных термодинамических констант отсутствует информация о произведении

растворимости для данной фазы, при этом в литературе отмечается ее высокая растворимость [138], что, по-видимому, и стало причиной сложности полного протекания реакции ионного обмена.

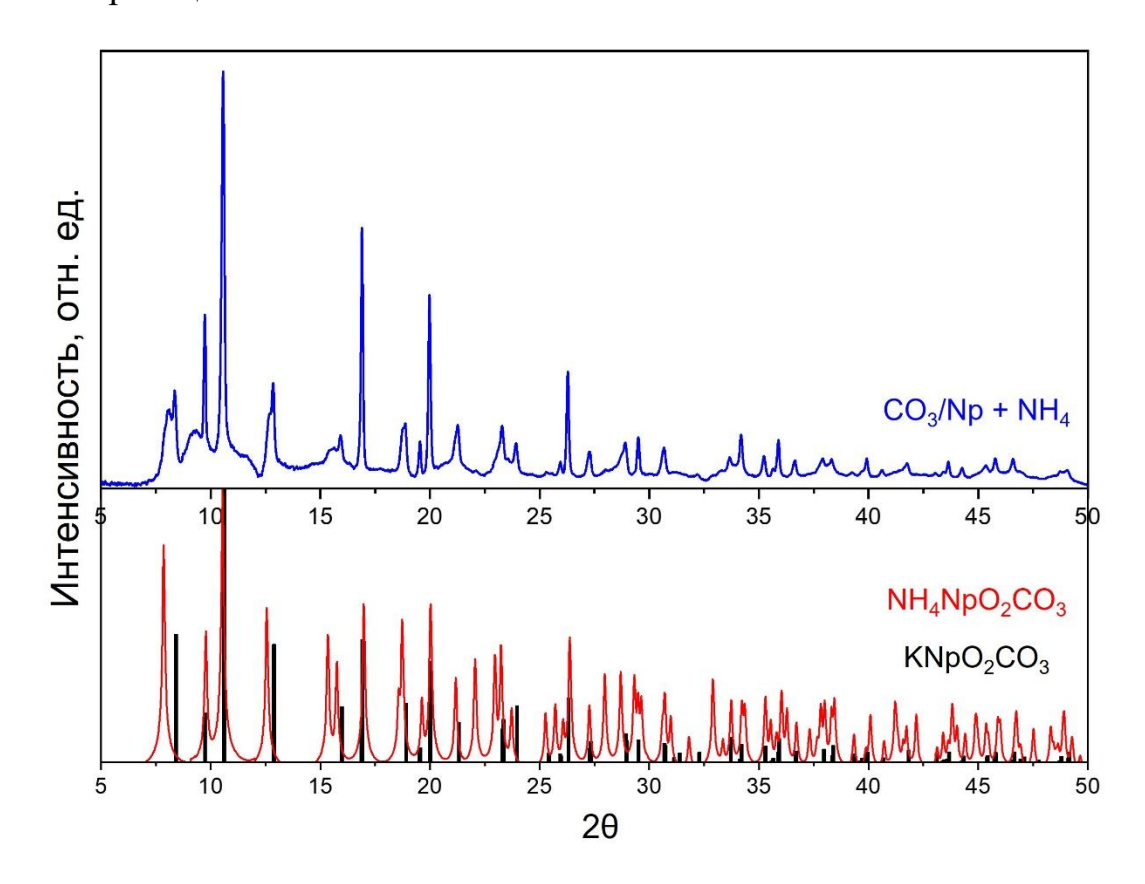


Рисунок 15 – Дифрактограмма образца CO₃/Np 10 + NH₄ в сравнении с NH₄NpO₂CO₃ [7] и KNpO₂CO₃ [114]

По данным XANES спектроскопии, в синтезированных образцах нептуний находится в пятивалентном состоянии (Рисунок 16). Для всех соединений положение белой линии, то есть края поглощения рентгеновского излучения, находится на энергии 17615 эВ, как и для стандарта пятивалентного нептуния. К тому же все спектры имеют форму, характерную для соединений пятивалентного нептуния: справа от белой линии находится плечо, указывающее на присутствие нептунильных кислородов в аксиальной плоскости, что ещё раз подтверждает присутствие именно Np(V) в твёрдых фазах.

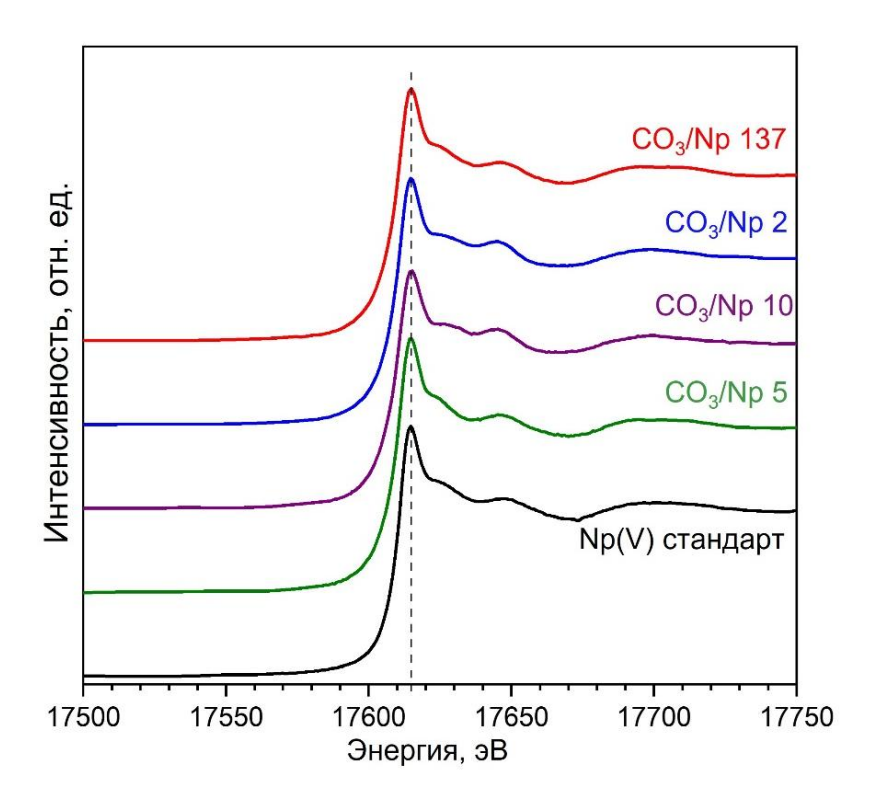


Рисунок 16 – Данные XANES около L_3 края Np, синтезированных в работе образцов, в сравнении со стандартом Np(V)

На Рисунок 17 представлены данные растровой электронной микроскопии (P3M) И данные энергодисперсионного анализа (ЭДС) соединений NaNpO₂CO₃·хH₂O (образец CO₃/Np 137) и KNpO₂CO₃ (образец CO₃/Np 10). На РЭМ изображениях различимы цветково-подобные микроструктуры. Каждая структура состоит из нескольких пластин толщиной 50 – 100 нм. Анализ ЭДС, проведенный в процессе РЭМ измерений, подтвердил различие в фазовом составе исследуемых образцов. В образце СО₃/Np 137 присутствует натрий и нептуний в соотношении 1:1, что подтверждает формулу NaNpO₂CO₃. Образец CO₃/Np 10 содержит калий и нептуний. Наличие натрия в некоторых точках образца можно объяснить локальностью метода и присутствием остаточного количества реагентов от синтеза. Следует отметить, что с помощью РЭМ/ЭДС трудно обнаружить характерные рентгеновские линии К при низкой концентрации рядом с интенсивными линиями Np из-за их сильного перекрытия.

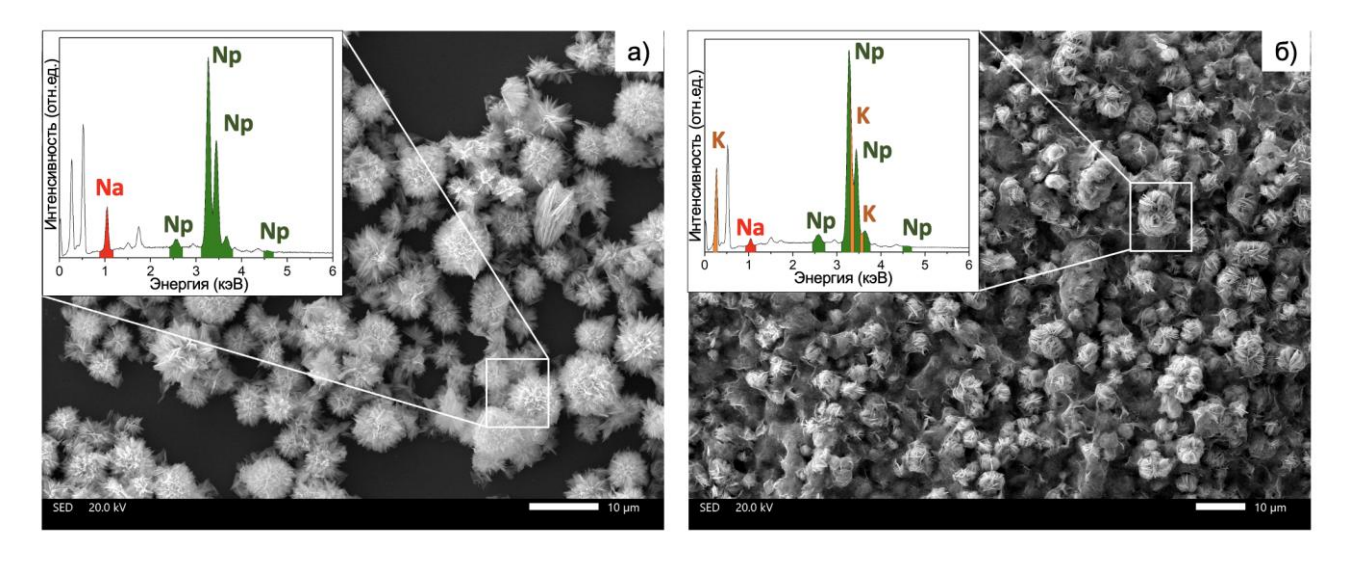


Рисунок 17 – Изображения РЭМ и ЭДС спектры (вставка) соединений а) NaNpO₂CO₃·хH₂O (CO₃/Np 137) и б) KNpO₂CO₃ (CO₃/Np 10)

Для точного определения состава твёрдых фаз образцы СО₃/Np 137 $(NaNpO_2CO_3\cdot 3H_2O)$ и CO_3/Np 10 $(KNpO_2CO_3)$ были исследованы методом термогравиметрии с последующим анализом продуктов разложении методом РД. На Ошибка! Источник ссылки не найден. представлены данные ТГ-ДСК исследуемых образцов натриевого и калиевого карбонатов Np(V). По данным ТГ-ДСК образец CO₃/Np 137 начинает разлагаться по достижении 98°C (здесь и далее экстраполированная температура начала разложения). Разложение образца протекает в две хорошо различимые стадии. Первая стадия разложения сопровождается выраженным эндотермическим эффектом с минимумом при 115°С. При этом в интервале 40-200°С образец теряет 5,5% исходной массы. Дальнейший нагрев приводит к реализации второй стадии разложения. Интенсивное разложение в этом случае начинается по достижении 395°C и также сопровождается поглощением тепла с минимумом при 416°C. При этом в интервале 200-500°С наблюдаемая потеря массы составляет 9,8%. Дальнейший нагрев не приводит к стабилизации массы образца и сопровождается её медленным уменьшением. При нагревании нептуний диспропорционирует и по данным РД по окончанию эксперимента образуется смесь кристаллического NpO₂ и Na₂Np₂O₇.

Разложение образца $KNpO_2CO_3$ отличается от натриевой формы. В интервале температур $40\text{-}200^{\circ}C$ не наблюдается выраженного эффекта падения массы,

падение массы на этом участке составляет 0,6%. При этом наблюдаются слабые приписать которые каким-либо теплового потока, оказывается затруднительно. Интенсивное разложение образца начинается по достижении 493 °C. При этом в интервале 200 – 600 °C потеря массы образцом составляет 11,7%. В отличие от натриевой формы дальнейший нагрев КNpO₂CO₃ сопровождается относительной стабилизацией массы образца. По данным РД по окончанию эксперимента образуется смесь кристаллического NpO₂ и KNpO₃. Стоит отметить, что структура $KNpO_3$ отсутствует В известных кристаллографических базах данных и ее идентификация была проведена на основании известной фазы КОО3. Уточнение структуры К NpO3 может быть объектом дальнейших исследований.

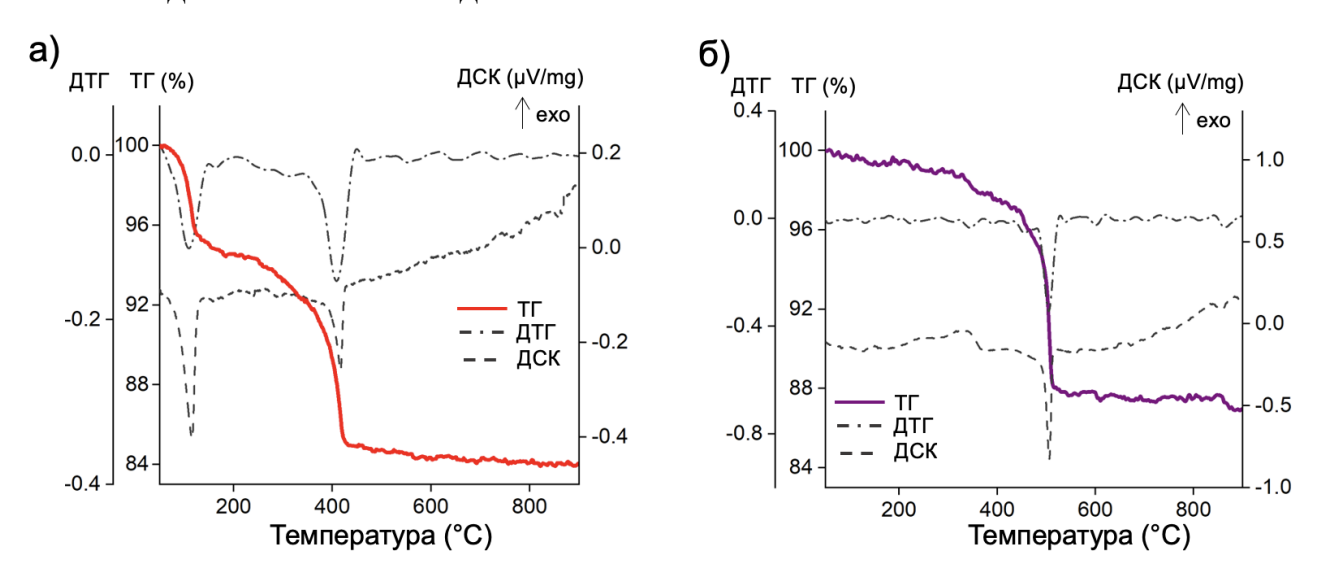


Рисунок 18 – Данные ТГ-ДСК образцов а) СО₃/Nр 137 и б) СО₃/Nр 10

Интерпретация полученных данных по образованию смеси калиевой и натриевой фазы карбоната нептуния в образцах CO_3/Np 2 и CO_3/Np 5 с термодинамической точки зрения заслуживает отдельного обсуждения. На Рисунок 19 представлены физико-химические формы Np, которые могут присутствовать в системе $Np(V) - Na - K - CO_3$ при pH 6 – 10. Зависимости рассчитаны на основе имеющихся термодинамических констант для твердых фаз и гидролизных комплексов Np [117,136]. В контексте данного исследования наиболее важными представляются значения произведений растворимости (lgK_s) твердых фаз $NaNpO_2CO_3 \cdot xH_2O$ и $KNpO_2CO_3$. Имеющиеся в литературе значения

 $\lg K_s$ фазы натриевого карбоната Np(V), не значительно различаются между собой ($\lg K_s = -10.3 \div -11.7$ при 25°C [136]). Для термодинамических расчетов, представленных на Рисунок 19 использована константа растворимости $\lg K_s = -11.0$, рассчитанная в работе Нека и соавторов[9]. Выбор был сделан на основании факта совпадения дифракционных картин твердой фазы натриевого карбоната Np(V) из работы Нека и фазы, полученной в данной работе.

Гораздо меньше работ посвящены расчету произведения растворимости фазы калиевого карбоната Np(V). В некоторых исследованиях реакция растворения $KNpO_2CO_3$ описывается константой растворимости $lgK_s = -13$, впервые полученной в работе Новака и соавторов [10]. На основании этого значения в условиях синтеза образцов СО₃/Np 2, СО₃/Np 5 и СО₃/Np 10 прогнозируется фазы $KNpO_2CO_3$ (Рисунок только 19a). B термодинамических предсказаний исключительно фаза КNpO₂CO₃ образовалась только в случае образца CO_3/Np 10. Второе известное значение $\lg K_s$ значительно отличается от предыдущего и составляет $\lg K_s = -10.3$ [117]. Использование этого значения для калиевого карбоната Np(V) при термодинамических расчётах, показывает, что область стабильности КNpO2CO3 меньше, чем у NaNpO2CO3 • хН₂О, что также не в полной мере соответствует полученным данным. Полученные в работе экспериментальные данные свидетельствуют о более высокой термодинамической стабильности калийсодержащей фазы, чем натриевой. При этом литературные данные по термодинамическим параметрам требуют дальнейшего уточнения.

Также, исходя из полученных зависимостей (Рисунок 19б), значение pH эксперимента должно существенно влиять на преобладающие фракции Np и при увеличении его значения стабильность NaNpO₂CO₃·хH₂O увеличивается. Действительно, образец CO₃/Np 5 был получен при наибольшем значении pH (pH=8,1), и в этом случае наблюдается доминирование натриевой фазы карбоната Np(V) по отношению к калиевой (75% и 25% соответственно).

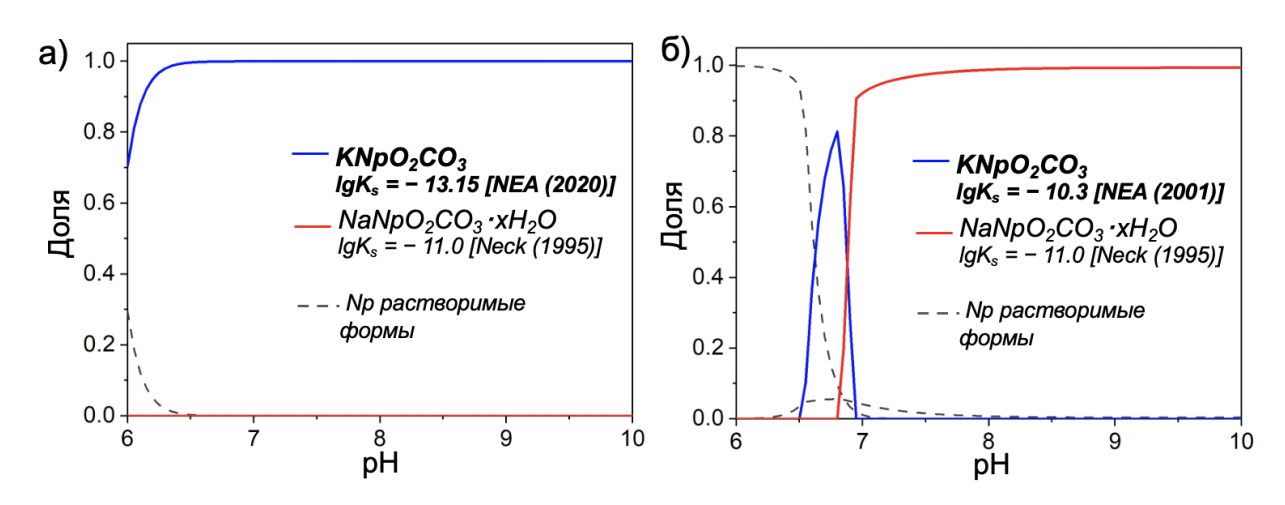


Рисунок 19 — Зависимость доли различных физико-химических форм Np от значения pH в системе с конкурирующими катионами натрия и калия. Зависимость рассчитана на основании известных термодинамических констант для условий [Np] = $4,4\cdot10^{-3}$ M, [Na] = $7,0\cdot10^{-2}$ M, [K] = $2,2\cdot10^{-2}$ M, [CO₃²⁻] = 10^{-2} M [117,136]. Зависимости а) и б) рассчитаны при различных значениях произведений растворимости фазы KNpO₂CO₃ (значения указаны на рисунке)

На сегодняшний день в литературе отсутствуют достоверные структурные данные для соединений $NaNpO_2CO_3 \cdot xH_2O$ и $KNpO_2CO_3$. При этом понимание структуры соединения может играть существенную роль в предсказании его термодинамической стабильности.

Кристаллические структуры образцов СО₃/Nр 137 и СО₃/Nр 10 были установлены на основе данных синхротронной рентгеновской дифракции. Был использован полуэмпирический метод на основе подбора структур и поиска оптимального решения для описания дифрактограмм. В случае образца СО₃/Np 137 экспериментальные данные РД лучше всего описываются моделью, основанной на структуре с общей формулой NaNpO₂CO₃·3H₂O (Рисунок 20а,в). Соединение $NaNpO_2CO_3 \cdot 3H_2O$ имеет слоистую структуру c чередующимися $[NpO_2CO_3]_n^{n-}$ и $[Na\cdot 3H_2O]_n^{n+}$. Анионный слой $[NpO_2CO_3]_n^{n-}$ имеет ромбическую структуру. Атом нептуния и карбонат-анион лежат в плоскости слоя, а атомы (NpO_2^+) расположены кислорода нептунил-иона перпендикулярно слою. Расстояние Np-O в нептунил-ионе NpO_2^+ составляет 1,79(4) Å. Сольватированные

катионы $[\text{Na·3H}_2\text{O}]_n^{n+}$ располагаются в пространстве между анионными слоями. Катион Na^+ заключен в искаженный октаэдр, образованный тремя молекулами воды. Слои уложены параллельно друг другу, образуя триклинный кристалл с пространственной группой PI. Такая низкая симметрия связана с неупорядоченностью межслоевого пространства. Параметры элементарной ячейки составляют: $a = 4{,}3420(2)$ Å, $b = 4{,}8962(2)$ Å, $c = 10{,}0933(11)$ Å, $\alpha = 91{,}014(7)$, $\beta = 77{,}834(11)$, $\gamma = 90{,}004(10)$.

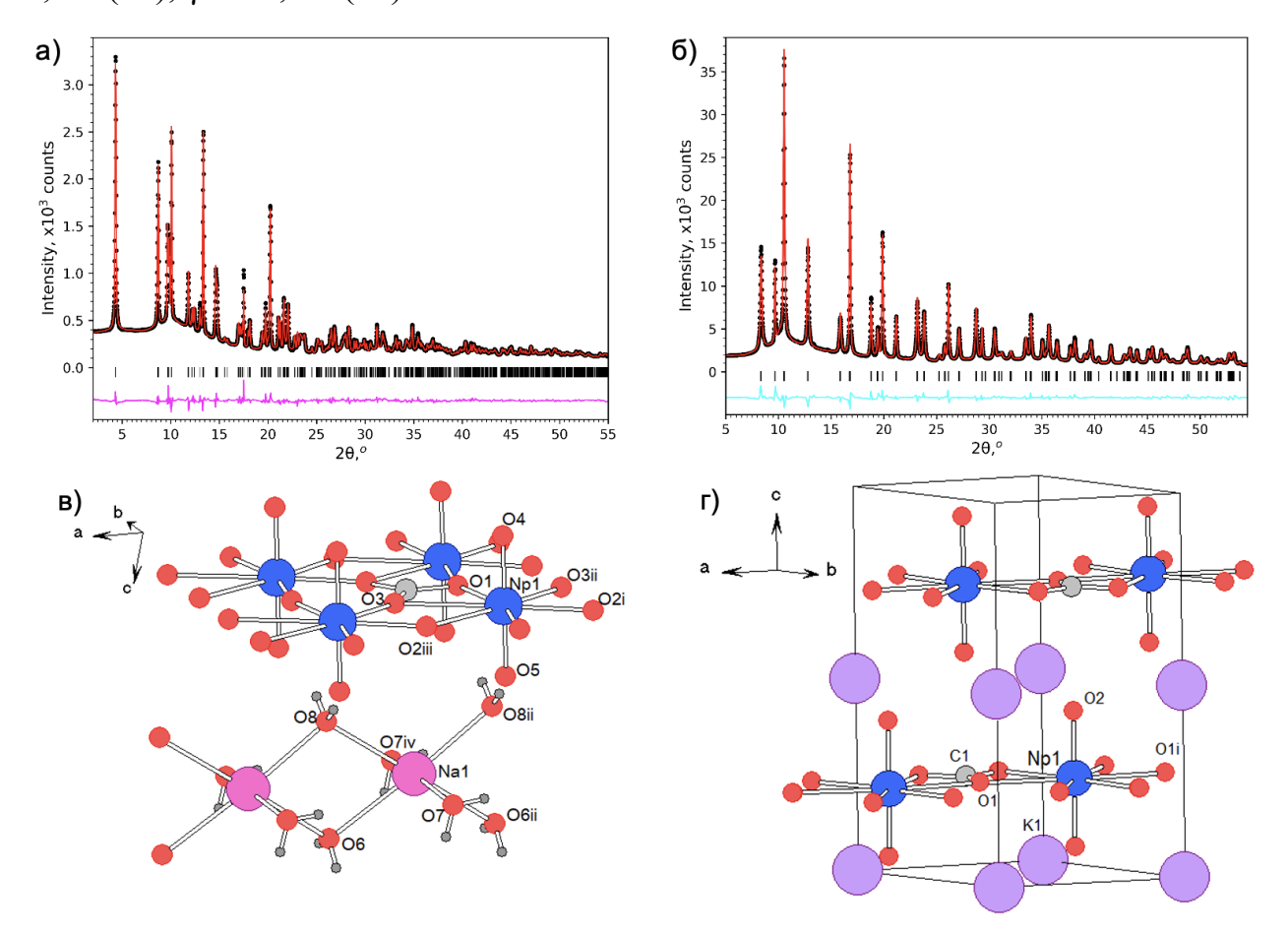


Рисунок 20 — Уточнение дифрактограмм образцов CO₃/Np 137 (а) и CO₃/Np 10 (б) по Ритвельду на основании предложенных структур нантриевого и калиевого карбонатов Np(V). Структуры триклинного натриевого карбоната Np(V) NaNpO₂CO₃·3H₂O (в) и гексагонального KNpO₂CO₃ (г)

В случае образца CO_3/Np 10 экспериментальные данные РД лучше всего описываются гексагональной структурой $KNpO_2CO_3$ (Рисунок 206,г). Соединение $KNpO_2CO_3$ кристаллизуется в пространственной группе $P6_3/mmc$ с параметрами

элементарной ячейки а = 5,0994(2) Å, с = 10,2210(15) Å. KNpO₂CO₃ образует структуру, состоящую из анионных слоев $[NpO_2CO_3]^-$ с катионами K^+ , расположенными в межслоевом пространстве. Полученная информация о пространственной группе КNpO₂CO₃ и параметрах элементарной ячейки совпадает с данными, представленными в исследовании Кинана и Крузе [114]. Однако в рамках данной работы удалось уточнить не только пространственную группу и параметры решетки для соединения КNpO2CO3, но и представить достоверную уточнить модель структуры И межатомные расстояния. Для NaNpO₂CO₃·3H₂O и KNpO₂CO₃ впервые созданы сіf файлы, в которых описана основанная кристаллографическая информация.

С помощью полученных структурных данных были обработаны EXAFS спектры образцов CO₃/Np 137 и CO₃/Np 10. Согласно данным EXAFS, локальное окружение атома Np в структурах натриевого и калиевого карбонатов Np(V) значительно различается (Рисунок 21). Расстояние от атома Np до аксиальных атомов кислорода довольно близко по значению в структурах NaNpO₂CO₃·3H₂O и $KNpO_2CO_3$: 1,87 ± 0,07 Å и 1,83 ± 0,02 Å соответственно. В структуре NaNpO₂CO₃·3H₂O в локальном окружении отражающего атома Np присутствует четыре экваториальных атома кислорода на расстоянии $2,49 \pm 0,01 \text{ Å}$ и два атома кислорода на расстоянии $2,64 \pm 0,06$ Å. В случае структуры $KNpO_2CO_3$ атомы кислорода в экваториальной плоскости нептуния более упорядочены: шесть атомов кислорода находятся на расстоянии $2,56 \pm 0,01$ Å от атома Np. На EXAFS спектрах образца CO₃/Np 137 присутствует расщепление пика Np-C в районе 3–4 Å (Рисунок 21б). Оно связано с различной структурной функцией атомов кислорода карбонатной группы: пара атомов выполняют хелатирующую функцию, а один мостиковую. Результаты показали хорошую сходимость значений межатомных расстояний, полученных из данных РД и EXAFS (Таблица 6).

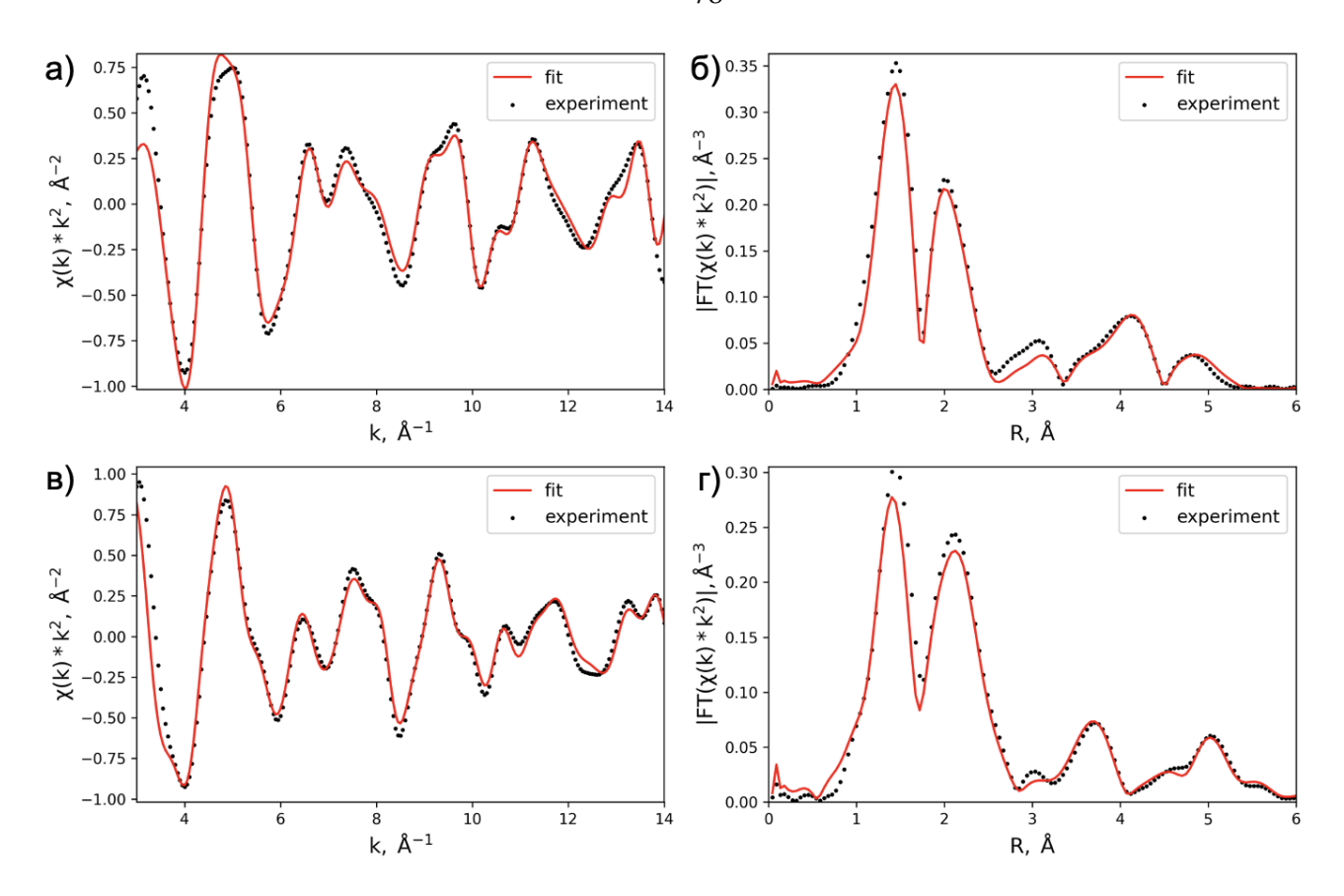


Рисунок 21 – Результаты подгонки экспериментальных EXAFS спектров образцов CO₃/Np 137 (a, б) и CO₃/Np 10 (в, г) с использованием структур NaNpO₂CO₃·3H₂O и KNpO₂CO₃

Таблица 6 – Структурные параметры, полученные в результате подгонки экспериментальных спектров EXAFS

Образец	Координационная оболочка	Координационное число (КЧ)	Межатомные расстояния (R), Å	Фактор Дебая Валлера (σ²), Ų	R- фактор	Данные из РД
CO ₃ /Np 137	Np-O	2	$1,87 \pm 0,07$	0,0010		1,81
	Np-O	4	$2,49 \pm 0,01$	0,0030	D-0.026	2,45×2; 2,50×2
(NaNpO ₂ CO ₃	Np-O	2	$2,64 \pm 0,06$	0,0030	R=0,026 k 3-12	2,56×2
·3H ₂ O)	Np-C	2	$3,04 \pm 0,06$	0,0076	K 3-12	2,90
	Np-C	2	$3,51 \pm 0,09$	0,0076		3,72
	Np-Np	2	$4,36 \pm 0,01$	0,0033		4,34
CO ₃ /Np 10 (KNpO ₂ CO ₃)	Np-O	2	$1,83 \pm 0,02$	0,0032		1,80
	Np-O	6	$2,56 \pm 0,01$	0,0063		2,56
	Np-C	3	$2,96 \pm 0,02$	0,0055	R=0,013	2,94
	Np-K	6	$4,20 \pm 0,30$	0,0085	k 3-12	3,90
	Np-O	6	$4,28 \pm 0,10$	0,0004		4,21
	Np-Np	6	$5,19 \pm 0,09$	0,0089		5,10

3.2 Определение условий образования двойных карбонатов Np(V) с катионами шелочноземельных металлов

Возможность образования твёрдых фаз нептуния с катионами щёлочноземельных металлов важно в контексте описания его миграционного поведения в условиях окружающей среды, поскольку они наравне с щелочными металлами широко распространены как в условиях дальней, так и ближней зон хранилищ, ввиду использования цемента и глинистых минералов в качестве инженерных барьеров безопасности. Ранее в работах Волкова с соавторами [90] было сказано о возможном образовании двойных карбонатов нептуния с щёлочноземельными металлами. Однако, их структура и свойства так и не были изучены и опубликованы.

В данной работе твёрдые фазы двойных карбонатов Np(V) с кальцием были синтезированы тремя способами: методом ионного обмена фазы $NaNpO_2CO_3$ в

растворе 0,1 M CaCl₂ (ИО NaNpO₂CO₃ в 0,1 M CaCl₂), осаждением из модельной природной воды с повышенной концентрацией кальция в растворе (Np/MПВ Са) и осаждением нептуния из раствора 0.05 M CaCl_2 (Np + 0.05M CaCl_2). Согласно данным ЭДС (Рисунок 22а), в образцах полученных этими методами наблюдается образование фазы двойного карбоната нептуния состава Са_{0.5}NpO₂CO₃. Важно отметить, что при синтезе методом ионного обмена в финальной фазе отсутствуют примесные пики Na, что говорит о большей термодинамической стабильности нептуния двойного карбоната c кальцием, ПО сравнению натрием. Морфологически все представленные твёрдые фазы представляют собой слоистые соединения, которые могут срастаться в крупные, размером до нескольких микрометров, агломераты, напоминающие по форме цветы (Рисунок 22в). В зависимости от выбранного метода синтеза, морфология образцов может незначительно отличаться. Так, например, после ионного обмена двойной карбонат нептуния с кальцием кристаллизуется в форме отдельных чешуек (Рисунок 22в), а при осаждении нептуния из раствора уже образуются агломераты в форме цветов размером 5 - 10 мкм (Рисунок 22г, д).

Однако, несмотря на схожесть состава соединений, все они имеют различные структуры. На Рисунок 226 представлены дифрактограммы для трёх образцов и их сравнение с уже описанными выше двойными карбонатами KNpO₂CO₃ и NaNpO₂CO₃·3H₂O. Как видно из рентгенограмм, твёрдая фаза, осаждённая из раствора Np(V) в 0,05 М CaCl₂ (красная линия, Рисунок 226) представляет собой, по видимому, смесь двух структур: твёрдой фазы полученной методом ионного обмена и осаждённой из модельной воды. При этом, представленные структуры имеют мотив описанной выше структуры NaNpO₂CO₃·3H₂O. На всех дифрактограммах наблюдается резкий интенсивный пик на малых углах, дополнительно указывающий на слоистую морфологию соединений.

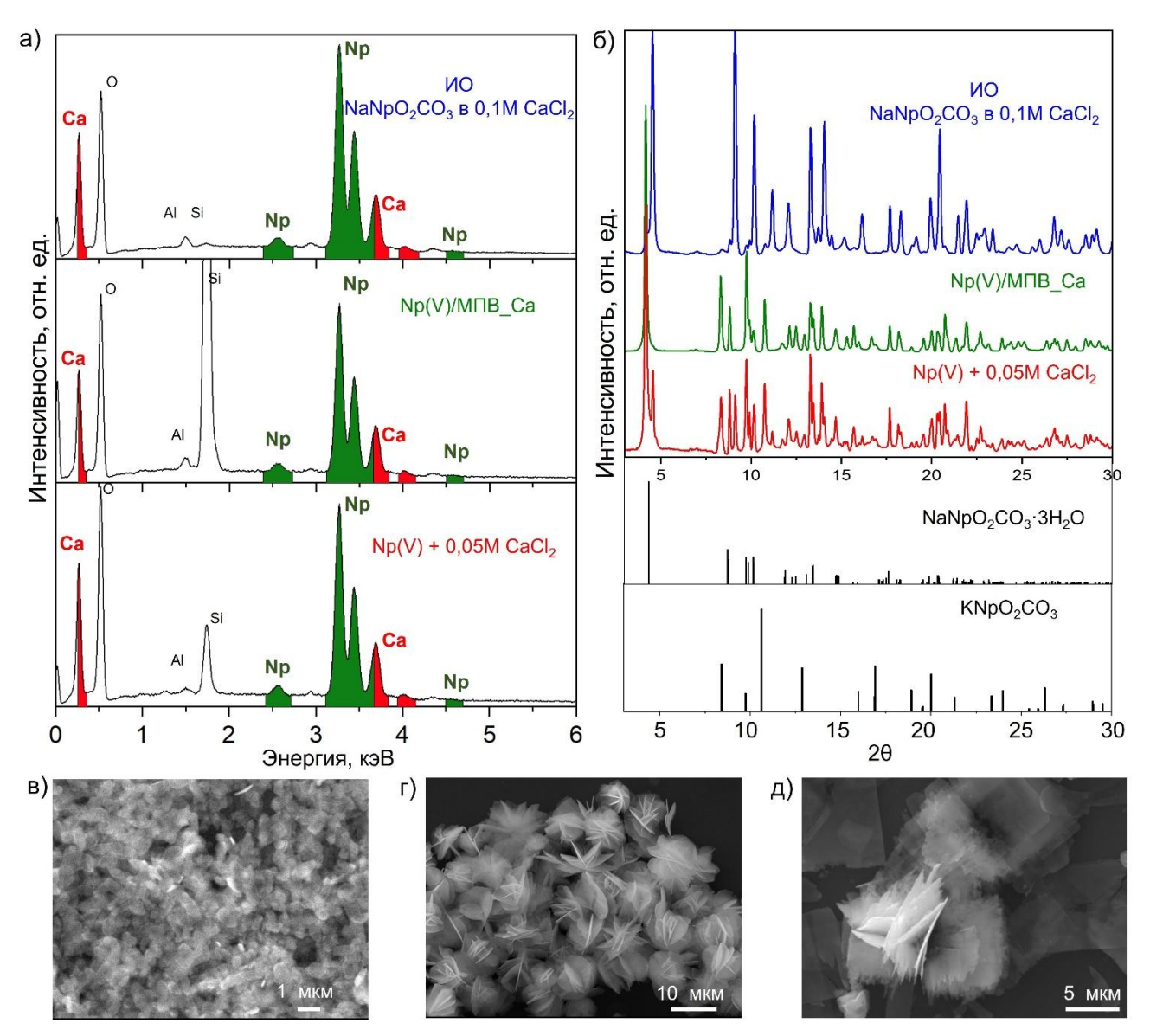


Рисунок 22 – а) Данные ЭДС анализа Са-содержащих карбонатов Np(V); б) рентгенограммы образцов; РЭМ изображения образца ИО NaNpO₂CO₃ в 0,1 M CaCl₂ (в), Np/MПВ Са (г) и Np(V) + 0,05 M CaCl₂ (д)

Стоит отметить, что во всех растворах во время синтеза значения рН были в нейтральной области в диапазоне 7-8. Можно предположить, что на результирующую структуру соединения значительно влияет концентрация кальция в растворе. Так, при относительно высокой концентрации $CaCl_2$ в синтезе методом ионного обмена (0,1 M $CaCl_2$) образуется структура, которая индицируется орторомбической I решеткой с параметрами ячейки a=18,85 Å, b=4,88 Å, c=4,34 Å. При низкой концентрации кальция (0,006 M $CaSO_4$ в модельной воде $Np/M\PiB_Ca$) наблюдается образование структуры с орторомбической P решеткой

с параметрами ячейки a = 10,33 Å, b = 4,33 Å, c = 4,88 Å. Смесь представленных двух структур будет образовываться в промежутке между двумя представленными концентрациями кальция, как и получилось в случае осаждения Np(V) из 0,05 М раствора $CaCl_2$ (рисунок 226).

Были проведены эксперименты по осаждению Np(V) из растворов 0,1 М и 0,01 М СаСl₂ в диапазоне pH от 6 до 12. Начальная концентрация Np(V) во всех растворах была 10⁻⁴ М. На Рисунок 23 представлена зависимость логарифма концентрации нептуния в растворе после образования твердой фазы от значений pH, через 24 часа после начала эксперимента. Как видно из полученных данных, с увеличением pH раствора логарифм остаточной концентрации нептуния падает практически линейно. Из растворов в диапазоне pH от 9 до 12 наблюдалось выпадение твёрдых фаз белого цвета, которые были охарактеризованы методами PФА и PЭМ.

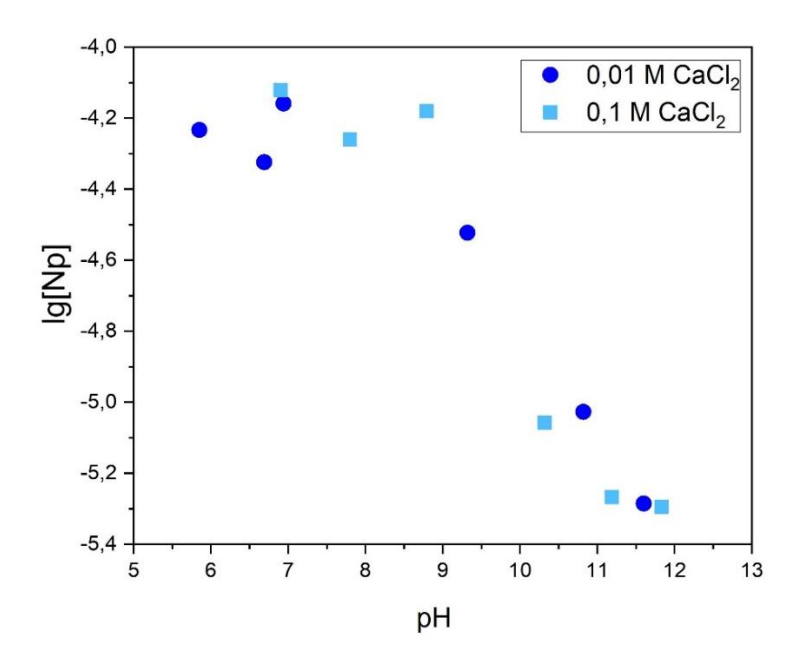


Рисунок 23 – Зависимость логарифма концентрации нептуния в растворах 0,1 M и 0,01 M CaCl₂ от значений рН

На Рисунок 24 представлены дифрактограммы твёрдых фаз, образованных путём осаждения Np(V) в растворах 0,1 M и 0,01 M $CaCl_2$ при различных значениях pH. В системе 0,01 M $CaCl_2$ при pH \geq 10,8 доминирующей твёрдой фазой является $Ca_{0,5}NpO_2(OH)_2$, которая была ранее описана в работе Феллхауэра с соавторами [139]. При значении pH = 9,3 помимо двойного гидроксида Np(V) с кальцием на

дифрактограмме присутствуют пики твёрдой фазы двойного карбоната Np(V) с кальцием, аналогичная полученному осаждением из модельной природной воды Np/MПB_Ca (зелёная линия, Рисунок 24a) и обладающая орторомбической структурой.

В системе 0,1 М $CaCl_2$ при высоком значении pH = 11,8 доминирующей кристаллической фазой является кальцит $CaCO_3$ (Рисунок 246). Самостоятельных фаз нептуния на дифрактограммах обнаружено не было. Вероятно, в данном случае помимо кальцита в системе присутствует фаза NpO_2OH , о чём говорит присутствие на дифрактограммах уширенных пиков. При pH = 11,2 наблюдается смесь фаз $Ca_{0,5}NpO_2CO_3$ с орторомбической P решеткой и $Ca_{0,5}NpO_2(OH)_2$, а при pH = 10,3 результирующая твёрдая фаза представляет собой двойной гидроксид Np(V) с кальцием (Рисунок 246, красная и бирюзовая линии соответственно).

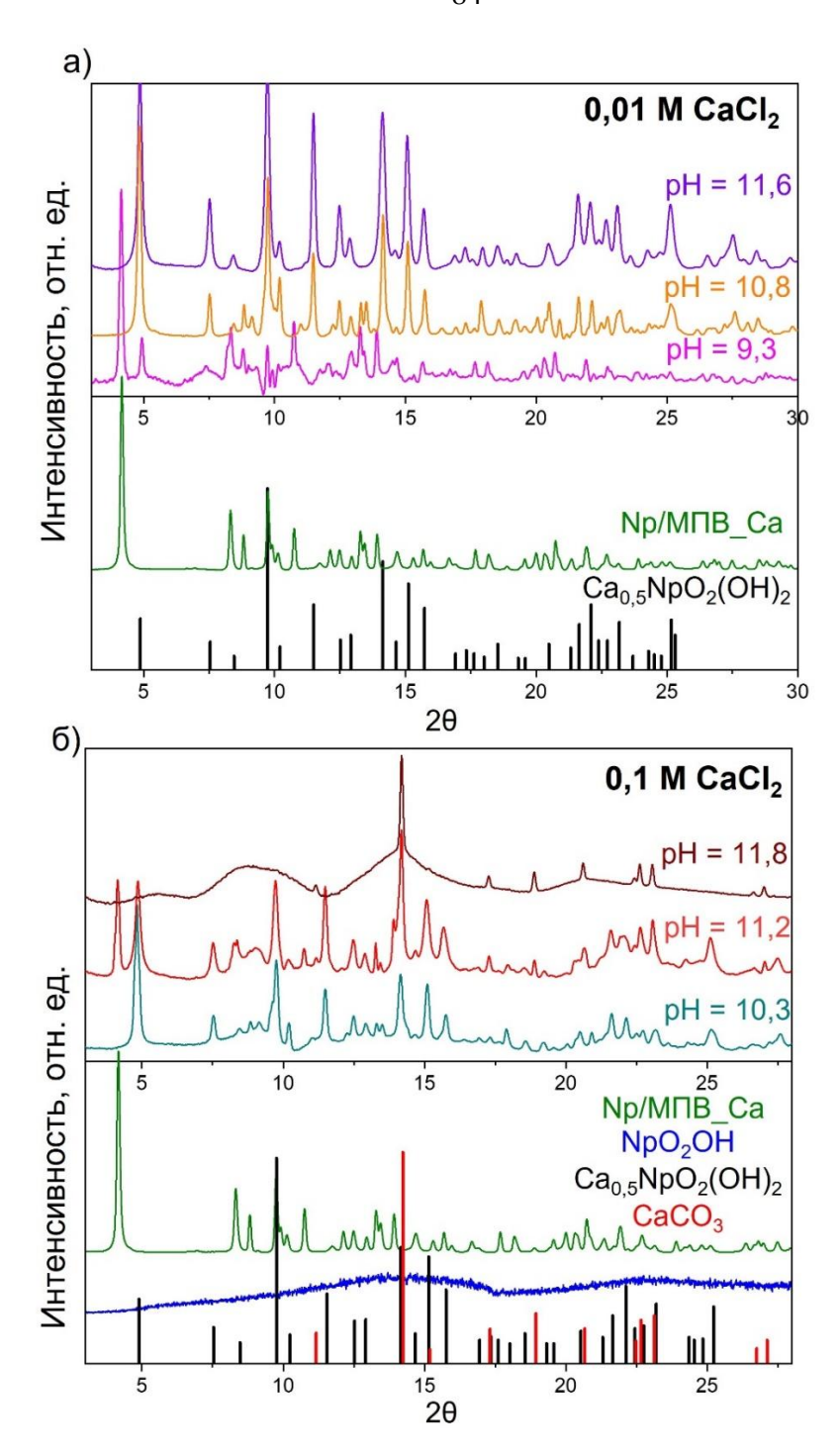


Рисунок 24 — Данные РД (λ =0,75Å) твёрдых фаз, образованных при осаждении Np(V) из растворов 0,01 M CaCl₂ (a) и 0,1 M CaCl₂ (б) при различных значениях pH в сравнении с образцом Np/MПB_Ca, Ca_{0,5}NpO₂(OH)₂ [139], NpO₂OH [137] и CaCO₃

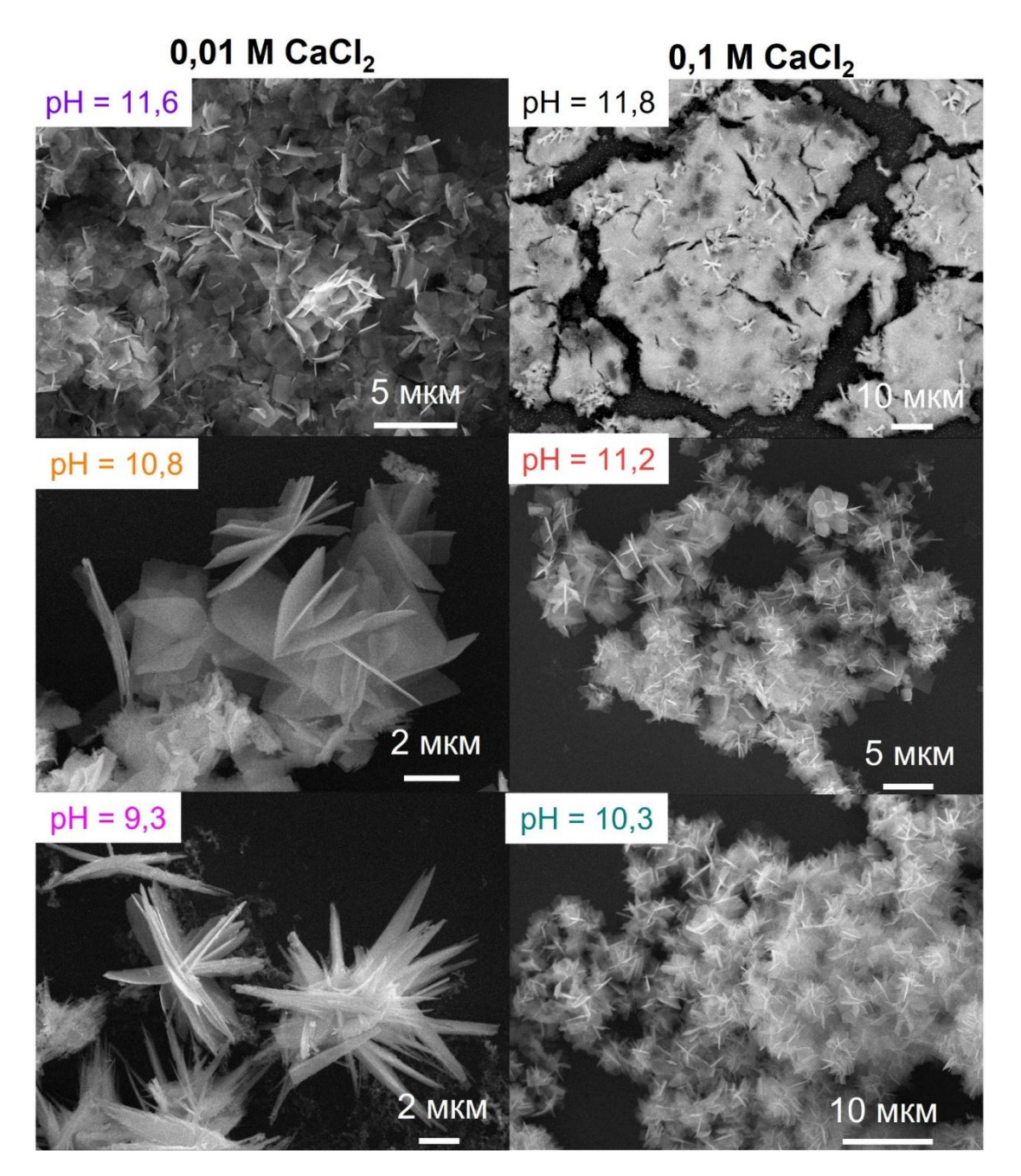


Рисунок 25 — Микрофотографии твёрдых фаз, образованных путём осаждения Np(V) из растворов 0,01 M CaCl₂ и 0,1 M CaCl₂ при различных значениях pH

На Рисунок 25 представлены микрофотографии соединений, полученных осаждением Np(V) из растворов 0,01 М и 0,1 М $CaCl_2$ при различных значениях pH. Как видно, все соединения двойных карбонатов и гидроксидов Np(V) с кальцием представляют собой слоистые соединения, которые имеют тенденцию к агломерации с образованием цветов размером в несколько микрометров. Из раствора 0,1 М $CaCl_2$ при pH=11,8 образовалась твёрдая фаза низкой кристалличности с включениями мелких палочковидных кристаллов. Как известно

из дифрактограмм, доминирующей фазой в данной системе является CaCO₃. Аморфная часть, по-видимому, и является гидроксидом Np(V).

Твёрдая фаза двойного карбоната нептуния с магнием была синтезирована двумя способами: ионным обменом фазы NaNpO₂CO₃ в растворе 0,1 М MgCl₂, а также при осаждении Np(V) из модельной воды с увеличенным содержанием магния (Np/MПВ_Mg). Согласно данных ЭДС (Рисунок 26а, б), в обоих синтезах результирующей фазой является двойной карбонат с формулой Mg_{0,5}NpO₂CO₃. Стоит отметить, что при синтезе методом ионного обмена в результирующей твёрдой фазе отсутствуют примеси натрия (Рисунок 26а), что говорит о полном протекании обмена, а также о большей термодинамической стабильности магниевоей фазы, по сравнению с NaNpO₂CO₃. Морфология двойных карбонатов Np(V) с магнием (Рисунок 26в, г) схожа с выше описанными соединениями с кальцием. Это слоистые фазы, образующие макроцветы размером в несколько микрометров.

Рентгенограммы представленных образцов схожи друг с другом и напоминают мотив твёрдой фазы $Ca_{0,5}NpO_2CO_3$, полученной методом ионного обмена (Рисунок 26д). На дифрактограммах наблюдается интенсивный первый пик на малых углах, аналогично соединениям с кальцием. Структура твёрдой фазы $Mg_{0,5}NpO_2CO_3$ индицируется в моноклинной P решетке с параметрами ячейки a=9,39 Å, b=4,32 Å, c=4,87 Å, $\beta=92,46^\circ$.

Интересно отметить, что в данном случае значительные различия концентрации магния в растворе $(0,1\ M\ MgCl_2\ B$ синтезе методом ионного обмена и $0,0017\ M\ MgSO_4$ в синтезе методом осаждения из модельной природной воды) не оказывают критического влияния на результирующую структуру твёрдой фазы двойного карбоната.

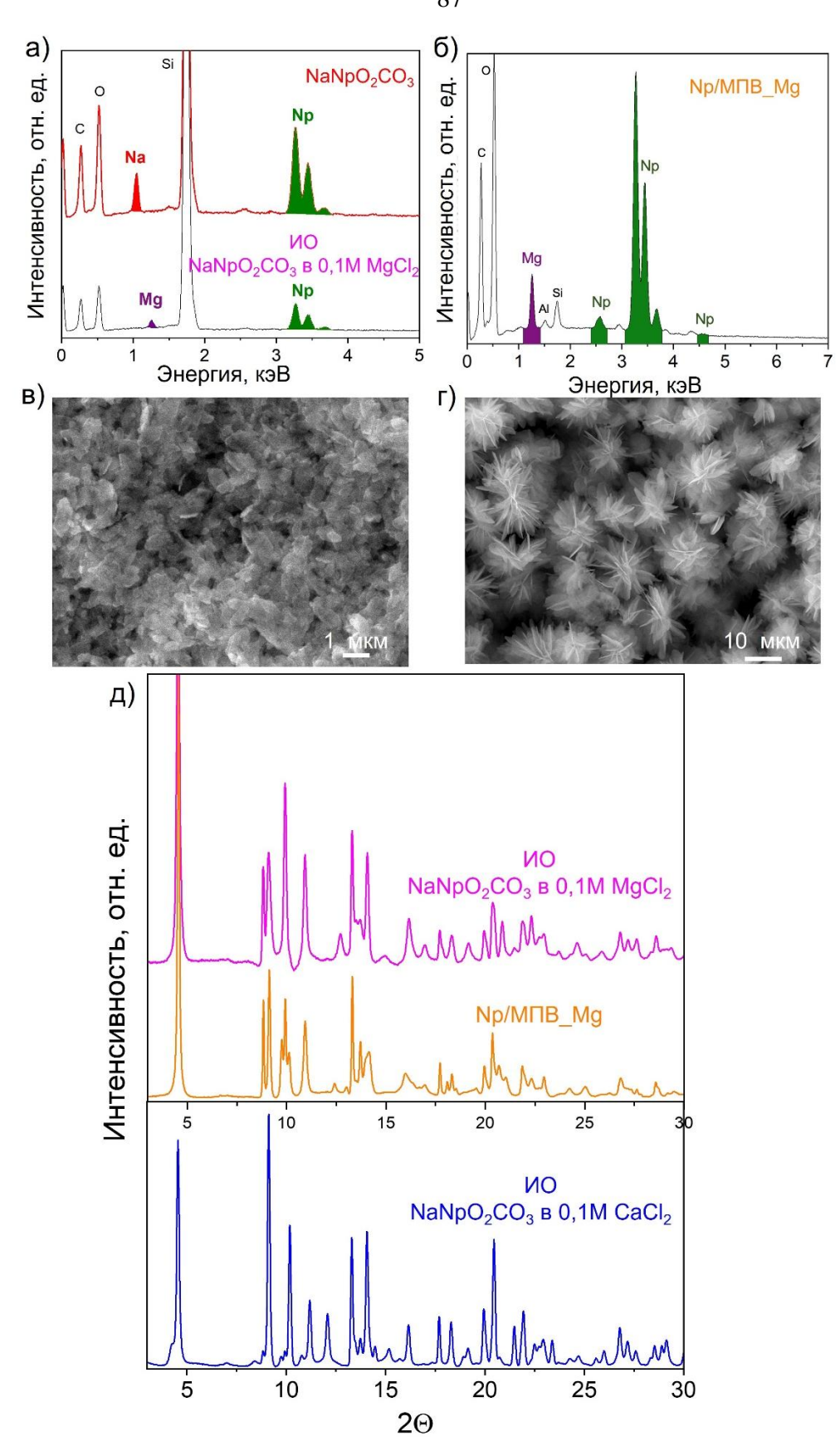


Рисунок 26 – а), б) Данные ЭДС анализа Mg-содержащих карбонатов Np(V); РЭМ изображения образца ИО NaNpO₂CO₃ в 0,1 M MgCl₂ (в) и Np/MПB_Mg (г); д) рентгенограммы образцов

Были проведены эксперименты по исследованию возможности обмена катионов K^+ в двойном карбонате $KNpO_2CO_3$ на Ca^{2+} или Mg^{2+} . На рРисунок 27 представлены дифрактограммы результирующих твёрдых фаз после реакции ионного обмена. Как видно, в обоих случаях обмен прошёл не полностью и по окончании синтеза в твёрдой фазе всё ещё присутствует КNpO2CO3. Вероятно, замена катиона K^+ на Ca^{2+} или Mg^{2+} проходит значительно сложнее, чем в твёрдой фазе NaNpO2CO3. Сложность проведения реакции ионного обмена возможна по двум причинам: термодинамической и структурной. Как было описано выше при $pH \approx 7$, который создаётся растворами 0.1~M хлоридов кальция и магния, наиболее стабильной твёрдой фазой будет KNpO₂CO₃, по сравнению с NaNpO₂CO₃. К тому же, фазы двойных карбонатов Np(V) с катионами щёлочноземельных металлов имеют структурный мотив, подобный фазе NaNpO₂CO₃. Кроме того, значительное влияние оказывает и размер катиона. Калий имеет значительно больший размер, по сравнению с натрием и двухвалентными катионами: K^+ (1,33 Å), Na^+ (1,02 Å), Ca^{2+} (1,00 Å) и Mg^{2+} (0,72 Å). Размер катиона влияет на структуру соединения, а также его свойства: термодинамическую стабильность и, следственно, способность к ионному обмену в растворе. Все эти особенности соединений двойных карбонатов Np(V) объясняют, почему ионный обмен Na⁺ на двухвалентные катионы проходит значительно легче и полностью в данных условиях.

Стоит обратить внимание, что реакция ионного обмена катиона K^+ на Mg^{2+} прошла частично, чего нельзя сказать о Ca^{2+} . Данный факт может говорить о том, что соединение состава $Mg_{0,5}NpO_2CO_3$ предположительно будет обладать большей термодинамической стабильностью, по сравнению с $Ca_{0,5}NpO_2CO_3$.

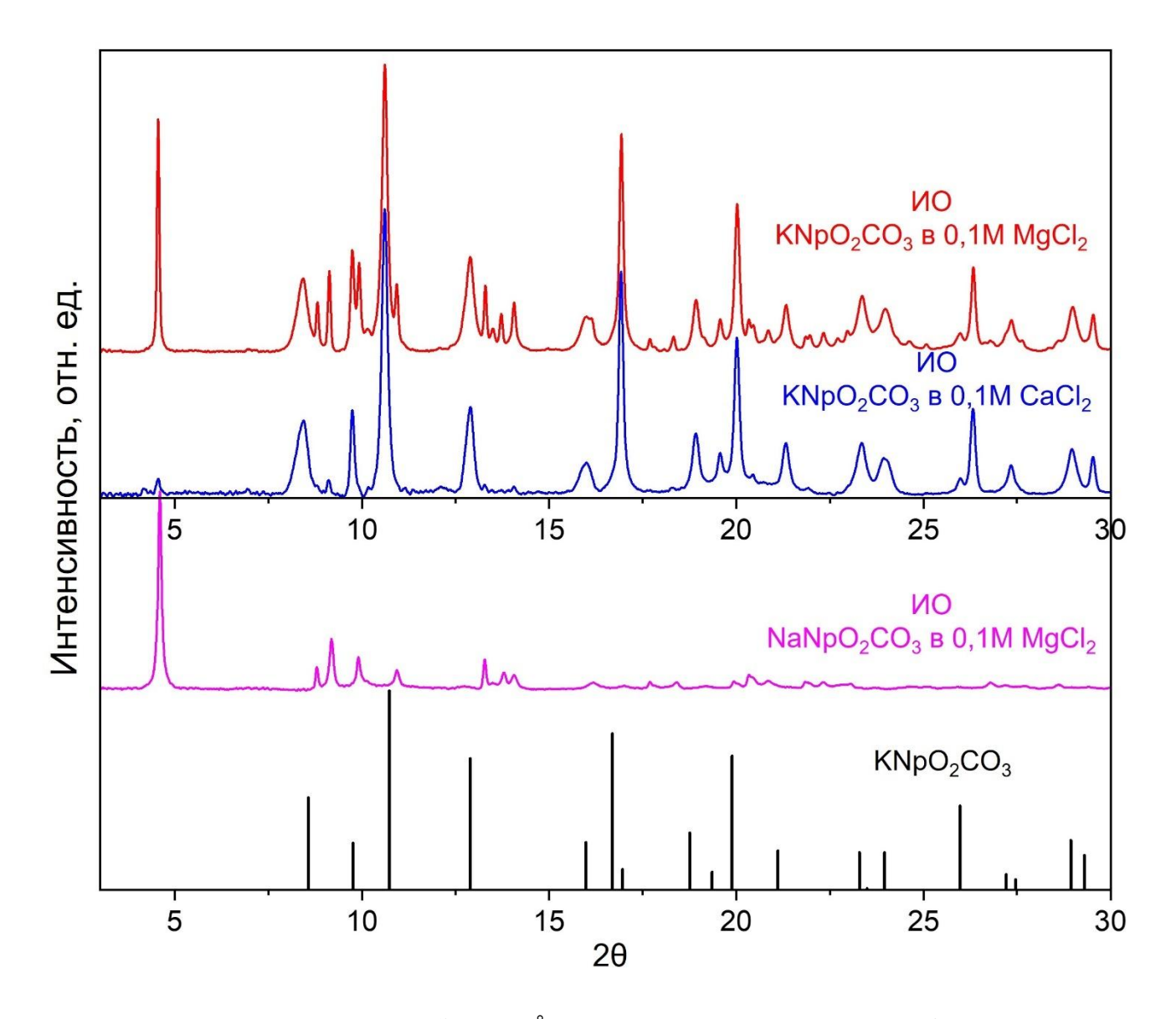


Рисунок 27 — Данные РД (λ =0,75Å) результирующих твёрдых фаз после проведения ионного обмена KNpO₂CO₃ в среде 0,1 M CaCl₂ и MgCl₂

Одним из важных пунктов при описании структуры и свойства соединения является качественное и количественное описание механизма дегидратации. На Рисунок 28 представлены дериватограммы образцов Ca_{0,5}NpO₂CO₃ и Mg_{0,5}NpO₂CO₃. Для обоих твёрдых фаз характерен многоступенчатый процесс разложения. Основная потеря массы с ярко выраженным эндотермическим эффектом, связанная с разложением карбоната и высвобождением CO₂ происходит в районе 500°C, что согласуется с литературными данными для подобных соединений [90]. Высвобождение воды же, в свою очередь, для обоих соединений происходит в три этапа. В диапазоне до 65°C образец Ca_{0,5}NpO₂CO₃ теряет 4%

исходной массы, а $Mg_{0.5}NpO_2CO_3$ - значительно большее количество, 16% массы с минимумом при 60°С. Первую ступень потери массы для обоих образцов можно объяснить высвобождением сорбированной воды с поверхности веществ. Дальнейшая потеря массы в две ступени предположительно связана с потерей кристаллогидратной воды. Так, в диапазоне от 65°С до 340°С для фазы $Ca_{0.5}NpO_2CO_3$ наблюдаются потери по 2% массы на каждой ступени. Твёрдая фаза $Mg_{0.5}NpO_2CO_3$ содержит значительно большее количество воды. В диапазоне температур от 60 до 165°С наблюдается потеря 7% массы. На следующей ступени с минимумом при 258°С образец теряет ещё 3% от общей массы.

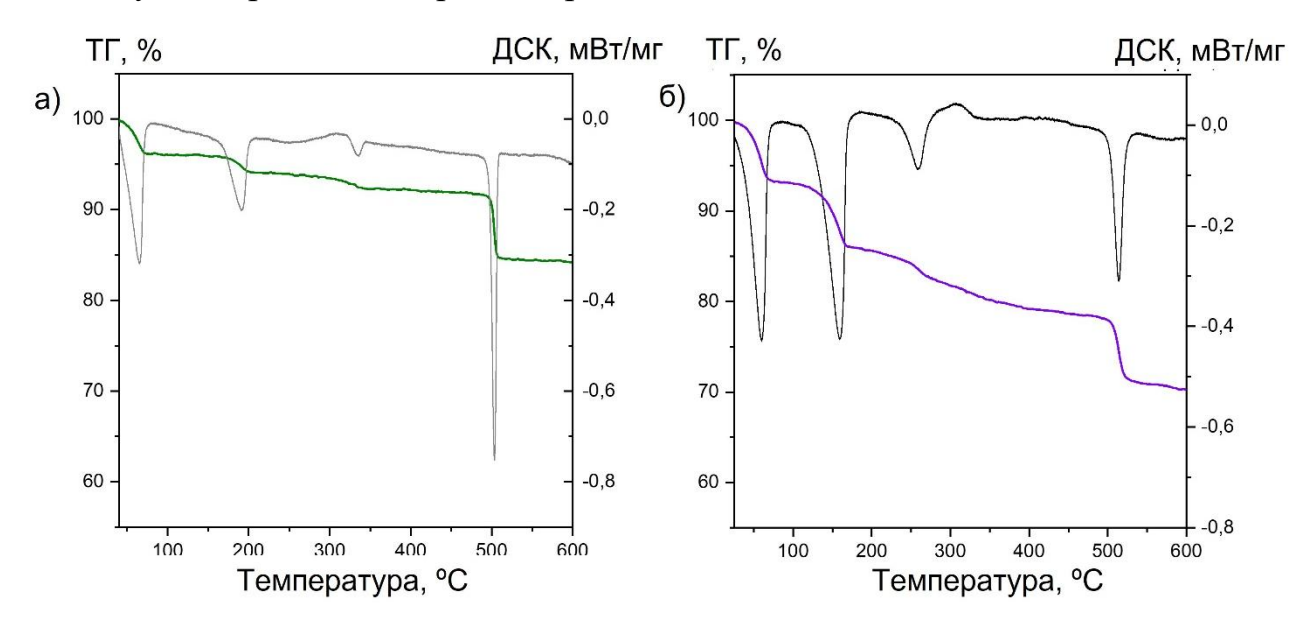


Рисунок 28 — Данные ТГ/ДСК образцов а) $Ca_{0,5}NpO_2CO_3$ и б) $Mg_{0,5}NpO_2CO_3$

Изменения структуры твёрдых фаз двойных карбонатов Np(V) с кальцием и магнием контролировалось при помощи рентгентовской дифракции (рисунок 29). Постепенная дегидратация сопровождалась уменьшением расстояния между слоями, что подтверждается смещением первого дифракционного пика в сторону больших 20. Также при повышении температуры наблюдается постепенное изменение всей дифракционной картины, что означает изменение структуры всего соединения. При 400 °C для обеих твёрдых фаз наблюдается образование рентгенаморфного вещества, которое при температуре 500 °C, судя по уширенным рефлексам, преобразуется в наночастицы NpO₂ размером ~11 нм. Существенные

отличия в поведении твёрдых фаз $Ca_{0.5}NpO_2CO_3$ и $Mg_{0.5}NpO_2CO_3$ при отжиге наблюдается при температуре 1000°С. Двойной карбонат с магнием при указанной температуре разлагается до NpO₂ и MgO. Интенсивность дифракционных пиков MgO значительно ниже, чем у диоксида нептуния, что связано с большим различием корундовых чисел у этих соединений (соотношение интенсивности самого высокого дифракционного пика к интенсивности дифракционного пика корунда Al_2O_3), $I/I_c=24,46$ и 2,73 для NpO_2 и MgO соответственно. При этом наблюдается рост наночастицы диоксида нептуния: от 10 нм при 500°C до 100 нм при 1000°С. При разложении соединения Ca_{0.5}NpO₂CO₃ при 1000°С наблюдается образование двух фаз нептуния: NpO₂ (размером ~20 нм) и фазы изоструктурной $Na_2U_2O_7$. Соединение диураната натрия имеет структуру, схожую с $CaUO_4$: псевдогексагональные уранилкарбонатные слои соединяются между собой катионами натрия (или кальция) [140]. Так как данные для пободных соединений нептуния отсутствуют в литературе, состав твёрдой фазы Са_{0.5}NpO₂CO₃ после разложения при 1000°C можно предположить, как NpO₂ и CaNpO₄, на основании данных о соединениях урана. Исследование соединения СаNpO4 может стать объектом дальнейших исследований.

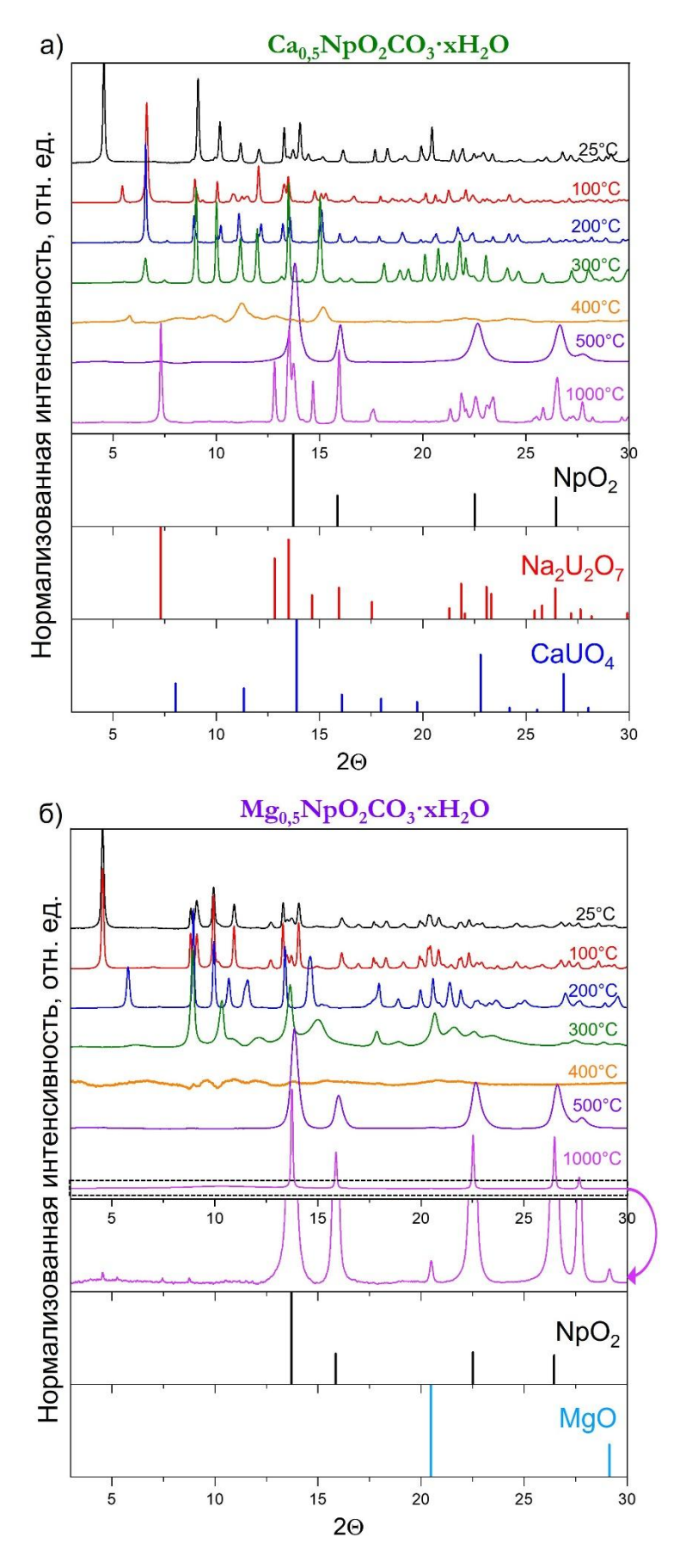


Рисунок 29 — Дифракционные данные а) $Ca_{0,5}NpO_2CO_3$ и б) $Mg_{0,5}NpO_2CO_3$ при различных температурах

Изменения стурктуры слоя в двойных карбонатах нептуния при нагревании может быть зафискисровано при описании локального окружения нептуния при моделировании EXAFS-спектров (рисунок 30, таблица 7). При нагревании до 100°С наблюдается деформация слоя Np-карбонат. При этом ближайшее окружения нептуния (до 3Å) не меняется: связь нептуния с аксиальным и экваториальным кислородом, а также углеродом сохраняется. Заметные изменения наблюдаются в рассеянии Np...Np, которое значительно ослабевает. При увеличении температуры до 300°С структура становится ещё более разупорядоченной, что заметно по изменениям в координационной сфере Np...Np (уменьшается значение КЧ, меняются параметры расстояния). Карбонатное соединение разлагается при нагревании до 500°С с образованием NpO₂. Связь нептуния с аксиальным кислородом пропадает и результирующий спектр EXAFS адекватно описывается структурой диоксида нептуния.

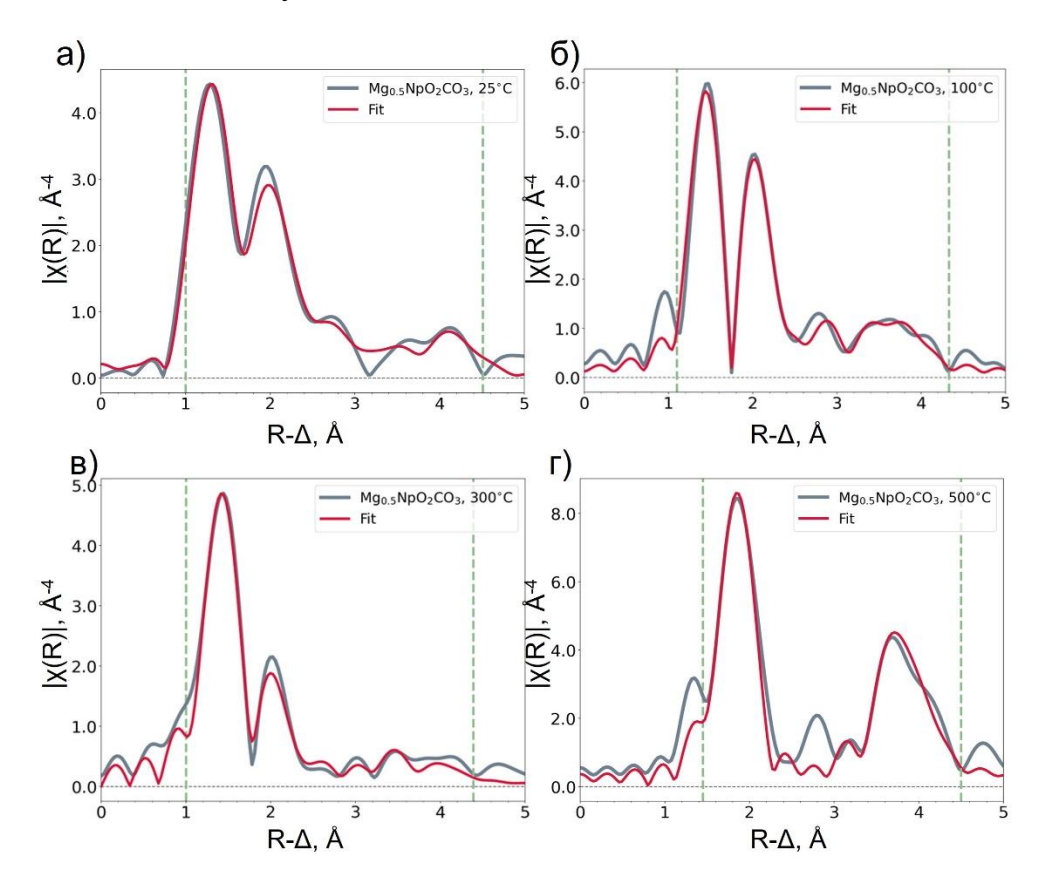


Рисунок 30 — Экспериментальные и модельные EXAFS спектры соединения $Mg_{0,5}NpO_2CO_3$ при различных температурах: а) 25°C, б) 100°C, в) 300°С и г) 500°С

Таблица 7 — Структурные параметры твёрдой фазы $Mg_{0,5}NpO_2CO_3$ при различных температурах, полученные в результате подгонки экспериментальных спектров EXAFS

Температура	Координационная оболочка	Координационное число (КЧ)	Межатомные расстояния (R), Å	Фактор Дебая Валлера (σ^2), Å 2	R- фактор
25°C	Np—O _{ax}	2,0	$1,872 \pm 0,005$	$0,003 \pm 0,001$	
	Np—O _{eq}	$6,8 \pm 3,1$	$2,369 \pm 0,029$	$0,007 \pm 0,006$	R=0,016
	Np—С	$4,9 \pm 2,4$	$2,930 \pm 0,036$	$0,007 \pm 0,006$	k 3-10
	Np—Np	2,0	$4,370 \pm 0,016$	0,003	
100°C	Np—O _{ax}	2,0	$1,867 \pm 0,016$	$0,001 \pm 0,001$	
	Np—O _{eq}	$4,1 \pm 1,4$	$2,468 \pm 0,054$	$0,003 \pm 0,003$	R=0,019
	Np—С	$3,8 \pm 3,1$	$3,414 \pm 0,003$	$0,003 \pm 0,003$	k 3-11
	Np—Np	$1,3 \pm 1,3$	$3,986 \pm 0,059$	0,003	
300°C	Np—O _{ax}	2,0	$1,856 \pm 0,011$	$0,003 \pm 0,001$	
	Np—O _{eq}	$3,2 \pm 0,6$	$2,341 \pm 0,038$	$0,009 \pm 0,005$	R=0,012
	Np—С	$1,0 \pm 2,0$	$3,393 \pm 0,166$	$0,009 \pm 0,005$	k 3-12
	Np—Np	0.4 ± 0.6		0,003	
500°C	Np—О	8,0	$2,347 \pm 0,010$	$0,005 \pm 0,002$	R=0,012
	Np—Np	12,0	$3,864 \pm 0,014$	$0,009 \pm 0,002$	k 3-12

По данным термогравиметрического анализа с учётом продуктов разложения твёрдых фаз при температуре 1000° С было рассчитано содержание воды в структурах соединений двойных карбонатов нептуния с магнием и кальцием. Установлено, что соединение $Ca_{0,5}NpO_2CO_3$ содержит 4 молекулы воды, а соединение $Mg_{0,5}NpO_2CO_3-6$ молекул воды. Расчёт проводился на основании следующих уравнений разложения:

$$2Ca_{0,5}NpO_2CO_3\cdot 4H_2O \rightleftharpoons CaNpO_4 + NpO_2 + 8H_2O + 2CO_2$$

 $2Mg_{0,5}NpO_2CO_3\cdot 6H_2O \rightleftharpoons MgO + 2NpO_2 + 12H_2O + 2CO_2 + 0,5O_2$

Ещё одним двухвалентным металлом, интересным для изучения с точки зрения синтеза новых структур с нептунием в данной работе стал Mn(II). Для исследования возможности образования двойных карбонатов Np(V), был подготовлен модельный раствор, имитирующий природную воду с включениями марганца. В результате осаждения Np(V) из раствора Np/MПВ_Mn, образуется осадок белого цвета, который был охарактеризован набором методов. Согласно данным ЭДС (рисунок 31а) Мп-содержащий карбонат Np(V) имеет формулу Mn_{0,5}NpO₂CO₃ и не содержит других примесных металлов в осадке. Морфология этого соединения аналогична рассмотренным выше Ca- и Mg-содержащим двойным карбонатам Np(V) и представляет собой слоистое соединение с хорошо различимыми чешуйками на РЭМ изображении (рисунок 31б). Дифрактограмма марганцевого карбоната с нептунием также имеет мотив описанных выше Mg_{0,5}NpO₂CO₃ и Ca_{0,5}NpO₂CO₃ полученных методами ионного обмена.

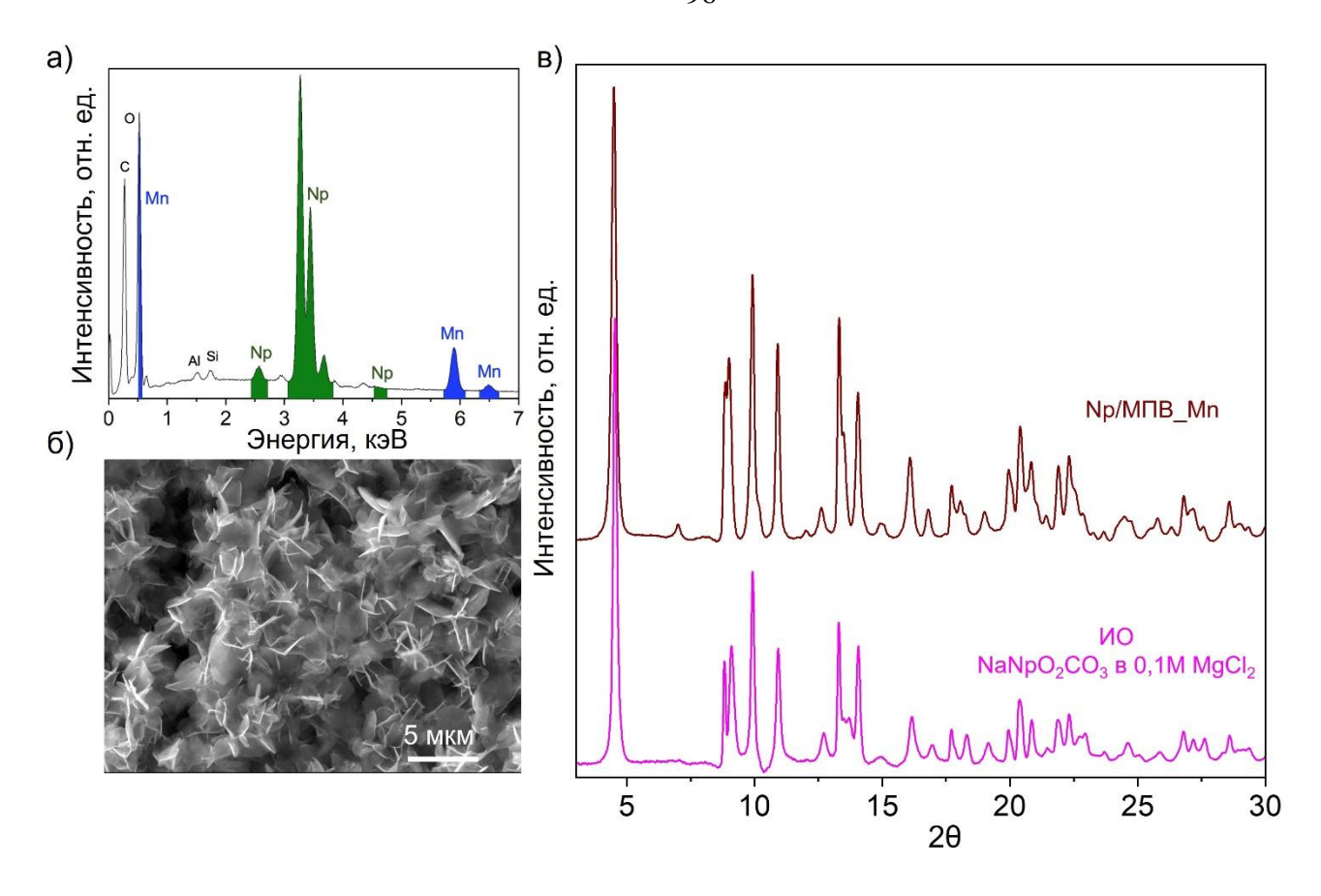


Рисунок 31 – а) Данные ЭДС анализа; б) РЭМ изображение и в) рентгенограмма Мп-содержащего карбоната Np(V)

ХАNES спектроскопия подтвердила степень окисления Np(V) во всех соединениях двойных карбонатов нептуния с двухвалентными металлами (рисунок 32). На степень окисления нептуния в твёрдых фазах указывает положение белой линии на 17615 эВ, а также форма спектра, характерная для пятивалентных актинидов. Кроме того, с образца $Mn_{0.5}NpO_2CO_3$ были сняты спектры рентгеновского поглощения с K края Mn. Результаты XANES (рисунок 33) подтвердили степень окисления Mn(II) в твёрдой фазе двойного карбоната Np(V) с марганцем, о чём свидетельствует положение белой линии на энергии 6550 эВ, как и у приведённых стандартов $MnSO_4$. К тому же, форма спектра говорит о высокой симметрии марганца в твёрдой фазе, что свидетельствует об октаэдрическом окружении.

EXAFS спектры образцов $Ca_{0,5}NpO_2CO_3$, $Mg_{0,5}NpO_2CO_3$ и $Mn_{0,5}NpO_2CO_3$ были промоделированы с использование структурной модели $NaNpO_2CO_3 \cdot 3H_2O$ в программном обеспечении IFEFFIT (рисунок 34). Согласно данным EXAFS,

локальное окружение атома Np во всех структурах схоже (Таблица 8). Расстояние от атома Np до аксиального атома кислорода составляет 1,87 Å. В локальном окружении отражающего атома Np присутствует шесть экваториальных атомов кислорода на расстоянии 2,5 Å. На EXAFS спектрах образцов присутствует расщепление пика Np-C в районе 3–4 Å, связанное с различной структурной функцией атомов кислорода карбонатной группы. Результаты показали схожесть локальной структуры NaNpO₂CO₃·3H₂O и карбонатов $M^{II}_{0,5}$ NpO₂CO₃ (M = Ca²⁺, Mg²⁺, Mn²⁺).

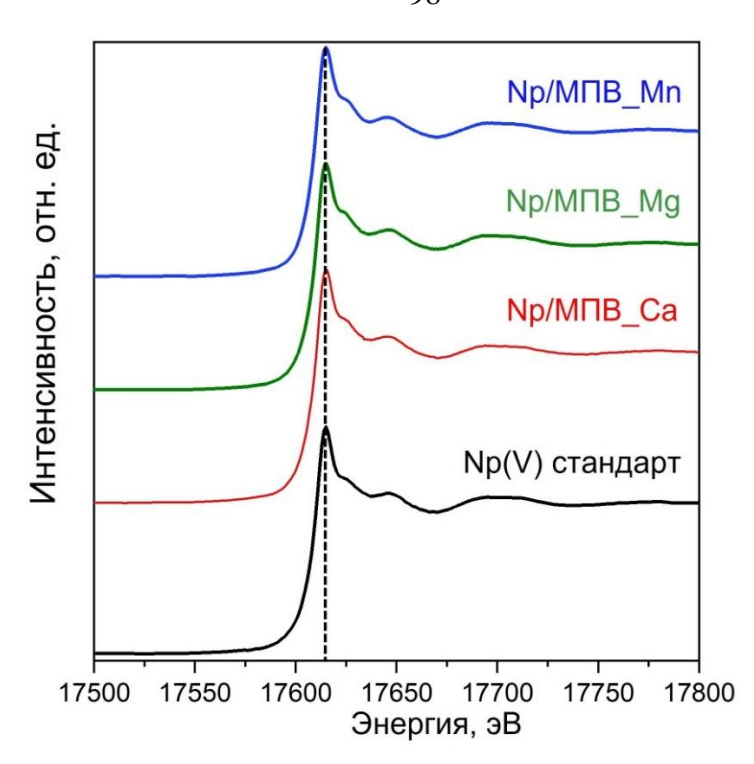


Рисунок 32 — Данные XANES около L_3 края Np для образцов, синтезированных путём осаждения Np из модельных природных растворов различного состава, в сравнении со стандартом Np(V)

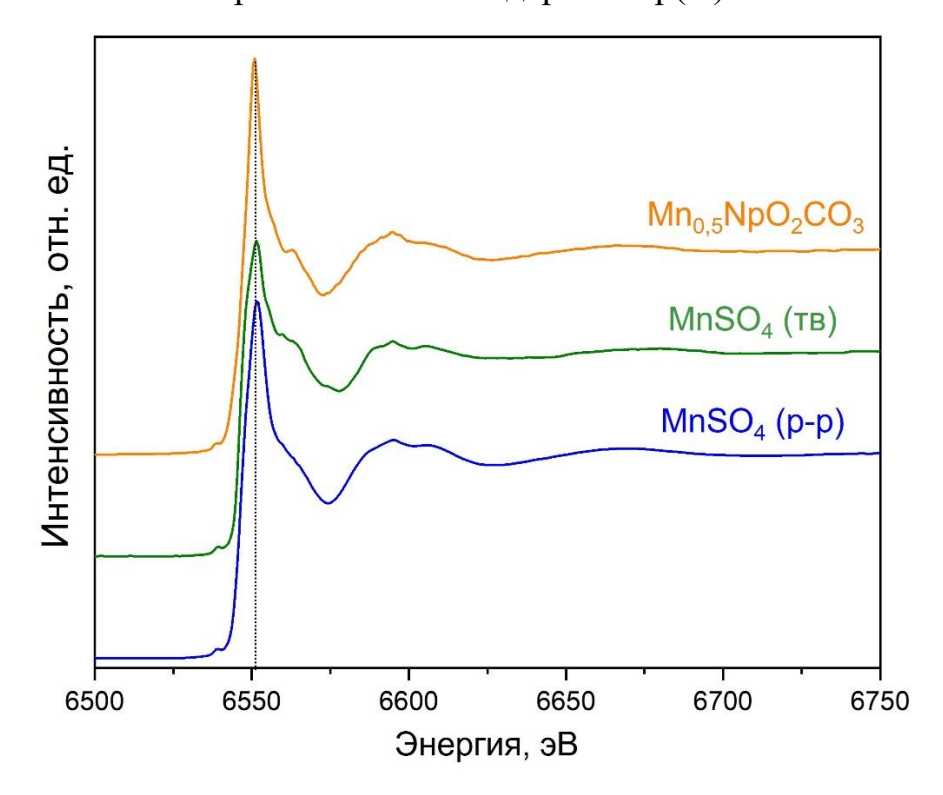


Рисунок 33 — Данные XANES около K края Mn для образца $Mn_{0,5}NpO_2CO_3$ в сравнении со стандартами $MnSO_4$ в растворе и твёрдой фазе [141]

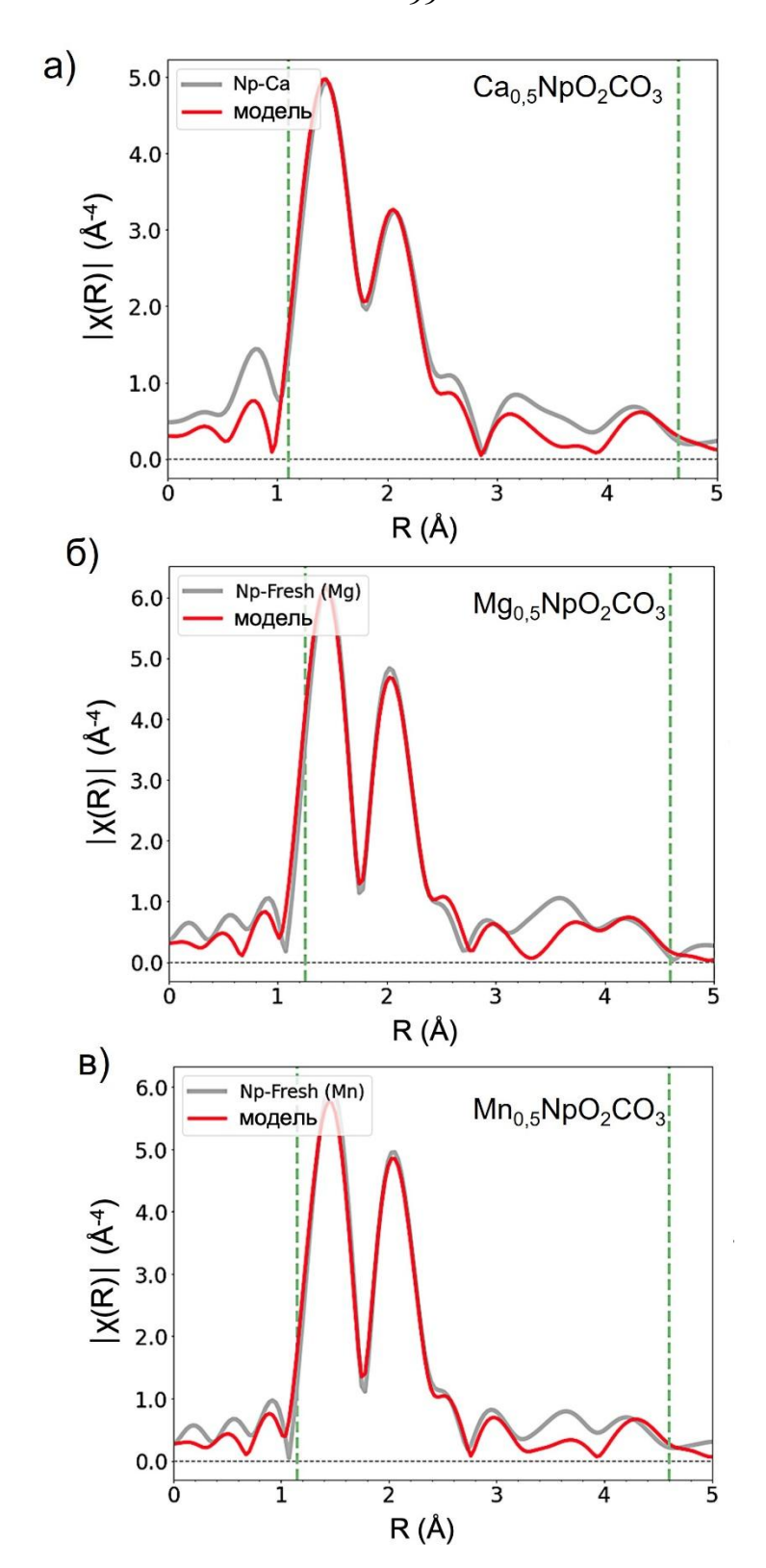


Рисунок 34 – Результаты моделирования экспериментальных EXAFS спектров образцов а) $Ca_{0,5}NpO_2CO_3$, б) $Mg_{0,5}NpO_2CO_3$, в) $Mn_{0,5}NpO_2CO_3$ с использованием структуры $NaNpO_2CO_3$ · $3H_2O$. Пунктирными линями обозначена область моделирования

Таблица 8 – Структурные параметры, полученные в результате подгонки экспериментальных спектров EXAFS

Образец	Координационная оболочка	Координационное число (КЧ)	Межатомные расстояния (R), Å	Межатомные расстояния NaNpO ₂ CO ₃ ·3H ₂ O (R), Å
	Np - Oake	2	1,87	1,82
	$Np - O_{\scriptscriptstyle {\mathfrak{I}\!\!\!\!>} KB}$	6	2,51	2,50
Ca _{0,5} NpO ₂ CO ₃	Np - C	2	2,98	2,94
	Np - C	2	3,32	3,67
	Np - Np	2	4,37	4,34
	$Np - O_{a\kappa c}$	2	1,87	1,82
	$Np - O_{_{\mathfrak{I}KB}}$	6	2,53	2,50
Mas NpOsCOs	Np - C	2	2,92	2,94
Mg _{0,5} NpO ₂ CO ₃	Np - C	2	3,52	3,67
	Np - Np	2	4,38	4,34
	$Np - O_{a\kappa c}$	2	1,87	1,82
Mn _{0,5} NpO ₂ CO ₃	$Np - O_{\scriptscriptstyle \mathfrak{R}B}$	6	2,53	2,50
	Np – C	2	2,93	2,94
	Np – C	2	3,42	3,67
	Np - Np	2	4,39	4,34

Согласно литературным данным о двойных карбонатах Np(V) с моновалентным катионом в структуре, радиус катиона оказывает влияние на структуру анионного слоя, содержащего нептуний. Крупные катионы, такие как K^+ , NH_4^+ и др., формируют двойные карбонаты Np(V) с гексагональным типом анионного слоя, тогда как маленькие катионы, например Na^+ и Li^+ , формируют двойные карбонаты Np(V) с ромбическим анионным слоем [6,7,112]. В рамках данной работы впервые показано, что двухвалентные катионы, такие как Mg^{2+} (0,72 Å), Mn^{2+} (0,73 Å) и Ca^{2+} (1,00 Å), при встраивании в структуру двойных карбонатов Np(V) также образуют слоистые соединения с ромбическим типом анионного слоя, так как их радиус близок к радиусу Na^+ (1,02 Å) [142]. Наблюдаемое сходство в структуре при инкорпорации различных катионов говорит о том, что эта закономерность применима не только к моновалентным, но и к двухвалентным катионам, что важно для понимания и предсказания структурных особенностей в данном типе соединений.

3.3 Определение константы равновесия реакции растворения Mg_{0,5}NpO₂CO₃

Важно отметить, что на данный момент в литературе произведения растворимости представлены только для фаз $KNpO_2CO_3$ и для $NaNpO_2CO_3$ · xH_2O . Для моделирования миграции нептуния от хранилищ PAO в окружающую среду необходимы значения термодинамических параметров образующихся фаз, в частности – произведение растворимости.

экспериментов по исследованию растворимости твёрдой $Mg_{0.5}NpO_2CO_3\cdot 6H_2O$ был использован образец, полученный методом ионного обмена. Эксперименты проводились в режиме недонасыщения при температуре 22±2°С. Твёрдая фаза помещалась в флаконы, содержащие раствор 0,01 М или 0,05 M NaClO₄ с различными значениями рН в диапазоне от 7 Предварительно все растворы насыщались углекислым путём газом барботирования воздуха в течение трёх часов. Концентрация растворённого СО2 была определена при помощи анализатора растворённого неорганического углерода. Зависимость логарифма концентрации углекислого газа в растворе от значений рН (рисунок 35) описывается уравнением (13):

$$\lg[CO_2] = -14.2 + 2.2 \times pH - 0.11 \times pH^2 \tag{13}$$

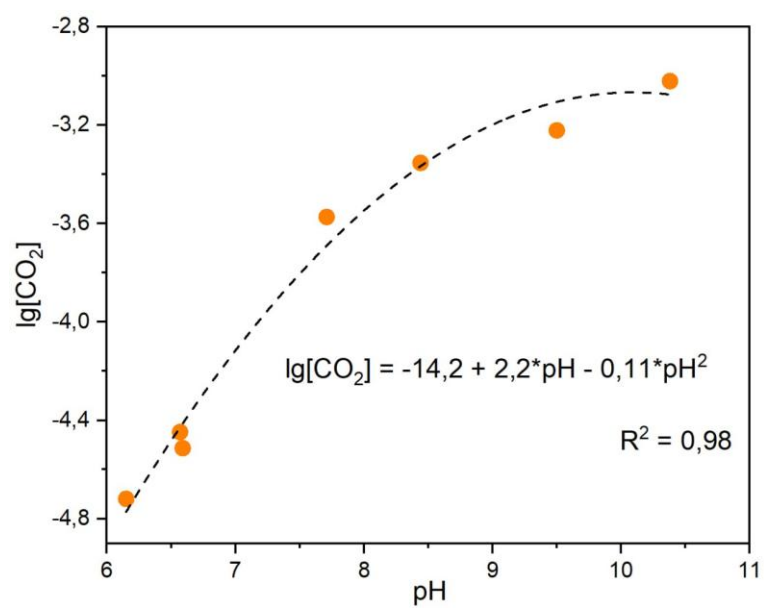


Рисунок 35 – Зависимость концентрации углекислого газа от значений рН в растворах 0,01 M NaClO₄, насыщенных CO₂

Концентрацию Np в надосадочном растворе определяли после двух дней проведения эксперимента. Полученные кривые растворения для двух ионных сил представлены на рисунке 36. Концентрация нептуния в растворе зависит от значения кислотности раствора и уменьшается с увеличением pH. Такое поведение нептуния связано с образованием различных физико-химических форм при варьировании pH. Спектрофотометрически было показано (рисунок 36 б, д), что при pH < 8 Np существует в форме водного нептунил-катиона NpO₂⁺, что подтверждается наличием одного пика поглощения при 980 нм, а процесс растворения протекает в соответствии с реакцией (14):

$$Mg_{0.5}NpO_2CO_3 + H_2O \rightleftharpoons 0.5Mg^+ + NpO_2^+ + HCO_3^- + OH^-$$
 (14)

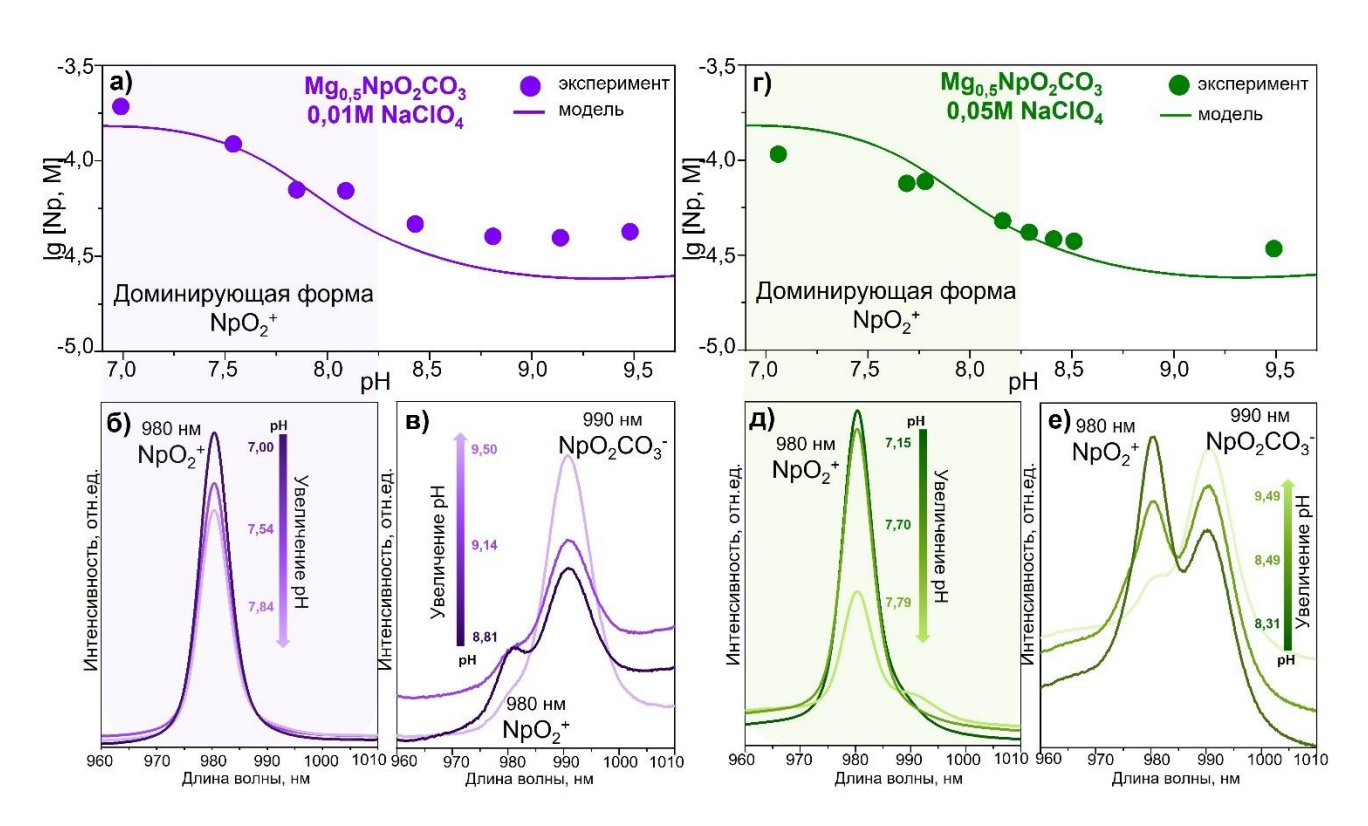


Рисунок 36 — Зависимость экспериментальных концентраций lg[Np] в надосадочном растворе от значений рН в 0,01 М (а) и 0,05 М (г) растворах NaClO₄ с термодинамическим моделированием кривой растворимости; данные спектрофотометрии надосадочных растворов для различных значений рН в 0,01 М (б, в) и 0,05 М (д, е) NaClO₄

При рН > 8 наблюдается наличие второго пика поглощения на длине волны 990 нм, а также постепенное увеличение интенсивности этой полосы поглощения с увеличением значения рН (рисунок 36 в, е). Как видно из экспериментальных данных, концентрация Np в растворе при значениях рН более 8 существенно не Увеличение интенсивности изменяется. полосы поглощения данным спектрофотометрии можно объяснить постепенным увеличением количества карбонатного комплекса пятивалентного нептуния с увеличением значения рН и концентрации карбонатов в растворе. В этом диапазоне рН доминирующей формой нептуния является NpO₂CO₃⁻. Положение полосы поглощения NpO₂CO₃⁻ на длине литературными волны 990 также подтверждается данными Термодинамическое моделирование экспериментальных данных, основанное на уравнении (14), с учётом дальнейшего комплексообразования нептуния и карбоната было проведено с учетом концентраций анионов нептуния, магния и карбоната в растворе. Возможные комплексы Np в растворе, включенные в термодинамическое моделирование, с соответствующими уравнениями константами приведены в таблице 9. Результаты моделирования адекватно описывают полученные экспериментальные данные и представлены на рисунке 36 (а, г). Произведение растворимости, полученное в результате моделирования, равно $\Pi P = -15.9 \pm 0.2$. Распределение физико-химических форм нептуния в зависимости от рН растворе также было получено ПО термодинамического моделирования. Данные моделирования хорошо согласуются с экспериментальными результатами (рисунок 37), рассчитанными для частиц NpO_2^+ NpO_2CO_3 ПО данным спектрофотометрии c использованием коэффициентов экстинкции для этих форм, приведенных в литературе [143].

Таблица 9 — Уравнения образования возможных физико-химических форм нептуния и соответсвующие константы равновесия, включённые в термодинамическое моделирование

Уравнение	lgK°
$CO_3^{2-} + NpO_2^+ \rightleftarrows NpO_2CO_3^-$	4,96
$2\mathrm{CO_3}^{2\text{-}} + \mathrm{NpO_2}^+ \rightleftarrows \mathrm{NpO_2}(\mathrm{CO_3})_2^{3\text{-}}$	6,53
$2CO_3^{2-} + H_2O + NpO_2^+ \rightleftarrows NpO_2(CO_3)_2OH_4^- + H^+$	-5,3
$3\mathrm{CO_3}^{2\text{-}} + \mathrm{NpO_2}^+ \rightleftarrows \mathrm{NpO_2}(\mathrm{CO_3})_3^{5\text{-}}$	5,5
$H_2O + NpO_2^+ \rightleftarrows NpO_2OH + H^+$	-11,3
$2H_2O + NpO_2^+ \rightleftarrows NpO_2(OH)_2^- + 2H^+$	-23,6

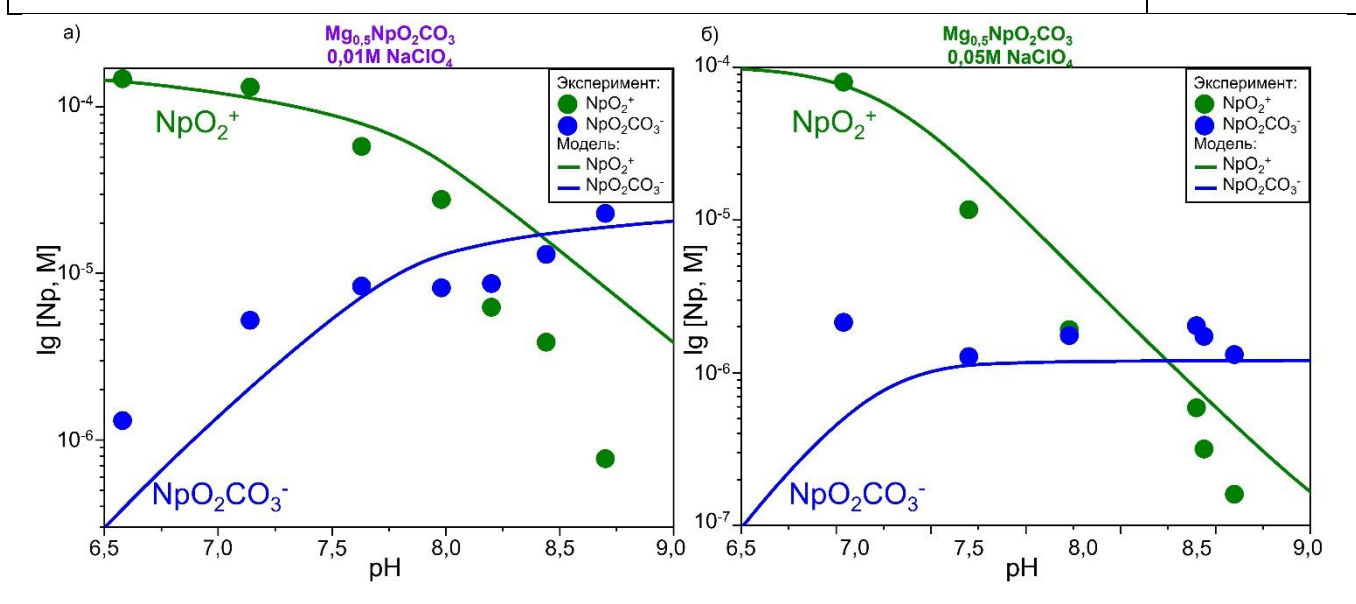


Рисунок 37 — Физико-химические формы Np в растворах экспериментов по исследованию растворимости фазы Mg0,5NpO2CO3 в а) 0,01 М и б) 0,05 М NaClO₄. Точками представлены экспериментальные результаты расчёта физико-химических форм нептуния из спектрофотометрических данных, линиями обозначено термодинамическое моделирование присутствия различных форм

После двух дней эксперимента по исследованию растворимости фазы $Mg_{0,5}NpO_2CO_3$ наблюдались изменения концентрации Np в растворе (рисунок 38a), которые не коррелировали с изменениями содержания Mg (рисунок 386), и при этом было отмечено значительное увеличение содержания K в растворе (рисунок

38в). По-видимому, основным источником калия в системе был раствор КСІ, которым был заполнен электрод, используемый для измерения значений рН, что было доказано холостыми экспериментами по выдерживанию электрода в водном растворе, где наблюдался значительный рост концентрации калия при увеличении 38_Γ). Eh времени выдерживания электрода (рисунок Значения pН контролировались при каждом отборе проб в ходе эксперимента по растворению $Mg_{0,5}NpO_2CO_3\cdot 6H_2O$, приводило что К постепенному насыщению экспериментального надосадочного раствора калием. Наблюдаемые изменения поведения элементов в растворе позволяет предположить, что увеличение количества калия в системе влияет на фазу, которая определяет растворимость нептуния в этой системе: изменение концентрации нептуния было вызвано изменением концентрации калия.

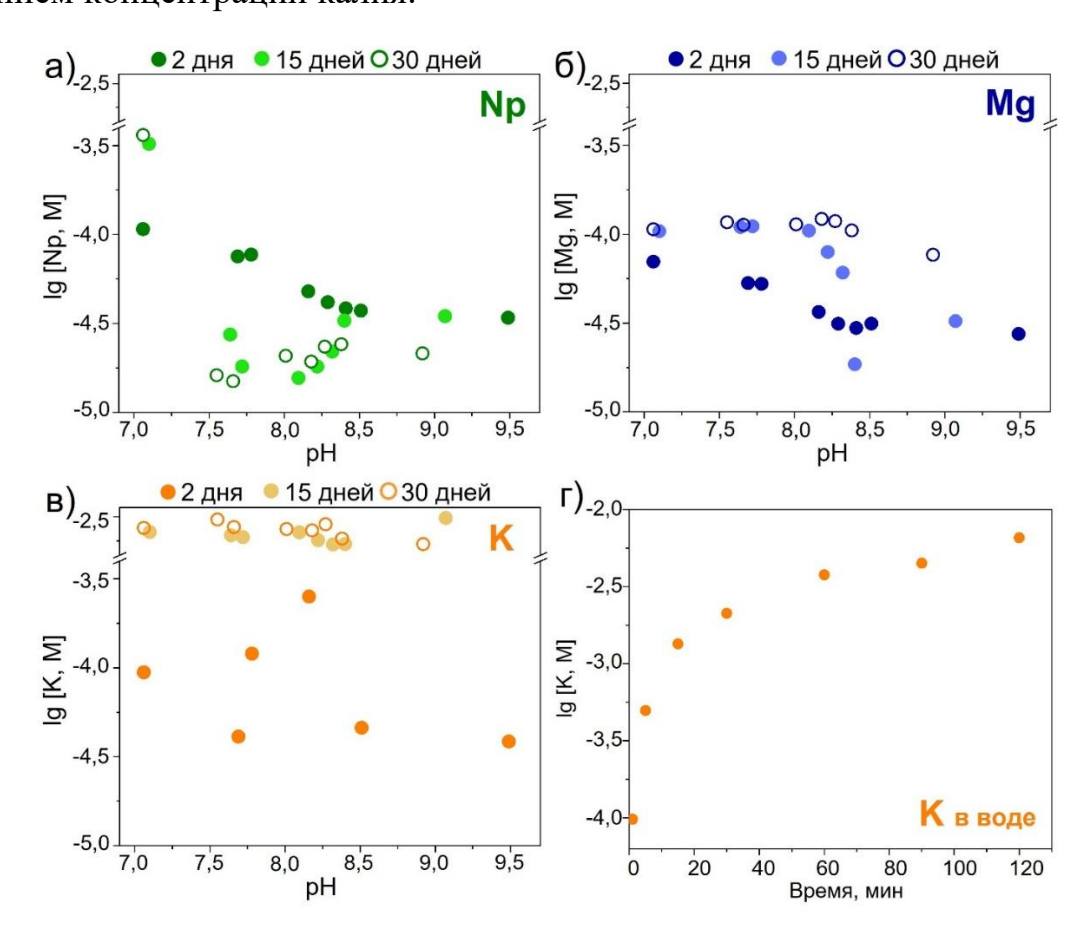


Рисунок 38 – Зависимость концентрации элемента от значения pH в надосадочных растворах в различные промежутки времени для: а) Np, б) Mg и в) K; г) рост концентрации калия в воде Milli-Q с увеличением времени выдерживания электрода в растворе

проведения экспериментов по одного месяца исследованию растворимости, твёрдая фаза отделялась от надосадочной жидкости и была охарактеризована методами порошковой рентгеновской дифракции и растровой электронной микроскопии. Данные РД для твердых фаз после экспериментов с растворимостью продемонстрировали дифракционные картины, идентичные твердой фазе КNpO₂CO₃ (рисунок 39а). Данные ЭДС подтвердили присутствие катионов калия в твердой фазе при одновременном отсутствии магния (рисунок 39а, на врезке). РЭМ-изображения (рисунок 39б) продемонстрировали образование гексагональных пластин, характерных для гексагональной структуры КNpO₂CO₃ [144]. На основании представленных результатов можно сделать вывод, что постепенное высвобождение калия из растворов во время измерений рН/Еһ привело к полному превращению $Mg_{0.5}NpO_2CO_3 \cdot xH_2O$ в твердую фазу $KNpO_2CO_3$ во всех экспериментальных растворах. Переформирование фазы также объясняет изменения концентрации магния в растворе, поскольку магний полностью высвобождается из твердой фазы в раствор.

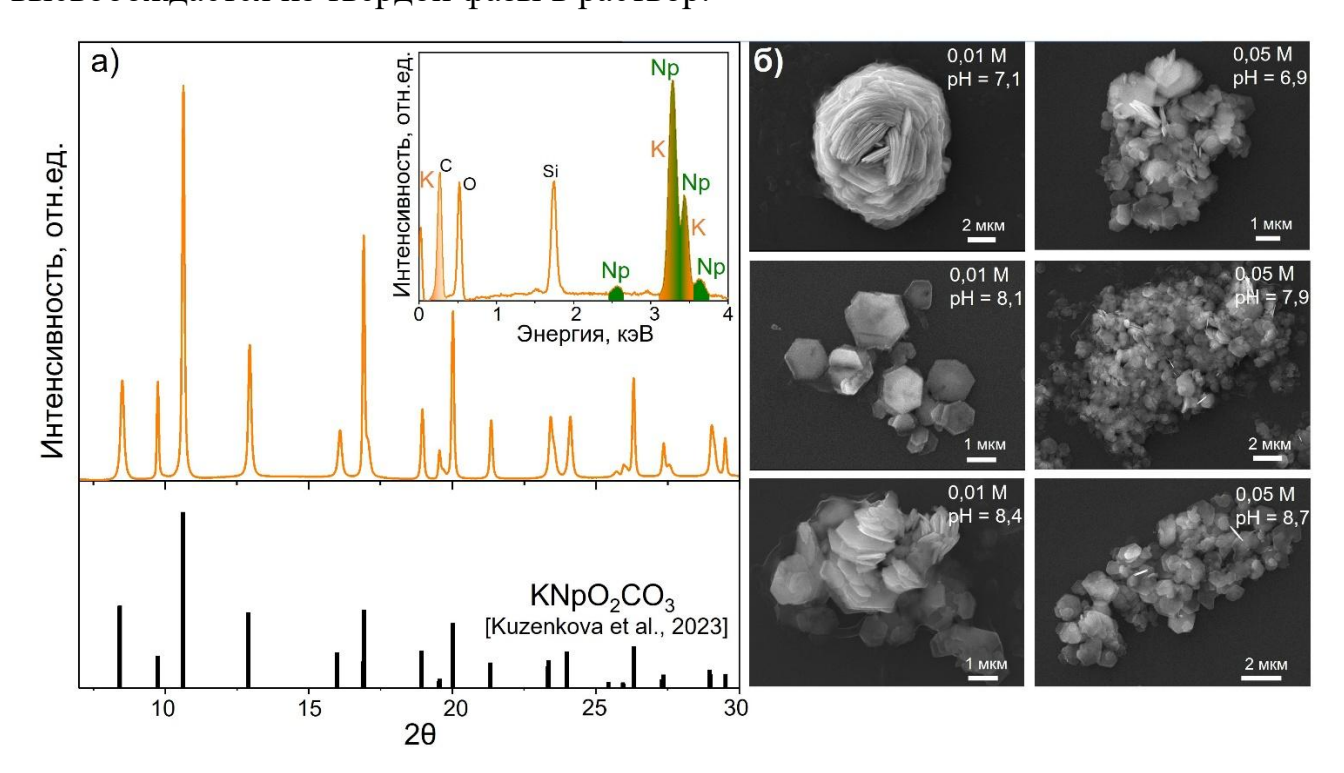


Рисунок 39 — Экспериментальные результаты после 1 месяца проведения эксперимента по исследованию растворимости $Mg_{0,5}NpO_2CO_3$: а) данные РД в ЭДС, б) РЭМ изображения твёрдых фаз из растворов различного состава

Сравнивая литературные данные констант растворимости фазы $KNpO_2CO_3$ (ПР = $-13,15\pm0,19$ [10]) и данные, полученные в представленной работе для $Mg_{0,5}NpO_2CO_3\cdot xH_2O$ (ПР = $-15,9\pm0,2$), можно предположить, что двойной карбонат Np(V) с магнием должен быть более термодинамически стабильным, чем твердая фаза, содержащая калий. Тем не менее, представленные результаты твердофазного превращения $Mg_{0,5}NpO_2CO_3\cdot xH_2O$ в ходе экспериментов по растворимости указывают на необходимость уточнения константы растворимости $KNpO_2CO_3$. Поэтому были проведены новые эксперименты по исследованию растворимости $KNpO_2CO_3$ в 0,01 М растворе $KHCO_3/K_2CO_3$. Изменение соотношения бикарбоната и карбоната калия позволяет устанавливать различные значения pH при постоянной концентрации калия и карбоната.

40) Представленные экспериментальные (рисунок результаты демонстрируют достаточно низкую растворимость твердой фазы КNpO₂CO₃ по сравнению с карбонатом Mg-Np. В данных условиях нептуний преимущественно присутствует в растворе в виде форм NpO₂CO₃- (рисунок 40б), и его концентрация находится на уровне $\sim 10^{-6}$ M при [K] = 0.01 - 0.016 M. Константа растворимости $KNpO_2CO_3$ была рассчитана как $\Pi P = -16,53 \pm 0,10$. В расчеты были включены все известные на сегодняшний день физико-химические формы нептуния, которые могут существовать в этих условиях (рисунок 40б, таблица 9). Использование карбонатных буферов с фиксированными концентрациями калия и карбонатов, а также учет присутствия различных форм нептуния позволяют предположить, что полученные результаты являются достаточно надежными. Представленная ошибка обусловлена изменениями значения константы при расчете каждого конкретного значения рН в соответствии с общим уравнением (15):

$$KNpO_2CO_3 \rightleftarrows K^+ + NpO_2^+ + CO_3^{2-}$$

$$\tag{15}$$

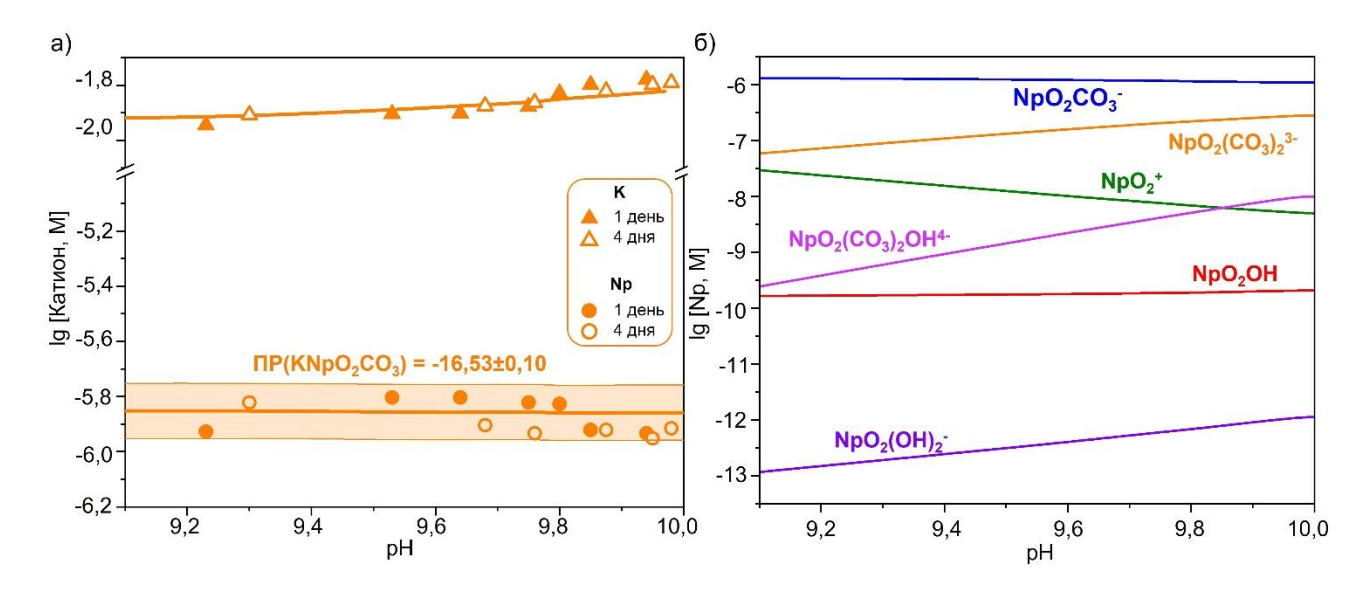


Рисунок 40 — Растворимость твёрдой фазы KNpO₂CO₃. А) зависимость логарифма концентраций калия и нептуния в растворе от значений рН и времени эксперимента, б) распределение возможных физико-химических водных форм Np при растворимости фазы KNpO₂CO₃

Сравнивая константы растворимости, рассчитанные по представленным двойных карбонатов Np(V)экспериментальным данным для $(\Pi P(Mg_{0.5}NpO_2CO_3\cdot xH_2O) = -15.9 \pm 0.2)$ и калием $(\Pi P(KNpO_2CO_3) = -16.53 \pm 0.10)$, фаза KNpO₂CO₃ более онжом заключить, что твердая должна быть термодинамически стабильной, чем $Mg_{0.5}NpO_2CO_3\cdot xH_2O_1$ было продемонстрировано в настоящей работе. Принимая во внимание полученные карбонатов K-Np Mg-Np, твердофазное константы превращение ДЛЯ И Mg_{0.5}NpO₂CO₃·хH₂O в растворе NaClO₄ с увеличением [K] было подтверждено и продемонстрировано на рисунке 41. Соответствие экспериментальных наблюдений и расчетов подчеркивает достоверность полученных данных. Кроме того, рассчитанная константа растворимости $KNpO_2CO_3$ значительно ниже констант, $lgK_s^{\circ}(KNpO_2CO_3)$ представленных В литературе: -13.15 ± 0.19 , $lgK_s^{\circ}(KNpO_2CO_3\cdot xH_2O) = -10{,}30\pm 2{,}00$. Такое расхождение данных указывает на необходимость более детальных исследований растворимости фаз карбоната нептуния и уточнения констант, имеющихся в термодинамической базе данных.

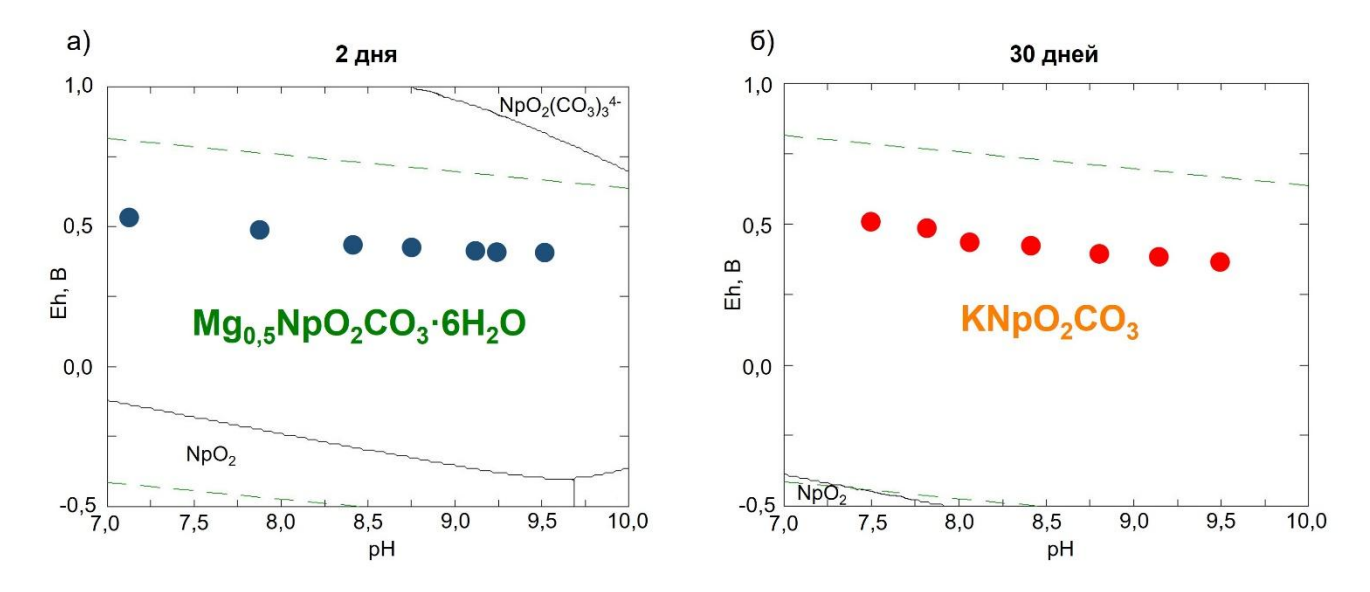


Рисунок 41 — Диаграммы Пурбе для Np, демонстрирующие доминирующие фазы в растворах с параметрами эксперимента по растворимости твердой фазы $Mg_{0.5}NpO_2CO_3\cdot 6H_2O$ в 0,05 M растворе $NaClO_4$ ([Np] = 0,3 мM, [Mg] = 0,15 мM) с различной концентрацией калия и точками эксперимента (синие и красные кружки) соответствующие а) 2-му дню, [K] = 0,07 мМ и 6) 30-му дню, [K] = 2,4 мМ

Для достоверного описания миграционного поведения Np в окружающей при его взаимодействии с основными компонентами, необходимо дополнение термодинамических данных ещё одной константой растворимости для твёрдой фазы Ca_{0,5}NpO₂CO₃·4H₂O. Были проведены эсперименты по исследованию растворимости Са-Np карбонатной фазы в режиме недонасыщения в растворе $0.01 \, \mathrm{M}$ NaClO₄, аналогично экспериментам Mg-Np карбонатом. cисследовании растворимости наблюдалось образование двух побочных продуктов, влияющих на поведение растворимости нептуния: переформирование фазы в при постепенном поступлении К+ из электрода, KNpO₂CO₃ экспериментам с $Mg_{0.5}NpO_2CO_3\cdot 6H_2O$, а также образование малорастворирмого соединения кальцита $CaCO_3$ (ПР = -8,42 [145]) при pH > 9. На рисунке 42 представлены результаты экспериментов по исследованию растворимости фазы двойного карбоната Np(V) с кальцием в сравнении с растворимостью фазы Mg-Np карбоната. Проведено термодинамическое моделирование полученных данных, установлена константа реакции растворения $\Pi P(Ca_{0.5}NpO_2CO_3) = -15,4 \pm 0,2.$

Кривая растворимости кальциевого карбоната с нептунием лежит выше, чем магниевого, что говорит о большей термодинамической устойчивости фазы $Mg_{0.5}NpO_2CO_3$, по сравнению с $Ca_{0.5}NpO_2CO_3$.

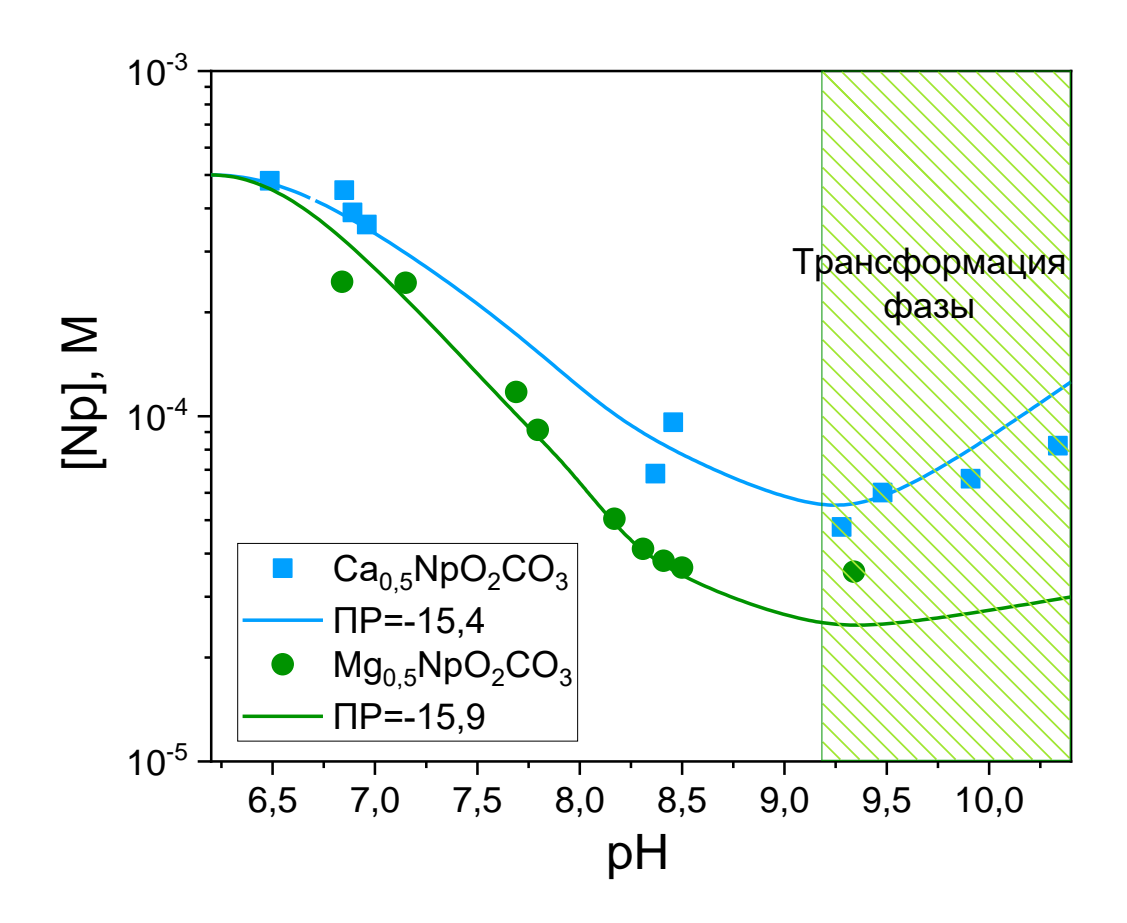


Рисунок 42 — Сравнение поведения растворимости твёрдых фаз $Ca_{0,5}NpO_2CO_3\cdot 4H_2O$ и $Mg_{0,5}NpO_2CO_3\cdot 6H_2O$. Точками обозначены экспериментальные данные, линиями — термодинамическое моделирование

3.4 Сравнение структур и свойств соединений двойных карбонатов Np(V)

При сравнении структур двойных карбонатов Np(V) с катионами K^+ , Na^+ , Mg^{2+} и Ca^{2+} наблюдается, что дифракционные картины соединений с магнием, натрием и кальцием схожи, но значительно отличаются от K-Np карбоната (рисунок 43a). У соединений с магнием, натрием и кальцием наблюдается интенсивный дифракционный пик на малых углах, который указывает на большое расстояние между слоями, где координируется катион и молекулы воды. Расстояние между нептуний-карбонатными слоями структуры $NaNpO_2CO_3 \cdot 3H_2O$

равно \sim 10 Å. В случае структуры с калием это расстояние практически в 2 раза меньше, \sim 5 Å. Аналогичные различия заметны и при описании локального окружения Np в представленных структурах (рисунок 43б). Помимо аксиального кислорода, экваториального кислорода и углерода, на расстоянии \sim 4 Å наблюдается рассеяние Np...Np для соединений с кальцием, магнием и натрием. Для соединения KNpO₂CO₃ это расстояние уже больше \sim 5 Å. Кроме того, у калиевого соединения наблюдается присутствие межслоевого катиона K^+ в ближайшем окружении Np.

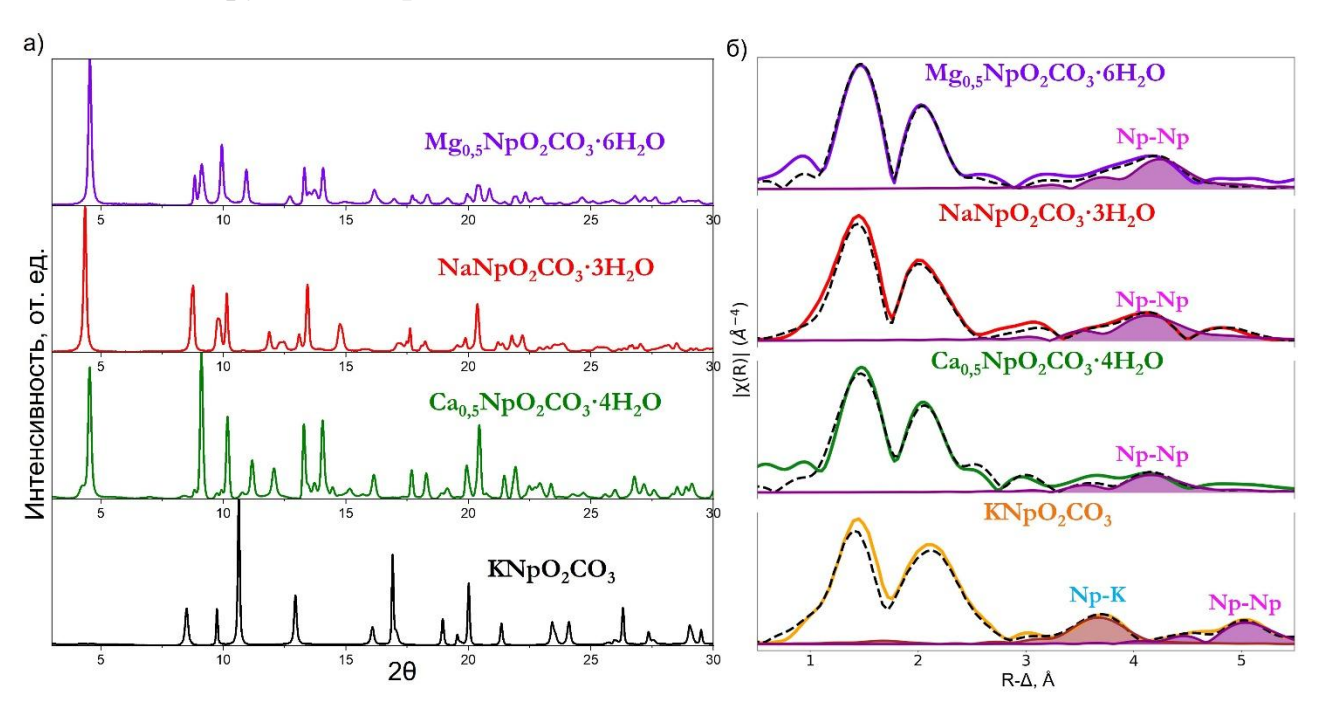


Рисунок 43 — Сравнение а) дифракционных картин и б) EXAFS спектров для соединений двойнах карбонатов Np(V) с Mg²⁺, Na⁺, Ca²⁺, K⁺

Установлено, что соединения двойных карбонатов Np(V) с Mg^{2+} , Na^+ и Ca^{2+} обладают схожей структурой слоя «Na-типа», в которой нептуний координируется 4-мя карбонат-анионами: двумя бидентатно и двумя монодентатно. В соединении $KNpO_2CO_3$ слой обладает структурой «K-типа», где нептуний координируется тремя карбонат-анионами бидентатно. Аналогичной структурой с слоем «K-типа» обладает соединение $NH_4NpO_2CO_3[7]$. Такое различие в структурах может быть связано с размерами катионов, находящихся между слоями: $r(Mg^{2+}) = 0.65$ Å, $r(Na^+) = 0.95$ Å, $r(Ca^{2+}) = 0.99$ Å, $r(K^+) = 1.33$ Å и $r(NH_4^+) = 1.42$ Å [146]. Так как катион, встраиваясь в структуру, координируется в образуемых «порах» нептуний-

карбонатного слоя, структуру результирующей твёрдой фазы будет определять размер поры в слое и межслоевого катиона (рисунок 44). В структуре слоя «Nатипа» максимальный радиус катиона (радиус вписанной окружности) равен 1,05 Å, а в структуре слоя «К-типа» — 1,47 Å. Вероятно, именно эти структурные параметры оказывают дальнейшее влияние на предпочтительную структуру слоя при формировании твёрдой фазы и координации катиона между слоями.

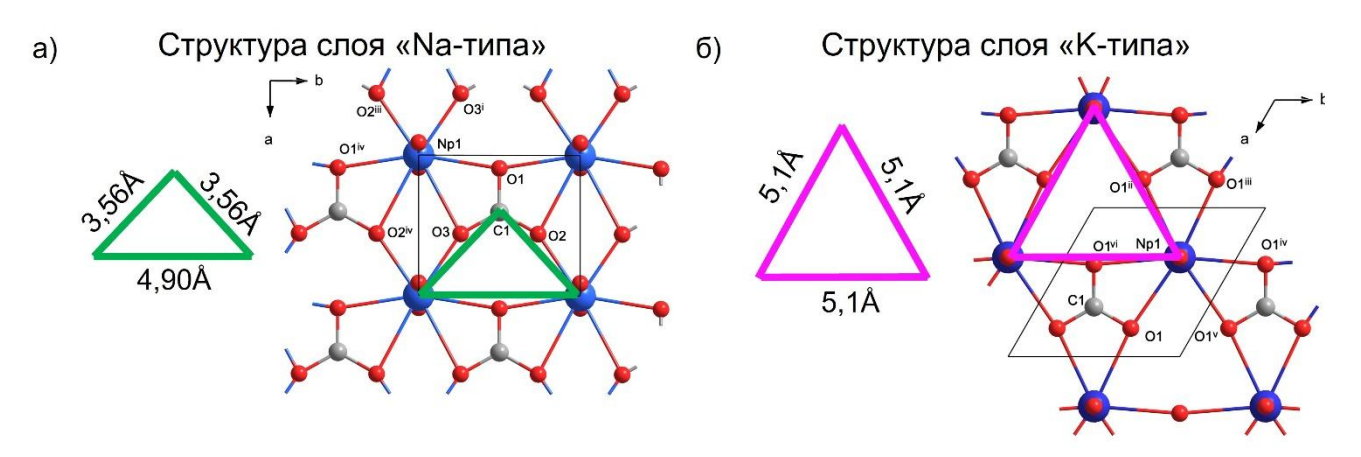


Рисунок 44 – Структуры слоёв в соединении а) NaNpO₂CO₃·3H₂O и б) KNpO₂CO₃ с геометрическим описанием размера «пор»

работе: Анализируя полученные данной все константы В $\Pi P(Ca_{0.5}NpO_2CO_3) = -15.4 \pm 0.2,$ $-15,9 \pm 0,2$ $\Pi P(Mg_{0,5}NpO_2CO_3)$ $\Pi P(KNpO_2CO_3) = -16.53 \pm 0.10$, и литературные данные для соединения с натрием $(\Pi P(NaNpO_2CO_3) = -11,0)$ можно утверждать, что соединение $KNpO_2CO_3$ обладает наибольшей термодинамической стабильностью в ряду двойных карбонатов Np(V) с катионами K^+ , Na^+ , Mg^{2+} и Ca^{2+} , что может быть связано с его более стабильной структурой, большим катионом калия и наименьшим расстоянием между нептуний-карбонатными слоями.

3.5 Поведение Pu(VI) в водных растворах

В работе была исследована кинетика осаждения Pu(VI) (10⁻⁴ M) в диапазоне значений pH от 2 до 12. Значение pH устанавливалось с использованием NaOH.

В растворах с рH < 6 наблюдалось крайне медленное осаждение твёрдой фазы из раствора, причём при понижении значения рH кинетика осаждения значительно снижалась (рисунок 45a). Так, например, при рH = 4 за 10 месяцев

выпало только 50% плутония. При pH = 2 осаждение практически не наблюдается в течение 50 месяцев. Такое же медленное осаждение из раствора, как и при малых pH, наблюдалось и при pH = 12: плутоний постепенно осаждался в течение 7 месяцев.

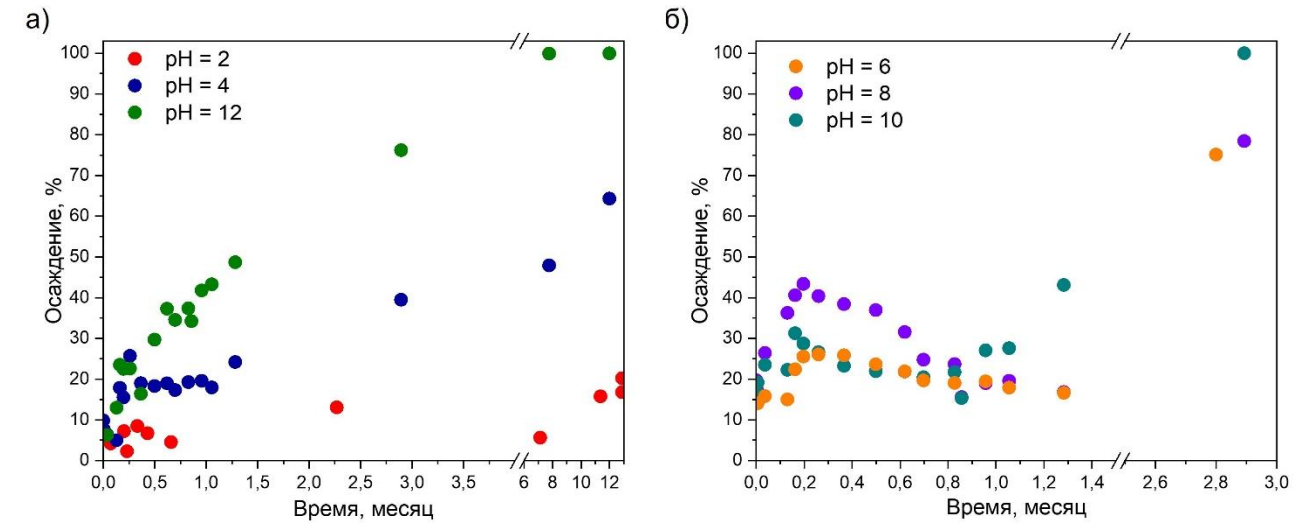


Рисунок 45 – Зависимость общей концентрации Pu(VI) от времени в растворах с различными начальными значениями рH:

а)
$$pH = 2$$
, 4 и 12, б) $pH = 6$, 8 и 10

В растворах с начальными рН от 6 до 10 наблюдалось сначала медленное осаждение в течение 5-7 дней, затем медленное растворение образовавшейся твёрдой фазы за ~ 30 дней и повторное осаждение в течение 1 месяца (рисунок 45б). При этом, в процессе эксперимента значения рН постепенно снижались и приближались к рН ~ 6 . Вероятнее всего, снижение рН происходило из-за постепенного растворения карбоната воздуха в растворах.

В процессе экспериментов при помощи спектрофотометрии в видимом и ближнем ИК диапазоне контролировалось образование различных физико-химических форм плутония. На рисунке 46 представлено теоретическое распределение форм Pu(VI) при различных значениях pH, рассчитанные на основании литературных данных по константам гидролиза. Так, при pH = 2,0 и pH = 4,2 ожидается преобладание формы PuO_2^{2+} . При pH = 6,7 ожидается преобладание PuO_2OH^+ , а при pH = 8,9 и pH = 9,4 ожидается наибольшее содержание формы $PuO_2(OH)_2$.

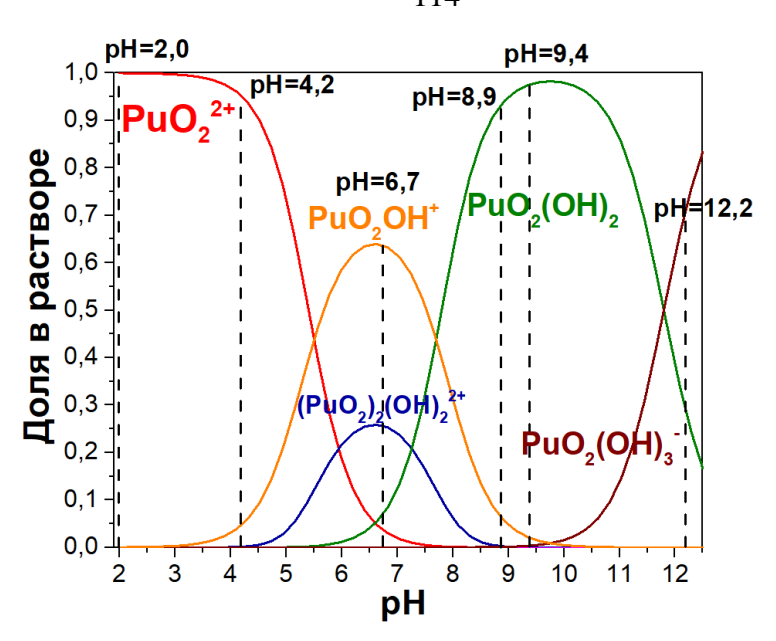


Рисунок 46 — Физико-химические формы Pu(VI) в растворе в широком диапазоне pH ($[Pu(VI)]=10^{-4}$ М)

На рисунке 47 представлены спектры поглощения растворов с разными значениями рН, полученные в разные промежутки времени эксперимента. В растворах при pH = 6, 8 и 10 наблюдается образование трёх гидролизных форм: $PuO_2(OH)_3^-$, $PuO_2(OH)_2$ и PuO_2OH^+ , причём с течением времени доминирующей физико-химической формой плутония становилась PuO₂OH⁺, как и ожидалось в теоретическом расчёте (рисунок 46). Предположение об образовании именно таких физико-химических форм плутония было выдвинуто на основании согласования положения пиков и полной ширины на полувысоте пика (ПШПВ) с литературными данными (Таблица 10). Значения полуширины на полувысоте пика рассчитывались из теоретического моделирования пиков поглощения тремя функциями Гаусса (рисунок 48). Большие погрешности в определении ПШПВ объясняются низкими концентрациями плутония в растворе, а также сосуществованием одновременно нескольких гидролизных форм Pu(VI), что затрудняло разложение пика поглощения на основные составляющие и определение его параметров.

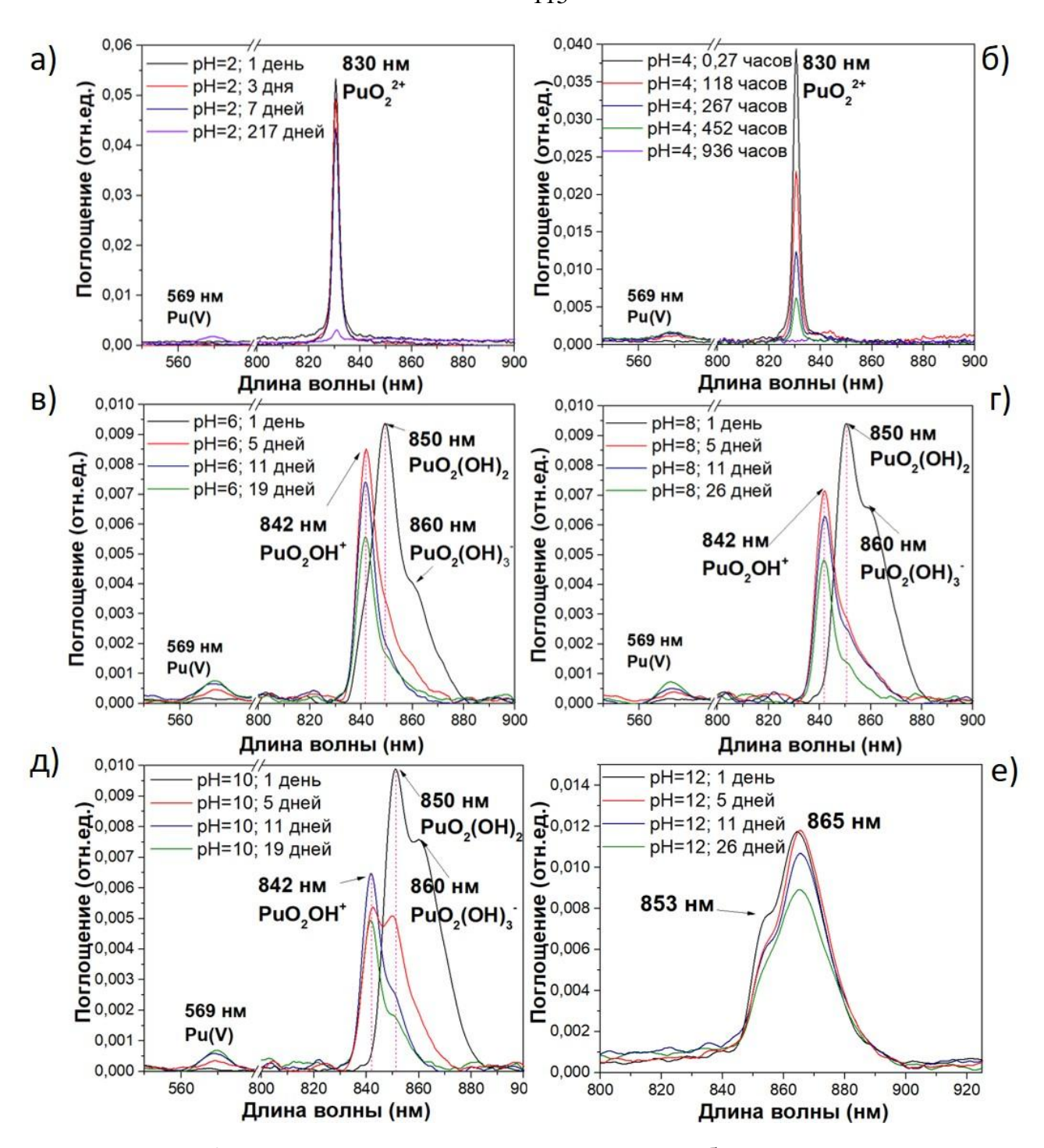


Рисунок 47 — Спектры поглощения в видимом и ближнем ИК диапазоне, снятые с водных растворов Pu(VI) с различными значениями pH: a) pH=2, б) pH=4, в) pH=6, г) pH=8, д) pH=10 и е) pH=12

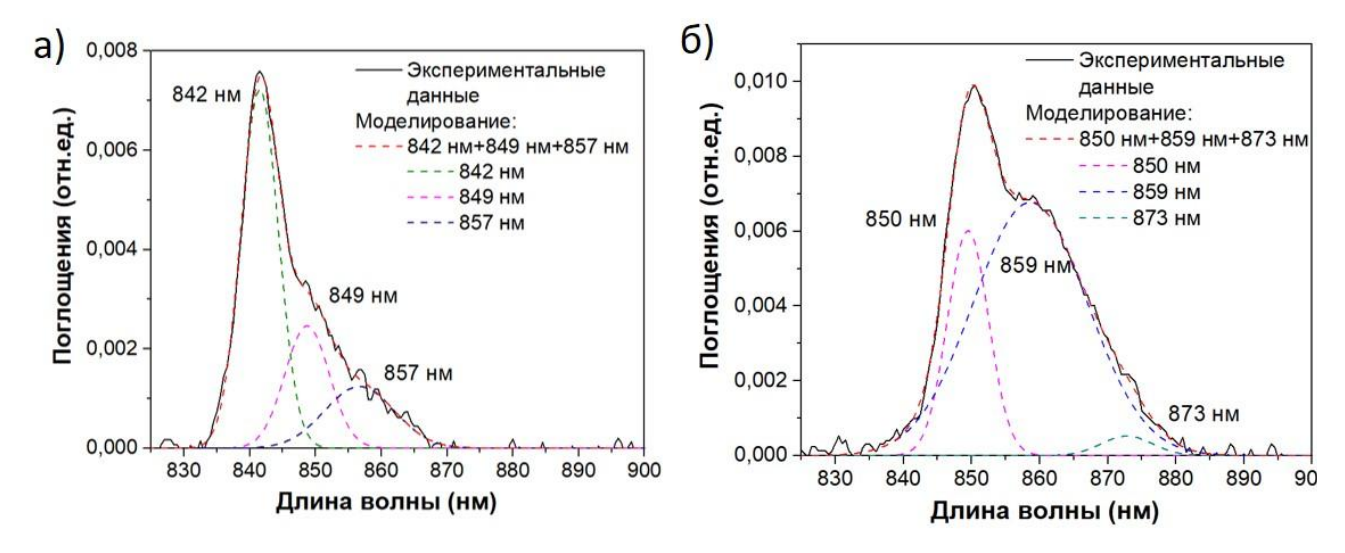


Рисунок 48 – Моделирование спектров поглощения функцией Гаусса на примере спектров раствора Pu(VI) с pH=8 в различные моменты времени а) через 5 дней с момента начала эксперимента и б) в первый день

Таблица 10 — Сравнение экспериментальных данных значений положения пика поглощения и полной ширины на полувысоте для трёх гидролизных форм Pu(VI) с литературными данными

	Форма Pu(VI)	Положение пика, нм	ПШПВ, нм	
Литературные данные [56]	PuO_2OH^+	841,8±0,2	$6,1\pm0,2$	
	$PuO_2(OH)_2$	850,3±0,5	$10,2\pm0,8$	
	$PuO_2(OH)_3^-$	861,2±0,3	11,5±1,4	
	PuO_2OH^+	841,4±0,2	$6,0\pm0,4$	
pH=10	$PuO_2(OH)_2$	849,5±0,5	$8,8\pm2,8$	
	$PuO_2(OH)_3$	857,4±1,7	$16,6\pm2,8$	
	PuO_2OH^+	841,4±0,1	$5,7\pm0,3$	
pH=8	$PuO_2(OH)_2$	847,9±1,2	$12,3\pm3,3$	
	$PuO_2(OH)_3^-$	860,1±2,6	11,8±3,2	
	PuO_2OH^+	841,3±0,3	5,8±0,4	
pH=6	$PuO_2(OH)_2$	847,3±1,5	11,7±3,4	
	$PuO_2(OH)_3^-$	860,5±1,1	10,0±3,1	

В растворе с рH = 12 пики поглощения значительно смещались относительно описанных выше (рисунок 47e), вследствие чего было сделано предположение об образовании олигомерных форм Pu(VI) при высоких значениях pH. К сожалению, в литературе не удалось найти описания подобных явлений. В растворах с pH = 4 и pH = 2 (рисунок 47a, б) наблюдалась только одна полоса поглощения в районе

830 нм, которая указывает на образование PuO_2^{2+} . С течением времени интенсивность пика понижалась из-за уменьшения концентрации Pu(VI) в растворе. Через 900 часов в растворе pH=4 полоса поглощения в районе 830 нм полностью отсутствовала. Важно отметить, что с уменьшением интенсивности полос поглощения различных гидролизных форм Pu(VI) наблюдался постепенный рост полосы поглощения на длине волны 569 нм, отвечающей за присутствие Pu(V) в системе. Появление пятивалентного плутония говорит о постепенном восстановлении Pu(VI) одновременно с осаждением плутония из раствора.

Для более детального исследования процессов краткосрочного осаждения плутония (рисунок 47б) были приготовлены два раствора Pu(VI) при рH = 8 и 10, значения рН в которых постоянно поддерживалось путём добавления аликвот NaOH. Начальная концентрация плутония в растворе была 10⁻⁴ М. В данном случае количественное осаждение плутония из раствора происходило через 2,5 месяца и отсутствовала область растворения твёрдой фазы плутония (рисунок 49).

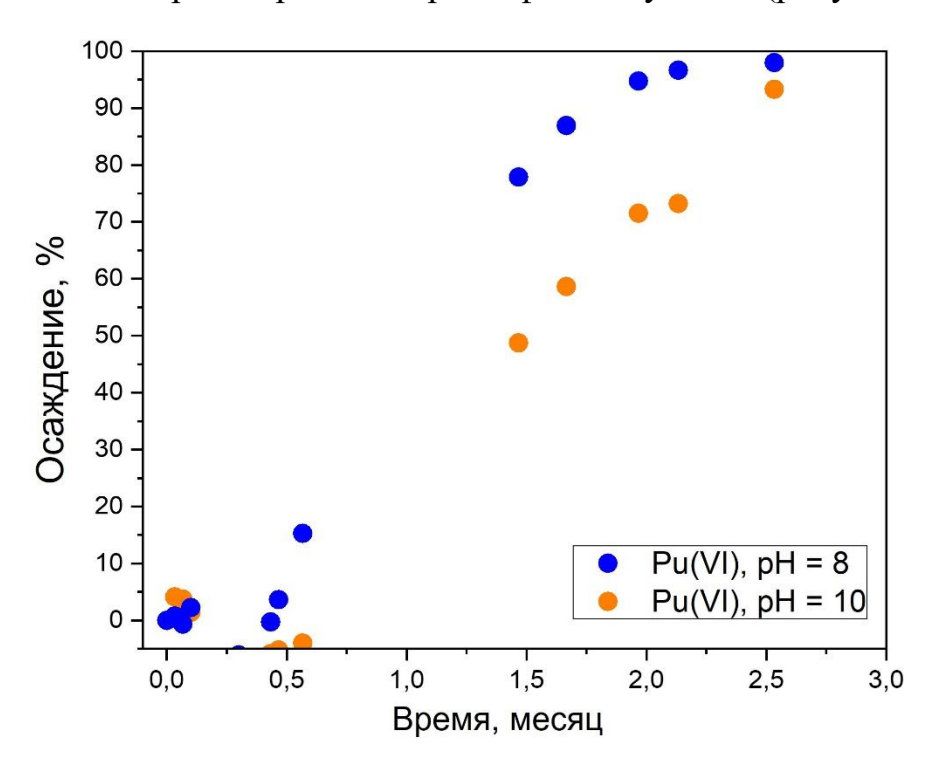


Рисунок 49 – Отношение процента осаждения плутония из раствора от времени при постоянных значениях pH = 8 и 10

Результирующие твёрдые фазы были характеризованы методом РД. На дифрактограммах видно, что в результате осаждения образуются твёрдые фазы высокой кристалличности, о чём говорят узкие интенсивные пики. В целом РД картина схожа с описанной ранее Эллингером и Захариасеном структурой КРиО₂СО₃ [23]. Однако, положения некоторых дифракционных максимумов отличаются от литературных данных. Кроме того, в твёрдой фазе, полученной осаждением из раствора при рН = 10, наблюдается присутствие уширенных пиков (отмечены зелёными звёздочками,рисунок 50). Положение этих пиков совпадает с данными для Ри^{IV}О₂, а ширина пика говорит о наноразмерности частиц диоксида. Интересно отметить, что на основании дифракционных данных можно сказать, что в результирующей твёрдой фазе плутоний находится в степенях окисления Ри(V) или Ри(IV). Вероятно, время лимитирующей стадией осаждения плутония из раствора является восстановление Ри(VI) до Ри(V) и впоследствии до Ри(IV).

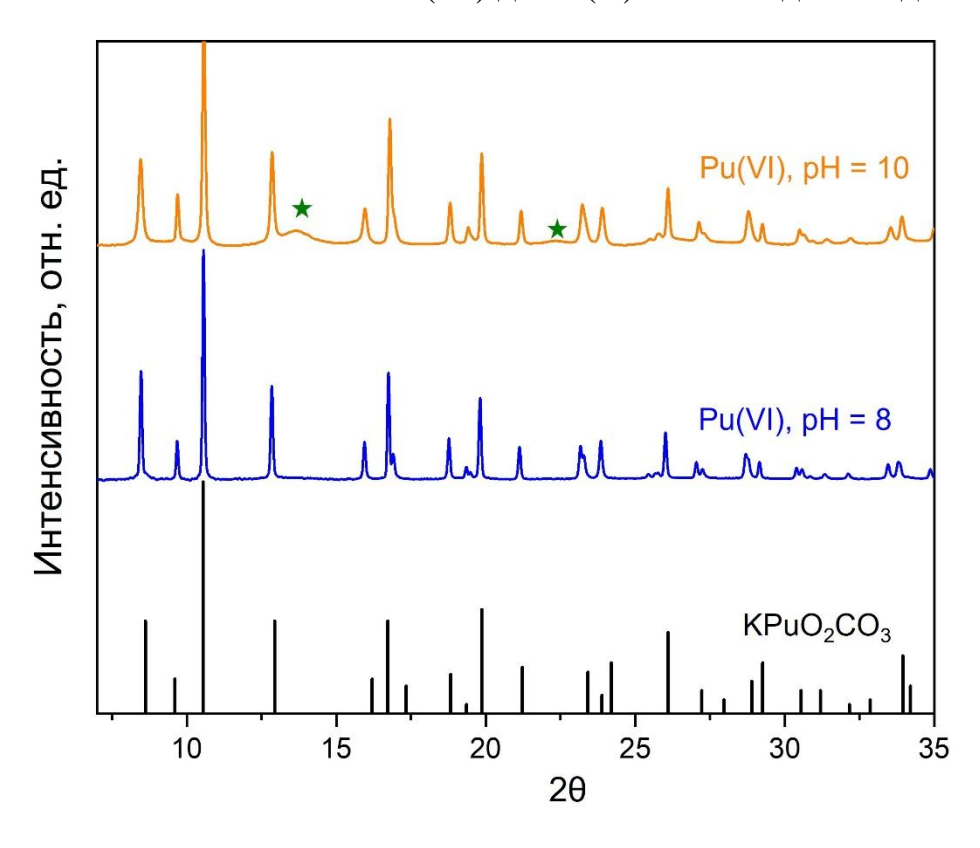


Рисунок 50 — Данные РД (λ =0,75Å) твёрдых фаз образованных из растворов Pu(VI) при постоянном pH=8 или 10, в сравнении со структурой $KPuO_2CO_3[23]$

Твёрдые фазы, образованные через 3 месяца из растворов Pu(VI) при начальных pH = 4, 8 и 12 без постоянного контроля pH (рисунок 47) также были характеризованы методом синхротронной рентгеновской дифракции (рисунок 51a). Рефлексы на дифрактограммах соответствуют структуре PuO_2 , при этом пики значительно уширены, что говорит о малых размерах частиц. При помощи формулы Шеррера из значений полной ширины пика на полувысоте были высчитаны средние размеры областей когерентного рассеяния. Они составили 1.8 ± 0.2 нм, 3.9 ± 0.5 нм и 5.8 ± 0.5 нм в растворах с начальными значениями pH = 12, pH = 8 и pH = 4 соответственно (Таблица 11).

Согласно данным XANES, плутоний во всех конечных соединениях имеет степень окисления +4, так как положение белой линии совпадает с положением у коммерческого образца PuO_2 и находится в районе 18070 эВ (рисунок 51б). После преобразований Фурье данных EXAFS (рисунок 51в) наблюдается схожесть спектров для всех образцов: присутствует два характерных максимума на расстоянии R-A 1,7 Å и 3,6 Å, что указывает на схожее локальное атомное окружение вокруг поглощающего атома Ри во всех образцах, независимо от размеров получившихся наночастиц и начальных значений рН раствора. Расстояние R-∆ 1,7 Å соответствует первой кислородной координационной сфере. Координационный пик в районе R- Δ 3,6 Å может быть приписан к взаимодействию Pu-Pu в структуре PuO2. Интенсивность этого пика зависит от размеров и кристалличности частиц. Так, наибольшее значение КЧ(Pu-Pu) наблюдается у PuO_2 , полученного из раствора с $pH = 8 (6.4 \pm 0.9)$, наименьшее — из раствора с $pH = 12 (2.6 \pm 0.9)$ и среднее – у частиц, полученных из раствора с $pH = 4 (5.1 \pm 0.7)$ (Таблица 11). Из-за высокого отношения поверхности к объёму координационные числа Pu-Pu и расстояния в нанодисперсных образцах отличаются от рассчитанных для объёмного образца.

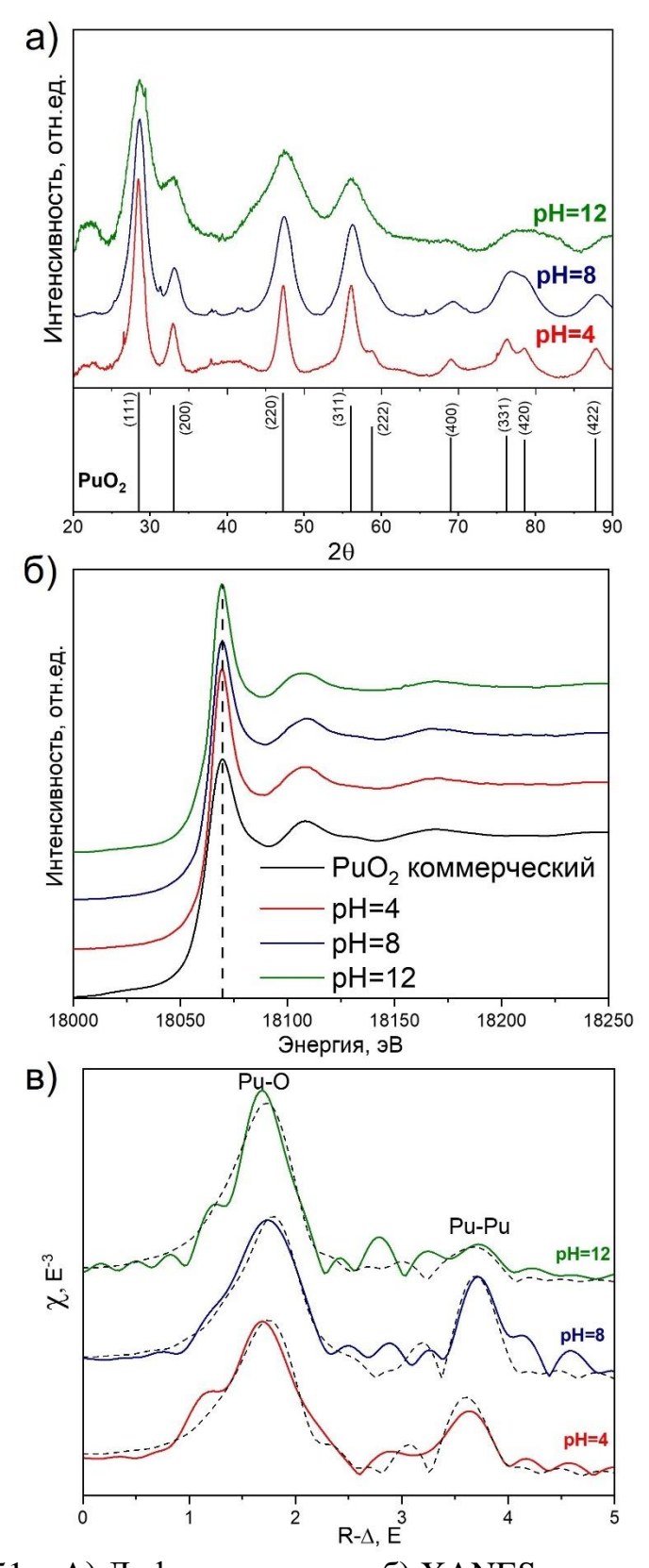


Рисунок 51 — A) Дифрактограмма, б) XANES спектры, в) амплитуда преобразования Фурье EXAFS спектров образцов, полученных при осаждении из растворов Pu(VI) с разной кислотностью за 375 дней: красная линия — pH=4, синяя линия — pH=8, зелёная линия — pH=12

Таблица 11 — Структурные параметры, полученные в результате обработки дифрактограмм и EXAFS спектров для образцов, образовавшихся из растворов Pu(VI) с разными значениями pH.

Образец	Оокр из РФА, нм	KY (Pu-Pu)	Расстояние Ри- Ри, Å
Pu(VI), pH = 12	$1,8 \pm 0,2$	$2,6 \pm 0,9$	$3,77 \pm 0,02$
Pu(VI), pH = 8	$3,9 \pm 0,5$	$6,4 \pm 0,9$	$3,82 \pm 0,01$
Pu(VI), pH = 4	$5,8 \pm 0,5$	$5,1 \pm 0,7$	$3,75 \pm 0,02$
PuO ₂		12	3,81

3.5 Поведение Pu(VI) в водных растворах при повышенной температуре

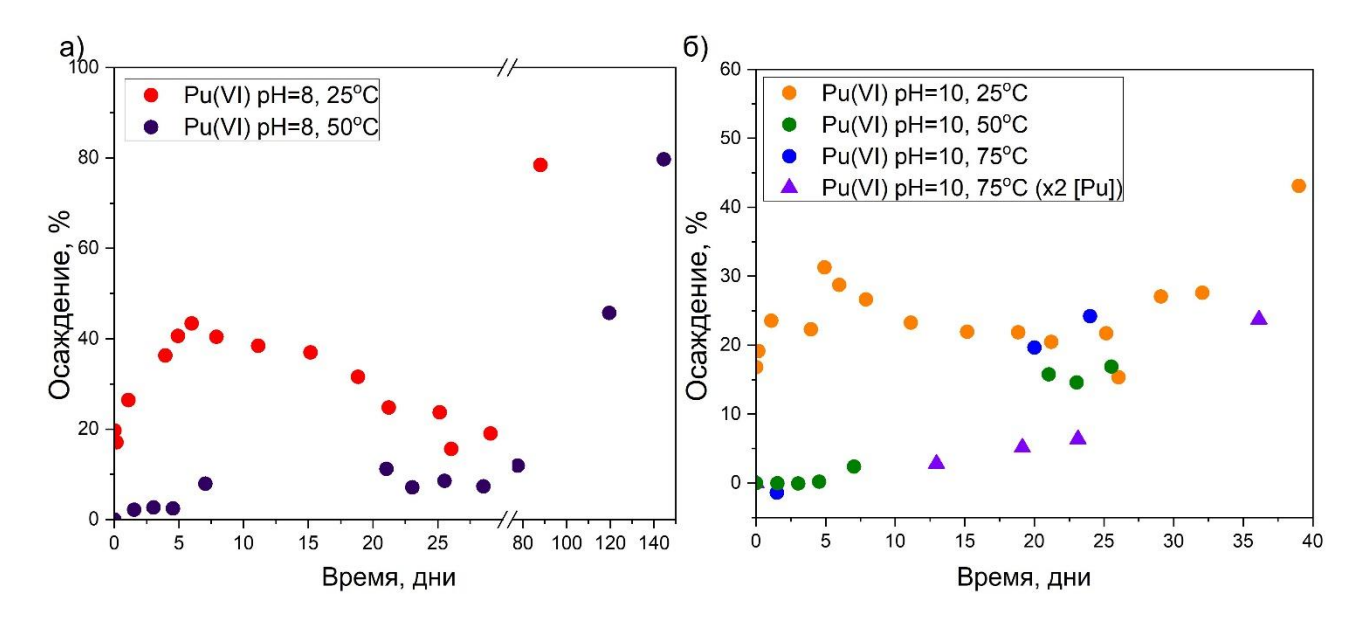


Рисунок 52 — Кинетика осаждения плутония из растворов Pu(VI) при различных температурах из растворов a) pH = 8 и б) pH = 10

Значительное влияние на скорость осаждения плутония из раствора Pu(VI) было обнаружено при добавлении окислителя NaClO в начале эксперимента ([NaClO] = $2\cdot 10^{-3}$ M). Так, в растворе с pH = 8 при 50° С и добавлением NaClO было обнаружено, что уже через 50 часов количество осаждённого плутония больше в 4 раза по сравнению с раствором без добавленного гипохлорита натрия (рисунок 53а). Аналогичное ускорение процесса выпадения плутония из раствора наблюдалось при pH = 10 при температурах 50 и 75° С. При этом, в экспериментах в растворе с pH = 10 с NaClO наблюдалось значительное понижение значений pH в процессе осаждения. При 50° С pH падал до 7,7, а при 75° С до 7,5. Значение pH в растворах pH = 10 с NaClO изменялось от 0,71 до 0,55 ph при 50° С и от 0,86 до 0,48 ph при 75° С.

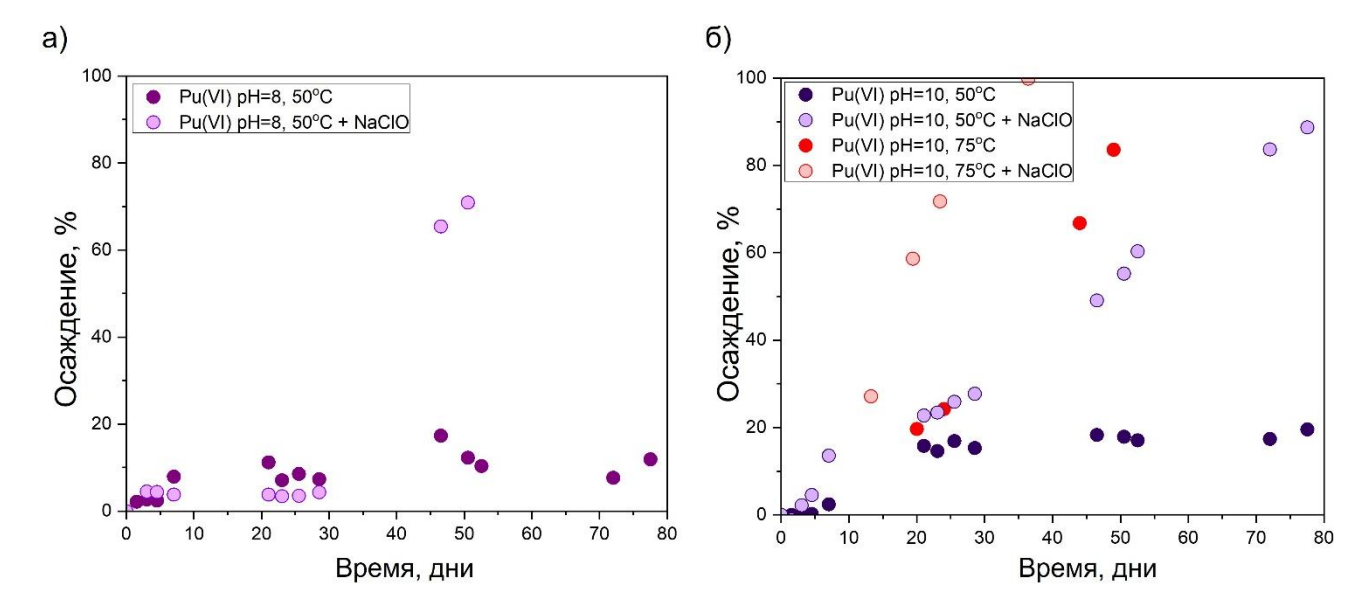


Рисунок 53 — Кинетика осаждения плутония из растворов Pu(VI) при различных температурах в присутствии или без добавления NaClO из растворов a) pH = 8 и б) pH = 10

Помимо влияния на кинетику осаждения плутония из раствора, NaClO оказывал значительное влияние на размер результирующих частиц PuO_2 (рисунок 54). Как видно из дифрактограмм, с добавлением NaClO к начальному раствору, дифракционные пики конечной твёрдой фазы становятся узкими, что указывает на увеличение размера частиц. Без добавления NaClO размер ОКР составил 3.9 ± 0.4 нм. В синтезе с использованием NaClO через 1.5 дня размер ОКР составил 6.7 ± 0.9 нм, через 4 дня -10.6 ± 3.2 нм а через неделю -21.6 ± 6.3 нм. При этом видно, что узкие дифракционные пики имеют уширение на низких интенсивностях, что свидетельствует о неравномерном распределении частиц в образце и присутствии PuO_2 различного размера в твёрдой фазе.

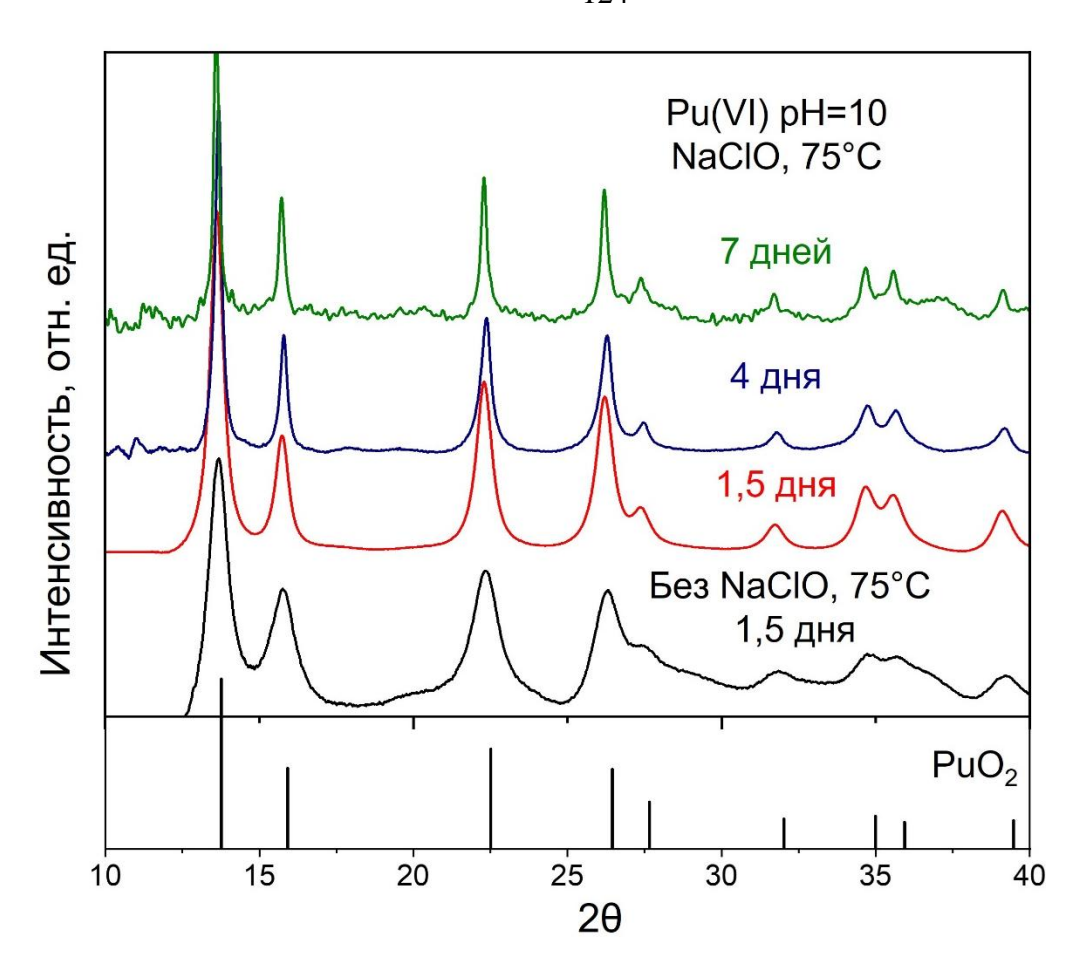


Рисунок 54 - Данные РД твёрдых фаз, образованных в растворах Pu(VI) pH = 10 при 75° C с добавлением и без NaClO с разным временем выдержки в растворе

При помощи просвечивающей электронной микроскопии были получены микрофотографии образца, осаждённого из Pu(VI) pH = 10 при $75^{\circ}C$ с NaClO, отобранного через 1,5 дня после начала эксперимента (рисунок 54, красная линия). На микрофотографиях (рисунок 55а) видно, что частицы PuO_2 имеют различные размеры, причём их распределение может варьироваться от 2 до 12 нм (рисунок 55б). Наибольшее количество наночастиц имеет размер около 6 нм, однако на микрофотографиях было также обнаружено большое количество частиц в диапазоне 3-7 нм и единичные частицы большего и меньшего размера.

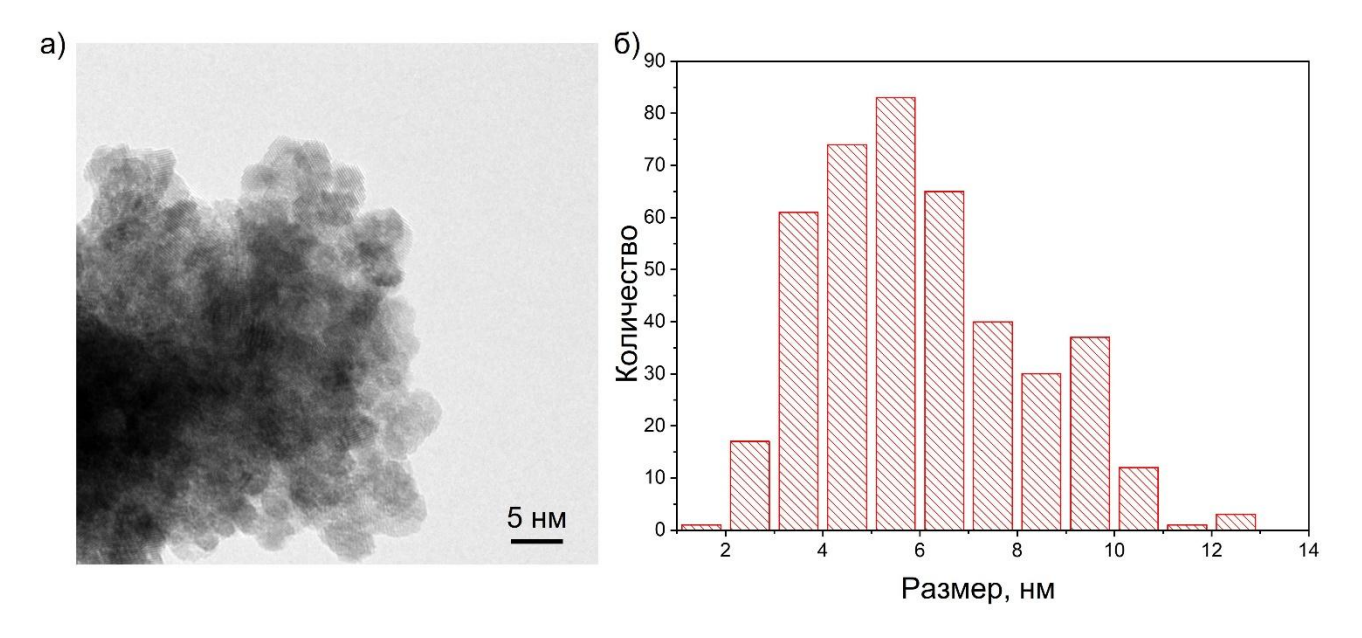


Рисунок 55 - a) Микрофотография и б) распределение размеров наночастиц PuO_2 в образце Pu(VI) pH=10 75°C NaClO, отобранного через 1,5 дня после начала экспериментов

Как было показано выше, на размер и скорость выпадения частиц PuO₂ из раствора Pu(VI) оказывает значительное влияние гипохлорита натрия NaClO, который часто используется как окислитель для поддержания высокого окислительно-восстановительного потенциала в растворе. Однако, данное соединение неустойчиво и при повышенной температуре (50 - 70°C) разлагается с выделением кислорода. Можно предположить, что протекающий ОВР в системе приводят к образованию промежуточной фазы, которая при дальнейшем восстановление трансформируется в PuO₂, влияя на размеры частиц. Либо же присутствие анионов и понижение pH может приводить к росту наночастиц.

3.6 Уточнение механизмов образования карбоната Pu(V) из растворов Pu(VI)

Для детального исследования образующейся промежуточной твёрдой фазы из растворов Pu(VI) были проведены эксперименты с поддержанием постоянного значения pH = 7, 8, 9 и постоянным контролем других параметров системы. Для этого использовалось два различных буфера: TRIS (2-амино-2-(гидроксиметил)-пропан-1,3-диол) для pH = 7, 8 и 9, и карбонатный буфер $Na_2CO_3/NaHCO_3$ для pH = 8.

При поддержании постоянного значения рН = 8 с использованием буфера TRIS область растворения и повторного осаждения твёрдой фазы отсутствует и количественное осаждение плутония из раствора наблюдается уже через ~20 дней (рисунок 56а). При этом, в первые 5 - 7 дней наблюдается постоянный рост концентрации Pu(V) в растворе, в то время как общая концентрация плутония в остаётся постоянной. Значение растворе окислительно-восстановительного потенциала в этот период времени в растворе постепенно снижается от 0,75 В до 0,70 В в процессе накопления Pu(V) в системе. Осаждение начинается при достижении концентрации $8 \cdot 10^{-5} \,\mathrm{M}$ Pu(V), что может говорить о пределах растворимости образующейся твёрдой фазы (рисунок 56б). В ходе дальнейшего образования твёрдой фазы окислительно-восстановительный потенциал значительно снижается до 0,50 В и стабилизируется (рисунок 56в). Аналогичное поведение плутония наблюдается и в растворе при постоянном pH = 9, значение которого также поддерживалось при помощи буфера TRIS (рисунок 56г, д, е).

При рН = 7 (рисунок 56г, зелёные точки) количественное осаждение из раствора не наблюдалось даже после двух месяцев проведения эксперимента несмотря на то, что практически весь плутоний восстанавливался до Pu(V) через 35 дней (рисунок 56д, зелёные точки). Значение окислительно-восстановительного потенциала в этом растворе также значительно отличалось от экспериментов при рН = 8 и 9. После начала эксперимента потенциал в растворе начинал расти и через 5 дней значение было равно Eh = 0,95 B, что на 0,2 B больше эксперимента при рН = 8 в этот же временной промежуток. С началом восстановления и появления Pu(V) в системе, потенциал постепенно снижался. Однако, высокая концентрация плутония в растворе поддерживала значение Eh на 0,2 В выше, чем в системах с рН = 8 и 9, где понижение потенциала обуславливалось осаждением плутония.

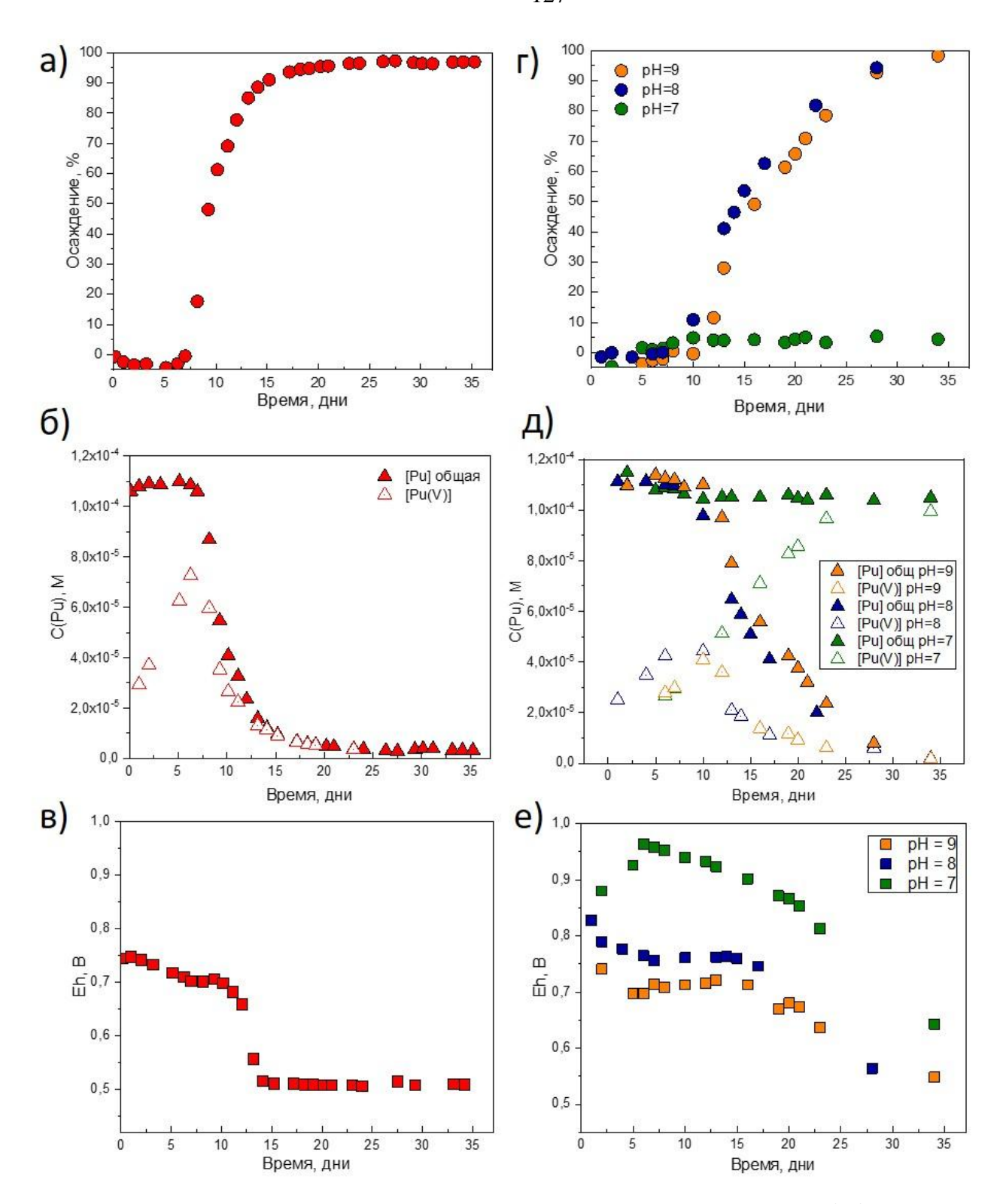


Рисунок 56 – Описание кинетики осаждения из растворов с буфером TRIS при различных значениях рН: а), г) зависимость процента осаждения; б), д) зависимость общей концентрации Рu и Pu(V) и в), е) зависимость окислительновосстановительного потенциала от времени.

В группы из трёх графиков собраны эксперименты, проводимые в одно время с одинаковым количеством отбора образцов

Известно, степень окисления плутония что И окислительновосстановительный потенциал (значение Eh) тесно связаны, но все еще остается вопрос, что меняется первую открытым В очередь: окислительновосстановительный потенциал степень или окисления. Основываясь на представленных результатах (рисунок 56б и в), можно предположить, что степени окисления влияет на окислительно-восстановительный изменение потенциал. В проведенном эксперименте Pu(V) легко накапливался в течение первых 5-7 дней с линейным увеличением с течением времени. Напротив, значение Ећ изменялось медленно и ступенчато вплоть до достижения 11-го дня и 50% осаждения.

В растворе с карбонатным буфером при рН = 8 не наблюдается выпадение твёрдой фазы в течение 30 дней (рисунок 57а). Данный факт можно объяснить стабилизацией шестивалентного плутония карбонатными комплексами. На рисунке 576 приведена сравнительная спектрофотометрия в видимом диапазоне растворов Pu(VI) при pH = 8 с карбонатным буфером и буфером TRIS, снятая через 5 дней после начала эксперимента. В образце без дополнительных карбонатов в системе наблюдаются две основные формы плутония: PuVIO₂(OH)_{2(волн)} (длина волны 850 нм) и $Pu^VO_2^+$ (длины волн 569 и 520 нм). В растворе с карбонатным буфером также наблюдается форма $Pu^{VI}O_2(OH)_{2(BOJH)}$ и три дополнительных пика на длинах волн 569, 650 и 807 нм. Согласно литературным данным, подобная форма спектров поглощения указывает на образование карбонатных комплексов Pu(VI) в системе. Йонгхум с соавторами [72] на основании своих экспериментах сделали вывод, что данные спектры поглощения относятся к $Pu^{VI}O_2(CO_3)_3^{4-}$ при рH = 9,78. Так как в нашем эксперименте значение $pH = 8.6 \pm 0.5$, на основании расчётов (рисунок 57в) можно полагать, что в растворе присутствует смесь карбонатных форм (Pu^{VI}O₂)₃(CO₃)₆⁶- и Pu^{VI}O₂(CO₃)₃⁴-.

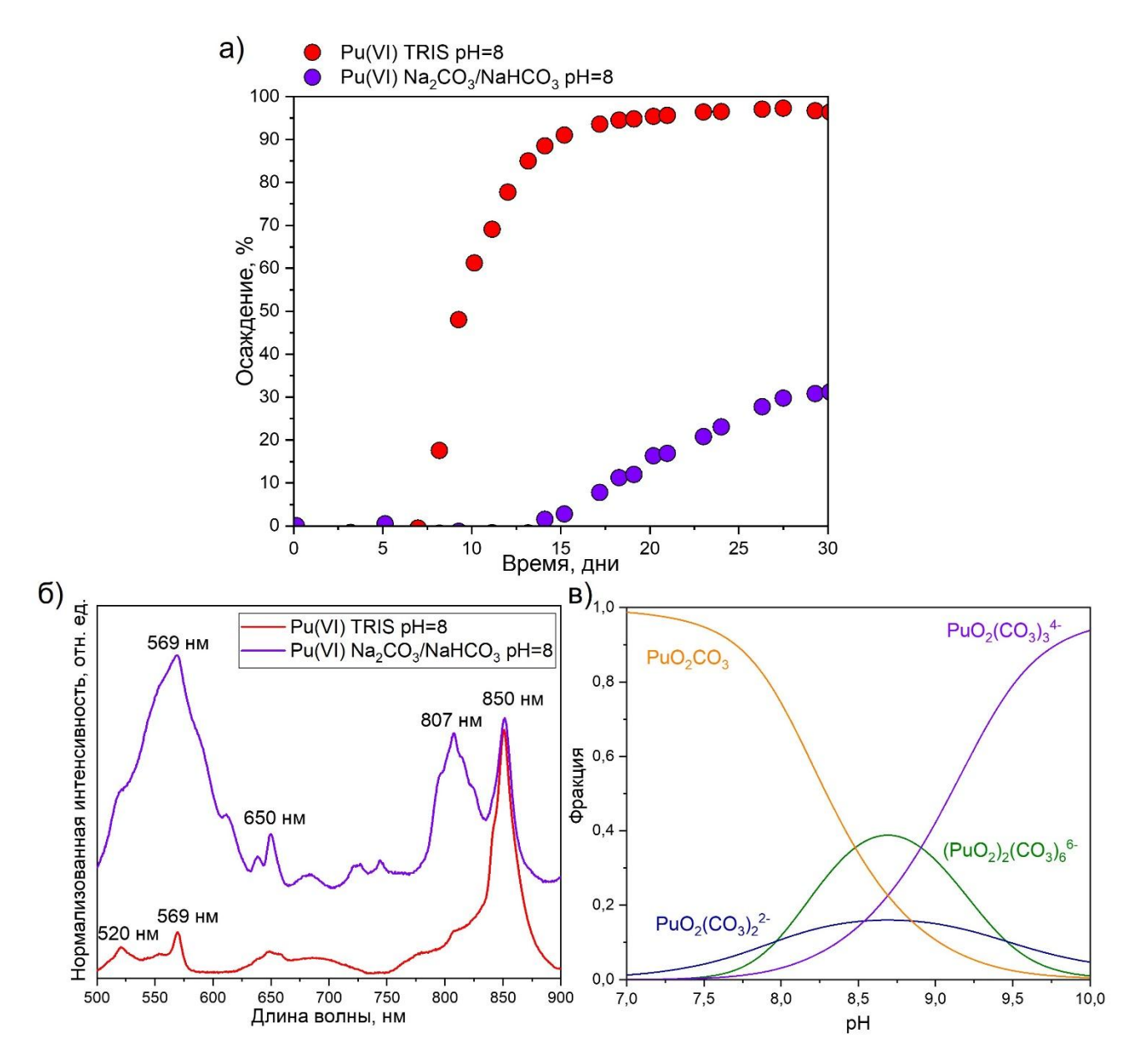


Рисунок 57 – А) Зависимость процента осаждения из растворов Pu(VI) при pH = 8 в буферами TRIS (красные точки) и карбонатным буфером (фиолетовые точки); б) Спектрофотометрия растворов Pu(VI) на 5й день после начала эксперимента; в) рассчитанные в программном обеспечении Hydra/Medusa физико-химические формы Pu(VI)

Как было описано выше, при поддержании постоянных значений рН при помощи добавления NaOH также отсутствует область переформирования. Количественное выпадение твёрдых фаз наблюдается через 60 и 80 дней при рН = 8 и 10 соответственно.

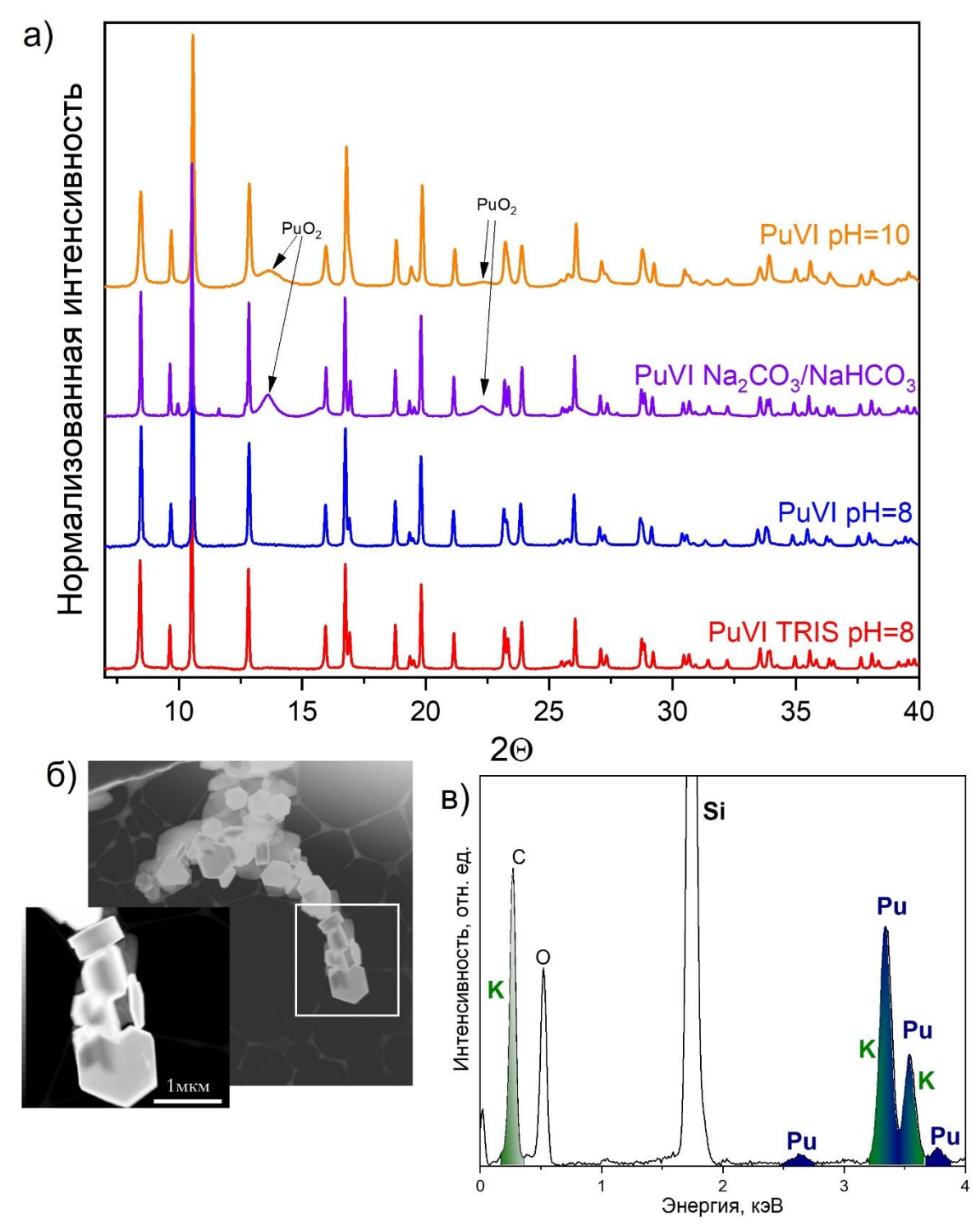


Рисунок 58 — А) Дифрактограммы образовавшихся твёрдых фаз из растворов с постоянными значениями рН: с использованием буфера при рН = 8 (красная линия — буфер TRIS, фиолетовая линия — карбонатный буфер) и с применением постоянной корректировки раствора при помощи NaOH (синяя линия — рН = 8, оранжевая линия — рН = 10); б) микрофотография осадка и в) результаты ЭДС

Однако, на дифракционных картинах твёрдых фаз, образованных в карбонатном буфере при pH = 8 и из раствора с pH = 10 наблюдается образование пиков (рисунок 58a), которые примесных уширенных соответствуют наноразмерному PuO₂. В обоих случаях образование примесной фазы PuO₂ можно объяснить возможной близости условий осаждения к границе термодинамической стабильности твёрдой фазы KPuO₂CO₃. Так, в случае использования карбонатного буфера образование примесной фазы можно объяснить длительной стабилизацией плутония в шестивалентной форме с карбонатами (рисунок 57б), длительным выпадением И, вследствие, понижением значения окислительновосстановительного потенциала в процессе осаждения из раствора. При рН = 10 образование примесной фазы PuO₂ можно объяснить высоким значением pH, которое вероятно близко к границе стабильности твёрдой фазы КРиО₂СО₃.

Образование фазы KPuO₂CO₃ было также подтверждено при моделировании EXAFS спектров (рисунок 59). Согласно данным, расстояние от атома Pu до аксиального кислорода 1,81 Å, что значительно отличается от рассчитанного в литературе ранее по данным порошковой дифракции, 1,94 Å [23]. В структуре в локальном окружении отражающего атома Pu присутствует шесть экваториальных атома кислорода на расстоянии 2,56 Å. Ввиду несогласованности результатов длин связи плутония с аксиальным кислородом, представленная структура требовала дополнительной оптимизации.

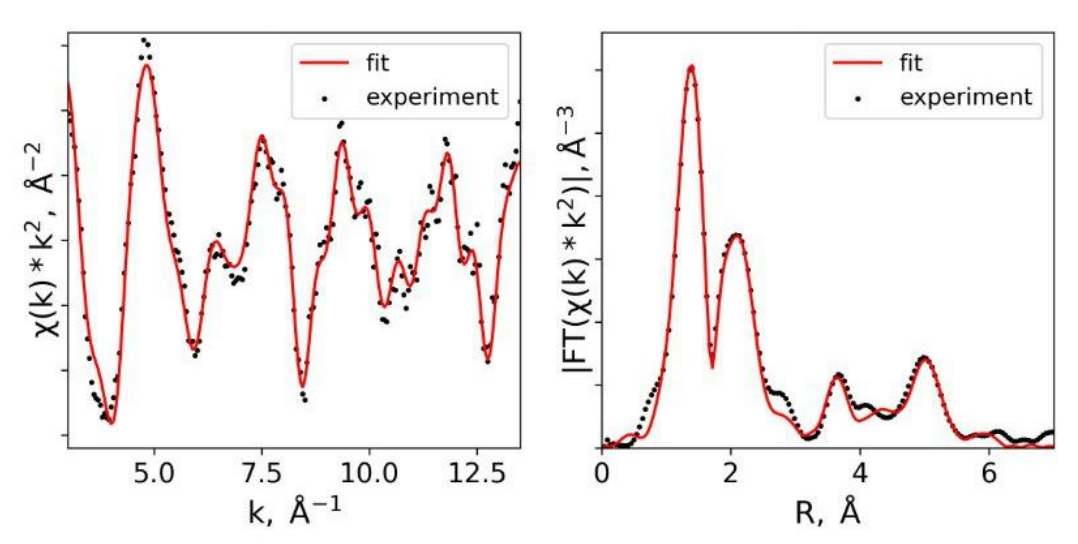


Рисунок 59 — Результаты рентгеновского поглощения L₃-края Pu: EXAFS спектр и амплитуда преобразования Фурье EXAFS спектра для твёрдой фазы KPuO₂CO₃

комбинационного рассеяния с твердой фазы KPuO₂CO₃ демонстрируют три характерных пика: 715 см⁻¹, 760 см⁻¹ и 1075 см⁻¹ (рис. 60). Два из них (715 см $^{-1}$ и 1075 см $^{-1}$) соответствуют v_4 и v_1 колебаниям комплекса CO_3^{2-} , что подтверждает образование карбонатной фазы. Интенсивный пик на длине волны 760 см⁻¹, описывает v_1 симметричное растяжение O=Pu^V=O [147]. Для сравнения, характерная частота пика рассеяния катиона $Pu^{VI}O_2^{2+}$ составляет 788 см⁻¹. Таким образом, представленные результаты рамановской спектроскопии подтверждают наличие Pu(V) в структуре. Неодинаковая интенсивность пиков от ионов CO_3^{2-} и $Pu^VO_2^+$ может быть объяснена правилами отбора. Эта картина типична для данной категории соединений[147] и может незначительно изменяться при изменении длины волны.

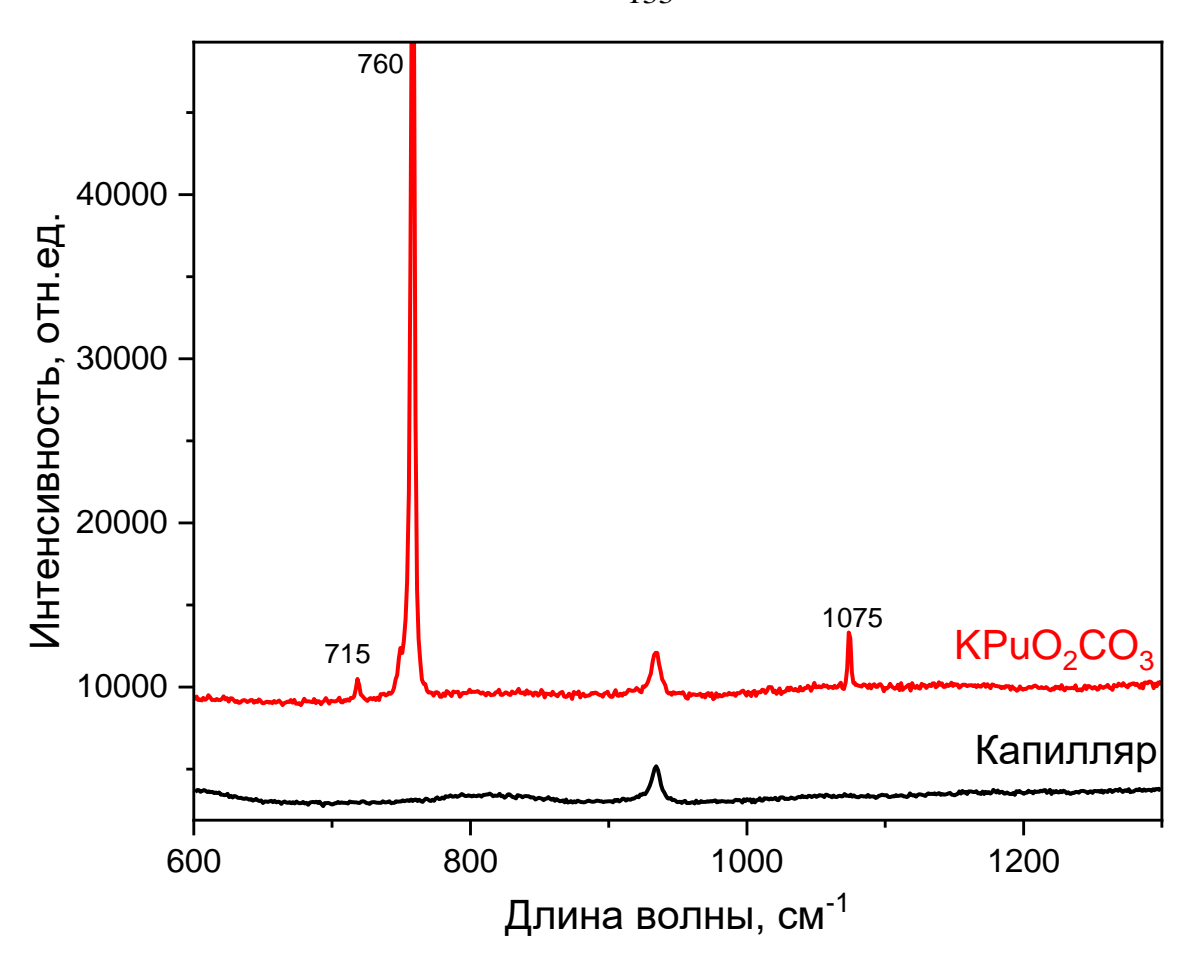


Рисунок 60 – Спектроскопия комбинационного рассеяния с образца KPuO₂CO₃, помещённого в кварценый капилляр и спектр от числого капилляра

Было проведено уточнение структуры КРиО2СО3 методом Ритвельда с использованием аналогичной структуры КNpO₂CO₃ в качестве исходной модели. Соединение КРиО₂СО₃ кристаллизуется в пространственной группе Р6₃/mmc с параметрами решётки a = b = 5,0746(3) c = 10,0472(11). Твёрдая фаза имеет слоистую анионными гексагональными слоями $[PuO_2CO_3]^$ структуру параллельными плоскости ab, катионы К+ расположены между слоями (рисунок 61). Координационное число Ри равно 8, а координационное окружение лучше всего описывается как гексагональная бипирамида. Атом К координируется шестью атомами кислорода соединения PuO_2^+ и шестью атомами кислорода CO_3^{2-} анионов, принимающих икосаэдрическую координацию. В рамках данного исследования были уточнены не только пространственная группа и параметры решётки, а также представлена достоверная модель структуры соединения

 $KPuO_2CO_3$ с уточнёнными межатомными расстояниями. Создан сіf файл, в котором описана основная кристаллографическая информация.

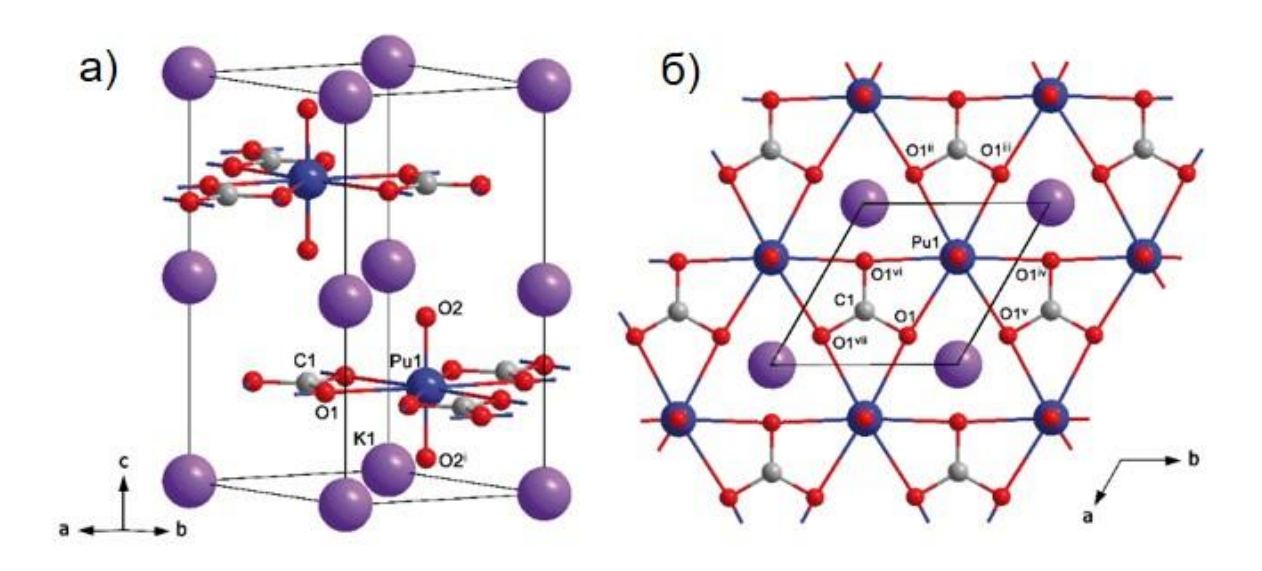


Рисунок 61 – Кристаллическая структура $KPuO_2CO_3$: а) анионные слои в плоскости ab; б) элементарная ячейка, содержащая анионные слои карбоната плутонила и катионы калия

Методом медленного химического осаждения из раствора PuO_2^{2+} с 0,01 M MgCl₂ наблюдалось образование двойного карбоната плутония с магнием. Начальная концентрация Pu(VI) в растворе хлорида составляла $1\cdot 10^{-4}$ М и через 21 дней наблюдалось осаждение $\sim 65\%$ плутония из раствора (рисунок 62a). Результирующая твёрдая имеет морфологию пластин, что было доказано при помощи P9M (рисунок 62a). В своём составе соединение содержит только элементы Mg, Pu, C и O, причём соотношение Pu:Mg = 2:1, что указывает на образование фазы $Mg_{0,5}PuO_2CO_3$ (рисунок 62b). Таким образом ещё раз подтверждена возможность образования двойных карбонатов Pu(V) из растворов шестивалентного плутония. Установление структуры и свойств представленного соединения является объектом дальнейших исследований.

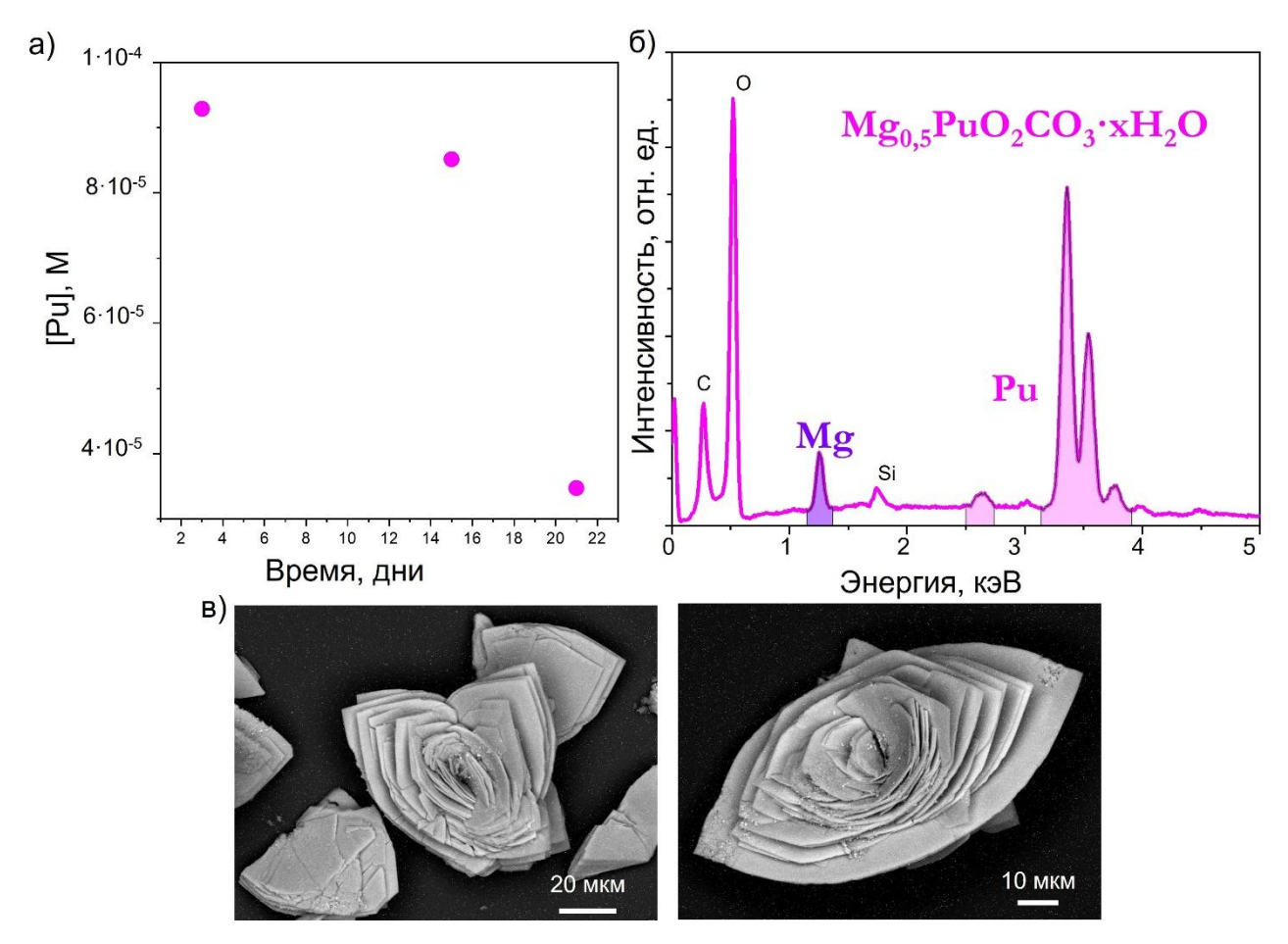


Рисунок 62 – Результаты осаждения Pu(VI) из раствора 0,01 M MgCl_{2.} а) кинетика осаждения; б) данные ЭДС; в) РЭМ-изображения

3.7 Синтез двойных карбонатов пятивалентного плутония из растворов Pu(V)

Как было показано выше, осаждение твёрдой фазы из раствора начинается при накоплении достаточного количества Pu(V), что и является движущей силой формирования $KPuO_2CO_3$. Поэтому было решено провести эксперименты по прямому синтезу карбонатов пятивалентного плутония из растворов Pu(V).

Проводились попытки синтезировать твёрдую фазу состава $NaPuO_2CO_3$ из Pu(V) с использованием Na_2CO_3 . Свежеприготовленный Pu(V) различных концентраций ([Pu(V)] = 0.015 - 0.01 М) осаждался при помощи Na_2CO_3 при pH = 5 - 8. В некоторых синтезах был использован $NaBrO_3$ в качестве окислителя для поддержания высокого значения окислительно-восстановительного потенциала и стабилизации Pu(V). Соотношение Pu к Na_2CO_3 в растворе варьировалось от 0.09 до 5, где наименьшее отношение $[Pu]/[Na_2CO_3]$ соответствует большему значению

рН. Концентрация окислителя $NaBrO_3$ варьировалась между $1,6\cdot 10^{-3}$ М до $2,2\cdot 10^{-2}$ М. Во всех экспериментах результирующей твёрдой фазой был наноразмерный PuO_2 , что было доказано при помощи рентгеновской дифракции (Рисунок 63а, красная линия).

Согласно литературным данным, а также результатам данной работы, для аналогичного карбоната Np(V) [90], подобные слоистые соединения имеют способность обмениваться катионами в растворе с образованием новой фазы. Твёрдая фаза KPuO₂CO₃ была помещена в 0,1 M раствор NaCl на три дня для осуществления реакции ионного обмена. Полученная твёрдая фаза, согласно данным рентгеновской дифракции (рисунок 63а, зелёная линия), представляет собой наночастицы PuO₂. Узкие и выраженные пики указывают на присутствие остатков NaCl. Вероятно, в процессе произошёл ионный обмен, при котором калий в твёрдой фазе был заменён натрием. На основании аналогии с двойными карбонатами Np(V) с калием и натрием, можно предположить, что структура твёрдой фазы NaPuO2CO3 будет значительно отличаться от структуры KPuO2CO3 и иметь более низкую симметрию, что может привести к низкой термодинамической стабильности соединения NaPuO₂CO₃. Вследствие низкой устойчивости соединения двойного карбоната Pu(V) с натрием, твёрдая фаза растворилась, что привело к восстановлению плутония и образованию наноразмерного диоксида Pu(IV).

Был проведён эксперимент по осаждению фазы $KPuO_2CO_3$ из раствора Pu(V) с применением осадителя K_2CO_3 . Из раствора с $[Pu(V)] = 6,7 \cdot 10^{-3}$ М и $[K_2CO_3] = 0,029$ М при pH = 7 наблюдалось образование бело-зелёного осадка. Полученная твёрдая фаза была охарактеризована методом рентгенофазового анализа (рисунок 63а, синяя линия). На рентгенограмме видны заметно уширенные пики, положение которых указывает на образование $KPuO_2CO_3$. При проведении ПЭМВР для данного образца на микрофотографиях (рисунок 63б) зафиксировано образование конгломератов наночастиц PuO_2 . Подобные микрофотографии были получены и для свежеосаждённой твёрдой фазы из Pu(V) при pH = 8,43 с использованием NaClO для поддержания потенциала Eh = 0,66 B (рисунок 63б).

Вероятно, отсутствие на микрофотографиях крупных гексагональных пластин $KPuO_2CO_3$ объясняется разложением карбоната Pu(V) под воздействием электронного пучка.

В

Таблица 12 приведены параметры дополнительных синтезов, направленных на получение двойных карбонатов Pu(V) с катионами Na^+ , K^+ и Ca^{2+} , результирующей фазой в которых был PuO_2 .

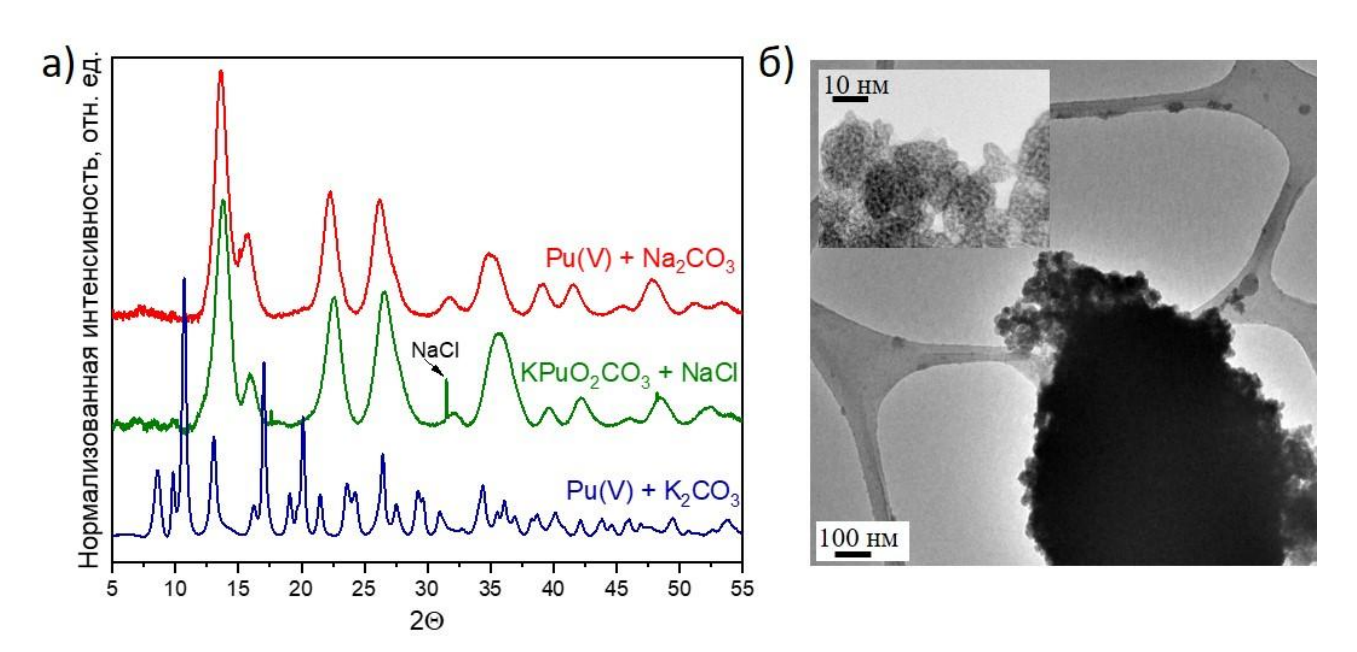


Рисунок 63 — Результаты исследования твёрдых фаз образовавшихся из Pu(V): а) дифрактограммы образцов получившихся осаждением из Pu(V) в растворе K_2CO_3 (синяя линия, методом ионного обмена фазы $KPuO_2CO_3$ в растворе NaCl (зелёная линия) и осаждением Pu(V) в растворе Na_2CO_3 (красная линия); б) микрофотографии полученных образцов

Таблица 12 — Параметры синтезов соединений двойных карбонатов Pu(V) путём прямого осаждения из раствора, где результирующей фазой был PuO₂

No॒	[PuO ₂ ⁺], M	[Na ⁺], M	$[K^+], M$	$[Ca^{2+}], M$	$[CO_3^{2-}], M$	Окислитель, М	pН	Eh, B
1	$2,2\cdot 10^{-2}$	$2,3\cdot 10^{-2}$			$2,3\cdot 10^{-2}$		6,4	0,503
2	$2,1\cdot 10^{-2}$		$2,2\cdot 10^{-2}$		$2,2\cdot 10^{-2}$		7,1	
3	$8,8 \cdot 10^{-3}$	$9,2\cdot10^{-3}$		1,2·10 ⁻¹	1,2·10 ⁻¹		9,8	0,327
4	$1,7 \cdot 10^{-3}$	$2,9 \cdot 10^{-3}$			$2,9 \cdot 10^{-3}$		7,6	0,439
5	$1,8 \cdot 10^{-3}$	$2,2\cdot 10^{-2}$			$2,1\cdot 10^{-2}$	$[NaBrO_3]=1,6\cdot10^{-3}$	7,9	0,407
6	$1,2\cdot 10^{-2}$	$2,0\cdot10^{-2}$			$1,1\cdot 10^{-2}$	$[NaBrO_3]=9,5\cdot10^{-3}$	5,2	0,636
7	$6,7 \cdot 10^{-3}$		$4,7 \cdot 10^{-2}$		$4,7 \cdot 10^{-2}$		7,0	
8	$5,6\cdot10^{-3}$	$1,8\cdot 10^{-2}$		$7,0\cdot 10^{-2}$	$7,0\cdot 10^{-2}$		6,1	
9	$1,1\cdot 10^{-1}$	$5,9 \cdot 10^{-3}$			$5,9 \cdot 10^{-3}$		7,0	
10	$1,1\cdot 10^{-2}$		$2,7 \cdot 10^{-2}$		$2,7\cdot 10^{-2}$		8,0	0,387
11	$2,3\cdot10^{-3}$		$2,8\cdot 10^{-2}$		$2,8\cdot 10^{-2}$			
12	$1,2\cdot 10^{-2}$	$2,7\cdot10^{-2}$	$1,9 \cdot 10^{-2}$		$1,9 \cdot 10^{-2}$	$[NaClO] = 7,7 \cdot 10^{-3}$	4,5	0,887
13	$1,1\cdot 10^{-2}$	$2,5\cdot 10^{-2}$	$2,7 \cdot 10^{-2}$		$2,7 \cdot 10^{-2}$		8,4	0,657
14	$5,6\cdot 10^{-4}$	$7,9 \cdot 10^{-3}$		1,3·10 ⁻²	1,3·10 ⁻²		7,2	0,472
15	$2,0\cdot 10^{-3}$		$3,9 \cdot 10^{-3}$		3,9·10 ⁻³		8,3	

3.8 Определение области термодинамической стабильности фазы KPuO₂CO₃

На современной диаграмме Пурбе в данный момент отсутствует область стабильности фазы KPuO₂CO₃ и в области околонейтральных рН наблюдается резкое восстановление в один шаг из Pu(VI) в Pu(IV) (рисунок 64а). На основании полученных и описанных выше данных, процесс восстановления должен проходить через стабильную в определённых условиях твёрдую фазу с формулой KPuO₂CO₃. Однако, на сегодняшний день отсутствуют любые термодинамические данные для представленной твёрдой фазы.

Химический аналог пятивалентного плутония, Np(V) может также формировать подобные карбонатные фазы, которые изучены более подробно.

Используя термодинамическую константу растворимости фазы $KNpO_2CO_3$, полученную в данной работе ($\Pi P(KNpO_2CO_3) = -16,53 \pm 0,10$) была рассчитана возможная область стабильности калиевого карбоната Pu(V). Обновлённая диаграмма Пурбе представлена на рисунке 64б. Действительно, добавленная фаза имеет достаточно большую область стабильности на диаграмме Пурбе. При этом, экспериментальные значения Eh и pH для фазы $KPuO_2CO_3$, образовавшейся из раствора Pu(VI), приведенные выше, находятся в возможной области стабильности. Этот факт подтверждает гипотезу о формировании фазы $KPuO_2CO_3$ ввиду её высокой термодинамической стабильности.

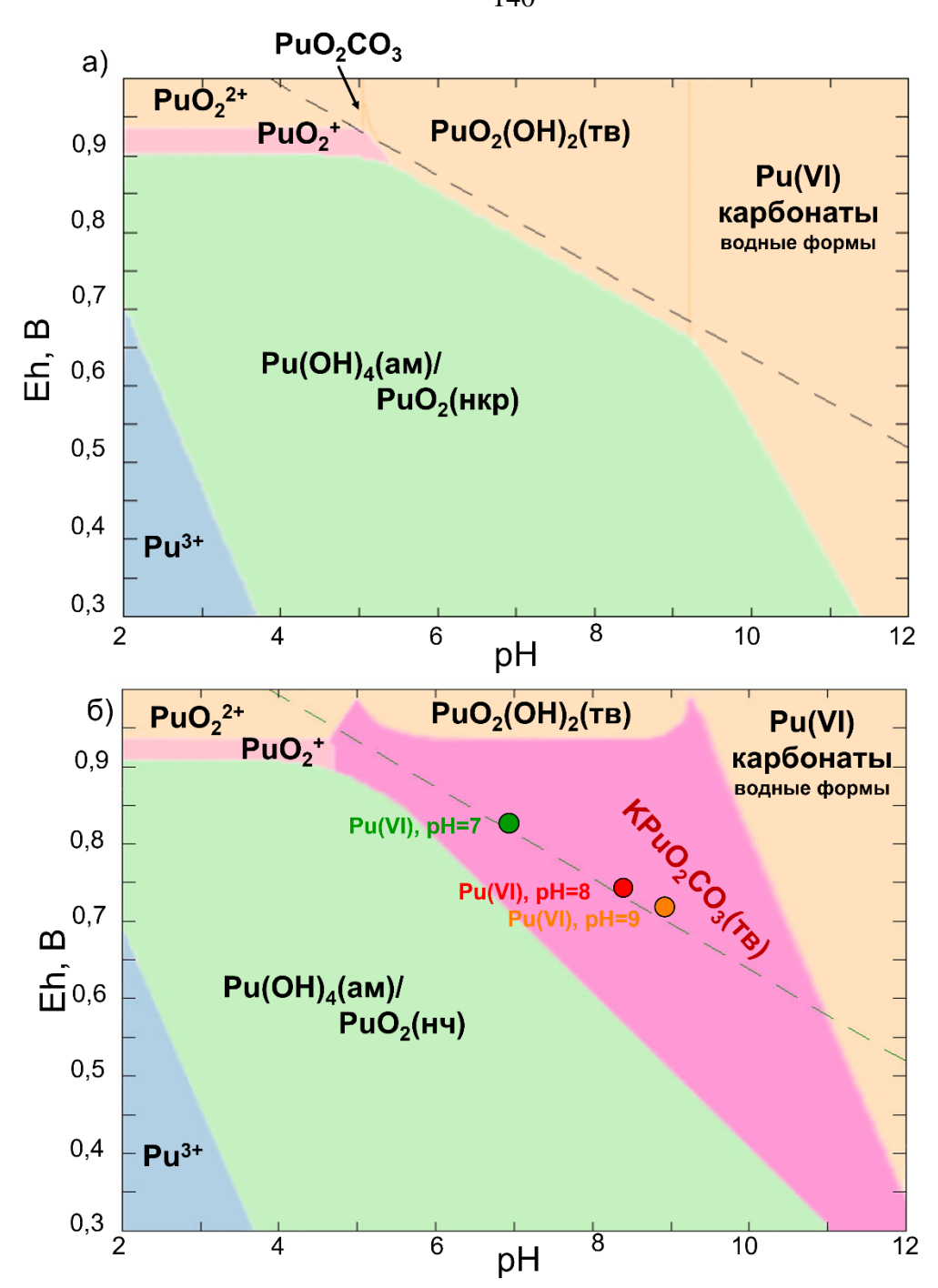


Рисунок 64 – Пурбе диаграммы, рассчитанные в программном пакете Hydra/Medusa a) современная диаграмма; б) модифицированная диаграмма с возможной областью стабильности твёрдой фазы KPuO₂CO₃

Заключение

Таким образом, поставленная цель работы достигнута. Получен ряд соединений двойных карбонатов Np(V) и Pu(V) с катионами щелочных и щёлочноземельных металлов, а именно: $NaNpO_2CO_3\cdot 3H_2O$, $KNpO_2CO_3$, $Ca_{0,5}NpO_2CO_3\cdot 4H_2O$, $Mg_{0,5}NpO_2CO_3\cdot 6H_2O$, $KPuO_2CO_3$ и $Mg_{0,5}PuO_2CO_3$. В ходе исследования были определены условия формирования, кристаллическая структура и растворимость двойных карбонатов Pu(V) и Np(V) с катионами щелочных и щёлочноземельных металлов:

- 1. Установлены условия формирования двойных карбонатов Np(V) с катионами K^+ и Na^+ . Предложен метод синтеза твёрдых фаз двойных карбонатов Np(V) с катионами Ca^{2+} и Mg^{2+} посредством ионного обмена из $NaNpO_2CO_3 \cdot 3H_2O$. Описан метод медленного химического осаждения из раствора Pu(VI) для получения $KPuO_2CO_3$ и $Mg_{0.5}PuO_2CO_3$.
- 2. На основании синхротронных дифракционных данных, информации о количестве кристаллической воды и локальном окружении актинида были получены структурные данные ДЛЯ представленных соединений. Установлено, что твёрдая фаза NaNpO₂CO₃·3H₂O представляет собой чередующиеся анионные ромбические слои [NpO₂CO₃]_nⁿ- с межслоевыми $[Na(H_2O)_3]_n^{n+}$, а $KNpO_2CO_3$ и $KPuO_2CO_3$ чередующиеся катионами гексагональные слои $[NpO_2CO_3]^-$ или $[PuO_2CO_3]^-$ с катионами K^+ между ними. Соединение $Ca_{0.5}NpO_2CO_3\cdot 4H_2O$ имеет ромбическую решётку, $Mg_{0.5}NpO_2CO_3\cdot 6H_2O$ моноклинную решетку.
- 3. Получены произведения растворимости $\Pi P(Mg_{0,5}NpO_2CO_3\cdot 6H_2O) = -15,9\pm0,2, \quad \Pi P(KNpO_2CO_3) = -16,5\pm0,1,$ $\Pi P(Ca_{0,5}NpO_2CO_3\cdot 4H_2O) = -15,4\pm0,2. \quad \text{Описана область стабильности фазы } KPuO_2CO_3.$

В работе не только представлена целая группа новых соединений, но и установлена взаимосвязь между их структурой и поведением растворимости. Полученные структурные и термодинамические данные существенно углубляют

наши знания о соединениях актинидов, что, в свою очередь, способствует прогнозному моделированию поведения радионуклидов в окружающей среде.

Выводы

- 1. Показано, что при осаждении Np(V) ([Np] = $2-4\cdot10^{-3}$ M) из растворов $NaHCO_3$ при pH 7 9 образуется двойной карбонат состава $NaNpO_2CO_3\cdot3H_2O$ с ромбической структурой. В присутствии катионов K^+ в системе образуется также фаза $KNpO_2CO_3$ с гексагональной структурой.
- 2. Методом ионного обмена из фазы NaNpO₂CO₃·3H₂O в растворах хлоридов двухвалентных катионов получены новые соединения $Ca_{0.5}NpO_2CO_3\cdot 4H_2O$ ромбической решеткой c И $Mg_{0.5}NpO_2CO_3\cdot 6H_2O$ моноклинной решеткой. Установлено, что представленные соединения имеют ромбический мотив слоя, причем локальная структура нептуния сохраняется при нагревании до 500 °C, где происходит восстановительное разложение карбоната с образованием NpO₂.
- 3. Экспериментально определены произведения растворимости для соединений: $Ca_{0,5}NpO_2CO_3\cdot 4H_2O$ ПР = $-15,4\pm0,2$, $Mg_{0,5}NpO_2CO_3\cdot 6H_2O$ ПР = $-15,9\pm0,2$, $KNpO_2CO_3$ ПР = $-16,5\pm0,1$.
- 4. Установлено, что в водных растворах Pu(VI) с концентрацией $1 \cdot 10^{-4} \, \mathrm{M}$ при pH = 8 9 в присутствии CO_2 воздуха в течение 20-90 дней даже при значительном избытке ($[\mathrm{Na^+}]/[\mathrm{K^+}] \geq 300$) катионов $\mathrm{Na^+}$ образуется фаза двойного карбоната пятивалентного плутония $KPuO_2CO_3$ гексагональной структуры.
- 5. Установлено, что в ряду двойных карбонатов Np(V) для катионов малого ионного радиуса (менее 1 Å) Na^+ , Ca^{2+} , Mg^{2+} нептуний-содержащие слои имеют ромбический мотив слоя, в то время как для катионов большего радиуса (K^+ , NH_4^+) характерен гексагональный мотив слоя.
- 6. Двойные карбонаты Np(V) и Pu(V) с гексагональной структурой слоя обладают более высокой термодинамической стабильностью.

Список литературы

- 1. Doudou S. и др. Approaches to evaluate and underpin the technical feasibility of the Belgian disposal concept // Geological Society, London, Special Publications. 2017. T. 443, № 1. C. 39–48.
- 2. Jobmann M. и др. Safety assessment methodology for a German high-level waste repository in clay formations // Journal of Rock Mechanics and Geotechnical Engineering. 2017. T. 9, № 5. C. 856–876.
- 3. Laverov N. P. и др. The Russian Strategy of using Crystalline Rock as a Repository for Nuclear Waste // Elements. 2016. T. 12, № 4. C. 253–256.
- 4. Wang J. и др. The Beishan underground research laboratory for geological disposal of high-level radioactive waste in China: Planning, site selection, site characterization and in situ tests // Journal of Rock Mechanics and Geotechnical Engineering. 2018. Т. 10, № 3. С. 411–435.
- 5. Tosoni E., Salo A., Zio E. Scenario Analysis for the Safety Assessment of Nuclear Waste Repositories: A Critical Review // Risk Analysis. 2018. T. 38, № 4. C. 755–776.
- 6. Charushnikova I. A., Krot N. N., Polyakova I. N. Crystal Structure of Double Lithium Neptunium(V) Carbonate Dihydrate LiNpO2CO3·2H2O // Radiochemistry. 2004. T. 46, № 4. C. 343–346.
- 7. Nevolin I. M. и др. Crystal Structure of Mixed Np(V)-Ammonium Carbonate // Symmetry (Basel). 2022. T. 14, № 12. C. 2634.
- 8. Волков Ю. Ф. и др. Изучение карбонатных соединений пятивалентных актиноидов с катионами щелочных металлов. Х. О составе и кристаллическом строении карбонатов // Радиохимия. 1981. Т. 2. С. 248–252.
- 9. Neck V., Runde W., Kim J. I. Solid-liquid equilibria of neptunium(V) in carbonate solutions of different ionic strengths: II. Stability of the solid phases // J Alloys Compd. 1995. T. 225, № 1–2. C. 295–302.
- 10. Novak C. F. и др. Measurement and thermodynamic modeling of Np(V) solubility in aqueous K2CO3 solutions to high concentrations // J Solution Chem. 1997. T. 26, № 7. C. 681–697.
- 11. Tananaev I. G. и др. Plutonium in higher oxidation states in alkaline media // J Alloys Compd. 2007. T. 444–445. C. 668–672.
- 12. Nikonov M. V., Myasoedov B. F. Oxidation of Pu(VI) with ozone and stability of the oxidation products, Pu(VII) and Pu(VIII), in concentrated alkali solutions // Radiochemistry. 2010. T. 52, № 1. C. 17–21.
- 13. Huang W. и др. Oxidation States, Geometries, and Electronic Structures of Plutonium Tetroxide PuO 4 Isomers: Is Octavalent Pu Viable? // Inorg Chem. 2013. T. 52, № 24. C. 14237–14245.

- 14. Zaitsevskii A. V. и др. On the existence of oxide molecules of plutonium in highest oxidation states // Doklady Chemistry. 2013. T. 448, № 1. C. 1–3.
- 15. Kiselev Yu. M. и др. On existence and properties of plutonium(VIII) derivatives // Radiochim Acta. 2014. T. 102, № 3. C. 227–237.
- 16. Windorff C. J. и др. Identification of the Formal +2 Oxidation State of Plutonium: Synthesis and Characterization of {Pu^{II}[C5H3(SiMe3)2]3} − // J Am Chem Soc. 2017. T. 139, № 11. C. 3970–3973.
- 17. Seaborg G. T. Origin of the Actinide Concept. 1994.
- 18. Arko A. J., Joyce J. J., Havela L. 5f-Electron Phenomena in the Metallic State // The Chemistry of the Actinide and Transactinide Elements. Dordrecht: Springer Netherlands, 2006. C. 2307–2379.
- 19. Schreckenbach G., Hay P. J., Martin R. L. Density functional calculations on actinide compounds: Survey of recent progress and application to [UO2X4]2? (X=F, Cl, OH) and AnF6 (An=U, Np, Pu) // J Comput Chem. 1999. T. 20, № 1. C. 70–90.
- 20. Wills J. M., Eriksson O. Actinide ground-state properties, theoretical predictions // Los Alamos Sci. 2000. T. 26.
- 21. CHOPPIN G. R. Solution Chemistry of the Actinides // ract. 1983. T. 32, № 1–3. C. 43–54.
- 22. Clark D. L. и др. Chapter 7 Plutonium // Chemistry of Actinides and Transactinides. 2006.
- 23. Ellinger F. H., Zachariasen W. H. The crystal structure of KPuO2CO3, NH4PuO2CO3 and RbAmO2CO3 // J Phys Chem. 1954. T. 58, № 5. C. 405–408.
- 24. Allen P. G. и др. Investigation of Aquo and Chloro Complexes of UO 2 2+ , NpO 2+ , Np 4+ , and Pu 3+ by X-ray Absorption Fine Structure Spectroscopy // Inorg Chem. 1997. T. 36, № 21. C. 4676–4683.
- 25. Conradson S. D. и др. Higher Order Speciation Effects on Plutonium L 3 X-ray Absorption Near Edge Spectra // Inorg Chem. 2004. T. 43, № 1. C. 116–131.
- 26. Antonio R. и др. Neptunium redox speciation // Radiochim Acta. 2001. T. 89, № 1. C. 17–26.
- 27. Ankudinov A. L. и др. Relativistic XANES calculations of Pu hydrates // Phys Rev B. 1998. T. 57, № 13. C. 7518–7525.
- 28. Krot N. N. New data in chemistry of neptunium (7) and plutonium (7) // Radiokhimiya. 1975. T. 17, № 5.
- 29. Tananaev I. G., Rozov S. P., Mironov V. S. On the existence forms of heptavalent plutonium in aqueous alkaline solutions // Radiokhimiya. 1992. T. 34, № 3. C. 88–92.

- 30. Spitsyn V. I. и др. Heptavalent state of neptunium and plutonium // Journal of Inorganic and Nuclear Chemistry. 1969. T. 31, № 9. C. 2733–2745.
- 31. Grigor'ev M. S., Gulyaev B. F., Krot N. N. Crystal and molecular structure of bis (2, 2-bipyridinium) hexanitratoneptunate dihydrate // Radiokhimiya. 1986. T. 28. C. 685–690.
- 32. Bolvin H. и др. On the Structure of Np(VI) and Np(VII) Species in Alkaline Solution Studied by EXAFS and Quantum Chemical Methods // J Phys Chem A. 2001. T. 105, № 51. C. 11441–11445.
- 33. Williams C. W. и др. The Coordination Geometry of Np(VII) in Alkaline Solution // J Am Chem Soc. 2001. Т. 123, № 18. С. 4346–4347.
- 34. Connick R. E. Mechanism of the Disproportionation of Plutonium (V) // J Am Chem Soc. 1949. T. 71, № 5. C. 1528–1533.
- 35. Silver G. L. Disproportionation coefficients of plutonium // Journal of Inorganic and Nuclear Chemistry. 1971. T. 33, № 2. C. 577–583.
- 36. Silver G. L. Letter to the Editors: Stability of Pentavalent Plutonium // ract. 1997. T. 77, № 3. C. 189–190.
- 37. Silver G. L. Acidity changes and balanced equations for plutonium disproportionation reactions // Applied Radiation and Isotopes. 2002. T. 57, № 1. C. 1–5.
- 38. Silver G. L. Work and disproportionation for aqueous plutonium // Applied Radiation and Isotopes. 2003. T. 59, № 4. C. 217–220.
- 39. Silver G. L. Plutonium disproportionation: Pitzer parameters or precipitates? // J Radioanal Nucl Chem. 2004. T. 260, № 1. C. 205–207.
- 40. Gel'man A. D., Zaitseva V. P. BEHAVIOR OF PENTAVALENT PLUTONIUM NITRATE SOLUTIONS // Radiokhimiya. 1965. T. 7.
- 41. Gevantman L. H., Kraus K. A. Chemistry of Plutonium (V) Stability, Spectrophotometry. 1947.
- 42. Markin T. L., McKay H. A. C. The preparation of a solution of plutonium (V) in 0.2 M HNO3 // Journal of Inorganic and Nuclear Chemistry. 1958. T. 7, № 3. C. 298–299.
- 43. Newton T. W., Hobart D. E., Palmer P. D. The preparation and stability of pure oxidation states of neptunium, plutonium, and americium // NNWSI Milestone report C. 1986. T. 379.
- 44. Rabideau S. W. The Kinetics of the Disproportionation of Plutonium(V) 1 // J Am Chem Soc. 1957. T. 79, № 24. C. 6350–6353.
- 45. Милюкова М. С. и др. Аналитическая химия плутония. Москва: Издательство «Наука», 1965.

- 46. Stoll W., Ost C., Schneider V. Method for the treatment of plutonium nitrate and/or uranyl nitrate: πaτ. 3101505/A USA. Germany, 1982.
- 47. Rabideau S. W., Kline R. J. Kinetics of Oxidation-Reduction Reactions of Plutonium. The Reaction between Plutonium(VI) and Plutonium(III) in Perchlorate Solution // J Phys Chem. 1958. T. 62, № 5. C. 617–620.
- 48. Haschke J. M., Oversby V. M. Plutonium chemistry: a synthesis of experimental data and a quantitative model for plutonium oxide solubility // Journal of Nuclear Materials. 2002. T. 305, № 2–3. C. 187–201.
- 49. Newton T. W., Hobart D. E. Comment on 'Plutonium chemistry: a synthesis of experimental data and a quantitative model for plutonium oxide solubility' by J.M. Haschke and V.M. Oversby // Journal of Nuclear Materials. 2004. T. 334, № 2–3. C. 222–224.
- 50. Haschke J. M. Author's reply to "Comment on 'Plutonium chemistry: a synthesis of experimental data and a quantitative model for plutonium oxide solubility' by J.M. Haschke and V.M. Oversby" // Journal of Nuclear Materials. 2004. T. 334, № 2–3. C. 225–228.
- 51. Shilov V. P., Gogolev A. V., Fedoseev A. M. Mechanism of Pu(VI) and Pu(V) autoreduction in aqueous solutions // Radiochemistry. 2011. T. 53, № 5. C. 466–473.
- 52. Тананаев И. Г. О формах существования пятивалентных нептуния и америция в водных щелочных средах // Радиохимия. 1990. Т. 32, № 5. С. 53–57.
- 53. Pashalidis I. и др. The Hydrolysis of Pu(VI) and Time-Dependent Polynucleation Reactions // ract. 1993. T. 61, № 1. C. 29–34.
- 54. Pashalidis I. и др. Spectroscopic Study of the Hydrolysis of PuO 2+ 2 in Aqueous Solution // ract. 1995. T. 68, № 2. С. 99–104.
- 55. Reilly S. D., Neu M. P. Pu(VI) Hydrolysis: Further Evidence for a Dimeric Plutonyl Hydroxide and Contrasts with U(VI) Chemistry // Inorg Chem. 2006. T. 45, № 4. C. 1839–1846.
- 56. Cho H.-R. и др. Effect of reduction on the stability of Pu(VI) hydrolysis species // ract. 2010. T. 98, № 9–11. C. 555–561.
- 57. Cho H.-R. и др. Spectroscopic study on the mononuclear hydrolysis species of Pu(VI) under oxidation conditions // Radiochim Acta. 2010. T. 98, № 12. C. 765–770.
- 58. Rao L. и др. Hydrolysis of Plutonium(VI) at Variable Temperatures (283–343 K) // Chemistry A European Journal. 2011. T. 17, № 39. C. 10985–10993.
- 59. Keller C. The Chemistry of the Transuranium Elements. 1971.

- 60. Hindman J. C., Sullivan J. C., Cohen D. Kinetics of Reactions between Neptunium Ions. The Neptunium(IV)-Neptunium(VI) Reaction in Perchlorate Solution // J Am Chem Soc. 1954. T. 76, № 12. C. 3278–3280.
- 61. Chemical thermodynamics of neptunium and plutonium / под ред. Lemire R. J. Elsevier, 2001.
- 62. Itagaki H. и др. Effect of Ionic Strength on the Solubility of Neptunium(V) Hydroxide // ract. 1992. T. 58–59, № 1. С. 61–66.
- 63. LIERSE CH., TREIBER W., KIM J. I. Hydrolysis Reactions of Neptunium (V) // ract. 1985. T. 38, № 1. C. 27–28.
- 64. Neck V., Kim J. I., Kanellakopulos B. Solubility and Hydrolysis Behaviour of Neptunium(V) // ract. 1992. T. 56, № 1. C. 25–30.
- 65. BIDOGLIO G., TANET G., CHATT A. Studies on Neptunium (V) Carbonate Complexes under Geologic Repository Conditions // ract. 1985. T. 38, № 1. C. 21–26.
- 66. Kraus K. A., Nelson F. The Hydrolytic Behavior of Uranium and the Transuranic Elements Part II: The+ 3 and+ 4 oxidation states . 1948.
- 67. Maya L. Hydrolysis and carbonate complexation of dioxoneptunium(V) in 1.0 M sodium perchlorate at 25.degree.C // Inorg Chem. 1983. T. 22, № 14. C. 2093–2095.
- 68. Москвин А. И. Гидролитическое поведение нептуния (IV, V, VI) // Радиохимия. 1971. Т. 13. С. 681.
- 69. Schmidt K. H., Gordon S., Thompson R. C. A pulse radiolysis study of the reduction of neptunium (V) by the hydrated electron // Journal of Inorganic and Nuclear Chemistry. 1980. T. 42, № 4. C. 611–615.
- 70. Севостьянова Е. П., Халтурин Г. В. О гидролитическом поведении нептуния (V) // Радиохимия. 1976. Т. 18, № 6. С. 870–876.
- 71. ASANUMA N. и др. New Approach to the Nuclear Fuel Reprocessing in Non-acidic Aqueous Solutions // J Nucl Sci Technol. 2001. Т. 38, № 10. С. 866–871.
- 72. Jo Y., Cho H.-R., Yun J.-I. Visible-NIR absorption spectroscopy study of the formation of ternary plutonyl(<scp>vi</scp>) carbonate complexes // Dalton Transactions. 2020. T. 49, № 33. C. 11605–11612.
- 73. Choppin G. R., Wong P. J. The Chemistry of Actinide Behavior in Marine Systems // Aquat Geochem. 1998. T. 4, № 1. C. 77–101.
- 74. Clark D. L., Hobart D. E., Neu M. P. Actinide Carbonte Complexes and Their Importance in Actinide Environmental Chemistry // Chem Rev. 1995. T. 95, № 1. C. 25–48.

- 75. Fuger J. Thermodynamic Properties of Actinide Aqueous Species Relevant to Geochemical Problems // ract. 1992. T. 58–59, № 1. C. 81–92.
- 76. Grenthe I., Robouch P., Vitorge P. Chemical equilibria in actinide carbonate systems // Journal of the Less Common Metals. 1986. T. 122. C. 225–231.
- 77. Cantrell K. J. Actinide(III) carbonate complexation // Polyhedron. 1988. T. 7, № 7. C. 573–574.
- 78. Silva R. J. Chemical thermodynamics of americium. Elsevier, 1995.
- 79. Nitsche H., Silva R. J. Investigation of the Carbonate Complexation of Pu(IV) in Aqueous Solution // ract. 1996. T. 72, № 2. C. 65–72.
- 80. Rai D. и др. A thermodynamic model for the solubility of PuO{sub 2}(am) in the aqueous K{sup +}-HCO{sub 3}{sup -}-CO{sub 3}{sup 2-}-OH{sup -}-H{sub 2}O system // Radiochim Acta. 1999. T. 86, № 3–4. C. 89–100.
- 81. Capdevila H. и др. Spectrophotometric Study of the Dissociation of the Pu(IV) Carbonate Limiting Complex // Radiochim Acta. 1996. T. 74, № s1. C. 93–98.
- 82. Clark D. L. и др. Identification of the Limiting Species in the Plutonium(IV) Carbonate System. Solid State and Solution Molecular Structure of the [Pu(CO 3) 5] 6 Ion // Inorg Chem. 1998. T. 37, № 12. C. 2893–2899.
- 83. Гельман А. Д., Зайцев М. Карбонатные и карбонатно-оксалатные комплексные соединения плутония (VI). 1. Плутонилкарбонаты калия // Журнал неорганической химии. 1958. Т. 3, № 6. С. 1304–1311.
- 84. Ueno K., Hoshi M. The precipitation of some actinide element complex ions by using hexammine cobalt(III) cation—I // Journal of Inorganic and Nuclear Chemistry. 1970. T. 32, № 12. C. 3817-IN2.
- 85. Bennett D. A. и др. Hydrolysis and Carbonate Complexation of Dioxoplutonium(V) // ract. 1992. T. 56, № 1. C. 15–20.
- 86. Capdevila H., Vitorge P., Giffaut E. Stability of pentavalent plutonium // Radiochim Acta. 1992. T. 58, № 1. C. 45–52.
- 87. Wester D. W., Sullivan J. C. Absorption spectra of Pu(VI), -(V) and -(IV) produced electrochemically in carbonate-bicarbonate media // Radiochemical Radioanalytical Letters. 1983. T. 57, № 1. C. 35–42.
- 88. Runde W. и др. Spectroscopic Investigation of Actinide Speciation in Concentrated Chloride Solution // MRS Proceedings. 1996. T. 465. C. 693.
- 89. Sullivan J. C., Choppin G. R., Rao L. F. Calorimetric Studies of NpO + 2 Hydrolysis // ract. 1991. T. 54, № 1. C. 17–20.
- 90. Волков Ю. Ф. и др. Изучение карбонатных соединений пятивалентных актиноидов с катионами щелочных металлов. XI. Ионообменные свойства карбонатов Np(V), Pu(V) и Am(V) // Радиохимия. 1981. Т. 2. С. 254–258.

- 91. Волков Ю. Ф. и др. Изучение карбонатных соединений пятивалентных актиноидов с катионами щелочных металлов. VII. О синтезе и кристаллическом строении гидратных соединений состава Na06NpO2(CO3)08*nH2O // Радиохимия. 1979. Т. 5. С. 673–681.
- 92. Волков Ю. Ф. и др. Изучение карбонатных соединений пятивалентных актиноидов с катионами щелочных металлов. IX. Определение кристаллической структуры соединений M3AnO2(CO3)2*nH2O // Радиохимия. 1981. Т. 2. С. 243–247.
- 93. Волков Ю. Ф. и др. Изучение карбонатных соединений пятивалентных актиноидов с катионами щелочных металлов. VIII. Получение и рентгенографическое исследование некоторых соединений нептуния (V) с натрием и рубидием // Радиохимия. 1981. Т. 2. С. 237–242.
- 94. Волков Ю. Ф. и др. Изучение карбонатных соединений пятивалентных актиноидов с катионами щелочных металлов. VI. Рентгеноструктурное исследование соединений LiNpO2CO3 и NaNpO2CO3 // Радиохимия. 1979. Т. 5. С. 668–672.
- 95. Волков Ю. Ф. и др. Изучение карбонатных соединения пятивалентных актиноидов с катионами щелочных металлов. IV. Рентгенографическое исследование дикарбонатов нептуния (V), плутония (V) и америция (V) с калием // Радиохимия. 1974. Т. 16, № 6. С. 868–873.
- 96. Симакин Г. А. и др. Изучение карбонатных соединений пятивалентных актинодов с катионами щелочных металлов. П. Получение карбонатных соединений Np(V), Pu(V) и Am(V) из раствора K2CO3 при электрохимическом восстановлении шестивалентных ионов // Радиохимия. 1974. Т. 16, № 6. С. 859–863.
- 97. Волков Ю. Ф. и др. Изучение карбонатных соединений пятивалентных актиноидов с катионами щелочных металлов. III. Рентгенографическое исследование монокарбонатов нептуния (V), плутония (V) и америция (V) с калием // Радиохимия. 1974. Т. 16, № 6. С. 863–867.
- 98. Волков Ю. Ф., Висящева Г. И., Капшуков И. И. Волков, Ю.Ф. Изучение карбонатных соединений пятивалентных актиноидов с катионами щелочных металлов. V. Получение и идентификация гидратных форм монокарбонатонептунаилата натрия // Радиохимия. 1977. Т. 3. С. 319–323.
- 99. Висящева Г. И. и др. Изучение карбонатных соединений пятивалентных актиноидов с катионами щелочных металлов. І. Изучение состава и некоторых свойств твердых карбонатов пятивалентного нептуния с калием, полученных из растворов К2СОЗ // Радиохимия. 1981. Т. 16, № 6. С. 853—859.

- 100. Pashalidis I. и др. Solid-Liquid Phase Equilibria of Pu(VI) and U(VI) in Aqueous Carbonate Systems. Determination of Stability Constants // ract. 1997. T. 76, № 1–2. C. 55–62.
- 101. ULLMAN W. J., SCHREINER F. Calorimetric Determination of the Enthalpies of the Carbonate Complexes of U(VI), Np(VI). and Pu(VI) in Aqueous Solution at 25° C // ract. 1988. T. 43, № 1. C. 37–44.
- 102. Robouch P., Vitorge P. Solubility of PuO2(CO3) // Inorganica Chim Acta. 1987. T. 140. C. 239–242.
- 103. SULLIVAN J. C. и др. Thermodynamics of Plutonium (VI) Interaction with Bicarbonate // ract. 1982. T. 31, № 1–2. C. 45–50.
- 104. Reilly S. D. Solubility and speciation of plutonium(VI) carbonates and hydroxides // AIP Conference Proceedings. AIP, 2000. C. 269–271.
- 105. Neu M. P. Structures of plutonium coordination compounds: A review of past work, recent single crystal x-ray diffraction results, and what we're learning about plutonium coordination chemistry // AIP Conference Proceedings. AIP, 2000. C. 381–383.
- 106. Conradson S. D. и др. Higher Order Speciation Effects on Plutonium L 3 X-ray Absorption Near Edge Spectra // Inorg Chem. 2004. T. 43, № 1. C. 116–131.
- 107. Robert GUILLAUMONT и др. UPDATE ON THE CHEMICAL THERMODYNAMICS OF URANIUM, NEPTUNIUM, PLUTONIUM, AMERICIUM AND TECHNETIUM // CHEMICAL THERMODYNAMICS / под ред. Federico J. MOMPEAN и др. 2003.
- 108. Allen P. G. и др. Multinuclear NMR, Raman, EXAFS, and X-ray diffraction studies of uranyl carbonate complexes in near-neutral aqueous solution. X-ray structure of [C(NH2)3]6[(UO2)3(CO3)6].cntdot.6.5H2O // Inorg Chem. 1995. T. 34, № 19. C. 4797–4807.
- 109. Ingmar GRENTHE и др. CHEMICAL THERMODYNAMICS OF URANIUM // Chemical thermodynamics / под ред. Hans WANNER, Isabelle FOREST. 2004.
- 110. Nitsche H. и др. Long Term Plutonium Solubility and Speciation Studies in a Synthetic Brine // ract. 1994. T. 66–67, № Supplement. C. 3–8.
- 111. Kvashnina K. O. и др. A Novel Metastable Pentavalent Plutonium Solid Phase on the Pathway from Aqueous Plutonium(VI) to PuO 2 Nanoparticles // Angewandte Chemie International Edition. 2019. T. 58, № 49. C. 17558–17562.
- 112. Nigon J. P. и др. Alkali Carbonates of Np(V), Pu(V) and Am(V) // J Phys Chem. 1954. T. 58, № 5. C. 403–404.
- 113. Горбенко-Германов Д. С., Зенкова Р. А. Нептуноилкарбонаты калия и цезия // Журнал неорганической химии. 1966. Т. II, № 3. С. 520–527.

- 114. Keenan T. K., Kruse F. H. Potassium Double Carbonates of Pentavalent Neptunium, Plutonium, and Americium // Inorg Chem. 1964. T. 3, № 9. C. 1231–1232.
- 115. Grigor'ev M. S., Budantseva N. A., Fedoseev A. M. Study of the monocarbonate complex of pentavalent neptunium (NH4)[NpO2(CO3)] // Russian Journal of Coordination Chemistry. 2010. T. 36, № 2. C. 157–160.
- 116. Vitova T. и др. Competitive Reaction of Neptunium(V) and Uranium(VI) in Potassium—Sodium Carbonate-Rich Aqueous Media: Speciation Study with a Focus on High-Resolution X-ray Spectroscopy // Inorg Chem. 2020. T. 59, № 1. C. 8–22.
- 117. NEA. Chemical Thermodynamics of Neptunium and Plutonium. Paris: OECD Publishing, 2001.
- 118. Balboni E. и др. Plutonium Co-precipitation with Calcite // ACS Earth Space Chem. 2021. T. 5, № 12. C. 3362–3374.
- 119. Kielland J. Individual Activity Coefficients of Ions in Aqueous Solutions // J Am Chem Soc. 1937. T. 59, № 9. C. 1675–1678.
- 120. Parkhurst D. L. Ion-Association Models and Mean Activity Coefficients of Various Salts. 1990. C. 30–43.
- 121. Helgeson H. C. Thermodynamics of hydrothermal systems at elevated temperatures and pressures // Am J Sci. 1969. T. 267, № 7. C. 729–804.
- 122. Wolery T. J. и др. Current Status of the EQ3/6 Software Package for Geochemical Modeling. 1990. C. 104–116.
- 123. Kielland J. Individual Activity Coefficients of Ions in Aqueous Solutions // J Am Chem Soc. 1937. T. 59, № 9. C. 1675–1678.
- 124. DAVIES C. W. The extent of dissociation of salts in water. Part VIII. An equation for the mean ionic activity coefficient of an electrolyte in water, and a revision of the dissociation constants of some sulphates. // Journal of the Chemical Society (Resumed). 1965. C. 2093–2098.
- 125. Davies C. W. Ion association. 1962.
- 126. Grenthe I., Plyasunov A. V, Spahiu K. Chapter IX Estimations of Medium EEects on Thermodynamic Data. 1997.
- 127. Rand M. и др. Chemical thermodynamics of thorium. 2007. Т. 11.
- 128. Environmental Protection Agency. Section 7. DILUTION WATER // Methods for Measuring the Acute Toxicity of Effluents and Receiving Waters to Freshwater and Marine Organisms. United States.

- 129. Nitsche H., Lee S. C., Gatti R. C. Determination of plutonium oxidation states at trace levels pertinent to nuclear waste disposal // Journal of Radioanalytical and Nuclear Chemistry Articles. 1988. T. 124, № 1. C. 171–185.
- 130. Svetogorov R. D., Dorovatovskii P. V., Lazarenko V. A. Belok/XSA Diffraction Beamline for Studying Crystalline Samples at Kurchatov Synchrotron Radiation Source // Crystal Research and Technology. 2020. T. 55, № 5.
- 131. Chernyshov A. A., Veligzhanin A. A., Zubavichus Y. V. Structural Materials Science end-station at the Kurchatov Synchrotron Radiation Source: Recent instrumentation upgrades and experimental results // Nucl Instrum Methods Phys Res A. 2009. T. 603, № 1–2. C. 95–98.
- 132. Newville M. EXAFS analysis using *FEFF* and *FEFFIT* // J Synchrotron Radiat. 2001. T. 8, № 2. C. 96–100.
- 133. Caglioti G., Paoletti A., Ricci F. P. Choice of collimators for a crystal spectrometer for neutron diffraction // Nuclear Instruments. 1958. T. 3, № 4. C. 223–228.
- 134. Parkhurst D., Appelo T. User's guide to PHREEQC (Version 2)—a computer program for speciation, batch-reaction, one-dimensional transport, and inverse geochemical calculations // U.S.Dept. Int., U.S.Geol. Surv., Techniques of Water-Resources Investigation, Report. 2000. C. 99–4259.
- 135. Linge I. I. и др. Numerical Safety Assessment and Optimization of Decisions on Radioactive Waste Disposal and Nuclear Decommissioning: Trends, Needs, Opportunities // Radioactive Waste. 2020. Т. 11, № 2. С. 85–98.
- 136. Grenthe I. и др. Second update on the chemical thermodynamics of uranium, neptunium, plutonium, americium and technetium Chemical thermodynamics volume 14. Nuclear Energy Agency of the OECD (NEA), 2020. 1572 c.
- 137. Petrov V. G. и др. Solubility and hydrolysis of Np(V) in dilute to concentrated alkaline NaCl solutions: formation of Na–Np(V)–OH solid phases at 22 °C // Radiochim Acta. 2017. T. 105, № 1. C. 1–20.
- 138. Lemire R. J. и др. NEA, Chemical Thermodynamics of Neptunium and Plutonium // Chemical Thermodynamics. Paris: OECD Publishing, 2001. 845 с.
- 139. Fellhauer D. и др. Np(V) solubility, speciation and solid phase formation in alkaline CaCl 2 solutions. Part I: Experimental results // Radiochim Acta. 2016. T. 104, № 6. C. 355–379.
- 140. Ковба Л. М. Кристаллическая структура диураната натрия // Радиохимия. 1972. Т. 14, № 5. С. 727–730.
- 141. Manceau A., Marcus M. A., Grangeon S. Determination of Mn valence states in mixed-valent manganates by XANES spectroscopy // American Mineralogist. 2012. T. 97, № 5–6. C. 816–827.

- 142. Shannon R. D. Revised effective ionic radii and systematic studies of interatomic distances in halides and chalcogenides // Acta Crystallographica Section A. 1976. T. 32, № 5. C. 751–767.
- 143. Yang S., Zhao Y., Tian G. Np(V) complexation with carbonate in aqueous solutions studied by spectrophotometric titration at various temperatures // Dalton Transactions. 2016. T. 45, № 6. C. 2681–2685.
- 144. Kuzenkova A. S. и др. Formation of Neptunium(V) Carbonates: Examining the Forceful Influence of Alkali and Alkaline Earth Cations // Inorg Chem. 2023. T. 62, № 51. C. 21025–21035.
- 145. Лурье Ю. Ю. Справочник по аналитической химии. Издательство «Химия». 1967.
- 146. Rich C. I. Mineralogy of Soil Potassium. 1968. T. 5.
- 147. Madic C., Hobart D. E., Begun G. M. Raman spectrometric studies of actinide(V) and -(VI) complexes in aqueous sodium carbonate solution and of solid sodium actinide(V) carbonate compounds // Inorg Chem. 1983. T. 22, № 10. C. 1494–1503.